



**SOCIEDAD ARGENTINA
DE INVESTIGACIÓN ODONTOLÓGICA
DIVISIÓN ARGENTINA**

INTERNATIONAL ASSOCIATION FOR DENTAL RESEARCH



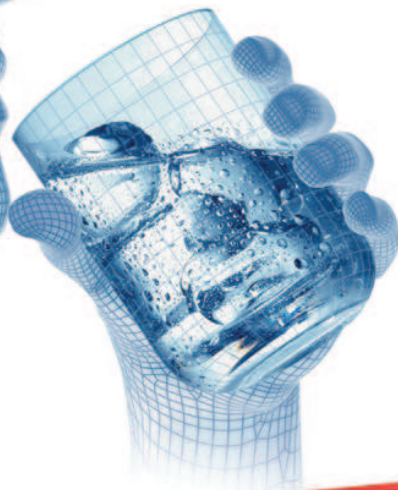
**XLVI REUNIÓN ANUAL
7 AL 9 DE NOVIEMBRE DE 2013
MAR DEL PLATA. PROVINCIA DE BUENOS AIRES
ARGENTINA**

Colgate®

Sensitive Pro-Alivio™

FÓRMULA PRO-ARGIN™ clínicamente comprobado

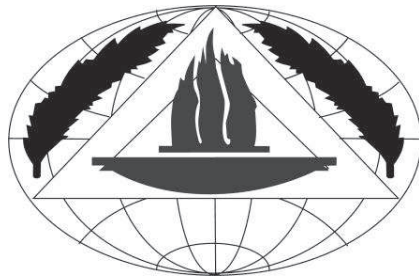
La primera y única
crema dental que te brinda
alivio instantáneo
y duradero



Colgate®



LA MARCA #1 RECOMENDADA POR ODONTÓLOGOS



Sociedad Argentina de Investigación Odontológica

División Argentina

International Association for Dental Research

XLVI Reunión Anual

7 al 9 de noviembre de 2013
Mar del Plata. Provincia de Buenos Aires
República Argentina



XLVI Reunión Anual de la
Sociedad Argentina de Investigación Odontológica

Está prohibida la reproducción total o parcial de esta obra por cualquier método: fotográfico, fotocopia, mecánico, reprográfico, óptico, magnético o electrónico.

Sociedad Argentina de Investigación Odontológica - XLVI Reunión Anual/Coordinado por Susana Liliana Molgatini. 1°ed. Buenos Aires.

186 p. ; 29 x 21 cm

ISBN 9789872113011

1. Odontología Investigación. I. Molgatini Susana Liliana, coord.

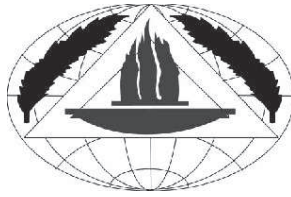
Fecha de catalogación: octubre de 2013

ESTE EJEMPLAR SE IMPRIMIO EN EL TALLER
DE MEGA COPY EN EL MES DE OCTUBRE DEL 2013



Suc. Florida
4797.5397
Av. San Martín 2622
florida@fotocopiasmegacopy.com.ar

Suc. Martínez
4836.0927
Hipólito Yrigoyen 1942
martinez@fotocopiasmegacopy.com.ar

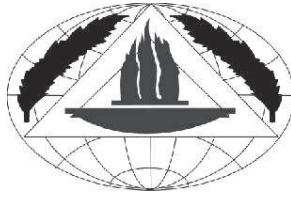


Sociedad Argentina de Investigación Odontológica
División Argentina
International Association for Dental Research

Comisión Organizadora

PRESIDENTE	SUSANA L. MOLGATINI
VICEPRESIDENTE	LILIANA TURCOT
RESPONSABLES DE SECRETARIA	Secretaria ANGELA ARGENTIERI Prosecretaria GABRIELA CORTESE
RESPONSABLE DE TESORERIA	Tesorero GABRIEL SANCHEZ Protesorera DELIA TAKARA
INTENDENCIA	CARLOS CAPUANO CARLOS FERNANDEZ NICOLAS STOPPANI
COMISION EDITORA	FLORENCIA BOZZA ANA SORAZABAL
COMITÉ CIENTIFICO	Coordinador Áreas Básicas: CARLOS MENDEZ Coordinador Áreas Clínicas: ANA MARIA BIONDI
PREMIOS Y SUBSIDIOS	GONZALEZ MARIA INES BEATRIZ MARTINEZ
COMISION DE APOYO:	ALDO SQUASSI





Sociedad Argentina de Investigación Odontológica
División Argentina
International Association for Dental Research

Comisión Directiva

Presidente

Mariana Picca

Presidente saliente

Patricia Mónica Mandalunis

Vicepresidente

Daniel Olmedo

Secretaria

Carla Masoli

Prosecretaria

Analía Garrofé

Tesorera

María Anabel Lama

Protesorera

Luciana D'Eramo

Vocales

Aldo Squassi

María Isabel Brusca

Tammy Steimetz

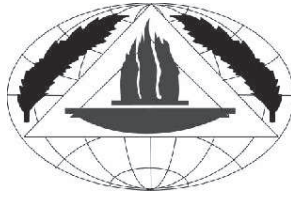
Relaciones Internacionales

Andrea Kaplan

Consejero Científico

Rómulo Cabrini





Sociedad Argentina de Investigación Odontológica
División Argentina
International Association for Dental Research

Órgano de Fiscalización

Miembros Titulares

Angela Argentieri
Aníbal José Cobanera
Raquel Doño

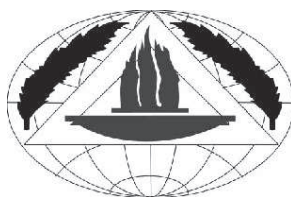
Miembros Suplentes

Silvina Gabriela Cortese
Ana María Morasso
Osvaldo Rodolfo Costa

Tribunal de Honor

Noemí BORDONI
Ricardo MACCHI
María Beatriz GUGLIELMOTTI





Sociedad Argentina de Investigación Odontológica

División Argentina

International Association for Dental Research

Delegados Provinciales

La Plata

Pablo Mancuso

Tucumán

Sofía Torres

Juan Garat

Susana Romero

Mendoza

María de los Ángeles Giaquinta

Graciela Peña

Corrientes

María Mercedes González

Susana Finten

Rosario

Esteban Funosas

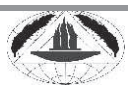
Córdoba

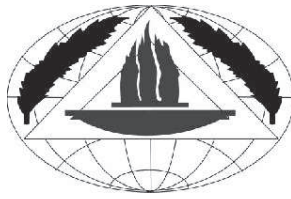
Sebastián Fontana

Zona Patagónica

Mariana Preliasco

Mario Ricardo Davison





Sociedad Argentina de Investigación Odontológica
División Argentina
International Association for Dental Research

Auspicios y Adhesiones

La Comisión Directiva de la Sociedad Argentina de Investigación Odontológica y la Comisión Organizadora de la XLVI Reunión Anual agradecen los Auspicios, Adhesiones y Declaraciones de Interés Institucional brindados para esta Reunión a:

Interés Institucional de la Facultad de Odontología -Universidad de Buenos Aires (Res CD 569/13).

Adhesión Facultad de Odontología -Universidad Nacional del Nordeste (Res 411/13-CD).

Adhesión Facultad de Odontología-Universidad Nacional de Rosario (Res 462/13-CD).

Adhesión Facultad de Odontología-Universidad Nacional de Cuyo (Res 203/13-CD).

Adhesión Facultad de Odontología-Universidad Nacional de Córdoba (Res 256/13 CD).

Auspicio de la Facultad de Medicina-Universidad del Salvador (Res Decanal 118/13).

Adhesión de la Asociación Odontológica Argentina (Nota 96/13).

Adhesión e Interés Institucional de la Universidad Kennedy.

Adhesión de la Academia Nacional de Odontología.

Auspicio Académico de la Universidad Abierta Interamericana (Res 4197/13).



Adhesión de la escuela de Odontología de la Universidad Maimónides.

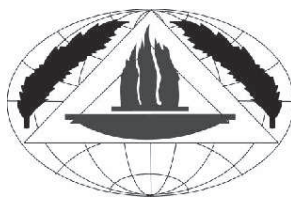
Adhesión Espacio de Prensa, Ministerio de Ciencia y Tecnología.

Adhesión Espacio de Prensa, CONICET.

Adhesión Comisión de Salud, Concejo Deliberante de Mar del Plata.

Adhesión Comisión de Salud, Consejo Consultivo Comuna 1. CABA.





Sociedad Argentina de Investigación Odontológica
División Argentina
International Association for Dental Research

Agradecimientos

La Comisión Directiva de la Sociedad Argentina de Investigación Odontológica y la Comisión Organizadora expresan su agradecimiento a las instituciones y personas, que con su apoyo económico e intelectual, han colaborado para llevar a cabo la XLVI Reunión Anual:

Facultad de Odontología de la Universidad de Buenos Aires por el apoyo económico recibido para promover la participación de los investigadores al evento y por el sostenimiento de la Sede de la SAIO.

A los docentes dictantes del taller "Confeción de Resúmenes Científicos".
Al Dr. Mark Heft -Vicepresidente de la International Association of Dental Research- por la Conferencia pre reunión brindada sobre "Dolor Orofacial".

Al Prof. Dr. Ricardo Macchi (Facultad de Odontología -Universidad de Buenos Aires) por el dictado del taller pre reunión "Estadística aplicada"

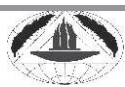
A la Dra. Elba Castro Marí por la donación de sus obras pictóricas.

Al Dr. Eugenio Beltrán por el dictado del curso durante la reunión "Impacto de los nuevos conocimientos sobre la salud bucal en el mundo"

Al Cuarteto de Cuerdas de la Universidad Nacional de Mar del Plata.

A los Sres. Patricia y Fernando de la Secretaria de Extensión Universitaria de la Universidad Nacional de Mar del Plata

A la Agencia de Promoción Científica y Tecnológica por el Subsidio entregado (RC 2013-0197)



A las siguientes empresas, sociedades y grupos:

Laboratorio Colgate
Región Latinoamericana IADR
Postersíntesis
Grupo Cariología SAIO
Espacio Salud
Fundación Armonía
Librería Ursino
Laboratorio NAF
SUNSTAR
EUDEBA
Grupo Periodoncia e Implantes SAIO
Fundación J.J. Carraro
Sociedad Iberoamericana de información Científica
Ediciones Journal
Federa Implantes Dentales
July Ugarte
Oral B



JUEVES 7		VIERNES 8			SABADO 9		
		AGUAMARINA	ATLANTIC	ACUARIO	MEDITERRANEO	CORAL	
8.30		PERIODONCIA IMPLANTES PRESENTACIONES ORALES 40 - 47	CARIOLOGIA - EPIDEMIOLOGIA - SALUD PUBLICA PRESENTACIONES ORALES 14 - 20	MATERIALES DENTALES - ODONTOLOGIA REHABILITADORA PRESENTACIONES ORALES 28 - 33	PRESENTACIONES POSTERS	SESION DE PROYECTOS ORALES 207 - 218	8.30
8.45							8.45
9.00							9.00
9.15							9.15
9.30							9.30
9.45				CARIOLOGIA -		9.45	
10.00					EPIDEMIOLOGIA - SALUD PUBLICA - ORTODONCIA -	10.00	
10.15					MATERIALES DENTALES Y ODONTOLOGÍA	10.15	
10.30					REHABILITADORA -	10.30	
10.45				MATERIALES DENTALES -	PERIODONCIA E IMPLANTES	10.45	
11.00				ODONTOLOGIA REHABILITADORA		11.00	
11.15				PRESENTACIONES ORALES 34 - 39		11.15	
11.30		PERIODONCIA IMPLANTES PRESENTACIONES ORALES 48 - 49 / 53 - 56	CARIOLOGIA - EPIDEMIOLOGIA - SALUD PUBLICA PRESENTACIONES ORALES 21 - 27			11.30	
11.45						11.45	
12.00						12.00	
12.15	ACREDITACION			REUNION GRUPO MATERIALES DENTALES	REUNION ACTA ODONTOLOGICA LATINOAMERICANA	12.15	
12.30		REUNION GRUPO PERIODONCIA	REUNION GRUPO CARIOLOGIA			12.30	
12.45						12.45	
13.00		ALMUERZO					13.00

	JUEVES 7		VIERNES 8		SABADO 9			
	CORAL	ATLANTIC	ACUARIO	MEDITERRANEO	ATLANTIC	ACUARIO	ATLANTIC	CORAL
14.30	FISIOLOGIA	PATOLOGIA CLINICA - ANATOMIA PATOLOGICA - RADIOLOGIA PRESENTACIONES ORALES 1 - 7 COFFEE BREAK	ENDODONCIA PRESENTACIONES ORALES 62 - 65	PRESENTACIONES POSTERS FISIOLOGIA - FARMACOLOGIA - BIOQUIMICA - BIOFISICA - MICROBIOLOGIA E INMUNOLOGIA - ENDODONCIA - ANATOMIA E HISTOLOGIA - EDUCACION ODONTOLOGICA - PATOLOGIA CLINICA - ANATOMIA PATOLOGICA - RADIOLOGIA				
14.45	FARMACOLOGIA							
15.00	BIOQUIMICA							
15.15	BIOFISICA							
15.30	PRESENTACIONES ORALES 75 - 78							
15.45	PERIODONCIA IMPLANTES PRESENTACIONES ORALES 50 - 52	ANATOMIA - HISTOLOGIA PRESENTACIONES ORALES 73 - 74 COFFEE BREAK						
16.00								
16.15								
16.30	COFFEE BREAK							
16.45		PATOLOGIA CLINICA - ANATOMIA PATOLOGICA - RADIOLOGIA PRESENTACIONES ORALES 8 - 13						
17.00								
17.15	MICROBIOLOGIA E INMUNOLOGIA							
17.30	PRESENTACIONES ORALES 66 - 72							
17.45								
18.00								
18.15								
18.30	CONFERENCIA DRES. L. NICOLOSI, O. COSTA, MC RUBIO	REUNION GRUPO MEDICINA ORAL Y PATOLOGIA	REUNION GRUPO EDUCACION ODONTOLOGICA					
19.00								
19.15								
19.30								
20.00								
21.00		ACTO INAUGURAL	CENA					
22.00								CENA CLAUSURA

ASAMBLEA

CURSO DR. EUGENIO BELTRAN "IMPACTO DE LOS NUEVOS CONOCIMIENTOS SOBRE LA SALUD BUCAL EN EL MUNDO"

JUEVES 7 DE NOVIEMBRE
PRESENTACIONES ORALES

SALON CORAL

FISIOLOGIA FARMACOLOGIA BIOQUIMICA BIOFISICA (75 a 78)

Presidente: Carlos Mendez

Secretario: Clarisa Bozzini

Encargado de sala: Alan Agüero Romero

14.30 a 14.45

75 APOPTOSIS POR LIDOCAÍNA EN AURÍCULA DE RATA CON ANTICUERPOS DE PACIENTES PERIODONTALES

Quinteros Villarruel E*, Moran G, Reina S, Borda E, Orman B

14.45 a 15.00

76 SECUENCIA AMINOACÍDICA DE LA Ca-ATPASA DE RETÍCULO SARCOPLÁSMICO DE MÚSCULO DIGÉSTRICO.

Trinks P, Di Croce D, Richard S, Takara D, Sánchez G A*.

15.00 a 15.15

77 LIDOCAÍNA Y PROCAÍNA ALTERAN LA SECUENCIA PEPTÍDICA DE LA SERCA DE MÚSCULOS MASTICADORES.

Di Croce D, Trinks P, de la Cal C, Takara D, Sánchez G A*.

15.15 a 15.30

78 Ca²⁺ Y ATP MODULAN EL EFECTO DE PRILOCAÍNA SOBRE LA CaATPASA

Di Croce DE*, de la Cal C, Sánchez GA, Takara D.

PERIODONCIA E IMPLANTES (50 a 52)

Presidente: Esteban Funosas

Secretario: Luciana D'Eramo

Encargado de sala: Laura Fedelli

15.45 a 16.00

50 ESTADO PERIODONTAL EN PERSONAS QUE VIVEN CON VIH/SIDA BAJO TERAPIA ANTIRRETROVIRAL

D'Eramo L*, Gliosca L, Medici S, Bozza F, Abusamra L, Salgado P, Molgatini SL, Squassi A

16.00 a 16.15

51 DETECCIÓN MOLECULAR DE MICROORGANISMOS PERIODONTOPÁTICOS EN PACIENTES QUE CONVIVEN CON VIH (PPVS).

Gliosca L*, Bozza F, D'Eramo L, Stoppani N, Soken L, Squassi A, Molgatini SL



16.15 a 16.30

52 PROCESAMIENTO MICROBIOLÓGICO Y MOLECULAR DE MUESTRAS DE PACIENTES HIV+ BAJO TRATAMIENTO ANTIRETROVIRAL

Bozza F*, Gliosca L, D'Eramo L, Stoppani N, Soken L, Fedelli L, Squassi A, Molgatini SL

COFFEE BREAK

MICROBIOLOGIA E INMUNOLOGIA (66 a 72)

Presidente: Marta Estela Saravia

Secretario: María Inés Gonzalez

Encargado de sala: Emilia Melina Noier

16.45 a 17.00

66 TÉCNICAS MOLECULARES PARA IDENTIFICAR BACTERIAS PRESENTES EN LA NECROSIS PULPAR CERRADA Y ABIERTA

De Schant ME*, Chiappe VB, Dejean CB, Martínez AB, Russo MG, García Puente C.

17.00 a 17.15

67 FORMAS DE BACTERIAS COMO COLONIZADORES PIONEROS DEL ESMALTE DENTAL. ESTUDIO PRELIMINAR

Palacios N*, Turcot L, Bernat MI, Vilotta SM, Rosmino MF, Domínguez SA, Molgatini SL, Somaglia L.

17.15 a 17.30

68 *Candida albicans* y *Candida dubliniensis* HEMOLÍTICAS EN CAVIDAD BUCAL DE PACIENTES VIH POSITIVOS.

Lamas S*, Fedelli L, Pérez SB, Molgatini SL, González M

17.30 a 17.45

69 AISLAMIENTO DE *Veillonellas spp* EN DIFERENTES NICHOS ECOLÓGICOS BUCALES DE NIÑOS PREESCOLARES.

Molgatini SL, Manto MC*, Mateo MT, Tejerina DP, Argentieri A, Rodríguez PN

17.45 a 18.00

70 AISLAMIENTO Y SENSIBILIDAD ANTIFÚNGICA DE *Candida spp.* BUCALES EN PACIENTES VIH+

Fedelli L*, Gliosca L, D'Eramo L, Squassi A, Molgatini SL.

18.00 a 18.15

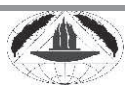
71 CONOCIMIENTOS, ACTITUDES Y PRÁCTICAS SOBRE ACCIDENTES OCUPACIONALES EN PROFESIONALES ODONTÓLOGOS

Kummer MC*, Granillo BA.

18.15 a 18.30

72 ESTERILIZACIÓN DE GASAS POR LA TÉCNICA DE TYNDALIZACIÓN MODIFICADA

Alvarez Gimenez JM, Hillen NE, Assa Salomon M*, Tineo S, Saravia ME.



18.30 Conferencia Grupo Periodoncia e Implantes
“Función endotelial y enfermedad periodontal”
Osvaldo Costa, Liliana Nicolosi y María del Carmen Rubio

SALON ACUARIO

ENDODONCIA(62 a 65)

Presidente: María Rosa Del Carmen Visvisian

Secretario: Gustavo Lopreite

Encargado de sala: Ramiro Ubertone

14.30 a 14.45

62 EVALUACIÓN DE LA DEFORMACIÓN DEL FORAMEN APICAL POR MANIOBRAS DE PERMEABILIZACIÓN MANUALES Y MECANIZADAS.

Lopreite G*, Basilaki J, Romero A., Hecht P.

14.45 a 15.00

63 DIÁMETRO DEL CONDUCTO VERSUS CAPACIDAD DE PENETRACIÓN EN DENTINA DE DIFERENTES VEHÍCULOS

Gamba CA*, Ritacco ED, Báez V, Labarta AB, Sierra LG

15.00 a 15.15

64 SIMULACIÓN DE LA LIBERACIÓN DE CALCIO DE UN BIOMATERIAL PARA OBTURACIÓN ENDODÓNTICA.

Sabaté R*, Fernandez Monjes J, Maresca B, Sánchez GA

15.15 a 15.30

65 EFECTIVIDAD DE TRATAMIENTOS OSTEOCONDUCTORES EN REPARACIÓN ÓSEA POST CIRUGÍA APICAL

Rodriguez PA*, Lenarduzzi A, Sierra L, Martinez P, Corominola P, Fernández -Solari J, Elverdin JC

ANATOMIA– HISTOLOGIA(73 a 74)

Presidente: Angela Matilde Ubios

Secretario: Pablo Fontanetti

Encargado de sala: Luciana Sanchez

15.45 a 16.00

73 UN MODELO EXPERIMENTAL DE DESUSO EN EL HUESO ALVEOLAR DE RATA. ESTUDIO HISTOMORFOMÉTRICO

Trojan-Cotumacci AE*, Ubios AM, Bozal CB

16.00 a 16.15

74 ALTERACIÓN DEL CRECIMIENTO CÓNDILOMANDIBULAR POR ACCIÓN DE UN BISFOSFONATO: ESTUDIO HISTOMORFOMÉTRICO

Oyhanart SR*, Escudero ND, Mandalunis PM



COFFEE BREAK

EDUCACION ODONTOLOGICA (57 a 61 y Proyecto210)

Presidente: Angela Argentieri

Secretario: Silvia Medici

Encargado de sala: Rocio Fajardo

16.30 a 16.45

57 CLÍNICAS INTEGRADAS. ESTUDIO COMPARADO EN FACULTADES DE ODONTOLOGÍA PÚBLICAS ARGENTINAS. INFORME PRELIMINAR

Argentieri A*, Bordoni N

16.45 a 17.00

58 EL PORTFOLIO DE EVALUACIÓN ESTUDIANTIL EN LA CARRERA DE ODONTOLOGÍA

Luna I*, Aguilar P, Mele MC, Civitate S, Grandinetti, JA, Brusca MI, García Labandal L

17.00 a 17.15

59 PREMANIPULACIÓN DE MATERIALES DENTALES (MD): UNA PROPUESTA INNOVADORA. PERCEPCION DE LOS ALUMNOS.

Iglesias ME, Ferrari B*, Picca M

17.15 a 17.30

60 PERCEPCIÓN DE ESTUDIANTES DE ODONTOLOGIA RESPECTO DE LA SALUD BUCAL Y VIH/SIDA.

Medici S*, D'Eramo L, Bordoni N, Sanchez GA, Squassi A

17.30 a 17.45

61 APRENDIZAJES PREVISTOS Y NO PREVISTOS EN EL CURSO ARTICULACIÓN DOCENCIA SERVICIOINFORME PRELIMINAR

Probe C, Alvaredo G, Negrini F, Pedemonte Z*.

17.45 a 18.00

210 PROYECTO:DIAGNÓSTICO DE EDUCACIÓN MEDIANTE PRUEBAS EN SALIVA

Rhys K*, Bonnin C, Ceballos A, Gargantini P, Molina G

18.00 Reunión Grupo Educación

Conferencia Dra. Noemi Bordoni

“Investigación en Educación Odontológica”



SALON ATLANTIC

PATOLOGIA CLINICA- ANATOMIA PATOLOGICA- RADIOLOGIA(1 a 7)

Presidente: Silvia Lopez de Blanc

Secretario: Gabriela Nalli

Encargado de sala: Analía Rau

14.30 a 14.45

1 CARACTERIZACIÓN DE LA MÁCULA MELANÓTICA. CORRELACIÓN DERMATOSCÓPICA E HISTOLÓGICA

Mordoh A*, Gandolfo M, Casas G, Werner L, Lence A, Aguas S, Giacco C, Lanfranchi H.

14.45 a 15.00

2 ESTUDIO DE METÁSTASIS BUCALES DE PRIMITIVO DESCONOCIDO EN MUJERES.

Villalba L*, Cabrini RL, Keszler A.

15.00 a 15.15

3 RELACIÓN ENTRE VARIABLES RADIOGRÁFICAS ÁNGULOS Y DISTANCIAS EN CANINOS SUPERIORES

Wuscovi LF*, Rodríguez Navarro ME, Aragón HN, Jorrat M, Medina J, Brito GN

15.15 a 15.30

4 EXPRESIÓN INMUNOHISTOQUÍMICA DE ATM (ATAXIA TELEANGIECTASA MUTADO) EN EL LÍQUEN PLANO BUCAL

Gandolfo MS*, Pérez MA, Keszler A, Paparella ML, Itoiz ME

15.30 a 15.45

5 SEGMENTACIÓN MARKOVIANA DE IMÁGENES EN ESTUDIOS DE CRECIMIENTO ÓSEO DE RATAS WISTAR

Flesia JG*, Flesia AG, Fontanetti PA

15.45 a 16.00

6 ESTUDIO COMPARATIVO ENTRE RADIOGRAFÍA PANORÁMICA Y CBCT DE LAS LESIONES RADIOLÚCIDAS MAXILARES

Bruno IG*, Giannunzio GA, Piloni, MJ, Martínez, BAM

16.00 a 16.15.

7 PREVENCIÓN DE INFECCIÓN DEL SITIO QUIRÚRGICO MEDIANTE UN PROTOCOLO DE DESCONTAMINACIÓN BUCAL

Rubio MC*, González N, Cruz M, Martínez CD, Nicolosi LN

COFFEE BREAK



PATOLOGIA CLINICA- ANATOMIA PATOLOGICA- RADIOLOGIA (8 a 13)

Presidente: Daniel Olmedo

Secretario: Tammy Steimetz

Encargado de sala: Glenda Rossi

16.30 a 16.45

8 IMPACTO DEL MÉDICO EN ATENCIÓN ODONTOLÓGICA DE PACIENTES CON RIESGO MÉDICO ASOCIADO

Rubio MC*, Monod S, Go nzález N, Lama MA, Tomasett i V, Cruz M, Pompeo M, Lewin PG, Nicolosi LN

16.45 a 17.00

9 ESTUDIO DE MEDICIONES SEGÚN LA POSICIÓN DEL MAXILAR EN TOMOGRAFÍA COMPUTADA (CBCT)

Vazquez DJ*, Hecht P, Scheneider E, Osende N, Ramírez MJ, Carbajal EE.

17.00 a 17.15

10 ESTUDIO DE LA DOSIS ABSORBIDA POR LA GLÁNDULA TIROIDES EN TÉCNICAS RADIOGRÁFICAS ODONTOLÓGICAS.

Vázquez DJ*, Hecht JP, Carbajal EE

17.15 a 17.30

11 DETERMINACIÓN DE ENFERMEDAD PERIODONTAL EN TOMOGRAFÍA COMPUTADA (CBCT) EN PACIENTES OBESOS. ESTUDIO PRELIMINAR.

Vázquez DJ*, Pellegrini G, Carbajal EE, Zeni S

17.30 a 17.45

12 EFECTO DEL CROMO HEXAVALENTE SOBRE LA REMODELACIÓN DEL ALVÉOLO EN RATAS LACTANTES

Sánchez LM*, De Lucca RC, Ubios AM

17.45 a 18.00

13 CARACTERÍSTICAS DEL CARCINOMA A CÉLULAS ESCAMOSAS BUCAL EN PACIENTES HPVPOSITIVOS

Criscuolo MI*, Morelatto R, Belardinelli P, Cuffini C, López de Blanc S

18.00 Reunión Grupo Medicina Oral y Patología

19.30. ACTO INAUGURAL



VIERNES 8 DE NOVIEMBRE

PRESENTACIONES ORALES

SALON ATLANTIC

CARIOLOGIA- EPIDEMIOLOGIA- SALUD PUBLICA(14 a 20)

Presidente: Graciela Klemonskis

Secretario: Eduardo Zimmermann

Encargado de sala: Ana Sorazabal

8.30 a 8.45

14 EFECTIVIDAD DE UN PROGRAMA PREVENTIVO BASADO EN FLUORUROS EN PREESCOLARES DE ÁMBITO URBANO

Vuoto E, Fernández CN, Cambria Ronda S, Borjas MI*, Cabrera DF, Vuoto JI, Afronetti SE

8.45 a 9.00

15 RETENCIÓN DE DOS TIPOS DE SELLANTES DE IONÓMERO VÍTREO EN MOLARES PERMANENTES

Fernández CN*, Vuoto ER, Arias SC, Buttani N, Cambria Ronda S, Calatayud L, Dolonguevich ER, Fernandez AL, Nafissi CG, Martín M, Salinas DE, Afronetti SE, Herrero HD, Forconi E

9.00 a 9.15

16 ESTADO DENTARIO Y CARACTERÍSTICAS SOCIODEMOGRÁFICAS DE ESCOLARES DE LA CIUDAD DE AVELLANEDA

Fuks J*, Pazos X, Napoli A, Fort A, Palomba S, Squassi A

9.15 a 9.30

17 EFECTIVIDAD DE UNA INTERVENCIÓN EDUCATIVA DE HIGIENE BUCAL EN ESCOLARES.

Rossi G*, Sorazabal A, Salgado P, Klemonskis G, Squassi A

9.30 a 9.45

18 VARIABLES ASOCIADAS AL ABANDONO DE TRATAMIENTO ODONTOLÓGICO EN GESTANTES DE POBLACIONES VULNERABLES

Cornejo C*, Rossi G, Serra Capó T, Rama A, Gomez Gutierrez N, Salgado P, Squassi A, Klemonskis G.

9.45 a 10.00

19 MOTIVO DE CONSULTA ODONTOLÓGICA DE ADULTOS EN UNA COMUNIDAD RURAL

Fernandez CR*, Salgado P, Masoli C, Lombardo M, Squassi A, Capuano C



10.00 a 10.15

20 SUPERFICIES DENTARIAS AFECTADAS POR EROSIÓN DENTAL EN ESCOLARES DE LA CABA

Sorazabal A, Passarini L*, Castro M, Pistoichini A, Salgado P, Argentieri A.

INTERVALO

CARIOLOGIA- EPIDEMIOLOGIA- SALUD PUBLICA (21 a 27)

Presidente: Ana María Biondi

Secretaria: Andrea Ortolani

Encargado de sala: L Passarini

10.30 a 10.45

21 CALIDAD DE VIDA Y ESTADO DENTARIO EN PREESCOLARES DE POBLACIONES VULNERABLES

Toral M*, Salvioni E, Coringrato M, Pizarro L, Squassi A, Klemonskis G

10.45 a 11.00

22 LA CRIES INDUCE CAMBIOS DE ESTADO OXIDATIVO Y NIVELES DE PROTEÍNAS SALIVALES

Capurro MA*, De Couto Pita A, Duarte Mota F, Zucco A, Farkas Canntonet JP, Squassi A, Mendez CF.

11.00 a 11.15

23 DETERMINANTES DE RIESGO CARIOGÉNICO EN INFANTES DE 6 MESES DE EDAD. ESTUDO PRELIMINAR

Klemonskis G*, Cornejo C, Serra Capo T, Pacheco R, Cula cciati C, Rossi G, Melo C, Tacca F, Gliosca L, Squassi A

11.15 a 11.30

24 VALIDACION DE UNA ESTRATEGIA PARA HOMOLOGACION DE CRITERIOS PARA EVALUACIÓN DE CRIES

Sorazabal A*, Capuano C, D'Eramo L, Klemonskis G, Masoli C, Rossi G, Toral M, Salgado P, Bordoni N, Squassi A.

11.30 a 11.45

25 RELACION ENTRE COMPOSICION CORPORAL, FRACCIONES LIPOPROTEICAS Y RIESGO CARIOGENICO EN PREESCOLARES

Argentieri A, Gamba CA*, Iglesias V, Salgado P, Friedman S, Molgatini SL, Rodríguez PN

11.45 a 12.00

26 EFECTIVIDAD DE PROTOCOLOS CLINICOS PARA LA UTILIZACION DE IONOMEROS VITREOS Y DIAMINOFUORURO

Capuano C*, Masoli C, Fernandez CR, Squassi A

12.00 a 12.15

27 VALORACIÓN DE RIESGO DE CRIES USANDO DIFERENTES PRUEBAS Y RECuentos DE *Streptococcus mutans*.

Rubio JM*, Saravia ME, Nelson Filho P, Uribe Echevarría A, Silva RAB, Uribe Echevarría J.



12.15. Reunión Grupo Cariología

SALON ACUARIO

MATERIALES DENTALES- ODONTOLOGIA REHABILITADORA-ORTODONCIA

(28 a 33)

Presidente: Ricardo Macchi

Secretario: Analía Garrofe

Encargado de sala: Ching Ming Lee

8.30 a 8.45

28 ADHESION DEPOSTES DE FIBRA CON CEMENTOS AUTOGRABABLES -SEGUNDA ETAPA

Gigena C*, Julián S, Gil Rodríguez P, Sakalian C

8.45 a 9.00

29 AJUSTE DE ESTRUCTURAS PARA PRÓTESIS FIJA, COLADAS EN UNA PIEZA O SOLDADAS.

Albera JP*, Albera JC

9.00 a 9.15

30 EFECTO DE LA MANIPULACIÓN DE LOS COMPOSITOS SOBRE SU COLOR POR INMERSIÓN EN INFUSIONES.

Lei MA*, Kaplan AE

9.15 a 9.30

31 EVALUACIÓN DE PROPIEDADES MECÁNICAS DE RESINAS COMPUESTAS MANIPULADAS CON GUANTES DESCARTABLES

Garrofé A, Asueta MM*, Kaplan AE

9.30 a 9.45

32 MICROFILTRACIÓN DE UNA RESINA FLUIDA AUTOADHESIVA COMO SELLANTE DE FOSAS Y FISURAS.

Brasca N, Bonnin C, Ríos A, Girardi I, Girardi M, Delgado A, Chávez Lozada* J, Urquía Morales M del C

9.45 a 10.00

33 EVALUACIÓN A DOCE MESES DE RESTAURACIONES DIRECTAS EN PACIENTES CON SÍNDROME DE SJÖGREN

Costa SI*, Kaneshiro A(+), Martinez C, Onofre C, Lanfranchi HF, Tamini EliceGUI LE, Hecht JP y Abate PF

INTERVALO



MATERIALES DENTALES- ODONTOLOGIA REHABILITADORA-ORTODONCIA

(34 a 39)

Presidente: Mariana Picca

Secretario: Carlos Rozas

Encargado de sala: María Margarita Asueta

10.15 a 10.30

34 EVALUACIÓN IN VITRO DEL ESPESOR DE PELÍCULA DE CEMENTOS RESINOSOS DE AUTOGRABADO

Chávez Lozada J*, Urquía Morales M del C

10.30 a 10.45

35 RADIOVISIOGRAFÍA Y MICROSCOPIA CLÍNICA EN LA DETECCIÓN DE MATERIAL DE OBTURACIÓN ENDODÓNTICA REMANENTE.

Thompson L*, Kokubu S, Di Natale S, Tamini EliceGUI LE, Abate PF.

10.45 a 11.00

36 DETERMINACIÓN DE FLUIDEZ Y PENETRACIÓN CAPILAR DE DOS MATERIALES PARA OBTURACIÓN ENDODÓNTICA.

Ferrari BA*; Picca M, Kaplan AE

11.00 a 11.15

37 EVALUACIÓN IN VITRO DE LA FILTRACIÓN DE RESTAURACIONES EN DIENTES EXPUESTOS A AMBIENTES HIPERBÁRICOS.

Rau A*, Garrofe A, Grandinetti JA, Brusca MI, Picca M

11.15 a 11.30

38 REMOCIÓN DE BRACKETS: EVALUACIÓN MORFOLÓGICA DEL EFECTO DE LA REMOCION DE COMPOSITE RESIDUAL.

Castro K, Kummer MC*, Bass Puer A, Plavnik L

11.30 a 11.45

39 PROPIEDADES DE MATERIALES PARA ORTODONCIA FOTOCURADOS CON UN DISPOSITIVO DE ALTA INTENSIDAD

Pelossi PL*; Fernández CA; Di Diego MM; OlazabalOriuela M; Kaplan AE

11.45. Reunión Grupo Materiales



SALON AGUAMARINA

PERIODONCIAE IMPLANTES(40 a 47)

Presidente: María de Los Ángeles Giaquinta

Secretario: Florencia Bozza

Encargado de sala: Romero J

8.30 a 8.45

40 PREVALENCIA DE *Porphyromonasgingivalis* *Treponema denticola* EN LA BIOPELÍCULA SUBGINGIVAL EMPLEANDO PCR.

Chiappe V*, Dejean C, Figueroa Schibber E, Russo G, Romanelli H

8.45 a 9.00

41 NIVELES RANKL Y OPG DE PACIENTES CON ENFERMEDAD PERIODONTAL Y OSTEOPOROSIS/OSTEOPENIA

Verde ME*, Bermejo D, Gruppi A, Grenón MS

9.00 a 9.15

42 SÍNTESIS Y CARACTERIZACIÓN DE UN NUEVO COMPOSITE BIOACTIVO COMO POTENCIAL SUSTITUTO ÓSEO

Martínez C*, Fernández CA, Prado M, Olmedo D, Ozols A

9.15 a 9.30

43 REGENERACIÓN ÓSEA: COMPARACIÓN DEL COMPORTAMIENTO DE DISTINTAS MEMBRANAS EN CALOTA DE RATAS.

Salvador F*, Meta IF, Mandalunis PM, Aguilar J

9.30 a 9.45

44 ESPESOR DE LA TABLA EXTERNA: CORRELACIÓN ENTRE LOS DATOS TOMOGRÁFICOS E INTRAQUIRÚRGICOS

Iglesias G*, Finguer F, Dagum H, Aguilar J, Macchi R

9.45 a 10.00

45 ESTUDIO PRELIMINAR COMPARATIVO CLÍNICO RADIÓGRÁFICO DE LA CICATRIZACIÓN PERIODONTAL DE LESIONES ENDOPERIODONTALES

Franciosi F, Fuster Roselló LP, Ribotta de Albera EM*

10.00 a 10.15

46 ESTABILIDAD A LARGO PLAZO DE LAS ESTRUCTURAS DENTARIAS E IMPLANTOLÓGICAS

Feser G*, Gulino M, Boccio I, Antuña MV, Quintero A, Lebié A, Dulong I, Funosas ER

10.15 a 10.30

47 VALORACIÓN A LARGO PLAZO DEL MANTENIMIENTO PERIODONTAL EN GRUPOS HETEROGENEOS DE INDIVIDUOS (INFORME PRELIMINAR)

Feser G*, Gulino M, Boccio I, Antuña MV, Quintero A, Lebié A, Dulong I, Funosas ER



INTERVALO

PERIODONCIAE IMPLANTES(48 a 49 - 53 a 56)

Presidente: Estela Ribotta de Albera

Secretario: Gustavo Feser

Encargado de sala: María Eugenia Verde

10.45 a 11.00

48 ELEVACIÓN DE PISO DE SENO MAXILAR CON HUESO BOVINO ANORGÁNICO. ESTUDIO HISTOMORFOMÉTRICO.

Aguilar J*, Labandeira A, Renou SJ, Piloni MJ, Guljelmotti MB

11.00 a 11.15

49 PRESENCIA Y DISTRIBUCIÓN DE CANALES INTERFORAMINALES MANDIBULARES DETECTADOS CON TOMOGRAFÍA DE HAZ CÓNICO.

Albera JP*, Malvestiti F

11.15 a 11.30

53 ESTADO PERIODONTAL Y CALIDAD DE VIDA EN PACIENTES ATENDIDOS EN UNA INSTITUCION UNIVERSITARIA

Pedreira P*, Bordoni N

11.30 a 11.45

54 EVALUACION DE PARAMETROS PERIODONTALES Y PERIODONTOPATOGENOS EN PERIODONTITIS AGRESIVA GENERALIZADA

Ribotta de Albera EM*, Usin MM, Tabares S, Sembaj A.

11.45 a 12.00

55 ESTUDIO PRELIMINAR DE LA INFLUENCIA DEL PACO EN LA SALUD BUCAL

Robles M*, Fajardo R, Mutarelli A, Mele MC, Aguilar P, Grandinetti JA, Brusca MI

12.00 a 12.15

56 IL-1B Y PGE2 SALIVALES COMO BIOMARCADORES DEL ESTADO PERIODONTAL ANTES Y DESPUÉS DEL TRATAMIENTO.

Sánchez GA*, Miozza VA, Delgado A, Busch L

12.15. Reunión Grupo Periodoncia e Implantes



VIERNES 8 DE NOVIEMBRE
PRESENTACIONES DE POSTERS

SALON MEDITERRANEO

Sesión tarde 14.30 a 17.00

Colocación de Posters (11.30 a 12.00)

Retiro de Posters (20.00. a 20.30)

Encargados de salas: Surkin P, Terrizzi A, Oyhanart S.

POSTERS FISIOLOGIA FARMACOLOGIA BIOQUIMICA BIOFISICA

Veedores: Patricia Boyer; Silvia Friedman , Raquel Gallara

118 DIFERENCIACIÓN DE CÉLULAS EN CULTIVO PRIMARIO DE PULPA DENTAL HUMANA.

De Couto Pita A*, Méndez CF

119 AUTOMEDICACION EN DOLOR E INFECCION ODONTOLOGICA

Miranda Roca P*, Silvestre N

120 SALUD BUCAL Y PARÁMETROS SALIVALES EN PACIENTES CON INSUFICIENCIA RENAL CRÓNICA. ESTUDIO PRELIMINAR

Rodríguez D*, Cardoso L, Elverdín JC, Tumilasci G, Arregger AL, Contreras LN

121 RELACIÓN ENTRE LIPOPEROXIDACIÓN DE MEMBRANA Y ACTIVIDAD Ca-ATPÁSICA EN MÚSCULOS MASTICADORES.

de la Cal C*, Di Croce DE, Sánchez GA, Takara D

122 POSIBLE EXISTENCIA DE UNA MASA CORPORAL HIPOXICA DISTINTA DE LA MASA CORPORAL NORMOXICA

Lezón CE*, Conti MI, Martinez MP, Bozzini C, Alippi RM, Bozzini CE

123 CONSISTENCIA DE LA DIETA Y BIOMECANICA MANDIBULAR DE LA RATA PREPUBER

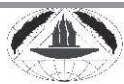
Bozzini C*, Champin GM, Bozzini CE, Alippi RM

124 DEXAMETASONA AFECTA EL MODULO ELASTICO DEL HUESO COMPACTO EN LA RATA HIPOXICA

Bozzini C*, Champin GM, Alippi RM, Bozzini CE

125 BIOMECANICA OSEA EN RESPUESTA A FENILEFRINA EN EL RETARDO DEL CRECIMIENTO.

Agüero Romero A*, Lezón C, Pintos P, Chiarenza A, Champin G, Alippi RM, Bozzini C, Boyer PM



126 RELACIÓN ENTRE EL CONSUMO CRÓNICO DE ALCOHOL Y EL DAÑO PERIODONTAL

Surkin PN*, Ossola CA, Ortega G, Mohn CE, Elverdin JC, Fernández-Solari J

127 MICROAMBIENTE MÉDULAR ÓSEO Y BIOMECANICA FEMORAL EN RATAS RCCN: EFECTO DEL PROPRANOLOL

Lezón C, Tasat D, Astort F, Pintos PM*, Champin G, Bozzini C, Friedman SM, Boyer P

128 PERIODONTITIS. CORRELACIÓN ENTRE HALLAZGOS CLÍNICOS Y UN MODELO EXPERIMENTAL EN LA RATA.

Miozza V*, Sánchez GA, Busch L

129 INTERLEUQUINA1B Y ESTRÉS OXIDATIVO EN SALIVA DE PACIENTES POST - INFARTO DE MIOCARDIO.

Ramos C*, Rubio MC, González PM, Lewin P, Puntarulo S, Álvarez E, Friedman S, Nicolosi LN

130 METODO PARA OBTENCION DE ODONTOBLASTOS DE RATA Y SU USO EN CULTIVOS

Pérez PL*, Rodríguez Santos IP, Cantiello HF, Cantero MR

131 RESPUESTA DEL HUESO ALVEOLAR A LA PERIODONTITIS EXPERIMENTAL EN RATAS HIPERCOLESTEROLÉMICAS

Antona ME*, Costa OR, Gamba AC, Mandalunis PM, Friedman SM, Macri EV

132 ISOPROTERENOL ACTIVA LA SECRECIÓN DE NTPDASAS EN GLÁNDULA SUBMANDIBULAR DE RATA

Balcarcel N*, Barbieri Van Haaster MM, González DA

133 NaF INDUCE LA EXPRESIÓN DIFERENCIAL DE CONEXINA 32 y 45 DE TEJIDO PULPAR

Centeno VA*, Fontanetti PA, Interlandi V, Ponce RH, Gallará RV

134 INDICADORES DE FLUOROSIS EN CRÍAS EXPUESTAS A NaF DURANTE LA GESTACIÓN Y LACTANCIA

Interlandi V*, Fontanetti PA, Ponce RH, Bojanich MA, Tirao G, Rigalli A, Gallará RV, Centeno VA.

135 ESTUDIO COMPARATIVO DE TOXICOS AMBIENTALES SOBRE LA BIOMECANICA O DE LA RATA

Lee CM*, Terrizzi AR, Bozzini C, Conti MI, Martínez MP

136 INTOXICACIÓN CON PLOMO BAJO HIPOXIA AMBIENTAL: EVALUACIÓN DE PARÁMETROS INFLAMATORIOS ORALES

Terrizzi AR*, Lee CM, Bozzini C, Mandalunis PM, Fernandez Solari JJ, Conti MI, Martínez MP

228 INFLUENCIA DE LA INGESTA CRONICA Y AGUDA DE ALCOHOL SOBRE GLANDULAS SUBMANDIBULARES (GSM) DE RATA

Mariani MC*, Linares J, Finkelberg A



POSTERS MICROBIOLOGIA INMUNOLOGÍA

Veedor: Marta Saravia

109 EFECTO DEL SUERO HUMANO EN LA FORMACIÓN DE BIOFILMS DE *Aggregatibacter actinomycetemcomitans*

Vilotta SM*, Somaglia L, Bernat MI, Palacios N, Rosmino MF, Domínguez SA, Molgatini SL, Turcot L

110 INTERACCIÓN "IN VITRO" DE BACTERIAS CARIOGÉNICAS FRENTE A BACTERIAS DE ORIGEN ALIMENTARIO

Sin C, Vasek O, Ortega* S

111 IDENTIFICACIÓN DE *Aggregatibacter actinomycetemcomitans* (Aa) Y SUS SEROTIPOS POR PCR

Ortega S*, De Biasio MB

112 ACCIÓN DE *Mycoplasma spp.* SOBRE LOS NIVELES BIOQUÍMICOS CLÍNICOS DE COLESTEROL HUMANO.

Vilotta SM*, Somaglia L, Bernat MI, Gliosca L, Palacios N, Rosmino MF, Molgatini SL, Turcot L.

113 PCR *in house*: TÉCNICA DE DETECCIÓN DE MARCADORES PERIODONTOPÁTICOS EN DE BIOFILM SUBGINGIVAL

Gliosca L*; Brusca MI; MacCarone G; Rosa A.

POSTERS ENDODONCIA

Veedor: Jorge Basilaki

137 EVALUACIÓN HISTOPATOLÓGICA DE PULPAS DENTALES CON DIAGNÓSTICO CLÍNICO DE PULPITIS

Rodríguez P, Renou SJ*, Lenarduzzi A, Martínez P, Corominola P, Sierra L, Gugliemotti M B

138 EPIDEMIOLOGÍA DE LA PATOLOGÍA PULPOPERIAPICAL. ETIOLOGÍA Y PREVALENCIAS.

Labarta AB*, Ritacco ED, Caride OA, Rodríguez PA, Gualtieri AF, Sierra LG

139 FRECUENCIA DE APARICION DEL SEGUNDO CONDUCTO MESIOVESTIBULAR EN LOS PRIMEROS MOLARES SUPERIORES PERMANENTES

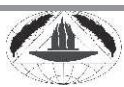
Martinez PA*, Buldo MA, Corominola PL, Lenarduzzi AL, Rodríguez PA

POSTERS ANATOMÍA E HISTOLOGÍA

Veedor: Sebastián Fontana - Patricia Mandalunis

151 REMOCIÓN DEL BARRO DENTINARIO POR IRRIGACIÓN CON ÁCIDO CÍTRICO AL 10% Y RC- PREP.

Labarta AB*, Ritacco ED, Rodríguez PA, Gualtieri AF, Sierra LG



152 CARACTERIZACIÓN DE VARIABLES MORFOMÉTRICAS DEL TERCER MOLAR.

Trinks P*, Pari F, Grifo B, Amer M, Sánchez GA

153 VARIACIONES HISTOLÓGICAS EN EL TEJIDO GINGIVAL SOMETIDO A FUERZAS ORTODÓNCICAS

Gili MA*, Aguirre MV, Latyn K, Almirón MS

154 DESGASTE OCLUSAL Y BIOMECÁNICA MANDIBULAR EN RATAS ADULTAS SUBMANDIBULECTOMIZADAS.

Amer M*, López Soria G, Elverdin JC, Chiarenza AP, Bozzini, C, Vacas MI

155 TOPICACIÓN CON BISFOSFONATOS PARA PREVENIR LA PERIODONTITIS EXPERIMENTAL: EFECTO SOBRE HUESOS LARGOS

Nenda MM*, Goya JA, Mandalunis PM

156 INGESTA DE DIETA ATEROGÉNICA Y OSIFICACIÓN ENDOCONDAL DE TIBIA EN RATA.

Nuñez FL*, Gubert MJ, Mandalunis PM, Friedman SM, Rodríguez PN, Gamba CA

157 EL CONSUMO DE YERBA MATE REDUCE LA PÉRDIDA ÓSEA EN ANIMALES OVARIECTOMIZADOS

Nervegna MT*, Lewicki M, Orzuza R, Friedman SM, Mandalunis PM

158 ASPECTO HISTOLOGICO DE PREDENTINA DEPOSITADA EN COMPLEJO DENTINOPULPAR DE RATAS CON DIFERENTES DIETAS.

Kohli A*, Dávila H, Zapata N, Zaffaroni M, Poletto L

POSTERS EDUCACION ODONTOLOGICA

Veedores: Noemí Bordoni, Ana María Biondi, Angela Argentieri

159 BELENOFOBIA EN ODONTOLOGÍA

Manterola* ER, Agasi R, Marckievicz J, Corrarelo A, Finlandino G, Herrera G, Rocha C, Deirdre B, Morales Manterola M

160 EVALUACIÓN DEL AFRONTAMIENTO DE LOS MIEDOS DE PACIENTES EN LA ATENCIÓN ODONTOLÓGICA

Casal M*, Aguilar P, Grandinetti JA, Mele MC; Brusca MI, García Labandal L

161 ANÁLISIS DE LA ATENCIÓN EN UN SERVICIO DE URGENCIAS ODONTOLÓGICAS.

Ubertone R*, Basovich P, Jorge S, Brusca L, Noceti M, Brusca MI Grandinetti JA

162 ESTUDIO DEL CONOCIMIENTO DE LAS LEYES QUE RIGEN EL EJERCICIO ODONTOLOGICO

Torres C*, Carbajales D, Brusca L, Wygachiewicz DE, Brusca MI, Grandinetti JA

163 PERCEPCION DE LOS ALUMNOS ANTE A UNA NUEVA ESTRATEGIA DE ENSEÑANZA (ABP)

Pedroso R., Morata M*, Pérez Bazán E., Politi Mattar C, Avellaneda R., Sosa G



164 BIOÉTICA ODONTOLÓGICA: INTERVENCIÓN PEDAGÓGICO DIDÁCTICA EN CUATRO COHORTES 3º AÑO ODONTOLÓGIA. ESTUDIO COMPARATIVO

Giaquinta MA*, Pascucci J, Fracapani M, Pesce E, Conill J

165 PRESCRIPCIONES DESAPROBADAS POR ALUMNOS DE GRADO Y DE CONVALIDACION EN LA FOUNLP

Butler T*, Jotko C, Giménez G, Degaetano S, Mele S, Pertino MR, Solari E, Cattaneo M, Serrano V, Iantosca A, Pólvora B, Gagliardi R

166 ASPECTOS BIOÉTICOS EN LA FORMACIÓN DEL ODONTÓLOGO

Ariasgago O*, Rivarola J, Marasso Spaciuk N, Maldonado Seniquel M

167 CONOCIMIENTOS SOBRE HIGIENE y BIOSEGURIDAD ADQUIRIDOS DURANTE LA CARRERA DE ODONTOLÓGIA

Zarate A*, Castillo MC, Bregains L, Rezzónico M S, Castillo G Castillo B, Priotto E, Irazuzta ML

168 CURSO DE ACREDITACIÓN DE INFORMÁTICA EN LA FOUNLP: OPINIÓN DE LOS ESTUDIANTES

Tomas LJ*, Albarracín SA, Medina MM, Coscarelli NY, Rueda LA, Papel GO, Irigoyen SA, Tissone S, Saporitti F, Mosconi E

169 EXÁMENES FINALES EN FISIOLÓGIA COMO PARAMETRO EVALUADOR DEL NIVEL MEDIO

Tosti SB*, Peñalva MA, Cecho AC, Garcia Molinari A

170 PROMOCIÓN DE LA SALUD BUCAL ENTRE ABUELOS Y NIETOS EN EL ÁMBITO ESCOLAR.

Vera, M*; Cacciamano J, Brasca N, Girardil, Urquía Morales MC, Farah Mi; Farah Ma

171 EVALUACIÓN DE LOS MIEDOS Y EMOCIONES DE ODONTÓLOGOS FRENTE A LA ATENCIÓN CLÍNICA

Romero J*, Garzon ML, Mele MC, Aguilar P, Brusca MI, García Labandal L, Grandinetti JA

172 DESERCIÓN ESTUDIANTIL DEL CURSO HISTOLOGÍA Y EMBRIOLOGÍA, FOUBA DURANTE EL 2013

Sánchez LM*, Coria SH, Mandalunis PM

173 EMPODERAMIENTO DEL CONOCIMIENTO DE ALUMNOS DEL CUAD EVALUANDO MODELO RUM: URGENCIAS MÉDICAS.

Lama MA*, Winter GA, Pascual VB, Rubio SC, Capurro MA

174 EVALUACIÓN Y SEGUIMIENTO DE LOS GRADUADOS DE LA FACULTAD DE ODONTOLÓGIA DE LA UNNE

Martínez S, Gili MA*, Vila V.

175 PERCEPCIÓN SOCIAL SOBRE LA CIENCIA Y LA TECNOLOGÍA EN LAS PROVINCIAS DEL NORDESTE ARGENTINA.

Juárez R*, Martínez S, Dho M, Vaculik P, Llarens A, Cúndom J, Almirón M



222 PROYECTO: EDUCACIÓN PARA LA SALUD. EVALUACIÓN DE UNA ESTRATEGIA EDUCATIVA SOBRE RECURSOS HUMANOS PRE PROFESIONALES

Cohen SA*, Szapowalo L, Orellana Perez C, Tacca F, Domasso G, Bordoni N.

POSTERS PATOLOGIA CLINICAANATOMIA PATOLOGIRADIOLOGIA

Veedores: Nicolosi Liliana, Adler Isabel, Renou Sandra, Gandolfo Mariana

185 EVALUACIÓN DE LA ENFERMEDAD PERIODONTAL DE PACIENTES CON CELIAQUÍA DIAGNOSTICADA EN LA ADULTEZ

Noier M*, Brusca L, Civitate S, Gutiérrez T, Buchanan J, Grandinetti JA, Brusca MI

186 EVALUACIÓN DE LOS PRINCIPALES TEMORES DE ALUMNOS FRENTE A LA ATENCIÓN ODONTOLÓGICA

Fajardo R*, Casal M, Garzón M, Tadeo M, Mele MC, Aguilar P, Brusca MI, Grandinetti JA

187 COMPARACIÓN DE DOS MODELOS DE ESTRES PRENATAL SOBRE EL CRECIMIENTO MANDIBULAR DE RATA

Fontanetti PA*, Flesia G, Mandalunis PM, Vermouth NT

188 CONCENTRACION DE PGE2 EN SALIVA DE NIÑOS CON LESIONES BUCALES ASOCIADAS A HISTIOCITOSIS

Benchuya C*, Gualtieri AF, Fernández de Preliasco V

189 ESTUDIO DE MICRONÚCLEOS EN PACIENTES FUMADORES CRÓNICOS

Nalli G, Verdú S*, Lanfranchi H, Cabrini R

190 APLICACIONES DE LA CITOLOGÍA EXFOLIATIVA COMO DIAGNÓSTICO

Almiron MS*, Montenegro M, Gilli MA

191 ALTERACIONES DE LA REPARACION POSTEXODONCIA EN CONDICIONES DE HIPOSIALIA EXPERIMENTAL EN RATAS

Mohn C*, Steimetz T, Najenson AC, Fernandez-Solari JJ, Elverdin JC, Guglielmotti B

192 MARCADORES DE PERIODONTITIS SON ATENUADOS POR UN CANNABINOIDE SINTÉTICO TIPO 2 EN RATAS

Ossola CA*, Surkin PN, Ortega G, Elverdin JC, Fernández Solari JJ

193 VIRUS DEL HERPES SIMPLE (HSV2) EN MUCOSA BUCAL

Micinquevich S*, Dorati P, Mayocchi K, Gómez M

194 PATOLOGIAS BUCALES. DETECCIÓN DEL VIRUS DEL PAPILOMA HUMANO MEDIANTE TÉCNICA MOLECULAR

Micinquevich S*, Mayocchi K, Dorati P, Gómez M

195 CONCORDANCIA INTER OBSERVADORES EN RADIOGRAFÍAS SERIADAS DIGITALES DE PACIENTES CON ENFERMEDAD PERIODONTAL.

Jorrat M*, Romero S, Brito GN, Medina JA, Rodríguez Aparicio MC



196 CORROSIÓN DE JOYERÍA METÁLICA ASOCIADA A “PIERCINGS” BUCALES ESTUDIO PILOTO

Ferrari L*, Sebelli P, Domingo M§, Steimetz T, Aguas S, Olmedo DG

197 NUTRIENTES Y ALIMENTOS ASOCIADOS A CÁNCER BUCAL

Secchi D*, Flores M, Brunotto M, Lanfranchi H

198 INCIDENCIA DE RETENCIÓN DE CANINOS SUPERIORES Y DE ANOMALÍAS ASOCIADAS

Wuscovi LF, Rodríguez Navarro ME*, Aragón HN, Jorrat M, Medina J, Brito GN

199 EL *Helicobacter pylori* EN PLACA Y SALIVA. SU RELACIÓN CON LA INFECCIÓN GÁSTRICA

Adler I*, Muiño A, Aguas S, Harada L, Díaz M, Lence A, Labbrozzi M, Denninghoff V

200 EVALUAR RADIOGRÁFICAMENTE LAS MANDÍBULAS Y TIBIAS DE RATONES NOD Y COMPARAR CON NOD SIN SINDROME DE SJÖGREN

Busamia, B*; Gobbi C, Rivero V; Mariani M, Fontana S, Diomedì M, Albiero E, Yorio M

201 CAPACIDAD DE FORMACIÓN DE ACETALDEHÍDO EN SALIVA EN RELACIÓN A LA CONSERVACIÓN DE LA MUESTRA.

Belardinelli P*, Bisogno F, Oksdath G, Baruzzi A, López de Blanc S

202 ADMINISTRACIÓN SECUENCIAL DE ALENDRONATO Y RANELATO DE ESTRONCIO EN RATAS O VARIETOMIZADAS

Díaz DH*, Oyhanart SR, Mandalunis PM, Escudero ND

203 BIOESTIMULACIÓN DE LA REPARACIÓN DEL HUESO ALVEOLAR DE RATA POST EXTRACCIÓN CON RADIACIONES LASER DE BAJA POTENCIA (RLBP).

Plavnik LM, Rubio S, Gait MT, Fontana S*, Malberti A.

204 RESPUESTA DEL HUESO ALVEOLAR POSEXTRACCIÓN FRENTE AL HIDRÓXIDO DE CALCIO $\text{Ca}(\text{OH})_2$. ESTUDIO PRELIMINAR.

Gait MT, Fontana S, Rubio S, Plavnik LM, Malberti A*.

205 RELACIÓN ENTRE BIOTIPO Y ANOMALÍA DE PACIENTES ORTODÓNCICOS DE LA FOUBA

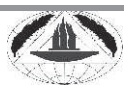
Folco AA, Pérez A*, Piñero R, Hecht P, Mateu ME.

206 DETERMINACIÓN DE LA EDAD ÓSEA APLICANDO EL MÉTODO DE CALDAS Y COL.

Avellaneda RV, Alderete V, Aragón H, Wuscovi L*, Gordillo ME.

221 PROYECTO: PROTOCOLO: ATENCIÓN ODONTOLÓGICA INTERDISCIPLINARIA EN PACIENTES CON CARDIOPATÍAS CONGENITAS DEL ADULTO

Winter G, Monod S, Morós CG, Lama MA, Lewin PG, Alonso A, Medina F, Iglesias I, Rubio MC, Nicolosi LN



224 PROYECTO ESTUDIO DE CARACTERIZACIÓN DEL CÁNCER BUCAL EN LA PROVINCIA DE RÍO NEGRO

Vanney JL*, Delgado ML, Chicatún M, Perg Y, Gigena M, Paniagaua S, Vicentino M, Preliasco M, Fernandez del Palacio S, Missana L, Marcantoni M, Cabrini R, Brandizzi D

225 PROYECTO: NIVELES DE CARIES Y NECESIDAD DE TRATAMIENTO PERIODONTAL EN RELACIÓN AL PH SALIVAL EN PACIENTES CON SÍNDROME DE DOWN

Vila, VG*; Martínez, SE; Barrios, CE; Encina Tutuy, AJ

COFFEE BREAK

SALON ATLANTIC

17.30 hs

CURSO DR. EUGENIO BELTRAN

“IMPACTO DE LOS NUEVOS CONOCIMIENTOS SOBRE LA SALUD BUCAL EN EL MUNDO”



SABADO 9 DE NOVIEMBRE
PRESENTACIONES DE POSTERS

SALON MEDITERRANEO

Sesión Mañana 9.00 a 12.00

Colocación de Posters (8.30 a 9.00)

Presentación de Posters de (9.00 a 11.30)

Retiro de Posters (11.30 a 12.00)

Encargados de salas: Lei MA, Di Croce D, Quinteros Villaruel G.

POSTERS CARIOLOGIA EPIDEMIOLOGIA SALUD PUBLICA

Veedores: Claudia Fernández, Gabriela Cortese, Aldo Squassi, Carlos Capuano

79 VALORACIÓN DE MOVIMIENTOS MANDIBULARES EN PACIENTES PEDIÁTRICOS

Estikle A*, Farah C, Biondi AM, Cortese S

80 INTERVENCIONES TERAPÉUTICAS EN PIEZAS PERMANENTES CON Y SIN HIPOMINERALIZACIÓN MOLAR INCISIVA (HMI)

Moreno C*, Cortese S, Ortolani A, Biondi AM

81 CUANTIFICACIÓN DEL RIESGO DE CARIES EN GRUPOS DENTARIOS DE PIEZAS PERMANENTES

Tamuch Y*, López M, Traverso P, Pizatti MA, Oldani A

82 FACTORES ASOCIADOS A LA SEVERIDAD DE CARIES EN DIENTES PERMANENTES

Tamuch Y*, López M, Traverso P, Pizatti MA, Oldani A

83 PREVALENCIA DE CARIES DENTAL EN ESCOLARES DE DOS POBLACIONES URBANO RURALES

Sousa M*, Martinez D, Virgillito A, Amighini MC, Romero J, Garcia MS, Pereyra L

84 ANALISIS DEL ESTADO DE SALUD BUCAL EN PACIENTES BAJO ATENCION MEDICA. INFORME PRELIMINAR

Alfonsín A*, Salgado P, Squassi A

85 GEOLOCALIZACIÓN DE LESIONES ORALES EN LA CIUDAD DE CÓRDOBA

Nieto A*, Brunotto M, Lazos J, Talia N, Zarate AM

86 ESTUDIO EPIDEMIOLÓGICO DE PIEZAS SUPERNUMERARIAS EN NIÑOS Y ADOLESCENTES

Bava E*, García M, Pantyrer M, Mendez Loayza L, Arrebola G, Pavan V

87 HABITOS DE AUTOCUIDADO BUCAL EN PACIENTES HOSPITALIZADOS

Alfonsín A*, Salgado P, Squassi A



88 ANALISIS DEL CONOCIMIENTO DE LOS ESTUDIANTES DE UNA UNIVERSIDAD SOBRE EL FLÚOR

Pereira MR*, Oliveira LFG, Costa AJ, Paiva JPJ, Carvalho JG, Lima AA, Pereira LCG

89 INTERRELACIÓN ENTRE COMUNIDAD QOM BARRIO LOS PUMITAS (ROSARIO) Y SISTEMA DE SALUD/SALUD ODONTOLÓGICA

Azcona MS*; Carames R

90 MEDICAMENTOS EN COMBINACIÓN A DOSIS FIJA UTILIZADOS POR ODONTÓLOGOS PARA PATOLOGÍAS BUCODENTALES

Karaben V*, Rea A, Ramírez L, Morales S

91 PLANTAS MEDICINALES DE LA REGIÓN DE ESTEROS DEL IBERÁ PARA PATOLOGÍAS BUCODENTALES

Karaben V*, Rea A, Zamudio ME.

92 NECESIDAD DE TRATAMIENTO ORTODÓNCICO EN ESCOLARES RESIDENTES EN UNA COMUNIDAD RURAL

Marchi R*, Diaz C, Masoli C, Capuano C.

93 PREVALENCIA Y SEVERIDAD DE CARIES EN ESCOLARES DE COMUNIDADES RURALES (PCIA.CHACO)

De Santis M*, Willems C, Ferrarini S, Fernandez C R, De Cesare A, Masson Moline G, Squassi A, Capuano C.

94 DETERMINANTES DE SALUD Y RIESGO CARIOGÉNICO EN PROCESO ERUPTIVO DE DENTICIÓNERMANENTE

Ochonga G*, Tolcachir B, Rubio S, Tortolini P, Castillo G, Scatena G, Lehner E, Miranda S, Barembaum S, Martinez MC.

95 ASPECTO CLÍNICO DE HIPOMINERALIZACIÓN Y REDUCCIÓN MINERAL REGISTRADA CON LÁSER FLUORESCENTE

Fridman D*, Cortese SG, Biondi AM

96 FRECUENCIA DE TRASTORNOS TÉMPOROMANDIBULARES (TTM) EN NIÑOS DE 10 A 15 AÑOS

Guitelman I*, Fridman D, Biondi AM, Cortese S

97 ESTIMACIÓN DE VALORES DE NORMALIDAD DE SATURACIÓN DE OXÍGENO EN PIEZAS PRIMARIAS. ESTUDIO PRELIMINAR

Martín AL*; García SM; Rossi GN

98 CARIES EN ESCOLARES PERTENECIENTES A COMUNIDADES RURALES DE LA PROVINCIA DE MISIONES

Masson Moliné G*, De Cesare A, Ferrarini S, Ventura F, Passarini L, Fernández CR, Sorazabal A, Rossi G, Squassi A, Capuano C

99 NECESIDAD DE TRATAMIENTO PERIODONTAL EN ADOLESCENTES RESIDENTES EN UNA COMUNIDAD RURAL

Masoli C*, Torres M, Tilke G, Capuano C



100 NECESIDAD DE TRATAMIENTO DE CARIES DE ESCOLARES RESIDENTES EN UN ÁREA URBANO MARGINAL

Salvioni E*, Toral M, Gutierrez N, Oliva C, Salgado P, Klemonsks G, Squassi A.

101 HIPOMINERALIZACIÓN MOLAR INCISIVA: ASOCIACIÓN ENTRE ASPECTO CLÍNICO Y NECESIDAD DE TRATAMIENTO.

Zacharczuk G*, Toscano M, Cortese S, Ortolani A, Biondi AM

102 PREVALENCIA DE PIERCING Y OTRAS CONDUCTAS DE RIESGO EN ESTUDIANTES UNIVERSITARIOS

Sebelli P*, Ferrari L.

103 ESTUDIO COMPARATIVO DE RECIENTOS DES. *mutans* EN NIÑOS TRATADOS CON FLUORUROS O CLORHEXIDINA

Zimmermann E*, Cachia A, Díaz A, Maino A, Spoleti MJ, Pisterna G, Spoleti P

104 ESTADO DE SALUD BUCAL EN NIÑOS NATIVOS E INMIGRANTES

Nakazato A, D'Adamo C*, Bertolino M, Ferrante A, García. FM, Cook L, López M

105 UBICACIÓN DE LESIONES POR CARIES EN PRIMEROS PREMOLARES DE MUJERES ATENDIDAS EN OPERATORIA DENTAL

Uva D, Salatay JE, Lamboglia P, Falcon D, Costa RL, Garcia A, Tosti SB*

106 SEGUNDOS MOLARES PRIMARIOS CON OPACIDADES EN PACIENTES CON HIPOMINERALIZACIÓN MOLAR INCISIVA (HMI)

Fernández Gudiño S*, Ortolani A, Cortese S, Biondi AM

107 RELEVAMIENTO DE LA SALUD BUCAL POR ALUMNOS DE ODONTOLOGIA EN PACIENTES HOSPITALIZADOS

Suárez ML*, Anaise C, González N, Cruz M, Rudzinski JJ, Módena JC, Rubio MC, Nicolosi LN

108 CONDICION BUCAL EN RELACION AL ESTADO NUTRICIONAL Y NIVELES DE INMUNOGLOBULINA A EN SALIVA

Martínez SE*, Juárez RA, Vila VG, Barrios CE

220 PROYECTO IDENTIFICACIÓN Y CARACTERIZACIÓN DE FACTORES QUE INFLUYEN EN EL COMPONENTE BUCAL DE LA SALUD DE LOS POBLADORES DEL IBERÁ

Ojeda MC*; Maldonado Seniquel MF; Mendoza NL

223 PROYECTO EFECTIVIDAD DE DOS BARNICES DE FLUORURO SOBRE LA ESTABILIZACIÓN DE LESIONES DE CARIES INCIPIENTES

Pacheco R*, Cornejo C, Salvioni E, Salgado P, Toral M, Klemonsks G, Squassi A.



POSTERS ORTODONCIA

Veedor: Carla Masoli

114 NIVEL DE SATISFACCIÓN DE LOS PACIENTES SOMETIDOS A TRATAMIENTO ORTODÓNTICO

Lourenço GC*, Teixeira LG, Souza JAC, Barbosa MM, Lima AA, Pereira LCG

115 UBICACION ESPACIAL DEL HUESO HIOIDES EN PACIENTES CON LA CONVEXIDAD FACIAL REDUCIDA

Collante de Benitez C*, Latyn K, Palczikoswki L

116 GANANCIA DE ESPACIO CON ORTODONCIA CONVENCIONAL Y DE AUTOLIGADO PASIVO. ESTUDIO CLÍNICO RESPECTIVO RANDOMIZADO

Folco AA*, Iglesias M, Benítez Rogé S, Calabrese D, Lumi M, Pelizardi C, Solla M, Herrera Del Corral MA, Hecht P, Mateu ME

117 CAMBIOS EN LA RELACIÓN DE WALA RIDGE CON ORTODONCIA DE AUTOLIGADO PASIVO

Folco AA, Herrera MA*, Uccar E, Benítez Rogé S, Calabrese D, Pelizardi C, Solla M, Mateu ME

226 ESTUDIO IN VIVO: EFECTOS DEL CONSUMO DE HORMONAS ANTICONCEPTIVAS SOBRE EL MOVIMIENTO ORTODÓNTICO. RESULTADOS PRELIMINARES.

Escribano F*, Piacenza A, Rocamundi M, Peralta G, Bass Puer A, Plavnik L

POSTERS MATERIALES DENTALES - ODONTOLOGIA REHABILITADORA

Veedores: Pablo Abate; Andrea Kaplan

140 EL PLANO DE OCLUSIÓN EN DESDENTADOS PARA CONSTRUIR PRÓTESIS REMOVIBLES

Vera MM*, Pescio JJ, Ponce RH.

141 EVALUACIÓN DEL CONOCIMIENTO DE LAS LIMITACIONES Y RIESGOS DEL BLANQUEAMIENTO DENTAL

Souza GC, Oliveira BCA*, Melo CC, Silva NR, Pereira LCG

142 COMPOSICIÓN QUÍMICA Y ADAPTACIÓN A LA PARED PULPAR DE TRES CEMENTOS ENCAPSULADOS PARA RESTAURACIÓN.

Rozas C*, Hernando L, Rodríguez IA, Braín L, Molina G, Uribe Echevarría J.

143 DETECCIÓN DE CARIES INTRACAVITARIA CON MÉTODO FACE Y SU ELIMINACIÓN CON FRESAS DE POLÍMERO.

Uribe Echevarría A*, Saravia ME, Nome C, Rodríguez IA, Rozas C, Uribe Echevarría J

144 ESTUDIO COMPARATIVO IN VITRO DE SISTEMAS ADHESIVOS EN ESMALTE PRIMARIO

Picca M, Garrofé A*, Cortese S, Biondi AM



145 ESTUDIO CLÍNICO RESTAURADOR A TRAVÉS DE DIFERENTES TÉCNICAS ADHESIVAS EN LESIONES CERVICALES

Busleiman FJ*, Sezín M, Lutri P, De Leonardi G, Francia C, Giménez M, Spadiliero de Lutri M

146 FACTORES ASOCIADOS A LESIONES CERVICALES Y SU RELACIÓN CON EL PERIODONTO

Busleimán FJ*, Gutvay AV, Machado NB, Carnino Ferreccio ML, Brunotto M, Spadiliero de Lutri MM.

147 RESISTENCIA ADHESIVA DE RESINA NANOHÍBRIDA POLIMERIZADA CON DIFERENTES FUENTES LUMÍNICAS

Piconi C*, Lutri P, Mirotti G, Monserrat N, Croharé L, Sezín M.

148 ADHESIÓN DE RESINAS NANOHÍBRIDAS EN CAVIDADES OCLUSO VESTIBULARES CON Y SIN BISEL

Piconi C*, Lutri P, Mirotti G, Kraemer M, Caballero A, Croharé L, Sezín M

149 COMPONENTES INORGÁNICOS DEL ESMALTE SANO Y CON LESIONES CERVICALES A DIFERENTES PROFUNDIDADES

Lutri P, Francia C, Valentinuzzi M, Busleiman F*, Giménez M, Sezín M, Spadiliero de Lutri M.

150 RADIOPACIDAD DE CEMENTOS DE IONOMERO DE VIDRIO PARA PROTECCIÓN CAVITARIA

Cardoso LP*, Mendes LA, Carvalho AA, Correia MSM, Pereira LCG

POSTERS PERIODONCIA E IMPLANTES

Veedores: Osvaldo Costa, Liliana Turcot

176 ZIRCONIO ASOCIADO A LA ELABORACIÓN DE IMPLANTES DENTARIOS: COMPOSICIÓN QUÍMICA porosidad.

Lazo G, Lazo S, Butler T*, Basal R, Escudero E, Friso E, Alfaro G, Viscovik C, Pazos F, Amaro E, Ivanov M, Merlo D, Belloni F.

177 EFECTO DEL OLPADRONATO SOBRE LA PÉRDIDA ÓSEA INDUCIDA POR PERIODONTITIS EXPERIMENTAL

Goya JA*, Mandalunis PM

178 OSTEOGÉNESIS RELACIONADA A IMPLANTES DE POLIETILENO POROSO. ESTUDIO HISTOLÓGICO

Martínez Rodríguez J*, Renou SJ, Guglielmotti MB

179 ESTUDIO PARA LA ESTIMACIÓN DE LA OSEOINTEGRACIÓN EN RADIOGRAFÍAS DE IMPLANTES DENTALES

Brandizzi D, Bruno ME*, Delgado ML, Chicatún M, Gigena M, Fernández del Palacio S, Marcantoni M, Costa OR, Cabrini RL



180 BIOACTIVIDAD DE NANOPARTÍCULAS DE TIO₂: MARCADORES BIOQUÍMICOS EN SUERO Y ORINA

Bruno ME*, Meroño T, Brites F, Paparella ML, Cabrini RL, Tasat DR, Olmedo DG

181 EVALUACIÓN DEL ESTADO PERIODONTAL DE PACIENTES CON PROBLEMAS ERUPTIVOS DEL TERCER MOLAR

Balsamo MF*, Puia S, Robles M, Toranzo S, Brusca MI, Lucentini M

182 ESTUDIO PRELIMINAR DE LOS AGRANDAMIENTOS GINGIVALES EN TRANSPLANTADOS RENALES INDUCIDOS POR TACROLIMUS.

Rossi J, Ferrel E*, Viotti P, Taborda N, Grandinetti JA, Ortego T, Schiavelli R, Pompei J, Brusca MI

183 EVALUACIÓN DE LA PREVALENCIA DE ENFERMEDAD PERIODONTAL EN PACIENTES OBESOS

Garritano M*, Schnell M, Carballo B, Tornelli F, Grandinetti JA, Tornelli FA, Brusca MI

184 ANESTESIA PARA IMPLANTES EN SECTOR POSTERIOR DE MANDÍBULA: ESTUDIO RETROSPECTIVO

García Blanco M*, Gualtieri AF, Puia SA.

219 PROYECTO: ROL DE LA SALIVA COMO MARCADOR DE LA ENFERMEDAD PERIODONTAL

Baudo J; Tosti S*; Cecho A; Mazzeo D; Domínguez G; Allegretti P.

227 PROYECTO: CAPACIDAD PREDICTIVA DE INDICADORES PERIODONTALES SOBRE EL FRACASO TERAPEUTICO EN PACIENTES HIV+

D'Eramo L*, Gliosca L, Soken L, Bozza F, Abusamra L, Molgatini S, Squassi A.

PROYECTOSORALES(207 a 218)

SALÓN CORAL

Responsables: Héctor Lanfranchi, Morasso Ana María, Romúlo L Cabrini

8.30 a 8.45

207 PROYECTO: EVALUACIÓN IN VITRO DEL SELLADO MARGINAL DE CEMENTOS RESINOSOS DE AUTOGRABADO

Chávez Lozada J*, Urquía Morales C.

8.45 a 9.00

208 PROYECTO: COMPARACIÓN DE LAS TÉCNICAS ANESTÉSICAS TRONCULAR E INFILTRATIVA EN COLOCACIÓN DE IMPLANTES

García Blanco M*, Puia SA



9.00 a 9.15

209 PROYECTO: TÉCNICA DE MICROSCOPIA ÓPTICA PARA IDENTIFICAR EL SEGUNDO CONDUCTO MESIOBUCAL

Oneto JM *, Giménez del Arco ML, García Puente C, Tamini EliceGUI LE y Abate PF

9.15 a 9.30

211 PROYECTO INTEGRIDAD DE UN CEMENTO UTILIZANDO DISTINTAS TÉCNICAS DE FIJACIÓN DE POSTES

Thompson L*, Tamini EliceGUI LE y Abate PF

9.30 a 9.45

212 PROYECTO: RESISTENCIA MECÁNICA Y ANÁLISIS DE FRACTURA DE PORCELANA SOBREENYECTADA SOBRE ESTRUCTURAS DE CIRCONIO

Capusotto A*, Tamini EliceGUI LE y Abate PF

9.45 a 10.00

213 PROYECTO: ESTUDIO COMPARATIVO DE CLASIFICACIÓN DE FORMAS DENTARIAS EN RELACIÓN AL BIOTIPO PERIODONTAL

Senn LF *, Lazos JP, Rhis K, David OP

10.00 a 10.15

214 PROYECTO: RESOLUCIÓN QUIRÚRGICA EN NIÑOS CON ANESTESIA LOCAL SIN SEDACIÓN CON MUSICOTERAPIA COMO PROFILAXIS QUIRÚRGICA

Manterola ER*

10.15 a 10.30

215 PROYECTO: EFECTOS ALVÉOLO - DENTARIOS EN TRATAMIENTOS CON PLACAS ALINEADORAS. ESTUDIO TOMOGRÁFICO (CBCT)

Mateu ME*, Folco AA.

10.30 a 10.45

216 PROYECTO: LA HIGIENE PROTÉTICA Y EL TABAQUISMO EN PRÓTESIS REMOVIBLES

Bracamonte E*, Peralta C, Álvarez P, Montañez D, Livolsi E. De la Vega D, Vera M

10.45 a 11.00

217 PROYECTO PREVALENCIA DE LESIONES DE TEJIDOS Blandos BUCALES EN UNA MUESTRA POBLACIONAL DE ABA

Rizzo V*, Giacco C, Lanfranchi H, Adler I, Aguas S, Stolbizer F

11.00 a 11.15

218 PROYECTO ATENCIÓN DEL COMPONENTE BUCAL EN NIÑOS DE UNA ZONA RURAL

Grilli S*, Di Nasso P; Zabala R; Martín L

11.15 a 11.30

221 PROYECTO PROTOCOLO DE ATENCIÓN ODONTOLÓGICA INTERDISCIPLINARIA EN PACIENTES CON CARDIOPATÍAS CONGÉNITAS DEL ADULTO

Winter G, Monod S, Morós CG, Lama MA, Lewin PG, Alonso A, Medina F, Iglesias I, Rubio MC, Nicolosi LN



SALON CORAL

11.30 REUNION ACTA ODONTOLOGICA LATINOAMERICANA

SALONES ACUARIO, ATLANTIC Y CORAL

14.30 a 17.30 Presentaciones a Premios

SALON ATLANTIC

18.00 ASAMBLEA GENERAL ORDINARIA

SALON MEDITERRANEO

22.00 CENA DE CLAUSURA



SALON ACUARIO
Premio Divisional Para Jovenes Investigadores
Premio Colgate Odontólogos Investigación Básica
Premio Colgate Odontólogos Investigación Clínica
Premio Colgate Estudiantes de Odontología
Premio VOCCO

SALON CORAL
Premio Para Investigadores Jovenes Dr. Erasquin
Premio Para Estudiantes Investigadores Dra. María Inés Egozcue
Premio Dra. María Luisa Rins de David
Premio Dr. Omar Tumilasci
Premio Academia Nacional de Odontología

SALON ATLANTIC
Premio Suzel M. Scozzarro
Premio FEDERA
Premio Salud Bucal
Subsidio Cotta Ramusino
Subsidio Erasquin



Sociedad Argentina de Investigación Odontológica
División Argentina
International Association for Dental Research

PREMIOS

SALON ACUARIO

PREMIODIVISIONAL

Categoría SENIOR

14.30 hs

Alteración del crecimiento cóndilo-mandibular por acción de un bisfosfonato: Estudio histomorfométrico.

AUTORES: Oyhanart SR, Escudero ND, Mandalunis PM

PREMIOS COLGATE PALMOLIVE

Ciencias Básicas

14.50 hs

Formas L de bacterias como colonizadores pioneros del esmalte dental. Estudio preliminar.

AUTORES: Palacios N, Turcot L, Bernat MI, Vilotta SM, Rosmino MF, Dominguez SA, Molgatini S, Somaglia L

15.10 hs

Efecto del cromo hexavalente sobre la remodelación del alvéolo en ratas lactantes

AUTORES: Sánchez LM, De Lucca RC, Ubios AM

Ciencias Clínicas

15.30 hs

Efectividad de cuatro protocolos para la utilización de cemento de ionomero vítreo y diamino fluoruro de plata para el tratamiento de caries

AUTORES: Capuano C, Masoli C, Fernandez C, Squassi A.



Estudiante

15.50 hs

Valoración de riesgo de caries usando diferentes pruebas y recuentos de *Streptococcus mutans*.

AUTORES: Rubio JM*, Saravia ME, Nelson Filho P, Uribe Echevarría A, Silva RAB, Uribe Echevarría J.

PREMIO “VOCO”

16.10 hs

Resistencia a la tracción de postes de fibra de vidrio utilizando cementos de autograbado--Segunda etapa

AUTORES: Gigena C, Julián S, Gil Rodriguez P, Sakalian C

16.30 hs

Efecto de la manipulación de los composites sobre su color por inmersión en infusiones.

AUTORES: Lei MA, Kaplan AE

16.50 hs

Evaluación in vitro de la filtración de restauraciones en dientes expuestos a ambientes hiperbáricos.

AUTORES: Rau A*, Garrofe A, Grandinetti A, Brusca M, Picca M.

SALON CORAL

PREMIO DR. RODOLFO ERAUSQUIN

14.30 hs

Variables asociadas al abandono de tratamiento odontológico en gestantes de poblaciones vulnerables

AUTORES: Cornejo C, Rossi G, Serra Capó T, Rama A, Gomez Gutierrez N, Salgado P, Squassi A, Klemonsks G.

PREMIO DRA. MARÍA INÉS EGOZCUE

14.50 hs

Aislamiento y sensibilidad antifúngica de *Candida spp.* bucales en pacientes VIH+

AUTORES: Fedelli L*, Gliosca L, D'Eramo L, Squassi A, Molgatini SL.



15.10 hs

Un modelo experimental de desuso en el hueso alveolar de rata. Estudio histomorfométrico.

AUTORES: Trojan-Cotumacci AE*, Ubios AM, Bozal CB

PREMIO DRA. MARÍA LUISA RINS DE DAVID**15.30 hs**

Síntesis y caracterización de un nuevo composite bioactivo como potencial sustituto óseo

AUTORES: Martínez C, Fernández CA, Prado M, Olmedo D, Ozols A.

PREMIO Dr. OMAR TUMILASCI**15.50 hs**

Apoptosis por lidocaína en aurícula de rata con anticuerpos de pacientes periodontales

AUTORES: Quinteros Villarruel E, Moran G, Reina S, Borda E, Orman B

PREMIO DE LA ACADEMIA NACIONAL DE ODONTOLOGIA**16.10 hs**

Percepción de estudiantes de odontología respecto de la salud bucal y VIH/SIDA.

AUTORES: Medici S, D'Eramo L, Bordoni N, Sanchez G, Squassi A.

16.30 hs

El portfolio de evaluación estudiantil en la carrera de odontología

AUTORES: Luna I; Aguilar P, Mele MC; Civitate S; Grandinetti JA; Brusca MI, García Labandal L.

16.50 hs

Premanipulación: de materiales dentales (MD): una propuesta innovadora. Percepción de los alumnos.

AUTORES: Iglesias ME, Ferrari B*, Picca M



SALON ATLANTIC

PREMIO "SUZEL M. SCOZZARRO"

14.30 hs

Estudio preliminar de la influencia del PACO en la salud bucal

AUTORES: Robles M *, Fajardo R, Aguilar P, Mele MC, Grandinetti JA, Brusca MI

14.50 hs

Procesamiento microbiológico y molecular de muestras bucales de personas que viven con VIH y SIDA (PPVS) que se encuentran bajo tratamiento antirretroviral (HAART)

AUTORES: Gliosca L, Bozza F*, D'Eramo L; Stoppani N; Soken L, Fedelli L, Squassi A; Molgatini S

15.10 hs

Marcadores de periodontitis son atenuados por estimulación de receptores de cannabinoides tipo 2 en ratas

AUTORES: Ossola* CA, Surkin PN, Ortega GE, Elverdin JC, Fernández Solari J

PREMIO "FEDERA"

15.30 hs

Bioactividad de nanopartículas de TiO₂: marcadores bioquímicos en suero y orina

AUTORES: Bruno* ME, Meroño T, Brites F, Paparella M, Cabrini R, Tasat DR, Olmedo DG

PREMIO SALUD BUCAL

15.50 hs

Efectividad de una intervención educativa de higiene bucal en escolares.

AUTORES: Rossi G*, Sorazabal A, Salgado P, Klemonsks G, Squassi A

16.10 hs

Relación entre variables radiográficas ángulos y distancias en caninos superiores

AUTORES: Wuscovi LF, Rodríguez Navarro ME*, Aragón HN, Jorrat M, Medina J, Brito GN



SUBSIDIO ‘ALBERTO COTTA RAMUSINO

16.30 hs

PROYECTO: Capacidad predictiva de indicadores periodontales sobre el fracaso terapéutico en pacientes HIV +

AUTORES: D'Eramo L, Gliosca L, Soken L, Bozza F, Abusamra L, Molgatini S, Squassi A.

16.50 hs

PROYECTO:Efectos alvéolo - dentarios en tratamientos con placas alineadoras. Estudio tomográfico (CBCT).

AUTORES: Mateu ME, Folco AA.

SUBSIDIO RODOLFO ERAUSQUIN

17.10

PROYECTO Comparación de las técnicas anestésicas troncular e infiltrativa en colocación de implantes

AUTORES: García Blanco M, Puia SA



1

CARACTERIZACIÓN DE LA MÁCULA MELANÓTICA. CORRELACIÓN DERMATOSCÓPICA E HISTOLÓGICA

Mordoh A*, Gandolfo M, Casas G, Werner L, Lence A, Aguas S, Giacco C, Lanfranchi H.
Facultad de Odontología. Universidad de Buenos Aires

La dermatoscopia es una técnica diagnóstica no invasiva in vivo, que permite el análisis de los caracteres morfológicos de las lesiones pigmentadas utilizando diferentes sistemas de magnificación de la luz incidente con una técnica de inmersión en aceite o de luz polarizada. Si bien el rol de esta técnica está extensamente definido para lesiones cutáneas existe poca evidencia en la literatura acerca de la utilidad de esta herramienta en el diagnóstico de lesiones pigmentadas mucosas. **OBJETIVO:** Describir las características clínicas, dermatoscópicas e histológicas de las máculas melanóticas bucales y estimar la concordancia entre los patrones dermatoscópicos y la histopatología. **MÉTODO:** Estudio prospectivo, descriptivo, de corte transversal. Se llevó a cabo el examen clínico, dermatoscópico e histológico de pacientes con lesiones pigmentadas bucales que asistieron a la Cátedra de Clínica Estomatológica de la Facultad de Odontología de la Universidad de Buenos Aires. **RESULTADOS:** Se estudiaron 25 pacientes correspondientes a 56% mácula melanótica (14 casos), 24% alteraciones post-inflamatorias (6), 4% tatuaje (1), 4% nevo (1), 4% melanoma (1), 4% mancha racial (1) y 4% queilitis actínica liquenoide (1). Las máculas melanóticas se presentaron como lesiones únicas en el 28,5% de los casos (4), como lesiones múltiples (de 1 a 4) en el 7%(1) y como más de 5 lesiones en el 64,5% (9). Las localizaciones más frecuentes fueron: 50% mucosa labial (7), 22% encía (3), 14% mucosa yugal (2), 7% (1) semimucosa y 7% (1) reborde alveolar. Los hallazgos dermatoscópicos de las máculas melanóticas fueron: 85,7%(12) líneas paralelas, escama de pescado ó hifas, 35,7% (5) glóbulos alineados, 35,7% (5) áreas sin estructura, 7,1% (1) velo, 0% presentaron red pigmentaria. El 100% de los hallazgos de líneas, escamas ó hifas se correspondieron histológicamente con el aumento de melanina ó de melanocitos en la capa basal. **CONCLUSIONES:** el hallazgo de líneas, escamas o hifas en la dermatoscopia se correlacionó con el diagnóstico histológico de mácula melanótica. Destacamos que el hallazgo de velo ó de áreas sin estructura fue en lesiones ubicadas en encía adherida, por lo que a priori nos hace sospechar que la dermatoscopia en estos sitios es de menor utilidad. UBACYT CO013 ana.mordoh@gmail.com

2

ESTUDIO DE METÁSTASIS BUCALES DE PRIMITIVO DESCONOCIDO EN MUJERES

Villalba L*, Cabrini RL, Keszler A.
Cátedra de Anatomía Patológica. Facultad Odontología. UBA

El diagnóstico de metástasis en la cavidad bucal representa un desafío de importancia clínica, principalmente en aquellos casos que se desconoce la existencia del tumor primitivo. Histológicamente, su habitual indiferenciación requiere utilizar un panel de anticuerpos, basado en los caracteres morfológicos, que orienten hacia la probable localización del tumor primario. **OBJETIVO:** Evaluar los casos de metástasis bucales con primitivo desconocido en mujeres, aportar datos clínicos y determinar el inmunofenotipo para estimar su posible origen. **MÉTODO:** Se evaluaron 24 casos seleccionados de los archivos del LPQ, Cátedra de Anatomía Patológica, FOUBA. Se analizaron los datos clínicos de edad, localización y diagnóstico clínico presuntivo obtenidos de los protocolos de biopsia. En 17 de ellos, cuyos tacos de archivo tenían material suficiente, se realizaron técnicas inmunohistoquímicas (peroxidasa avidina-biotina y diaminobencidina) y coloración HE, con controles positivos. El panel inicial de anticuerpos utilizados fue: anti CK AE1/AE3, CK7, CK20 y Vim. Según los resultados obtenidos se adicionó TTF1. **RESULTADOS:** La edad media fue 64,5 años (44-92). La localización fue intraósea en 17 casos (70.8%), con predominio mandibular (58,3%), 5 casos en mucosa (20.8%), y 2 casos sin dato (8,3%). Catorce casos (58.3%) contaban con diagnóstico clínico presuntivo incluyendo, neoplasia maligna (no metastásica): 7 casos (29.1%), quiste: 4 casos (16.6%) y lesión inflamatoria/displásica: 3 casos (12.5%). Todos ellos fueron CKAE1/AE3+ determinado estirpe epitelial. Según la expresión coordinada de CK7 y CK20, 10 casos (58.8%) fueron CK7+/CK20-, 9 de ellos TTF1- y Vim- orientando hacia origen mamario, descartando pulmón y endometrio. Un caso confirmó clínicamente origen tiroideo. Seis casos (35.2%) resultaron CK7 -/CK20-, 3 de ellos por su morfología y expresión Vim+ presuponen origen renal. Los 3 restantes Vim - sugieren posible primitivo hepático. Ningún caso expresó CK7+/CK20+ o CK7 -/CK20+. **CONCLUSIONES:** En base a la histomorfología, la utilización de un panel de anticuerpos y su expresión coordinada permitió orientar hacia posibles orígenes del tumor primitivo. Es necesario adicionar nuevos marcadores que limiten aún más tales posibilidades lausdrigo@hotmail.com

3

RELACIÓN ENTRE VARIABLES RADIOGRÁFICAS ÁNGULOS Y DISTANCIAS EN CANINOS SUPERIORES

Wuscovi LF, Rodríguez Navarro ME*, Aragón HN, Jorrat M, Medina J, Brito GN.
Cátedra de Radiología. UNT

La retención de los caninos superiores causa múltiples consecuencias tales como reabsorciones dentarias radiculares de dientes vecinos. Determinar su diagnóstico en etapas tempranas permite evitar o reducir sus daños. **OBJETIVO:** comparar los valores de las variables ángulo externo de canino superior con respecto al plano que corta la sutura en forma perpendicular y distancia de cúspide de canino a sutura intermaxilar, en diferentes grupos de caninos erupcionados, retenidos y en pacientes niños con gérmenes de canino normales. **METODO:** Se trabajó sobre estudios radiográficos de 96 individuos de ambos sexos divididos en 3 grupos: 1) pacientes con caninos superiores erupcionados (35 N) edad de 18 a 24 años 2) pacientes con caninos retenidos, mayores de 14 años (14 N) 3) Pacientes niños con gérmenes de caninos considerados normales edad 8 a 10 años (47 N). Se aplicó la técnica radiográfica sistematizada (Wuscovi et al 2009). El protocolo de este estudio fue aprobado por un comité de ética. Se digitalizaron las imágenes y se midieron las variables distancia y ángulo externo con programa Image Tool. Se compararon estadísticamente los datos obtenidos de las variables utilizando el programa SPSS. **RESULTADOS:** Se determinó que en la variable ángulo se observaron diferencias significativas entre el grupo erupcionados en forma normal y de caninos retenido ($p < 0,001$), en cambio no se observó diferencia entre el grupo de gérmenes en vías de erupción y los erupcionados normales ($p > 0,05$). Respecto a la variable distancia se observó diferencia significativa entre los 3 grupos ($p < 0,001$). **CONCLUSIONES:** Resulta fundamental el estudio de la variable ángulo en pacientes niños ya que tendría influencia predictiva en el diagnóstico temprano de caninos superiores retenidos. Subsidiado parcialmente por el CIUNT

marielitarn@gmail.com

4

EXPRESIÓN INMUNOHISTOQUÍMICA DE ATM (ATAXIA TELEANGIECTASA MUTADO) EN EL LÍQUEN PLANO BUCAL

Gandolfo MS*, Pérez MA, Keszler A, Paparella ML, Itoiz ME FOUBA

El gen ATM es un supresor de tumor que codifica una proteína de la familia fosfatidil inositol 3 -quinasa la cual participa en la reparación del ADN y en el control del ciclo celular. La pérdida de función homocigótica da lugar a la rara enfermedad conocida como ataxia-teleangiectasia. Se ha demostrado la inactivación de la proteína ATM en diversas neoplasias malignas incluyendo tumores de cabeza y cuello. La disminución de la expresión se ha correlacionado con el pronóstico y la evolución. Por el contrario, en lesiones premalignas cutáneas y esofágicas y en leucoplasias bucales se ha demostrado un incremento de expresión, y en la mucosa bucal normal se ha detectado moderada reactividad en las células basales. **OBJETIVO** Evaluar la expresión inmunohistoquímica en biopsias de líquen plano bucal (LPB). **MÉTODO:** Se analizaron 12 especímenes de biopsias remitidas al Laboratorio de Patología Quirúrgica con diagnóstico de LPB y 10 especímenes de mucosa bucal normal obtenidas durante cirugías de lesiones profundas. Se realizó la detección inmunohistoquímica utilizando un anticuerpo policlonal generado en conejo contra aminoácidos de ATM humana (H-300 Santa Cruz Biotechnology Inc.) y posterior detección con sistema multilink (Biogenex). **RESULTADOS** En el LPB la reacción es irregular, se observa en todos los estratos epiteliales con intensidades variables. Las mucosas normales mostraron reacción nuclear moderada o débil en estrato basal. **CONCLUSIÓN** Se describe por primera vez la expresión de ATM en LPB. La expresión está alterada con respecto a los patrones de la mucosa normal siendo muy variable entre los casos y entre distintos sectores de un mismo corte, siendo también diferente a la descrita en leucoplasias. Esto hace necesario un análisis de una muestra más extensa para relacionar esta distribución con diferentes variedades de LPB, explorar su significado biológico y su utilidad en el pronóstico y evolución.

mgandolfo@uolsinectis.com.ar

5

SEGMENTACIÓN MARKOVIANA DE IMÁGENES EN ESTUDIOS DE CRECIMIENTO ÓSEO DE RATAS WISTAR.

Flesia JG*#, Flesia AG+, Fontanetti PA"#

Cátedra Diagnóstico por Imágenes Facultad de Odontología - Catedra de Introducción Física y Química Biológicas Facultad de Odontología - Grupo Estadística FAMAFA- UNC

OBJETIVO Evaluar la capacidad de nuevos desarrollos en procesamiento de imágenes para realizar estudios paralelos no invasivos, digitalizando inversamente radiografías dentales de muestras preparadas para estudio histológico sobre el desarrollo óseo de ratas Wistar. **METODO:** Se presentan resultados de segmentaciones de una radiografía de una mandíbula de rata Wistar, digitalizada inversamente. Las Hemi-Mandíbulas de ratas Cepa Wistar, de 60 días previa vivisección, fueron recolectadas en la cátedra de histología de la Facultad de Odontología de la UNC. como parte de un estudio de crecimiento óseo. La radiografía fue tomada en la Facultad de Odontología de la UNC, con la Técnica Radiográfica de 2cm Aluminio. 65 Kv, 8 Ma. Procesado Radiográfico fue realizado en la Facultad de Odontología de la UNC. Para comparación, se realizó una segmentación manual, pixel a pixel, de los tejidos visibles en la imagen. Los procedimientos de procesamiento de imágenes usados, MV (máxima verosimilitud), CEP (complete enumeration propagation), PCVT (path constrained Viterbi training), y ICM (iterated conditional modes) pertenecen a un nuevo toolbox de segmentación contextual Markoviana en lenguaje Matlab generado por investigadores de FAMAFA, de la UNC. Se comparan los resultados obtenidos con los diferentes métodos usando el estadístico kappa, en contra de la segmentación realizada manualmente por los autores. Dichos resultados son, a su vez, comparados con estudios histológicos realizados sobre las muestras. **RESULTADOS:** Las imágenes presentan un alto nivel de ruido, introducido por el scanner. Los métodos Markovianos causales, CEP y PCVT logran limpiar el ruido y segmentar correctamente la imagen, con un valor de kappa de 0.8+ - 0.12, con un 95% de confianza. **CONCLUSION** Este estudio presenta el potencial de toolbox generado en la Famafa -UNC para segmentar automáticamente imágenes digitalizadas inversamente con alto nivel de ruido, permitiendo realizar estudios no invasivos que pueden ser comparados en el tiempo con otros trabajos de investigación en crecimiento de tejidos óseos.

NO SE PRESENTÓ

odflesia@gmail.com

6

ESTUDIO COMPARATIVO ENTRE RADIOGRAFÍA PANORÁMICA Y CBCT DE LAS LESIONES RADIOLÚCIDAS MAXILARES

Bruno IG*, Giannunzio GA, Piloni, MJ, Martínez, BAM

Facultad de Odontología de la Universidad de Buenos Aires

El objetivo de este trabajo fue comparar las características radiográficas de las lesiones radiolúcidas intraóseas de los maxilares en radiografías panorámicas (RP) y en los estudios con Tomografía computada de haz cónico (CBCT). Materiales y métodos: Se analizaron 19 pacientes de entre 12 y 76 años promedio 44 años derivados de la Cátedra de Cirugía III, de la Facultad de Odontología, UBA que presentaron lesiones radiolúcidas bien delimitadas de ≥ 1.5 cm de diámetro en los maxilares. Todos los pacientes fueron examinados con Equipo panorámico Cranex Tome (Origen Finland) y CBCT Kodak 9000C 3D previamente a las intervenciones quirúrgicas. Se analizaron los hallazgos radiográficos tipificándolos según: localización, forma, dimensiones, márgenes, densidad, efecto óseo, efecto dentario. Cada caso fue documentado clínica y radiográficamente. La localización de las lesiones maxilares intraóseas fueron clasificadas en anterior (línea media hasta distal de canino), media (mesial de primer premolar a distal del tercer molar) y tuberosidad. En forma similar se agruparon en el maxilar inferior involucrando en la zona posterior ángulo, rama, cóndilo y apófisis coronoides. Las imágenes fueron analizadas por tres radiólogos calibrados, un cirujano y un anatomopatólogo bucal maxilofacial. Resultados: Las lesiones se localizaron 2 en maxilar superior zona anterior y el resto en el maxilar inferior. Se efectuó la comparación basándose en las variables cuantitativas; dimensión horizontal y vertical se usó una anova factorial de comparaciones múltiples y para los ensayos se utilizó el test lambda de Wilks, los datos estudiados muestran que no hay diferencias significativas entre los operadores como tampoco entre métodos. Se efectuó la comparación entre RP y CBCT basándose en las variables de escala, para los ensayos se eligió el Test no paramétrico Mann-Whitney U-Test ellos mostraron diferencias significativas para las variables tabiques óseos, erosión de la cortical y cortical reaccional. Conclusión: Con esta herramienta diagnóstica se puede obtener características volumétricas y hacer un meticuloso análisis de los parámetros radiológicos de las lesiones en tres dimensiones.

dragbruno@yahoo.com.ar

7

PREVENCIÓN DE INFECCIÓN DEL SITIO QUIRURGICO MEDIANTE UN PROTOCOLO DE DESCONTAMINACIÓN BUCAL

Rubio MC*1-2, González N1, Cruz M1, Martínez CD1-2, Nicolosi LN1-2 Cátedra de Patología y Clínica Bucodental. CLAPAR II FOUBA. División Cardiología Hospital Español de Bs As2

Las infecciones del sitio quirúrgico son causa de morbilidad y mortalidad después de la cirugía cardíaca. La descolonización de microorganismos patógenos constituye una importante estrategia en la prevención. **OBJETIVOS:** determinar la eficacia de la descontaminación bucal pre y post operatoria en reducir la infección del sitio quirúrgico superficial y profunda (mediastinitis) en cirugía cardiovascular (CCV). **MÉTODO:** estudio comparativo, experimental en pacientes (P) con CCV programada entre 2011 - 2013, a quienes se les efectuó descontaminación bucal guiada por odontólogo (CDB). Se instruyó sobre técnicas de cepillado, se prescribió enjuagues bucales con gluconato de clorhexidina 0.12% cada 12 h durante 72 h previas a la CCV continuando a las 24 h post extubación hasta el alta. Se comparó con un grupo de P con CCV intervenidos entre 2009 -2010 sin el protocolo odontológico (SDB). Se removieron focos sépticos bucales, recibieron mupirocina 2% nasal y profilaxis antibiótica previa a la CCV en ambos grupos. Infección de herida quirúrgica superficial se diagnosticó ante la presencia de secreción purulenta con cultivos bacteriológicos positivos. El diagnóstico de mediastinitis (profunda) requirió además leucocitosis y confirmación tomográfica. Estadística: se utilizó el programa SPSS 16, IC 95%, error $\alpha < 0.05$. Test utilizados: Chi2, Fisher y Chi Yates. **RESULTADOS:** Grupo CDB 133 P, hombres 106, edad 64.05 ± 11.41 años y Grupo SDB 153 P, hombres 128, edad 63.82 ± 12.32 años. Tipo de CCV: revascularización miocárdica 101 (75.94%, IC95% 67.61 -82.73) vs 109 (71.24%, IC95% 63.27 -78.12), valvular 21 (15.78%, IC95% 10.25-23.35) vs 26 (16.99%, IC95% 11.59 -24.09), combinadas 8 (6.01%, IC95% 2.01 -17.78) vs 14 (9.15%, IC95% 5.28-15.16), otras 3 (2.25%, IC95% 0.43-8.27) vs 4 (2.61%, IC95% 0.70-7.71) respectivamente, $p > 0.05$. Mediastinitis 5 (3.75%, IC95% 1.16 -13.55) vs 8 (5.22%, IC95% 1.74 -15.62), $p = 0.75$. Infección en el sitio quirúrgico 10 (7.5%, IC95% 3.86 -13.74) vs 23 (15.03%, IC95% 9.96 -21.91), $p = 0.03$, OR 2.19 (IC95% 1.10 -4.36). **CONCLUSIONES:** En CCV la descontaminación bucal pre y post operatoria disminuyó la infección superficial en el sitio quirúrgico, sin modificar la incidencia de mediastinitis

mcrubio@live.com.ar

8

IMPACTO DEL MÉDICO EN ATENCIÓN ODONTOLÓGICA DE PACIENTES CON RIESGO MÉDICO ASOCIADO

Rubio MC*, Monod S, González N, Lama MA, Tomasetti, V, Cruz M, Pompeo M, Lewin PNicolosi LN
Cátedra de Patología y Clínica Bucodental. CLAPAR II FOUBA

El Hospital Odontológico de la UBA cuenta con un área de atención para pacientes con riesgo médico (RM) en el CLAPAR II. La complejidad de las patologías tratadas requiere de un enfoque interdisciplinario (ID) y la incorporación al equipo asistencial de profesionales de distintas áreas de la salud permitiría la atención de pacientes (P) con patologías más severas ofreciendo una alternativa asistencial. **OBJETIVOS:** establecer el impacto en la atención odontológica con un equipo ID en pacientes con riesgo médico. **MÉTODO:** se efectuó un estudio retrospectivo comparativo, transversal, entre pacientes atendidos en CAPAR II con anterioridad a la incorporación de médicos de distintas especialidades al equipo de odontólogos con formación en atención de P con RM asociado entre 2002 -2003 (PRE) y posterior a la implementación del equipo ID 2009 -2010 (POS). Se recabaron los siguientes datos de la historia clínica: características antropológicas, diagnóstico médico principal y parámetros de salud bucal (CPOD). El RM fue evaluado mediante la clasificación del American Society of Anesthesiologists (ASA). Análisis estadístico: se utilizó el paquete estadístico SPSS 16, test Chi2, ANOVA, IC del 95% y error alfa < 0.05 . **RESULTADOS:** se incorporaron en el grupo PRE 480 P y en el grupo POS 351 P, mujeres 306 (63.75%) vs 206 (58.68%), edad 46.90 ± 17.84 años vs 62.04 ± 14.40 ($p = 0.000$). ASA I 38 (7.9%) vs 1 (0.3%) ($p = 0.000$), ASA II 258 (53.8%) vs 209 (59.5%) ($p = 0.55$), ASA III 126 (26.2%) vs 94 (26.8%) ($p = 0.46$), ASA IV 26 (5.4%) vs 35 (10%) ($p = 0.009$), respectivamente. Cariados 4.89 ± 4.17 vs 3.5 ± 3.11 ($p = 0.0002$), Perdidos 6.71 ± 6.42 vs 11.2 ± 7.66 (0.0000), Obturados 2.99 ± 3.33 vs 3.24 ± 4.04 ($p = 0.0002$), CPOD 14.47 ± 6.85 vs 17.8 ± 6.87 ($p = 0.0000$). Se observaron diferencias en las siguientes patologías: psiquiátricas 44 (9.21%) vs 19 (5.4%), diabetes 75 (15.6%) vs 19 (5.4%) ($p = 0.038$), Hipertensión arterial 108 (22.5%) vs 121 (34.5%) ($p = 0.000$), oncológicas 0 vs 49 (14%) ($p = 0.000$), anticoagulados 14 (2.9%) vs 46 (13.10%) ($p = 0.000$). **CONCLUSIONES:** la incorporación de médicos en el grupo de trabajo permitió la atención odontológica integral de pacientes con mayor riesgo biológico. El CPOD y la edad fueron mayores en los P con riesgo médico más severo.

rubiomc@live.com.ar

9

ESTUDIO DE MEDICIONES SEGÚN LA POSICIÓN DEL MAXILAR EN TOMOGRAFÍA COMPUTADA (CBCT)

Vazquez DJ*, Hecht P, Scheneider E, Osende N, Ramírez MJ, Carbajal E.
Cátedra de Radiología Facultad de Odontología UBA

OBJETIVO Determinar una posible variación de las medidas dentarias o implantarias según la zona del maxilar a partir de un incorrecto posicionamiento del paciente en el equipo para tomografías computadas. **MÉTODO:** El operador introdujo en un modelo de mandíbula desdentada 14 tornillos de 11 milímetros de altura ubicados siete a la derecha y siete a la izquierda. Estos se fijaron en los alveolos de incisivos, caninos, premolares y molares. A posteriori se ubicó la mandíbula en la mentonera del tomógrafo (CBCT) en cinco posiciones, es decir, en posición normal, adelantado 2 cm., atrasado 2 cm, rotado 45° hacia la izquierda y rotado 45° hacia la derecha. Se le realizaron los estudios tomográficos y las mediciones según dos observadores de cada implante. **RESULTADOS:** Se realizaron cinco tomas tomográficas. La primera de ubicó a la mandíbula en la posición que el fabricante del equipo indica como correcta y se obtuvieron mediciones desde los 10,8 a 11 milímetros en los implantes según ambos observadores. Se realizó con la mandíbula atrasada y se hallaron medidas desde los 10,4 hasta los 11,2 milímetros, hallándose los menores valores en los implantes de la zona anterior. Con la mandíbula atrasada se hallaron valores desde los 10,2 hasta los 11 milímetros, encontrándose menores valores en las mediciones del sector anterior. Con la mandíbula rotada hacia la izquierda se hallaron valores desde los 10,3 a 11 milímetros siendo estos, los menores valores en las zonas de los implantes posteriores del lado derecho. En la mandíbula rotada hacia la derecha obtuvimos medidas desde los 10,6 hasta los 11,2 milímetros, observándose en la zona de incisivos, mediciones que superan los 11 milímetros. Se realizó el análisis de varianza y se observaron diferencias significativas entre las distintas posiciones de las mandíbulas en el tomógrafo, las ubicaciones de los implantes, y no se hallaron diferencias significativas entre ambos lados de la mandíbula. **CONCLUSIÓN:** Según este estudio se pudo comprobar que un paciente posicionado incorrectamente en el equipo tomográfico puede variar considerablemente las mediciones diagnósticas en diversos sitios de los maxilares, minimizando así la precisión propia de la tomografía computada (CBCT)

jv983@hotmail.com

10

ESTUDIO DE LA DOSIS ABSORBIDA POR LA GLÁNDULA TIROIDES EN TÉCNICAS RADIOGRÁFICAS ODONTOLÓGICAS

Vazquez DJ*, Hecht JP, Carbajal EE
Cátedra de Radiología Facultad de Odontología UBA

OBJETIVO: analizar la dosis de radiación que absorbe la glándula tiroides en diferentes estudios radiográficos odontológicos, en relación a la dosis efectiva en forma directa. **MÉTODO:** se ubicó un dosímetro termoluminiscencia en el collar de protección tiroidea, en un paciente con solicitud por parte de su odontólogo para realizarse una radiografía panorámica y una seriada periapical y otro con solicitud de tomografía computada (CBCT), la telerradiografía se realizó sobre un fantoma dado que dicha técnica no se puede realizar con collar tiroideo. Se realizaron controles por cada estudio radiológico, ubicando el dosímetro en forma directa sin paciente. **RESULTADOS:** se realizó un estudio panorámico con valores de 74 Kilovolts (Kv), 10 miliamperaje (mA) y un tiempo de exposición (t. exp), de 15,199 seg. El valor obtenido para el dosímetro ubicado en la tiroides fue de 0 miliSievert (mSv), en cambio el dosímetro ubicado en forma directa, registró un valor de 0,04mSv. La telerradiografía con valores de 80 Kv, 10 mA y t. exp 0,5 seg. para la tiroides, registró un valor de 0,08mSv, en tanto el estudio control dio un valor de 0,09mSv. La (CBCT) del maxilar superior, en la tiroides, no registro valor alguno, en el control registró 7,52mSv, para el maxilar inferior se registraron 0,33mSv para la tiroides y 0,81mSv para el control. Todas las tomografías se realizaron con 70 Kv, 10 mA en tres tomas por maxilar (stiching). La media seriada de maxilar inferior, con equipo para radiología intrabucal, se utilizaron valores de 70 Kv, 8 mA con: 0,7 seg. para zona de molares (2 tomas), 0,6 seg. para premolares (2 tomas), y 0,55 seg. para caninos e incisivos (3 tomas), registró 1,04 mSv en la tiroides y la dosis directa 5,21mSv. En el maxilar inferior con iguales cantidad de tomas y valores de Kv y mA, pero con 0,55 seg para molares, 0,5 seg. para premolares y 0,45 seg. para caninos e incisivos, no se registró ningún valor de absorción para la tiroides, el control registró 4,41mSv. Estadísticamente se halló diferencia significativa entre el estudio y el control. **CONCLUSIÓN:** se pudo corroborar que la dosis absorbida por la glándula tiroides es menor, respecto a la dosis en forma directa coincidiendo parcialmente con la bibliografía consultada

jv983@hotmail.com

11

DETERMINACIÓN DE ENFERMEDAD PERIODONTAL EN TOMOGRAFÍA COMPUTADA (CBCT) EN PACIENTES OBESOS. ESTUDIO PRELIMINAR.

Vazquez DJ*, Pellegrini G, Carbajal E, Zeni S
Cátedra de Radiología Facultad de Odontología UBA- Laboratorio de Enfermedades metabólicas óseas. INIGEM UBA-CONICET.

OBJETIVO: Evaluar retrospectivamente, las pérdidas óseas vertical y horizontal, estudiadas en todas las piezas dentarias halladas en la base de datos de un tomógrafo odontológico (CBCT) por vestibular, palatino o lingual, mesial y distal; en humanos obesos mayores de 40 años de edad y un grupo control. **MÉTODOS:** se evaluaron estudios tomográficos en forma retrospectiva, registrados en una base de datos de una muestra de 10 pacientes de ambos sexos mayores de 40 años con obesidad (se incluyó todo tipo de causal de dicha enfermedad con un índice de masa corporal mayor a 30) y un grupo control de 10 pacientes sin sobrepeso (pacientes con un índice de masa corporal menor a 25). En todas las piezas dentarias halladas en la computadora se realizaron mediciones desde la cortical de la cresta ósea alveolar, hasta el límite amelocementario de todas las piezas dentarias por mesial, distal, palatino o lingual y vestibular. **RESULTADOS:** En los pacientes obesos se halló una pérdida ósea por mesial promedio de 2,58 mm. con un mínimo de 1,1mm. y un máximo de 5,1mm. En distal se halló una pérdida promedio equivalente a 2,67 (mínimo de 0,9mm. y máximo de 5,1mm.). Por vestibular se registró un promedio de 3,32mm. (mínimo de 1,5mm. y máximo de 7mm.). En lingual o palatino se registró una pérdida promedio de 2,94mm (mínimo 1,2mm y máximo de 7,20mm). En el grupo control se halló una pérdida ósea por mesial promedio de 1,66mm. con un mínimo de 1mm. y un máximo de 3,2mm., por distal se halló una pérdida promedio equivalente a 1,87mm. (mínimo de 1,1mm. y máximo de 5,1mm.). En vestibular se registró un promedio de 1,68mm. (mínimo de 0,9mm. y máximo de 2,7mm.). A nivel lingual o palatino se encontró una pérdida promedio de 1,63mm (mínimo 1 mm y máximo de 3,1mm). se realizó el análisis de varianza y, se hallaron diferencias significativas en las pérdidas óseas entre OBESOS y CONTROL, sin hallarse diferencias entre sexos de cada grupo. **CONCLUSIÓN:** En este estudio preliminar con 10 pacientes y 10 controles se pudo comprobar una mayor incidencia de pacientes obesos con enfermedad periodontal en comparación a pacientes sin sobrepeso. Nunca anteriormente se había realizado este tipo de estudio con CBCT Se debería ampliar la muestra y desarrollar las causas de la obesidad en futuros estudios. jv983@hotmail.com

12

EFFECTO DEL CROMO HEXAVALENTE SOBRE LA REMODELACIÓN DEL ALVÉOLO EN RATAS LACTANTES

Sánchez LM*, De Lucca RC, Ubios AM. Cátedra de Histología y Embriología, FOUBA

Desechos industriales que contienen cromo hexavalente (Cr VI) se vuelcan a las aguas de consumo pudiendo afectar a los niños vía leche materna y a través de la preparación de mamaderas. Estudios morfométricos realizados en nuestro laboratorio demostraron en ratas que luego de 10 días la exposición a dicromato potásico (Cr VI) provoca retraso en la erupción dentaria y en el crecimiento mandibular. Al mismo tiempo experimental hemos observado menor actividad ósea en el alvéolo en formación. **OBJETIVO** Estudiar histomorfométricamente la remodelación ósea alveolar durante la erupción dentaria en ratas expuestas a Cr VI. **METODO:** 16 ratas Wistar de 4 días de edad recibieron diariamente por sonda: Grupo Experimental (E), una solución de dicromato potásico de 12,5 mg/kg de peso, Grupo Control (C), un volumen equivalente de solución fisiológica. Al día 19, se practicó la eutanasia de todos los animales y se extrajeron las mandíbulas que fueron fijadas en formol buffer y descalcificadas en EDTA. Un hemimaxilar fue procesado para la técnica histoquímica de TRAP. El otro, para la técnica histológica corriente. Se obtuvieron cortes bucolinguales orientados a nivel del 1° molar inferior. Mediante el Image Pro Plus 4.5 se midieron: grado de erupción dentaria (ED), volumen óseo (VO), ancho periodontal, actividad ósea y el número de osteoclastos (OCL)/ mm² en tablas vestibular (TV) y lingual (TL) y en el fondo del alvéolo. Los datos fueron analizados usando el Test *t* de Student, considerando una $p < 0,05$ estadísticamente significativa. **RESULTADOS:** Sólo se enuncian los valores estadísticamente significativos: ED: C: 93,79µm±20,43; E: 191,19µm±19,21; Ancho periodontal: TL: C: 249,41µm±7,01; E: 193,23µm±7,87. VO: C: 31,5%±4,08; E: 24,82%±1,77. Actividad ósea: TV: Reabsorción (RO): C: 44,38%±3,05; E: 35,03%±6,44. Formación (FO): C: 22,6%±2,5; E: 17,1%±3,07. Reposo (Re): C: 29,50%±4,99; E: 47,84%±5,09. Fondo del alvéolo: RO: C: 51,86%±5,08; E: 27,03%±6,70. FO: C: 21,79%±3,08; E: 17,30%±2,29. Re: C: 26,38%±6,23; E: 55,64%±5,72. TL: RO: C: 19,29%±1,86; E: 17,48%±4,36. FO: C: 49,12%±2,9; E: 33,23%±4,19. Re: C: 31,56%±3,74; E: 49,31%±5,6. **CONCLUSIÓN** Cr VI provoca un menor grado de la remodelación ósea del alvéolo en formación durante la erupción dentaria. Subsidio UBACyT 2011-2014 20020100100196.

lucianamsanchez@hotmail.com

13

CARACTERÍSTICAS DEL CARCINOMA A CÉLULAS ESCAMOSAS BUCAL EN PACIENTES HPV POSITIVOS

Criscuolo MI*1, Morelato R1, Belardinelli P1, Cuffini C2, López de Blanc S1.
1Cátedra de Estomatología B. Facultad de Odontología. 2Instituto de Virología
Facultad de Ciencias Médicas. U.N.C

El HPV es uno de los factores emergentes para el cáncer bucal; sin embargo resulta un tema complejo, en especial por tratarse de un agente de elevada frecuencia en cavidad bucal y orofaringe. **Objetivo:** Analizar las características de edad, sexo, localización, existencia de factores de riesgo: tabaco, alcohol, trauma dentario o protético, clínica sugestiva de infección por HPV y antecedentes de otros carcinomas bucales en pacientes con Carcinoma a células escamosas bucal (CCE) HPV positivos y negativos. **Material y Método:** se realizó un estudio retrospectivo de historias clínicas de pacientes con carcinoma a células escamosas bucales (CCE), cuyas muestras fueron analizadas con la técnica de reacción en cadena de polimerasa (PCR), para detección de HPV. Se establecieron dos grupos: HPV + y HPV -. Se analizaron variables como edad, sexo, localización, existencia de factores: tabaco, alcohol, trauma dentario o protético, clínica sugestiva de infección por HPV y antecedentes de otros carcinomas bucales. **Resultados:** se incluyeron 40 pacientes con CCE la edad promedio fue de 64 años, 23 de sexo masculino y 17 femenino (relación 1,3:1). Dieciséis pacientes (40%) resultaron HPV positivos. La localización más frecuente fue lengua: 75% en HPV + y 46 % en HPV-, seguido por reborde y encía con el 12 y el 21% respectivamente. La clínica sugestiva de infección por HPV fue 50% en positivos y 42% en negativos. El 37,5% (6) de los pacientes HPV + presentaron otros focos de carcinomas bucales, mientras que sólo 21% (5) de los HPV -. El trauma, el tabaco y el alcohol no presentó diferencias de su prevalencia en ambos grupos. Sólo dos pacientes HPV+ (12,5%) no presentaron otros factores de riesgo asociados. Se aplicó chi cuadrado. **Conclusiones:** El 40% de los pacientes con CCE resultó HPV+, y en dos de éstos pacientes (12%) fue el único factor de riesgo detectado. En ambos grupos el consumo de tabaco y alcohol fue similar, resultando más frecuente la presencia de trauma dentario o protético. Si bien sería necesario ampliar la muestra para corroborar el hallazgo, llamó la atención que los CCE localizados en lengua fueron los más observados en pacientes HPV positivos

icriscuolo@hotmail.com

14

EFFECTIVIDAD DE UN PROGRAMA PREVENTIVO BASADO EN FLUORUROS EN PREESCOLARES DE ÁMBITO URBANO

Vuoto E, Fernández CN, Cambria Ronda S, Borjas MI*, Cabrera DF, Vuoto JI, Afronetti SE
Facultad de Odontología - Hospital Universitario U.N.Cuyo

OBJETIVO: evaluar el comportamiento de indicadores de caries tras la implementación de un programa preventivo dirigido a preescolares con altos índices de caries en Mendoza. **MÉTODO:** estudio clínico de intervención prospectivo de dos años. Se implementó un programa preventivo: educación para la salud, enseñanza de técnica de higiene bucal y aplicación tópica de flúor fosfato acidulado bianual. Población de estudio: muestra intencionada de 92 niños de sala de 4 años(2010) que fueron evaluados en su cursado posterior en sala de 5 años(2011) y en 1er grado(2012). Grupo control: niños asistentes a sala de 5 años y a 1er grado al momento del examen basal(2010). Se les aplicó el programa por razones éticas. A 12 y 24 meses se evaluaron: porcentaje de libres de caries, ceod+CPOD, cpos+CPOS y valores discriminados incluyendo en C mancha blanca, medias de categorías 2 al 6 de ICDAS II, índice de Placa Bacteriana de Løe y Silness, índice de necesidad de tratamiento de caries de Bordoní (INTC). Se determinaron: distribución de frecuencias e intervalos de confianza para cada variable; medidas de tendencia central y dispersión; comparaciones entre grupos con pruebas T de Student y chi cuadrado (nivel de $p=0.05$). **RESULTADOS:** Entre sala 5 años 2011/sala de 5 años 2010, hubo diferencia significativa entre medias de ICDAS 4 ($t=-2.9$, $p=0.03$). Entre 1er año 2012 / 1er año 2010: disminuyeron significativamente: medias de ceod+CPOD ($t=-2.8$, $p=0.005$), ceod+CPOD ($t=-2.9$, $p=0.003$), CS+cs ($t=-2.4$, $p=0.017$), ceos+CPOS ($t=-2.1$, $p=0.033$) e ICDAS 2 ($t=-2.3$, $p=0.022$), 3 ($t=-2.007$, $p=0.046$), 4 ($t=-3.04$, $p=0.003$) y 5 ($t=-2.2$, $p=0.023$). En el resto de los indicadores, si bien no se observaron diferencias significativas entre los grupos, se remarca tendencia a disminuir sus valores en grupo de estudio. Se encontraron diferencias significativas para los componentes C unidad diente ($t=-5.368$, $p=0.000$), unidad superficie ($t=-5.021$, $p=0.000$) y CPOD ($t=-5.380$, $p=0.000$) y CPOS total ($t=-5.046$, $p=0.000$) y no para los referidos a dentición temporaria. **CONCLUSIÓN:** en la evaluación a dos años de implementación, el programa resultó efectivo para reducir algunos valores de indicadores de caries con respecto al grupo control que no fue expuesto a fluoruros. Las diferencias son atribuibles a menores índices de caries en permanentes.

iborjas@fodonto.uncu.edu.ar

15

RETENCIÓN DE DOS TIPOS DE SELLANTES DE IONÓMERO VÍTREO EN PRIMEROS MOLARES PERMANENTES

Fernández CN*; Vuoto ER; Arias SC; Buttani N; Cambría Ronda S; Calatayud L; Dolonguevich ER; Fernandez AL; Nafissi CG; Martín M; Salinas De; Affronti SE; Herrero HD; Forconi E. Facultad Odontología -U.N.Cuyo- Hospital Universitario

OBJETIVO establecer parámetros objetivos para la elección de sellantes de ionómero vítreo de alta densidad (Ketac Molar 3M®) o de barniz de ionómero vítreo modificado con resina (Clinpro XT 3 M®) en contextos de trabajo en terreno, estableciendo y comparando el grado de retención de cada uno a los 12 meses. **MÉTODO:** En 145 superficies oclusales totalmente erupcionadas se asignaron aleatoriamente 2 grupos de estudio en un diseño de grupos paralelos y en boca dividida. Se registraron índice ICDAS en categoría 0,1 y 2, tipo de sellante instalado e índice de Retención de Sellantes de Frencken (IRSF). Se determinaron distribuciones de frecuencias, y se realizaron comparaciones entre grupos mediante prueba de chi cuadrado con un $p=0,05$. **RESULTADOS** El 60,7 % de los mismos presentaron una categoría de "sellante íntegro" para el IRSF, mientras que para las categorías pérdida parcial y pérdida total pero con superficie sana fue del 29,7 % y 7,6 % respectivamente. Se observaron diferencias significativas para la distribución de las categorías de IRSF a los 12 meses ($\chi^2=190,138$, $p=0,000$), según tendencias descriptas. Al discriminar el IRSF según tipo de sellante aplicado, se observaron diferencias significativas con prueba de chi cuadrado ($\chi^2=12,338$, $p=0,0158$): Clinpro XT presenta con respecto a Ketac Molar valores mayores de retención en la categoría "0= sellante íntegro" y valores menores en el resto de las categorías que describen pérdidas totales o parciales del sellante. **CONCLUSIONES** la evaluación de la retención de los sellantes instalados a los 12 meses, indica que los realizados con Clinpro XT presentan significativamente mayor retención con sellante íntegro que los realizados con Ketac Molar, aunque éste presenta mayores valores para retención parcial sin caries. Los casos asociados a pérdidas parciales o totales y caries son escasos.

claudia.n.fdz@gmail.com

16

ESTADO DENTARIO Y CARACTERÍSTICAS SOCIODEMOGRÁFICAS DE ESCOLARES DE LA CIUDAD DE AVELLANEDA

Fuks J*, Pazos X, Napoli A, Fort A, Palomba S., Squassi A.
Cátedra de Odontología Preventiva y Comunitaria - FOUBA

OBJETIVO: Describir el estado dentario de niños de 12 años de escuelas públicas de la Ciudad de Avellaneda y establecer asociaciones con indicadores sociales. **MÉTODOS:** Sobre una muestra de 424 niños de 12 años, previo consentimiento informado, seleccionados aleatoriamente entre todas las escuelas del sector público de las localidades de Gerli, Piñeyro, Sarandí y Villa Domingo (Avellaneda, Pcia.Bs.As.), se realizó un estudio descriptivo transversal. Se realizó un examen dentario, mediante espejo y explorador, en instalaciones de cada escuela, a cargo de alumnos de 6° año de la Carrera de Odontología, entrenados y supervisados por docentes. Fueron calculados: CPOD, CPOS, ceod, ceos y componentes y el índice significativo de caries (SIC). Se registraron, a través de cuestionarios autoadministrados, el nivel educativo de la madre, condiciones laborales, cobertura médica y beneficio de planes sociales. Fueron calculadas medidas de tendencia central y dispersión y distribución de frecuencias. La estadística inferencial se realizó mediante ANOVA robustas de Welch y el post hoc con pruebas robustas de Games Howell, test de Student para muestras independientes, test de chi cuadrado y comparación de proporciones y post hoc test de Bonferroni. **RESULTADOS:** Los índices de estado dentario fueron: Gerli: CPOD:2,28+,23; CPOS:3,04+,35; ceod:0,63+,14; ceos:1,11+,28; SIC:4.43+1.8; Piñeyro: CPOD:2,21+,19; CPOS:3,37+,40; ceod:0,46+,08; ceos:0,58+,13; SIC:4.5+1.7; Villa Domingo: CPOD:2,31+,22; CPOS:3,26+,37; ceod:0,67+,12; ceos:1,47+,30; SIC:4.36+2.2; y Sarandí: CPOD:2,47+,21; CPOS: 3,36+,32, ceod:0,45+,09, ceos: 0,77+,18; SIC:4.64+1.7. No se observaron diferencias significativas entre las localidades. La distribución de la población de acuerdo con el indicador "plan social" fue: Gerli 24%, Piñeyro 23%, V.Domingo 22% y Sarandí 27%; y para el indicador "obra social": Gerli 50,6%; Piñeyro: 40,5%, V.Domingo 48% y Sarandí 49,5% **CONCLUSIÓN:** El estado dentario de los niños de las localidades evaluadas se mantiene en niveles similares a estudios realizados en sectores urbanos con características sociales homologables; sin embargo se mantienen sectores poblacionales con elevados niveles de caries, que requieren focalización de las intervenciones sanitarias.

juliafuchs@hotmail.com

17

EFFECTIVIDAD DE UNA INTERVENCIÓN EDUCATIVA DE HIGIENE BUCAL EN ESCOLARES.

Rossi G*, Sorazabal A, Salgado P, Klemonsks G, Squassi A
Cátedra de Odontología Preventiva y Comunitaria. FOUBA

OBJETIVO establecer la efectividad de una intervención educativa sobre la capacidad de remoción de biofilm dental en escolares. **METODO** sobre 407 niños (57 años, $\bar{x}=6,47\pm 0,77$) concurrentes a escuelas públicas de una misma base territorial, previo consentimiento informado de sus tutores legales se aplicó un protocolo que incluyó una intervención a nivel colectivo diseñada partir del análisis del desempeño de cada escolar durante el diagnóstico basal. Se realizaron las siguientes observaciones sistemáticas: previo al cepillado realizado en forma espontánea por los escolares sin intervención educativa (IP1) y posterior al cepillado supervisado sin intervención educativa (IP2). Posteriormente se realizó la intervención educativa y se evaluó a los 6 meses sin supervisión (IP3) y con supervisión (IP4). La efectividad en términos de barrido del biofilm dental fue registrada mediante la observación de superficies teñidas por revelador de placa. Se estudió el comportamiento de la variable nivel de biofilm en: el grupo con mejor desempeño en condición basal (Grupo A: O'Leary $\leq 25\%$, $n=128$) y en el grupo con peor desempeño en condición basal (Grupo B: O'Leary $\geq 75\%$, $n=117$) y se evaluó la diferencia de los niveles de placa entre las diferentes observaciones. El procesamiento estadístico incluyó prueba de media y error y t de muestras relacionadas. **RESULTADOS** para el total de la muestra se registraron los siguientes valores: IP1= $50,73\pm 1,68$; IP2= $17,86\pm 0,97$; IP3= $47,31\pm 1,47$; IP4= $10,90\pm 0,64$, encontrándose diferencias significativas entre IP1-IP2; IP3-IP4 y entre IP2-IP4 ($p<0,05$). Para el Grupo A se observó: IP1= $11,82\pm 0,72$; IP2= $3,33\pm 0,38$; IP3= $42,84\pm 2,61$; IP4= $9,42\pm 1,07$, encontrándose diferencias significativas entre IP1-IP3; IP2-IP4; IP1-IP2 y IP3-IP4 ($p<0,05$). Para el Grupo B: IP1= $95,63\pm 0,72$; IP2= $33,96\pm 2,28$; IP3= $56,99\pm 2,87$; IP4= $14,78\pm 1,44$, encontrándose diferencias significativas entre ellos ($p<0,05$). **CONCLUSIÓN** la intervención implementada mostró ser efectiva en términos de modificación de la capacidad de remoción de biofilm. La efectividad se incrementa cuando se realizan actividades de supervisión del procedimiento de cepillado.

Agradecimiento: Ministerio de Educación C.A.B.A.

glerossi@yahoo.com.ar

18

VARIABLES ASOCIADAS AL ABANDONO DE TRATAMIENTO ODONTOLÓGICO EN GESTANTES DE POBLACIONES VULNERABLES

Cornejo C*, Rossi G, Serra Capó T, Rama A, Gomez Gutierrez N, Salgado P, Squassi A, Klemonsks G.
Cátedra de Odontología Preventiva y Comunitaria – FOUBA

OBJETIVO: Identificar variables asociadas al abandono de tratamiento odontológico en gestantes pertenecientes a poblaciones vulnerables de CABA. **MÉTODO:** Participaron en este estudio 80 gestantes (edad 18-39 años $\bar{x}=25,19\pm 6,36$) que asistieron a un centro de salud de la zona sur de CABA para su tratamiento odontológico cursando 1°/2° trimestre del embarazo, derivadas a partir de su control obstétrico. Se utilizó una técnica de muestreo no probabilístico por saturación. Se diseñó un estudio de casos y controles considerando como variable dependiente la condición de abandono de tratamiento odontológico. Las variables independientes seleccionadas para este análisis fueron: estado de salud bucal índices CPOD y CPOS para el estado dentario e Índice Gingival de Loe Silness [IG] para el estado gingival; percepción de impacto de la salud bucal en la calidad de vida (OHIP-49); condiciones de vida (tipo, estado y tenencia de la vivienda; actividad laboral, nivel educativo, condiciones de migrante y beneficiario de planes sociales) y uso de servicios médicos. *Procesamiento estadístico:* Para describir las variables cualitativas se calcularon las frecuencias y porcentajes; para las variables cuantitativas: promedio, desvío estándar, mediana, mínimo y máximo. Para comparar relación entre variables cualitativas se utilizó el test de independencia (Chi cuadrado). Para encontrar un valor de corte de predicción de abandono de tratamiento para las variables que mostraron asociaciones estadísticamente significativas se usó curva ROC. A partir del corte hallado se calcularon los valores de pruebas diagnósticas (sensibilidad, especificidad). **RESULTADOS:** Un 53% de las gestantes abandonaron el tratamiento. Entre las variables analizadas, el estado gingival deficiente en condición basal (IG) mostró asociación inversa con el abandono de tratamiento. ($p<0,001$). Para esta variable el valor de corte obtenido fue de 1,2 siendo el área bajo la curva de 0,72 (IC95% [0,60-0,84]), sensibilidad 77,8% y especificidad 66,7%. **CONCLUSIÓN:** El estado gingival en los primeros meses de la gestación podría ser predictor del abandono de tratamiento odontológico en gestantes de poblaciones vulnerables. SUBSIDIO P. ERAJSQUIN FOUBA2011-14.

celinacornejo@hotmail.com

19

MOTIVO DE CONSULTA ODONTOLÓGICA DE ADULTOS EN UNA COMUNIDAD RURAL

Fernandez C*, Salgado P, Masoli C, Lombardo M, Squassi A, Capuano C.
Cátedra de Odontología Preventiva y Comunitaria - FOUBA

OBJETIVO: Determinar el impacto de la implementación de un programa escolar intensivo de atención clínica con fuerte componente preventivo en una comunidad rural sobre el motivo de la consulta odontológica de los familiares de los alumnos y adultos de la comunidad. **MÉTODO:** Sobre la totalidad de familiares concurrentes a consultas odontológicas por demanda espontánea (n=582), en el marco de un programa desarrollado sobre 2 escuelas rurales, se realizó una historia clínica y examen dentario a efectos de implementar tratamiento. Se sistematizaron las siguientes variables: tiempo de exposición al programa escolar, motivo de consulta. Las unidades de registro fueron las familias del programa escolar. La variable dependiente fue el motivo de consulta. De la documentación, se analizaron: tiempo de exposición al programa escolar, tiempo de el escolar y motivo de la consulta. Las unidades de registro fueron las familias del programa escolar. La variable dependiente fue el motivo de consulta. **RESULTADOS:** En el 1° año se observó un 58,2% de motivo de consulta de "Extracción-Dolor" y disminuye significativamente en el 6° año al 39,1% (p< 0,05). Las consultas por "Arreglo" en el 1° año fueron 26,8%, mientras que en el 6° año se registraron en un 30,4%. Al analizar la categoría "Control" y/o "Limpieza", se observó el aumento significativo del 15% en el 1° año al 30,4% en el 6° año (p< 0,05). En cuanto a la variable "parentesco con el escolar", la demanda en la categoría "no familiares" aumenta con los años de exposición al programa, de 19,1% al 50% (p<0.05). Sólo se registraron diferencias significativas entre la categoría I con la II y III en el 1° año del programa (p<0.05). **CONCLUSION:** La implementación de un programa escolar intensivo de atención clínica con fuerte componente preventivo en una comunidad rural impacta sobre el motivo de la consulta de los adultos residentes en las comunidades involucradas en las intervenciones realizadas

NO SE PRESENTÓ

carlosfernandez74@yahoo.com.ar

20

SUPERFICIES DENTARIAS AFECTADAS POR EROSIÓN DENTAL EN ESCOLARES DE LA CABA

Sorazabal A, Passarini L*, Castro M, Pistochini A, Salgado P, Argentieri A.
Cátedra de Odontología Preventiva y Comunitaria. FOUBA

OBJETIVO: Determinar el grupo y las superficies dentarias más afectadas en niños con pérdida erosiva. **METODO:** Se realizó un estudio observacional descriptivo. La población estuvo constituida por 189 niños (43,4% niñas y 56,6% varones) que concurren a escuelas de CABA, entre 5 y 15 años (media: 8,5± 2,3 / mediana: 8). Los responsables legales firmaron el consentimiento informado, que incluía el ingreso a un programa educativo preventivo. Los criterios de exclusión fueron niños regurgitadores, portadores de ortodoncia, con patologías sistémicas y/o con patologías de las estructura dentales no microbianas. Se realizó un examen dentario a cargo de 4 investigadores calibrados. El diagnóstico de la erosión dental se realizó mediante los índices de Smith & Knight (IS&K) y Smith (IS). El procesamiento estadístico incluyó la determinación de distribución de frecuencias y medidas de tendencia central y dispersión. La estadística inferencial incluyó prueba de t para muestras independientes y el test de independencia (chi cuadrado). En todos los casos los test estadísticos aplicados serán para muestras independientes (p<0.05). **RESULTADOS:** De acuerdo con el IS&K un 91,5% y de acuerdo con el IS un 65,6% de los niños presentaba pérdida erosiva en alguna cara del diente. Al categorizar por género, las mujeres presentaron un 84,1% (IS&K) y 63,4% (IS) y los varones presentaron 97,2% (IS&K) y 67,3% (IS) de pérdida erosiva. Se registraron diferencias significativas de acuerdo con el género para el IS&K (p=0,003). La erosión palatina se registró en 50,8% de los pacientes y la oclusal en 43,4%. Los dientes más afectados fueron los superiores, dentro de ellos el grupo incisivo permanente en primer lugar. Entre los inferiores, el grupo incisivo también fue el más afectado. Los molares tanto inferiores como superiores mostraron valores bajos, coincidentemente con los hallazgos descritos en la encuesta sobre factores intrínsecos. Los índices CPOD /CPOS no mostraron diferencias significativas entre niños con erosiones oclusales y palatinas. **CONCLUSION:** En pacientes expuestos a factores extrínsecos, la mayor pérdida erosiva se observó en dientes anteriores y en sus caras palatinas.

pasa_chakales@hotmail.com

21

CALIDAD DE VIDA Y ESTADO DENTARIO EN PREESCOLARES DE POBLACIONES VULNERABLES

Toral M*, Salvioni E, Coringrato M, Pizarro L, Squassi A, Klemonskis G.
Cátedra de Odontología Preventiva y Comunitaria – FOUBA

OBJETIVO: Analizar la relación entre el estado dentario de pre-escolares pertenecientes a poblaciones vulnerables urbanas y el impacto en la calidad de vida percibida por sus padres o tutores. **METODOLOGÍA:** Sobre 190 niños de 5 años de edad, residentes en 4 áreas de riesgo social homogéneo del AMBA, examinadores entrenados realizaron el examen clínico bucal que incluyó el estado dentario (ceod, ceos y sus componentes, según Knutson *et al*, 1934 e INTCC Bordoni, 1998). Se administró el cuestionario ECOHIS (Pahel y col, 2007) validado en español (Bordoni y col, 2010) a los padres o tutores de los niños. Se calculó distribución de frecuencia, media aritmética y dispersión para las variables analizadas. La percepción de impacto en calidad de vida se analizó en la población total y en sub-grupos: grupo A según presencia de caries (A1: ceod=0 / A2: ceod≥1), grupo B según complejidad de la necesidad de tratamiento (B1: INTCC≤6 / B2: INTCC≥7). Para comparar los resultados del cuestionario en los diferentes grupos se utilizó el test t para muestras independientes. **RESULTADOS:** 65,8% de los niños presentaron caries dental (ceod x=3,05 DS=3,34) 23,9% presentaron necesidades de tratamiento complejas. El impacto citado con mayor frecuencia en la sección correspondiente al niño fue el dolor (18,4% en población total, 23,8% en el sub-grupo A2 - ceod ≥1- y 43,5% en el sub-grupo B2 - INTCC≥7). En la sección correspondiente a la familia el impacto más frecuente fue el tiempo que esta ha debido ocupar para atender problemas dentales (18,5% en población total, 25,9% en el sub-grupo A2 - ceod ≥1-, 30% en el sub-grupo B2 -INTCC≥7). Las respuestas al cuestionario de impacto mostraron diferencias estadísticamente significativas (p<0,01) entre grupos según presencia de caries (A1 y A2) y entre grupos según complejidad de la necesidad de tratamiento (B1 y B2). **CONCLUSIÓN:** La salud bucal deficiente de los niños se ve reflejada en la percepción de calidad de vida de sus cuidadores primarios.

marianatoral@live.com.ar

22

LA CARIES INDUCE CAMBIOS DE ESTADO OXIDATIVO Y NIVELES DE PROTEÍNAS SALIVALES

Capurro MA*.1, De Couto Pita A.2, Duarte Mota F. 2, Zucco A. 2, Farkas

Canntonet JP.1, Squassi A. 1, Mendez CF.2,3

1Cátedras de Odontología Preventiva y Comunitaria; 2 Farmacología FOUBA; 3 CONICET

La saliva cumple importantes funciones entre las que se cuenta la protección de la mucosa oral. Si bien se reconoce el rol de moléculas con actividad antimicrobiana en el potencial defensivo salival, la relación entre la caries dental (CD), el estado oxidativo y los niveles de mucina (MU) y amilasa (AM) salivales no han sido explorados. **OBJETIVO.** El objetivo de este trabajo ha sido investigar la relación entre el estado oxidativo y los niveles de MU y AM salival con el número y severidad de lesiones de CD. **MÉTODOS** Estudio descriptivo y transversal de pacientes entre 5 y 15 (mediana 11) años de edad bajo atención en una sede de Articulación Docencia-Servicios de Salud que brindaron consentimiento informado por escrito. Se realizó un examen clínico basal y una toma de muestra de saliva no estimulada para la determinación fluorométrica de los niveles de peroxidación lipídica medidos como sustancias reactivas al ácido tiobarbitúrico (TBARs), y colorimétrica de los niveles de MU, AM y nitritos (NI). De acuerdo con la presencia y severidad de las lesiones se dividió a los pacientes en: I, sanos; II, manchas blancas, caries de esmalte, amelodentinarias abiertas o cerradas; III, compromiso dentino-pulpar o restos radiculares. **RESULTADOS.** Si bien no se registró una asociación significativa entre los valores de TBARs y la cantidad de lesiones cariosas (r=0,39), se registró un aumento significativo en los niveles de TBARs en los pacientes con lesiones más graves (58,8±6,8; 87,3±17,6 y 146,9±21,6 nmol TBARs/ml para I, II y III, respectivamente; p<0,05 ANOVA), sin cambios significativos en la concentración de NI entre los distintos grupos. Los niveles de MU y AM fueron significativamente mayores en II y III vs. I, respectivamente (963,9±145,4 vs. 481,1±45,3 ug/ml MU y 66,5±7,2 vs. 35,1±4,6 U/ml AM). **CONCLUSION** Los resultados demuestran un cambio en el estado oxidativo salival no atribuible a especies reactivas del nitrógeno y aumentos en la concentración de MU y AM que guardan relación con la severidad de las lesiones de caries.

alecapurro@yahoo.com.ar

23

DETERMINANTES DE RIESGO CARIOGÉNICO EN INFANTES DE 6 MESES DE EDAD. ESTUDIOPRELIMINAR

Klemonsks G*, Cornejo C, Serra Capo T, Pacheco R, Culacciatti C, Rossi G, Melo C, Tacca F, Gliosca L, Squassi A. Cát. Od. Prev. y Comunitaria y Microbiología y Parasitología FOUBA

OBJETIVO:Determinar la presencia de *Streptococcus* grupo *mutans* (Sgm) en infantes de 6 meses de edad y explorar relaciones entre la presencia microorganismos cariogénicos y variables biológicas y de estilo de vida del bebé y su madre en una población urbana con vulnerabilidad social. **METODO:**Se reclutaron para este estudio transversal 20 bebés de 6 meses de edad concurrentes a un centro de salud de CABA. La presencia de Sgm en bebés se determinó con el siguiente método: toma de saliva en condiciones protocolizadas. Las muestras se sembraron en caldo de Gold modificado en botellas plásticas estériles e incubaron por 48 horas a 36+1°C. Se eluyó el sobrenadante del medio y se realizaron dos lavados con agua destilada. Las muestras fueron leídas por personal calibrado con lupa estereoscópica 50X. En la madre se determinó el nivel de Sgm con test de adherencia para detección de *mutans* (Gliosca, 2012). Se realizó: examen clínico sistematizado en el binomio consignando niveles de biofilm y lesiones de caries -criterio ICDAS II; entrevista a la madre para obtener información sobre uso de chupete y biberón, consumo de azúcar y prácticas de higiene bucal. Se calculó distribución de frecuencia de las variables y se utilizó test exacto de Fisher para asociaciones. **RESULTADOS:**En infantes se observó: presencia de Sgm en 44,4% (75% predestados) y lesiones activas de caries (L2A2) en 1 niño; uso de chupete en el 54,5%; de biberón en el 81,8%; ausencia de prácticas de higiene bucal en el 100%. El total de las madres presentó lesiones activas de caries (A2) y niveles de Sgm por encima del umbral de riesgo establecido para el test utilizado. 83,3% presentaron niveles de biofilm por encima del umbral de riesgo establecido para el indicador utilizado. No se observaron asociaciones significativas entre las variables analizadas y la presencia de Sgm en bebés. En el grupo de bebés con cultivos positivos se observó mayor proporción de individuos con consumo regular de azúcar (66,7%). **CONCLUSIONES:**La presencia de *St.grupo mutans* se evidenció en una elevada proporción de infantes. No se establecieron asociaciones con variables biológicas y de estilo de vida. UBACyT 20020120100324.

graklemo@gmail.com

24

VALIDACION DE UNA ESTRATEGIA PARA HOMOLOGACION DE CRITERIOS PARA EVALUACIÓN DE CARIES

Sorazabal A*, Capuano C, D'Eramo L, Klemonsks G, Masoli C, Rossi G, Toral M, Salgado P, Bordoni N, Squassi A. Cátedra Odontología Preventiva y Comunitaria. FOUBA

OBJETIVO Validar la efectividad de una estrategia destinada a la homologación de criterios para la detección y evaluación del proceso de caries dental. **METODO:** La estrategia implementada desarrolla un protocolo consistente en: a) clase expositiva (4 hs) con apoyo visual, destinada al reconocimiento de las categorías establecidas en el ICDAS II (Pitts, 2005) y los puntos de corte entre las diferentes categorías; b) taller para el diagnóstico sobre piezas dentarias *ex vivo*, y discusión de los resultados con un investigador de referencia (Kappa >0,75), empleando los recursos instrumentales planteados por el sistema; y c) práctica clínica (20 hs) realizada sobre pacientes voluntarios que incluyo las siguientes fases: I) asignación a cada operador de 6 personas que proporcionarían un número equilibrado superficies dentarias con códigos ICDAS de 1 a 6; II) observación y registro en planilla *ad hoc* de los hallazgos a cargo de cada operador independiente; III) reevaluación de cada paciente a cargo del investigador de referencia; y IV) contrastación de los resultados entre el operador de referencia y cada operador independiente mediante el cálculo del coeficiente Kappa. **RESULTADOS:**La actividad fue desarrollada por 26 odontólogos Se analizaron 33100 superficies dentarias. Se determinó un Kappa global 0,77 (p<0,002), teniendo en cuenta los códigos de lesión 0, y un valor de 0,73 (p<0,002), sin tener en cuenta las superficies sanas. Un 57,69% de los operadores en entrenamiento obtuvieron valores de Kappa >0,7. La sensibilidad, especificidad, valor predictivo positivo y negativo para cada código fueron: Código 0: 95.89%-86.15%-97.13%-81.10%; Código 1: 80.63%-98.53%-81.48%-98.44%; Código 2: 87.67%-93.27%-85.54%-94.33%; Código 3: 82.68%-95.35%-79.58%-96.17%; Código 4: 65.74%-97.19%-74.8%-95.73%; Código 5: 73.09%-95.43%-74.94%-94.99%; y Código 6: 80.47%-97.62%-88.34%-95.70%. **CONCLUSION:**La estrategia de entrenamiento teoría-practica desarrollada resulto efectiva para la homologación de criterios destinados a la detección y evaluación del proceso de caries dental (ICDAS II)

anasorazabal@hotmail.com

25

RELACION ENTRE COMPOSICION CORPORAL, FRACCIONES LIPOPROTEICAS Y RIESGO CARIOGENICO EN PREESCOLARES

Argentieri A, Gamba CA*, Iglesias V, Salgado P, Friedman S, Molgatini SL, Rodríguez PN. Cátedras de Odontología Preventiva y Comunitaria, Bioquímica General, y Microbiología. FOUBA.

La obesidad infantil ha crecido dramáticamente en las últimas décadas y ha pasado a ser un problema de Salud Pública. El aumento exponencial de la obesidad infantil representa un gran desafío para las comunidades médicas y científicas que tratan de desarrollar estrategias para contenerlo. En estudios previos los resultados obtenidos mostraron menos Odds (chances) de presencia de caries en obesos. Esto podría sugerir una relación entre calidad de la dieta, estado nutricional y/o composición de la microbiota. **OBJETIVO** determinar la asociación entre la composición corporal, fracciones lipoproteicas y riesgo cariogénico en preescolares. **MÉTODO:** el diseño fue descriptivo, observacional, prospectivo, transversal y de correlación. Se estudiaron 89 niños de ambos sexos, de 2-6 años de edad del conurbano bonaerense. Se categorizó nutricionalmente a la población según OMS en adecuados (A), sobrepeso (SP) y obesos (Ob). Se determinó en sangre colesterol total (CoIT), triglicéridos (TG), HDL-Col, y LDL-Col. Mediante indicadores clínicos se determinó el riesgo cariogénico (RC). El estudio contó con la aprobación del Comité de Ética de la Facultad de Odontología- UBA. Se aplicó test de Student y ANOVA. Para variables cualitativas se utilizó el test de independencia (Chi cuadrado y Test Exacto de Fisher). El procesamiento estadístico incluyó el test de Student y ANOVA. A los efectos de establecer asociación entre las variables se utilizó la prueba de Chi cuadrado y el test exacto de Fisher. En todos los casos los test estadísticos aplicados fueron para muestras independientes y se usó un nivel de significación menor del 5% para rechazar la hipótesis nula. **RESULTADOS:** no se encontraron diferencias en CoIT (154 ± 18), TG ($69 \pm 3,5$), HDL-Col (50 ± 10) y LDL-Col (90 ± 17) entre A, SP y Ob. Se observaron diferencias estadísticas entre RC y CoIT siendo el valor de CoIT mayor en RC bajo ($p = 0.039$). **CONCLUSIONES** en nuestra población, si bien el IMC no correlacionó con los valores de las fracciones lipoproteicas séricas, el Colesterol sérico total se observó aumentado en el grupo con Riesgo cariogénico bajo. UBACyT CO02.

alicia_gamba@yahoo.com

26

EFFECTIVIDAD DE PROTOCOLOS CLINICOS PARA LA UTILIZACION DE IONOMEROS VITREOS Y DIAMINOFUORURO

Capuano C*, Masoli C, Fernandez C, Squassi A.
Cátedra de Odon. Preventiva y Comunitaria FOUBA / Instituto de Investigaciones en Salud Pública - UBA

OBJETIVO: Comparar la efectividad de 4 protocolos de tratamiento caries amelodentinarias, en el marco de un programa escolar rural intensivo. **MÉTODO:** Sobre una población de 140 niños preescolares (4 a 6 años), se realizó: a) historia médico-odontológica, b) análisis de cavidades amelodentinarias en dientes primarios (criterios referidos a extensión, profundidad y caja proximal). La población fue dividida en cuatro grupos de acuerdo con la escuela a la que concurrían. *Grupo 1:* remoción de dentina necrótica e infectada con instrumental de mano, conformación de cavidades expulsivas con instrumental rotatorio y aplicación de diaminofluoruro de plata al 38% (Fluorplat®). *Grupo 2:* limpieza del biofilm de placa dental con brochita y aplicación de diaminofluoruro de plata al 38%. *Grupo 3:* remoción de dentina necrótica e infectada con instrumental de mano y la obturación de la cavidad con cemento de ionómero vítreo (Ketac Molar®). *Grupo 4:* remoción de dentina necrótica e infectada con instrumental de mano y la obturación de la cavidad con cemento de ionómero vítreo previa aplicación de diaminofluoruro de plata al 38%. Se realizó la evaluación de las piezas tratadas a los 12 meses. Se registraron las variables: actividad de caries y compromiso pulpar. El procesamiento estadístico incluyó distribución de frecuencias y se estableció diferencia entre grupos mediante test de proporciones y prueba de chi cuadrado. **RESULTADOS:** Para la variable *compromiso pulpar* se observaron resultados positivos en: G1: 14,7%; G2: 19,4%; G3: 29,5%; y G4: 0% ($p < 0.05$). Para la variable *actividad de caries* se observaron resultados negativos en: G1: 55%; G2: 43,7%; G3: 47,4%, y G4: 81,4% ($p < 0.01$). Al relacionar los criterios del diagnóstico inicial con el resultado de cada protocolo, se observó que un 62,9%(G1), 44,2%(G2), 62,5% (G3) y 100% (G4) de las lesiones graves no presentaron compromiso pulpar ($p < 0.05$). En las lesiones moderadas, se observó ausencia de compromiso pulpar en 79,8%(G1), 78,6%(G2), 71,4%(G3) y 100%(G4) ($p < 0.01$). Para las lesiones leves, se observaron resultados similares en: 94,6%(G1), 95,5%(G2), 76,9%(G3) y 100%(G4) ($p < 0.01$). **CONCLUSIÓN:** El protocolo que incluye la utilización de diaminofluoruro de plata como pretratamiento cavitario presentó mayor efectividad

charlycapuano@hotmail.com

27

VALORACIÓN DE RIESGO DE CARIES USANDO DIFERENTES PRUEBAS Y RECUEENTOS DE *Streptococcus mutans*.

Rubio JM*, Saravia ME, Nelson Filho P, Uribe Echevarría A, Silva RAB, Uribe Echevarría J.
Facultad de Odontología de la UNT

OBJETIVO: Evaluar diferentes pruebas para valorar Riesgo de Caries (RC): Saliva-Check Mutans, Clinpro™ Cario L -Pop™, y relacionarlas con recuentos microbiológicos semicuantitativos para *Streptococcus mutans* (RMSC-SM). **MÉTODO:** Se determinó RC microbiológico a 93 pacientes utilizando recuentos semicuantitativos. Las muestras de saliva fueron sembradas e incubadas de acuerdo al protocolo estándar para esta técnica. Las colonias fueron contadas e identificadas por su morfología como SM, a través de lupa estereoscópica, y confirmadas aleatoriamente por pruebas bioquímicas. Los recuentos de cfu/ml saliva se registraron según Köller y Bratthall: Sin riesgo (0-20) riesgo medio (21-100) y alto riesgo (>100). Se trabajó con pacientes que registraban "alto riesgo" de caries (ARC) > 100 ufc/ml, n= 12. Se utilizó el test Saliva-Check Mutans que utiliza un proceso inmunocromatográfico específico con dos anticuerpos monoclonales que detectan de manera selectiva las bacterias *Streptococcus mutans* cuando se encuentran por encima de 105 ufc. Se registró ácido láctico utilizando el test Clinpro™ Cario L -Pop™ semicuantitativos, que detecta la presencia de ácido que forman las bacterias cariogénicas. **RESULTADOS:** De los 12 pacientes con ARC 9 eran unicolonizados por *S. mutans* (9=75%) y 3 multicolonizados *S. mutans* y *S. sobrinus* (3=25%). Los 10 pacientes con ARC estudiados con Saliva-Check Mutans, 8 dieron positiva la reacción 1 dudosa y otra negativa. Los 12 pacientes con ARC estaba comprendido entre los valores más altos para el test Clinpro™ Cario L -Pop™ (7, 8 y 9). Con valor 7 (16,66%), 8 (50%) y 9 (33,33%). **CONCLUSIÓN:** Las pruebas usadas coinciden al mostrar valores que se relacionan al determinar niveles de riesgo de caries, aun cuando utilizan parámetros diferentes. Las pruebas se relacionan entre sí, confirmando sus resultados con los recuentos semicuantitativos de SM por arriba de 105 ufc, lo permite afirmar que usadas solas o en conjunto constituyen una alternativa confiable para orientar y extremar los cuidados preventivos en pacientes con alto riesgo de caries. Parcialmente subsidiado por el CIUNT.

lelo009@hotmail.com

28

ADHESION DE POSTES DE FIBRA CON CEMENTOS AUTOGRABABLES SEGUNDA ETAPA

Gigena* C, Julián S, Gil Rodriguez P, Sakalian C
Facultad de Odontología - Universidad Nacional de Córdoba

Los postes de fibra de vidrio son sistemas retentivos, conservadores y estéticos que permiten devolver la estructura perdida en dientes tratados endodónticamente. La permanencia de los postes depende la adhesión-retención y resistencia a la fractura. La relativa insolubilidad observada por los cementos de resinas utilizados en la técnica, reduce la micro filtración marginal. Los nuevos cementos de resinas autograbables que requieren menos pasos clínicos, disminuyen las posibilidades de errores. A este grupo pertenecen los cementos investigados. **OBJETIVO:** Analizar la resistencia a la tracción de postes orgánicos utilizando cementos autograbables. **MÉTODO:** se emplearon es el presente estudio 60 ICS, tratados endodónticamente con técnica convencional, obturados con conos de gutapercha (**Dentsply, Maillefer**) y cemento **AH Plus (Dentsply, Maillefer)**. **Grupos de Trabajo (n=60)** postes de fibra de vidrio FRC Postec Plus (Ivoclar Vivadent. Schaan, Liechtenstein. **Grupo N°1:** Duo-Link (Bisco) con técnica convencional de grabado total con ácido y aplicación de primer-adhesivo. **Grupo N°2:** VarioLinkII y sistema autoadhesivo Adhese (Ivoclar-Vivadent). **Grupo N°3:** Multilink Sprint (Ivoclar-Vivadent) **Grupo N°4:** Bis-Cem (Bisco) **Grupo N°5:** postes con cemento autoadhesivo autopolimerizable Speed CEM (Ivoclar Vivadent. Schaan, Liechtenstein) **Grupo N°6:** postes con cemento Multicore Flow de polimerización dual y sistema autoadhesivo Adhese (Ivoclar-Vivadent). **Pruebas de tracción:** se realizaron en Máquina de Ensayo Universal (Diginess – MX5000), con velocidad de travesaño de 0,5mm/min, hasta lograr la remoción de los postes. **RESULTADOS** Las medias fueron: Multicore Flow (227,6N), Multilink (163,3N), Speed Cem (149,0N), VarioLink(147,6N), Duo Link(133,8N), BISCEM (116,4N). Se procesaron con ANOVA y complementó con análisis de comparaciones múltiples de Games-Howell Se verificaron diferencias significativas entre los grupos más extremos: el que registró mayor resistencia, Multicore Flow y el de menor adhesión: BISCEM $p < 0.05$. **CONCLUSION** el mejor comportamiento correspondió a Multicore Flow, los otros grupos registraron fuerzas adhesivas similares. Trabajo realizado con subsidio de la SECyT

daniel-gigena@hotmail.com

29

AJUSTE DE ESTRUCTURAS PARA PRÓTESIS FIJA, COLADAS EN UNA PIEZA O SOLDADAS.

Albera JP*, Albera JC
Fundación Independencia

OBJETIVOS: Evaluar el ajuste marginal de estructuras para prótesis parciales fijas, obtenidas por coladas en una sola pieza y divididas y posteriormente soldadas mediante tecnología laser o soplete convencional.

MÉTODO: A partir de un modelo maestro que reproduce dos pilares coronarios y una brecha de dos elementos, se obtuvieron 56 probetas de ensayo que representan una estructura de puente. Un grupo (G I) de 8, coladas en una sola pieza y otro de 48, (G II) divididas en dos partes con una separación de 0.15mm; 0.30 mm y 0.45mm (16 de cada uno), utilizando una aleación de Ni-Cr (Wiron NT, Bego). Para medir el nivel de ajuste, cada muestra fue medida en doce puntos. Se utilizó una cámara digital (Cyber-shot DSC-W110, Sony Co) montada al ocular de un estereo microscopio con un aumento de 20X (AO42A American Optical USA). Las imágenes fueron procesadas métricamente mediante el software imagej64 (Imagej 1.44f/waine Rasband-National Institutes of Health, USA). El grupo II, fue subdividido en seis sub grupos, (IIAL; IIAS; IIBL; IIBS ; IIICL y IICS), Las muestras, soldadas mediante tecnología LASER y mediante soplete de llama producida por una mezcla de gas y oxígeno, fueron nuevamente medidas y los resultados tabulados y sometidos a análisis estadístico. En un primer análisis, se comparó el ajuste marginal de los especímenes del grupo I y II. Se utilizó Test T de Student para muestras no apareadas. Al comparar el G I con los seis sub grupos en que se dividió el G II se realizó un análisis de varianza (Anova) y se complementó con un post- test de comparaciones múltiples de Tukey- Kramer. **RESULTADOS** La diferencia entre los grupos G I y los grupos IIAL y IIAS se hallaron

CONCLUSIONES: Estructuras coladas en dos partes y luego soldadas mediante tecnología LASER o soplete permiten obtener mejor ajuste que aquellas realizadas en una sola pieza, en la medida que la separación entre las partes a soldar sea mínima. (0.15mm).

patoalbera@findependencia.org.ar

30

EFFECTO DE LA MANIPULACIÓN DE LOS COMPOSITOS SOBRE SU COLOR POR INMERSIÓN EN INFUSIONES.

Lei MA*, Kaplan AE
Cátedra de Materiales Dentales. FOUBA

OBJETIVO: Evaluar el efecto de la terminación superficial y el espesor de polimerización sobre el color de composites, luego de la inmersión en diferentes infusiones. **MÉTODO:** Se confeccionaron probetas cilíndricas de 10 mm de diámetro y 2 y 4 mm de espesor con Filtek Z350 XT Universal Restorative 3M ESPE (Z) y Brilliant NG COLTENE (B), ambos color A2 en una sola capa de material. Se polimerizaron con la unidad de curado por 120 segundos. Para cada grupo se conformaron subgrupos en función de las variables analizadas: pulido (sistema Sof-lex de grano decreciente) e infusión a sumergir. De esta manera, cada grupo quedó conformado con 3 probetas de cada material y tratamiento. Se tomaron fotografías de cada grupo con una cámara digital y se determinó el espacio del color CIELab en dos puntos al azar en cada muestra. Se preparó café y mate (Nescafé Clásico y Unión Suave respectivamente) con agua destilada. Ambos se diluyeron en saliva artificial en una proporción 3.3:1 y se sumergieron las probetas en 10 ml de esta solución durante 7 días a 37°C. Se limpiaron con agua destilada y se volvieron a fotografiar. Se determinó el espacio del color CIELab en dos puntos de cada muestra, el más y el menos pigmentado macroscópicamente. La media obtenida de cada grupo de L, a y b fueron analizados por medio de ANOVA. **RESULTADOS** Las medias para cada grupo fueron: B: CAFÉ: 2mm: PULIDO(P)(L: 50.8), NO PULIDO (NP)(L: 43.66); B: CAFÉ: 4mm: P(L: 50), NP(L: 44.16); Z: CAFÉ: 2mm: P(L: 47.33), NP(L:44.5); Z: CAFÉ: 4 mm: P(L: 56.5), NP(L:49.83); B: MATE: 2mm: P(L: 55.5), NP(L: 58.33); B: MATE: 4 mm: P(L: 57.16), NP(L: 58.5); Z: MATE: 2 mm: P(L: 43), NP(L: 47.16); Z: MATE: 4 mm: P(L: 52.66), NP(L: 50). El análisis con ANOVA mostró la influencia significativa para las variables material, espesor, terminación, medio de inmersión y momento del registro para las variables estudiadas, así como para algunas de las interacciones ($p < 0.05$). **CONCLUSIÓN** En las condiciones experimentales de este trabajo puede concluirse que el color de las resinas reforzadas puede verse afectado por su manipulación y el medio en que se encuentre inmerso. Este trabajo fue parcialmente financiado por el subsidio 20020120100109 de la Programación Científica de la UBA.

alejandrarei@hotmail.com

31

EVALUACIÓN DE PROPIEDADES MECÁNICAS DE RESINAS COMPUESTAS MANIPULADAS CON GUANTES DESCARTABLES

Garrofé A, Asueta MM*, Kaplan AE
Cátedra de Materiales Dentales. FOUBA

OBJETIVO: El objetivo de este trabajo fue evaluar la influencia del contacto con guantes de diferente composición previamente a la polimerización de una resina reforzada sobre su módulo elástico (ME), resistencia flexural (RF) y dureza. **METODO:** Se confeccionaron probetas con resina compuesta Z350XT (3M ESPE). Los grupos recibieron los siguientes tratamientos: 1) control (C) y los otros grupos con 15 segundos de contacto con guantes 2) látex (GL), 3) látex libres de polvo (GLSP), 4) vinilo (GV). Para el cálculo del módulo elástico y para la medición de la resistencia flexural se aplicó la norma ISO 4049 (n=5). Las probetas se almacenaron en agua destilada a 37°C durante 24 horas. Luego fueron sometidas a cargas flexurales con una máquina de ensayos mecánicos. Para el cálculo de dureza, se confeccionaron probetas con el mismo material y los mismos tratamientos, utilizando un conformador de 6 y 4 mm de diámetro superior e inferior respectivamente (Top/Bottom), y de 2 mm de espesor (n=3). Luego de la fotoactivación (20 segundos) se realizaron 3 mediciones en cada superficie con un durómetro Barcol, y se calculó la media. Los resultados obtenidos fueron analizados mediante análisis de varianza ($p < 0.05$). **RESULTADOS:** La media y los DS de RF (expresados en MPa) y ME (expresados en GPa) respectivamente fueron: C) 119,38(22,41)/9,42(0,49), GL) 107,73(22,39)/9,67(0,42), GLSP) 118,03(28,16)/10,21(0,95), GV) 116,13(18,28)/10,17(0,03). La media y sus DS de los valores dureza para las superficies Top y Bottom fueron: C) 85,56(1,13)/75,56(5,73), GL) 85,11(1,05)/79,56(4,64), GLSP) 82,22(2,05)/66,44(5,22), GV) 84,11(1,96)/72,56(4,59). El análisis de varianza mostro la ausencia de influencia significativa de la contaminación sobre el módulo y la resistencia flexural. Al analizar los resultados de dureza se encontró una influencia significativa de las variables tratamiento, superficie (superior e inferior), y la interacción entre éstas. **CONCLUSIÓN:** en base a los resultados obtenidos puede concluirse que la contaminación del composite con guantes durante su manipulación no influiría sobre sus propiedades mecánicas en masa, pero si en las de superficie. Parcialmente financiado por UBACyT20020120100109.

margaritaasueta@gmail.com

32

MICROFILTRACIÓN DE UNA RESINA FLUIDA AUTOADHESIVA COMO SELLANTE DE FOSAS Y FISURAS.

Brasca N., Bonnin C., Ríos A., Girardi I., Girardi M., Delgado A., Chávez Lozada*
J, Urquía Morales M del C.
Cátedra de Operatoria I "B". U.N.C. Argentina.

Una de las propiedades deseables de los selladores de fosas y fisuras, es otorgar un adecuado sellado marginal, para evitar la microfiltración. **OBJETIVO:** evaluar la capacidad de sellado de una resina fluida autoadhesiva, en base al grado de filtración marginal y compararla con la de un sellante de resina convencional. **MÉTODOS:** Se utilizaron 18 premolares superiores, libres de caries, extraídos por razones ortodóncicas en los cuales se realizó la apertura de los defectos estructurales con una fresa para fisurotomía STF/18013 (SS White), a super alta velocidad e intensa refrigeración acuosa. Las muestras fueron distribuidas aleatoriamente en 3 grupos, según los materiales experimentales; GRUPO 1: Clinpro (3M/ESPE), previo acondicionamiento con ácido fosfórico al 35 %; GRUPO 2: Clinpro (3M/ESPE), previo acondicionamiento con ácido fosfórico al 35 % y colocación de un adhesivo (Adper Single Bond 2 - 3M/ESPE) y GRUPO 3: Dyad Flow (Kerr) con acondicionamiento adamantino previo. Posteriormente las muestras fueron sometidas a ciclaje térmico por 300 ciclos entre 5° y 55 °C durante 30 seg en cada baño y sumergidas en una solución de azul de metileno al 2 % durante 24 hs. a una temperatura estandarizada de 37° C. Se enjuagaron abundantemente con agua corriente y se cortaron (Isomet 1000, Buehler) en sentido V-P obteniéndose dos mitades que fueron pulidas sobre discos rotatorios de carburo de silicio de granulometría decreciente en una pulidora metalográfica, para ser observadas luego con lupa estereoscópica a 40 X de aumento. El grado de filtración marginal fue determinado teniendo en cuenta la profundidad de penetración del colorante, con una escala de 0 a 3. Los datos obtenidos fueron analizados mediante la prueba no paramétrica de Kruskal-Wallis, mostrando diferencias significativas ($p=0,0006$). **RESULTADOS:** Los valores medios de filtración marginal registrados en los diferentes grupos experimentales, fueron grupo 1: 0,25; grupo 2 : 0,33 y grupo 3 : 1,42. El test de Mann Whitney no reveló diferencias estadísticamente significativas entre el grupo 1 y el grupo 2 pero sí de ambos con respecto al grupo 3. **CONCLUSIÓN:** La resina flow autoadhesiva tiene una capacidad de sellado inferior a la del sellante convencional.

juliochavezlozada@yahoo.com.ar

33

EVALUACIÓN A DOCE MESES DE RESTAURACIONES DIRECTAS EN PACIENTES CON SÍNDROME DE SJÖGREN

Costa S*, Kaneshiro A(†), Martínez C, Onofre C, Lanfranchi H, Tamini L, Hecht J, Abate P

Cátedra de Odontología Integral Adultos. Facultad de Odontología. UBA

OBJETIVO: Fue determinar si el comportamiento de restauraciones con una resina compuesta y adhesivo de auto-grabado (RCAG), alcanza un mayor porcentaje de éxito que utilizando un ionómero vítreo modificado con resinas (IVMR). **METODO:** se tomaron 25 pacientes con sintomatología de SS, que fueron derivados a la Cátedra de Odontología Integral Adultos para ser tratados integralmente por sus afecciones bucales. Para este estudio, se incluyeron todos aquellos pacientes que presentaban xerostomía y necesitaban, al menos, dos restauraciones directas. Error $\alpha=0.05$. Los materiales utilizados fueron un IVMR (Vitremmer A3, 3M ESPE, USA) y una RCAG (resina Z350 XT + adhesivo Adper Easy One, ambos de 3M ESPE, USA). Las restauraciones realizadas fueron evaluadas en forma directa a los 0,3, 6 y 12 meses por dos odontólogos calibrados que no hayan intervenido en el proceso de su realización (doble ciego), utilizando el criterio de evaluación clínica de USPHS/Ryge modificado, que incluye el análisis del color, adaptación marginal, forma anatómica, decoloración marginal del borde cavo superficial, caries secundaria y rugosidad. Para su análisis, las restauraciones fueron separadas en: A: para indicar el criterio más alto de aceptación clínica, B y C: para indicar grados descendentes progresivos de aceptación clínica y D: para indicar que la restauración no es clínicamente aceptable. **RESULTADOS:** Se realizó un estudio estadístico comparativo entre los 2 tratamientos a través de un ensayo no paramétrico de suma de rangos de Mann-Whitney. Del resultado se define que hay una diferencia estadística altamente significativa con un nivel de $p<0.001$. **CONCLUSIONES:** Se pudo observar que en los controles iniciales y a 3, 6 y 12 meses, considerando el criterio clínico modificado USPHS/Ryge, las restauraciones con resina compuesta y adhesivo de auto-grabado, alcanzaron un mayor porcentaje de éxito que las realizadas con el cemento de ionómero vítreo modificado con resinas. Subsidio del Programa de Apoyo a la Investigación Clínica FOUBA "Profesor Rodolfo Erasquin" 2011-2012

drsebastiancosta@gmail.com

34

EVALUACIÓN IN VITRO DEL ESPESOR DE PELÍCULA DE CEMENTOS RESINOSOS DE AUTOGRABADO

Chávez Lozada J*, Urquía Morales C.

Cátedra de Operatoria I "B". UNC. Argentina

Una de las propiedades deseables de los medios de fijación, es brindar un reducido espesor de película. El **OBJETIVO** fue evaluar el espesor de película de cementos resinosos de autograbado. **MÉTODO:** se utilizaron los siguientes materiales Grupo 1: Relyx U100 (3M /ESPE), Grupo 2 BisCem (Bisco), Grupo 3: Max Cem (Kerr), Grupo 4: Set (SDI) y Grupo 5: Relyx ARC (3M/ESPE) como control. Se emplearon dos superficies de vidrio de 25,4 x 76,2 x 1 mm., que fueron señaladas en su parte media con una marca, para ubicar el material sobre la misma área. Se utilizó un volumen de 0,05 ml. de material para cada probeta. Se esperó un tiempo de 1, 3 o 6 minutos para aplicar una carga de 50 N durante 1 minuto. Trascurrido dicho lapso cada probeta se sometió a lectura de espesor de película utilizando un micrómetro digital, con una precisión de 1 μ m; (Digimatic, Mitutoyo Corporation, Japón.). **RESULTADOS:** Los datos fueron analizados mediante ANOVA y test de comparaciones múltiples de Bonferroni, no hubo diferencias significativas entre los materiales evaluados ($p = 0,0921$), ni en la interacción material / tiempo ($p = 0,0864$), pero si existieron diferencias en relación al factor tiempo ($p = 0,0001$). Al minuto el menor espesor de película correspondió a Relyx ARC (control) con un valor de 14 μ m, seguido por Relyx U100 (17 μ m), BisCem, Maxcem y SeT presentaron un valor de 19 μ m. A los 3 minutos, el grupo 5 (control) presentó también el menor espesor (19 μ m), seguido en orden creciente por el grupo 1 (21 μ m), grupo 3 (25 μ m), grupo 2 (29 μ m) y grupo 4 (31 μ m). A los 6 minutos, el grupo 4 mostró el menor valor con 34 μ m, seguido por grupo 1 (38 μ m), grupo 5 (40 μ m), grupo 2 (41 μ m) y grupo 3 (42 μ m). **CONCLUSIONES:** El espesor de película de los cementos resinosos se vio influenciado por el factor tiempo. Los cementos de autograbado presentaron un reducido espesor de película.

juliochavezlozada@yahoo.com.ar

35

RADIOVISIOGRAFÍA Y MICROSCOPIA CLÍNICA EN LA DETECCIÓN DE MATERIAL DE OBTURACIÓN ENDODÓNTICA REMANENTE.

Thompson L*, Kokubu S, Di Natale S, Tamini Elicegui LE, Abate PF.
Cátedra Odontología Integral Adultos. Facultad de Odontología. UBA

OBJETIVO: comparar la eficacia de la radiovisiografía (RVS) y la microscopía clínica (MC) en la detección de material de obturación endodóntica remanente luego de realizar la preparación para anclaje intrarradicular. **MÉTODO:** Se utilizaron 25 premolares inferiores humanos extraídos a los cuales se les realizó el tratamiento endodóntico. Posteriormente se seccionaron sus coronas clínicas 2 mm por encima del límite amelo-cementario. Luego se procedió a la desobturación parcial del conducto radicular con una longitud de 12 mm desde el corte anteriormente realizado, siguiendo el protocolo sugerido por el fabricante de los postes a utilizar (Exacto Nro. 1 – Angelus, Brasil) para lograr de esa forma su asentamiento correcto dentro de la preparación radicular. Se tomaron RVS de todas las piezas dentarias en sentido ortorradiar y, para su estudio, fueron divididas en los 12 mm de longitud de la preparación radicular, en tres tercios (coronario, medio y apical). Asimismo, cada pieza dentaria fue observada con un aumento de 25x mediante un MC (Carl Zeiss, OPMI Pico, Alemania), utilizando un dispositivo “ad hoc” que permitió su observación estandarizada en los tercios coronario, medio y apical de la preparación para anclaje radicular. Los datos obtenidos fueron analizados estadísticamente con la prueba de chi-cuadrado. **RESULTADOS** En la observación bajo MC, en el 96% de las piezas dentarias se observó material de obturación endodóntica remanente en el tercio coronario, en el 92% en el tercio medio y en el 88% en el tercio apical. En la observación con RVS, en el 20% de las piezas dentarias se advirtió material de obturación endodóntica remanente en el tercio coronario, en el 48% en el tercio medio y en el 80% en el tercio apical. Los resultados mostraron diferencias estadísticamente significativas en los tercios coronario y medio ($p < 0,05$) y no se encontraron diferencias estadísticamente significativas en el tercio apical ($p > 0,05$). **CONCLUSIÓN** La comparación entre las observaciones con RVS y MC demostraron que no siempre los remanentes de material de obturación endodóntica son detectados por la RVS, especialmente los de menor tamaño. Los porcentajes obtenidos reflejan la importancia de la utilización de la MC durante los procedimientos de preparación para anclaje.

lorenathompson@hotmail.com

36

DETERMINACIÓN DE FLUIDEZ Y PENETRACIÓN CAPILAR DE DOS MATERIALES PARA OBTURACIÓN ENDODÓNTICA.

Ferrari BA*; Picca M; Kaplan AE.
Universidad de Buenos Aires

OBJETIVO El objetivo de este estudio fue determinar y comparar fluidez y penetración capilar de dos selladores para obturación endodóntica en función del tiempo. **MÉTODOS** Los materiales endodónticos utilizados para este estudio fueron un cemento de Grossman (Densell, Dental Medrano, Argentina) y un sellador endodóntico MTA Fillapex® (Angelus, Londrina, Brazil). Los materiales fueron preparados siguiendo las instrucciones de los respectivos fabricantes. Para estudiar penetración capilar, se confeccionó un dispositivo compuesto por tubos capilares conectados a una bomba de vacío. Una vez colocada la mezcla del material se apoyó el tubo capilar sobre el mismo y se activó la bomba de vacío haciéndola actuar durante 1 minuto bajo presión negativa. Este procedimiento se repitió a los 15 y a los 60 minutos. Se realizaron 3 mediciones por cada material. Con un calibre digital (Digimatic, Mitutoyo corporation, Japón) se midió la altura de la penetración del material en el capilar. Para el estudio de la fluidez se confeccionó un dispositivo ad hoc colocando el material sobre el mismo en forma horizontal e inmediatamente se lo ubicó verticalmente para que el mismo pudiera caer por la acción de la gravedad. Las mediciones se realizaron a los 15 y 60 minutos con un calibre digital. Los resultados obtenidos fueron analizados usando ANOVA. **RESULTADOS** Se detallan los resultados (en mm) iniciales y finales obtenidos para penetración capilar y fluidez respectivamente (media y DS): cemento de Grossman: 66,33 (16,77) y 24,5 (4,92); 10,16 (4,072) y 76 (0). Sellador Fillapex: 14,33 (6,11) y 4,833 (0,763); 9,9 (1,01) y 36,66 (34,58). La evaluación estadística mostró diferencia significativa ($p < 0,05$) entre materiales para fluidez y penetración y para tiempo en fluidez. No se encontró diferencia estadísticamente significativa ($p > 0,05$) para la interacción tiempo-material. **CONCLUSIÓN** En las condiciones de este trabajo puede concluirse que la fluidez y penetración capilar varían en función del material utilizado y que la fluidez dependería del tiempo.

baferrari@hotmail.com

37

EVALUACIÓN IN VITRO DE LA FILTRACIÓN DE RESTAURACIONES EN DIENTES EXPUUESTOS A AMBIENTES HIPERBÁRICOS.

Rau A*, Garrofe A, Grandinetti A, Brusca M, Picca M. U. Abierta Interamericana

OBJETIVO: Comparar la filtración en restauraciones realizadas con diferentes materiales con y sin exposición a ambientes hiperbáricos. **MÉTODO:** Se utilizaron 10 incisivos bovinos. En la superficie vestibular se realizaron 3 cavidades con instrumental rotatorio, de tamaño y forma estandarizados. Posteriormente se realizaron restauraciones con composite (C), ionómero vítreo (IV) y amalgama (A). Los especímenes fueron sumergidos en una solución de fucsina básica al 1% en solución acuosa durante 24 horas. Luego la muestra fue dividida al azar en 2 grupos, 5 especímenes fueron sometidos a fuerzas compresivas y descompresivas en una cámara hiperbárica, en la cual se simularon las condiciones de la actividad que realiza un buzo a 4,6 atmósferas de profundidad, durante 40 minutos. El segundo grupo quedó expuesto a 1 atmósfera de presión, en el exterior de la cámara. Se realizaron cortes con un disco de diamante en dirección bucolingual paralelos al eje longitudinal del diente. Cada uno de los especímenes fue observado y fotografiado mediante una lupa estereomicroscópica, con un aumento de 50X. Sobre las imágenes obtenidas se evaluó categóricamente la penetración del colorante en la profundidad de la cavidad: [0] ausencia de penetración, [1] penetración hasta un tercio, [2] entre un tercio y dos tercios, y [3] más de dos tercios. Para el análisis de los datos se utilizó un modelo lineal generalizado (procedimiento GENLIN de SPSS versión 20). **RESULTADOS:** Se indica la frecuencia de aparición para cada uno de los materiales según la categoría de profundidad de filtración (sin/con ingreso a la cámara hiperbárica respectivamente), C) [0]7/1, [1]3/3, [2]0/4, [3]0/2; IV) [0]0/0, [1]4/0, [2]4/4, [3]2/6; A) [0]0/1, [1]0/0, [2]6/1, [3]4/8. Se ha encontrado que la interacción entre ambas variables independientes no fue significativa por lo que se deduce que la compresión tiene un efecto sobre la penetración del colorante que no depende del tipo de material utilizado. **CONCLUSIONES:** Bajo las condiciones de este estudio podemos concluir que la exposición a ambientes hiperbáricos incrementa la probabilidad de filtración de restauraciones dentales confeccionadas con composite, ionómero vítreo y amalgama.

analia_rau@live.com.ar

38

REMOCIÓN DE BRACKET EVALUACIÓN MORFOLÓGICA DEL EFECTO DE LA REMOCIÓN DE COMPOSITE RESIDUAL

Castro K. 1, Kummer M.C*1, Bass Pluer A.1; Plavnik L.2

1-Fundación CREO. 2-Cátedra de Histología A Facultad de Odontología UNC.

Al finalizar un tratamiento de ortodoncia luego de retirar los brackets se debe remover el composite residual de la superficie del esmalte. Los métodos más usados son: piedras de diamante o fresas múltiples filo. En la bibliografía consultada en solo un trabajo se utilizó ultrasonido.

OBJETIVO: realizar una evaluación morfológica in vitro con microscopio óptico confocal del efecto sobre la superficie adamantina de tres diferentes métodos usados para la eliminación del composite residual posterior a la remoción de brackets. **MÉTODO:** Se realizó un estudio descriptivo, para el que se utilizaron 15 premolares humanos recientemente extraídos, se limpiaron y se guardaron en una solución de Timol al 0,1%. Se recortaron las coronas a nivel del límite amelodentinario y se colocaron en cilindros de PVC fijados con resina acrílica autopolimerizable. Posteriormente se cementaron brackets Sinergy de acuerdo al protocolo y luego de 48 hs; los mismos fueron retirados con alicate removedor de brackets. Las muestras se dividieron en 3 grupos de cinco casos cada uno según el método de eliminación del composite residual. Grupo 1: Fresa múltiple filo, Grupo 2: Piedra de diamante grano fino y Grupo 3: Ultrasonido. Se tomaron fotografías al microscopio electrónico confocal con un aumento de 5x en: 1) Estado inicial, 2) Post-extracción del bracket y 3) Post-remoción de composite residual. Las cuales fueron analizadas en el programa Lext Olympus OLS 4100 por un grupo de profesionales entrenados. **RESULTADOS:** En el estado inicial se observó esmalte con periquematías y en menor proporción rayas aisladas, post-extracción de los brackets el composite residual en toda la superficie excepto en pequeñas zonas periféricas donde se desprendió, y luego de la remoción del composite se observó: grupo 1: facetas y rayas en toda la superficie; grupo 2: rayas en toda la superficie; grupo 3: no se observan rayas ni facetas pero si una superficie irregular. **CONCLUSIÓN:** todos los métodos utilizados dejan una superficie muy diferente al estado inicial del esmalte, excepto con el ultrasonido. Subsidiado por Fundación CREO.

celestekummer@hotmail.com

39

PROPIEDADES DE MATERIALES PARA ORTODONCIA FOTOCURADOS CON UN DISPOSITIVO DE ALTA INTENSIDAD

Pelossi PL*; Fernández CA; Di Diego MM; Olazabal Oriuela M; Kaplan AE
Cátedras de Materiales Dentales y Ortodoncia. FOUBA

OBJETIVO: Comparar los valores de resistencia flexural, módulo elástico y profundidad de curado de materiales indicados para el cementado de bandas y brackets fotoactivados con un dispositivo de alta intensidad. **MÉTODO:** Se conformaron 4 grupos de materiales: G1) Light Bond (Reliance Orthodontic/Itasca, IL); G2) Transbond Plus bandas (3M Unitek/Monr, CA); G3) Transbond XT (3M Unitek/Monr, CA); G4) Ultra Band-Lok (Reliance Orthodontic/ Itasca, IL). Se confeccionaron 6 probetas de cada material en base a la norma ISO 4049:2009. Se trabajó con probetas de 25x2x2 mm para determinar la resistencia flexural y el módulo elástico y cilíndrico para profundidad de curado. Cada probeta se fotopolimerizó 5 segundos según rutina con LED Demetron A.2 intensidad máxima 1100mW/cm² (Demetron/Kerr, Middleton, WI), conectado a un estabilizador. Se registró intensidad promedio por probeta con radiómetro Demetron. Los datos de resistencia flexural y módulo elástico se obtuvieron en una máquina de ensayos universales (INSTRON 1011, MA) con velocidad de cabezal de 1mm/min. Los datos de profundidad de curado se obtuvieron, con micrómetro digital (Mitutoyo-MDC-1P), precisión: 0.001mm, luego de insertar cada material en una matriz de 6 mm h x 4 mm dm. Los datos fueron procesados aplicando análisis de variancia y test de Tukey, estableciendo un valor para alfa de 5%. **RESULTADOS:** Los valores de media y desviación estándar fueron para resistencia flexural (MPa): G1: 116,4a(16,7); G2: 56,2b(10,3); G3: 137,8a(9,07); G4: 90,2c(17,1). Para Módulo elástico (GPa): G1: 12,9^a66(2,1); G2: 12,5a,b(0,7); G3: 11,1a,b(0,1); G4: 10,9b(0,7). Para profundidad de curado (mm) fueron: G1: 5,47a(0,2); G2: 4,65b(0,08); G3: 5,86c(0,1); G4: 4,99d(0,1). Se encontraron diferencias significativas entre los grupos (p=0,01) en las tres características entre los grupos identificados con distintos subíndices. **CONCLUSIÓN** Bajo estas condiciones experimentales podría concluirse que las propiedades finales de materiales de uso en ortodoncia fotoactivados con un dispositivo de alta intensidad varían en función de las características de formulación de cada material. Financiado dentro del proyecto 20020120100109 de UBACyT.

patricia_pelossi@hotmail.com

40

PREVALENCIA DE *Porphyromonas gingivalis* / *Treponema denticola* EN LA BIOPELÍCULA SUBGINGIVAL EMPLEANDO PCR.

Chiappe V*, Dejean C, Figueroa Schibber E, Russo G, Romanelli H. Microbiología Y Especialización en Periodoncia. CIO y CEBBAD. Universidad Maimónides

OBJETIVO evaluar la prevalencia de *Porphyromonas gingivalis* (Pg) y *Treponema denticola* (Td) en la biopelícula subgingival en sujetos periodontalmente sanos y enfermos relacionando los resultados de la metodología molecular con la severidad de la patología periodontal. **MÉTODO:** se incluyeron 83 sujetos. Se formaron cinco grupos de acuerdo con el diagnóstico clínico-radiográfico: Sanos (S, n: 20), Gingivitis (G, n: 20), Periodontitis Crónica Leve (PCL, n:14), Moderada (PCM, n:15) y Severa (PCS, n:14). Características de los sitios: Sanos: sin sangrado al sondaje (SS), con profundidad al sondaje (PS) < 3mm, Gingivitis con SS y PS: 4mm, PCL con SS y PS: 5mm, PCM con SS y PS: 6 mm, PCS con SS y PS: 7mm. Se realizaron tomas microbiológicas, se seleccionaron cuatro sitios por sujeto y se agruparon para ser procesados conjuntamente. Para la identificación bacteriana se empleó la técnica PCR utilizando cebadores especie-específicos. Se analizó la intensidad de amplificación del ADN bacteriano estableciéndose una categorización semicuantitativa: ausencia - amplificación débil - amplificación fuerte. **RESULTADOS:** La prevalencia de Pg en S fue 30%, en G: 85%, en PCL-M-S: 100%. Para Pg hubo diferencias significativas entre el grupo S y los cuatro grupos de patologías (S vs G p=0,0006, S vs PCL-M-S p= 0,0001). La prevalencia de Td en S fue 85%, en G: 90%, en PCL: 100%, en PCM: 87%, en PCS: 93%. No hubo diferencias significativas entre los grupos. (Prueba de diferencia de proporciones). Hubo diferencias entre los grupos en cuanto al grado de amplificación de ambas bacterias (p<0,0001). Para Pg: el grupo S se diferenció significativamente de los grupos con patologías (G p=0,013; PCL-M-S p=0,001). Para Td: el grupo S se diferenció significativamente de PCL (p=0,001), PCM (p=0,004), PCS (p<0,001), no se encontró diferencia con el grupo G (p=0,060) pero hubo diferencia con el grupo PCS (p=0,008). (Prueba de Kruskal Wallis) **CONCLUSIÓN** Los resultados sugieren que Pg está fuertemente asociada a la patogénesis de la periodontitis y gingivitis, no sería una bacteria presente en los sujetos periodontalmente sanos. Mientras que Td en bajo número sería una bacteria habitual en individuos sanos y su presencia aumentaría en relación a la severidad de la patología.

periodontal.vbchiappe@gmail.com

41

NIVELES RANKL Y OPG DE PACIENTES CON ENFERMEDAD PERIODONTAL Y OSTEOPOROSIS/OSTEOPENIA.

Verde ME*, Bermejo D, Gruppi A, Grenón MS. Cátedra de Periodoncia "A". Fac. de Odontología. Depto de Inmunología Clínica. Fac. de Ciencias Químicas UNC

Receptor Activador del Factor Nuclear Kappa B ligando (RANK-L) y Osteoprotegerina (OPG) son citocinas que participan en la regulación de la osteoclastogénesis en la remodelación ósea y osteólisis inflamatoria. **OBJETIVO:** Identificar y cuantificar RANK-L y OPG en muestras de fluido crevicular gingival (GCF) de mujeres posmenopáusicas con osteoporosis/osteopenia y periodontitis crónica para clarificar posibles correlaciones entre la enfermedad periodontal y la osteoporosis/osteopenia posmenopáusica. **MÉTODO:** 66 muestras de GCF se obtuvieron de 17 pacientes con osteopenia/osteoporosis, bajo tratamiento con bisfosfonatos. 15 muestras de GCF se obtuvieron a partir de 14 controles con condición ósea normal. Ambos grupos con periodontitis crónica. Se evaluaron los siguientes parámetros clínicos: profundidad de sondaje, pérdida de inserción clínica, placa supragingival y sangrado al sondaje. Muestras de GCF se recogieron mediante tiras de papel y el test de ELISA fue realizado para determinar la cantidad total de RANK-L y OPG. Los valores obtenidos de las citoquinas (RANKL y OPG) y su relación (RANKL/OPG) fueron comparados usando ANOVA no paramétrico y un post-test de Bonferroni. Se consideró como valores estadísticamente significativo $p < 0.05$. **RESULTADOS:** Los niveles de RANKL fueron bajos en el grupo control ($9,13 \pm 2,63$), pero se incrementó en los pacientes con una enfermedad ósea como osteoporosis ($27,69 \pm 3,36$) y osteopenia ($26,37 \pm 3,18$) $p < 0.05$. Los niveles de OPG fueron mayores en condiciones ósea normales ($0,35 \pm 0,15$) en relación al grupo con osteoporosis ($0,454 \pm 0,0033$) osteopenia ($0,453 \pm 0,0024$) $p < 0,01$. La relación RANKL/OPG fue significativamente elevada en los pacientes con osteoporosis ($755,9 \pm 109,8$) $p < 0,05$ y osteopenia ($636,7 \pm 80,76$) $p = 0,05$ en comparación con el grupo de control ($208 \pm 44,37$). **CONCLUSIÓN:** Los niveles de RANKL en fluido crevicular de pacientes con osteoporosis/osteopenia post-menopáusica y enfermedad periodontal fueron significativamente superiores que en el grupo control, contrariamente a lo ocurrido con los niveles de OPG. Estos datos pueden sugerir una correlación entre la pérdida de hueso alveolar y la pérdida de masa ósea. Condiciones óseas como la osteopenia y la osteoporosis, podrían actuar como agravantes de la enfermedad periodontal.

maruv_27@hotmail.com

42

SÍNTESIS Y CARACTERIZACIÓN DE UN NUEVO COMPOSITE BIOACTIVO COMO POTENCIAL SUSTITUTO ÓSEO

Martínez C^{*1-2-4}, Fernández CA², Prado M³, Olmedo D⁴⁻⁵, Ozols A²

¹FOUNCuyo, ²Grupo de Biomateriales para Prótesis, Fac. de Ingeniería-UBA,

³C. Atóm. Bariloche, ⁴Cát Anatomía Patológica. FOUBA, ⁵CONICET.

La síntesis de nuevos sustitutos para ingeniería tisular ósea busca optimizar las propiedades osteoconductoras y de osteopromoción de estos biomateriales. **OBJETIVO:** Sintetizar y caracterizar mecánica y biológicamente un nuevo biomaterial basado en una combinación de matriz orgánica y partículas inorgánicas para su potencial uso como sustituto óseo (SO). **MÉTODO:** La fase orgánica está compuesta por colágeno tipo I de origen bovino y la fase inorgánica por partículas biocerámicas cristalinas (**BBC**), producto del sinterizado de hidroxiapatita (HA) con **■**TCP, y de partículas de biovidrio 45s5 (**BV**). Las partículas (**BBC y BV**) fueron dispersadas en una solución de colágeno con un contenido sólido de 30% en peso (5 % de BV) obteniéndose un paralelepípedo para su evaluación mecánica mediante el ensayo de flexión a tres puntos. El material se caracterizó además por EDS, DRX, IFTR y MEB. La biocompatibilidad fue evaluada mediante el modelo del implante laminar (Cabrini et al., 1993) en ratas Wistar (n:10). El biomaterial fue implantado en ambas tibias. A los 30 días se practicó la eutanasia, se resecaron las tibias, radiografiaron y procesaron para su estudio histológico: se incluyeron 10 en metacrilato de metilo, obteniéndose cortes por desgaste coloreados con azul de toluidina y 10 en parafina obteniéndose cortes coloreados con H-E. **RESULTADOS:** DRX mostró las fases correspondientes a la HA y al **■**CP, mientras que el difractograma del BV evidenció una estructura amorfa. EDS en el BV mostró mayoritariamente Si y Na, Ca, P, mientras que en la HA y en el **■**CP detectó Ca y P. FT-IR identificó enlaces entre las fases orgánica e inorgánica. Mecánicamente el composite presentó una elevada tenacidad ($15,1 \pm 1,2$ MPa) que podría atribuirse a la microestructura integrada por partículas dispersas en la matriz orgánica (MEB). Biológicamente el composite mostró una elevada biocompatibilidad, observándose histológicamente la formación de puentes de tejido óseo de tipo laminar amalgamando las partículas del biomaterial, sin respuesta inflamatoria. **CONCLUSIONES:** El proceso desarrollado permitió la síntesis de un nuevo SO con excelentes propiedades mecánicas y biológicas para su potencial uso clínico. **Subs:** PICT 2008-1116 ANPCyT, UBACyT 200201202001190BA.

cm10_10@hotmail.com

43

REGENERACIÓN ÓSEA: COMPARACIÓN DEL COMPORTAMIENTO DE DISTINTAS MEMBRANAS EN CALOTA DE RATAS.

Salvador F*; Meta IF; Mandalunis PM; Aguilar J Depto. de Implantología, Cátedra de Periodoncia, USAL/AOA- Cátedra de Histología, FOUBA

El éxito en los procedimientos de regeneración tisular guiada depende parcialmente de la utilización de una membrana de barrera adecuada. Las membranas de e-PTFE B&W® y de colágeno Membracel® no han sido comparadas con otras membranas en defectos críticos en animales. **OBJETIVO:** evaluar y comparar la formación de tejido óseo con la utilización de membranas e-PTFE B&W® y de colágeno Membracel® en un defecto crítico en calota de ratas **MÉTODO:** Se utilizaron 20 ratas hembra Wistar de 300 - 350 gr de peso clasificadas en 4 grupos (n=5): control, Gore-Tex®, B&W® y Mebracel®. En la calota de cada rata se realizó un defecto óseo crítico de 6 mm de diámetro mediante una trefina. Antes del cierre de los tejidos blandos se cubrió dicho defecto con la membrana correspondiente a su grupo, excepto en el grupo control donde no se utilizó ninguna membrana. A los 120 días luego de la cirugía se practicó eutanasia utilizando una cámara de gas y se extrajeron los sectores de calota trabajados los cuales fueron procesados histológicamente para obtener cortes que se colorearon con tricrómico de Masson. Mediante microfotografías digitales y la utilización de un software se cuantificó el porcentaje (%) de tejido óseo regenerado en el defecto óseo. Los resultados fueron analizados estadísticamente con ANOVA y Bonferroni ($p < 0.05$). **RESULTADOS:** Se excluyeron del estudio 2 ratas (1 B&W®; 1 Membracel®). La media (SD) de hueso formado en los defectos críticos fue: Gore-Tex® 93.70% (8.74); B&W® 21.60% (6.77); Membracel® 0% (0); Control 16.24% (10.71). El porcentaje de hueso formado en el grupo Gore-Tex fue significativamente mayor ($p < 0.05$) al de los otros grupos. El porcentaje de hueso formado en el grupo Membracel® fue significativamente diferente ($p < 0.05$) al de B&W®. **CONCLUSIONES:** Los resultados de este estudio preliminar demuestran que la membrana Gore-Tex® es significativamente más efectiva para favorecer la formación ósea en el presente diseño experimental.

salvador_florencia@yahoo.com

44

ESPESOR DE LA TABLA EXTERNA: CORRELACIÓN ENTRE LOS DATOS TOMOGRÁFICOS E INTRAQUIRÚRGICOS

Iglesias G*, Finguer F, Dagum H, Aguilar J, Macchi R
USAL/AOA

OBJETIVO: comparar los datos de altura y espesor de la tabla externa del hueso alveolar del maxilar superior, obtenidos a partir de una tomografía de un premolar superior, con los obtenidos de la observación anatómica directa intraquirúrgica **MÉTODO:** Fueron estudiados 7 pacientes (3 mujeres) de 17,7 años (rango 14 a 21 años), con indicación de exodoncia de sus premolares superiores por tratamiento ortodóntico. En cada uno de ellos se realizó un estudio tomográfico pre-operatorio con un 3D Accuitomo® (J. Moritta). En el corte de la pieza a extraer, se realizaron las siguientes mediciones: distancia entre el límite amelocementario y el límite coronal de la tabla ósea vestibular (DHE), la altura de la cresta ósea vestibular (AA) y el espesor de la cresta ósea marginal vestibular (AV) a un milímetro apical del margen óseo. En el acto quirúrgico, previo a la exodoncia, se midió la distancia existente entre el límite amelocementario de la pieza a extraer y el límite coronal de la tabla ósea vestibular (DHEp). Una vez realizada la exodoncia se midió (desde el fondo del alvéolo) la altura de la cresta ósea vestibular (AAp) y el espesor de la cresta ósea (AVp) utilizando calibres digitales. Todas las mediciones (en los cortes tomográficos e intraquirúrgicos) fueron realizadas en la línea media de la pieza dentaria. Se utilizó la prueba de t para datos apareados para comparar los valores medios obtenidos con cada técnica y, para evaluar la correspondencia entre los valores obtenidos con ellas, se calculó el coeficiente de correlación intraclase (CCI). **RESULTADOS:** La media (desviación estándar) en mm para las mediciones fueron las siguientes: DHE = 2.55 (DS 1.01), DHEp = 2.72 (DS 1.14), AA = 11.08 (DS 1.44), AAp = 11.32 (DS 1.91) AV = 0.49 (DS 0.28) y AVp = 0.65 (DS 0.33), sin diferencia estadísticamente significativa entre las técnicas. El CCI fue 0,70; 0,79 y -0,80 para DHE, AA y AV, respectivamente. **CONCLUSIÓN:** Los valores obtenidos a partir de un estudio tomográfico con un 3D Accuitomo, podrían ser confiables para evaluar las medidas de la tabla ósea vestibular. Se requiere continuar con la valoración de la reproducibilidad y repetibilidad de los datos obtenidos con el Accuitomo y el análisis de más casos.

gabitoiglesias@gmail.com

45

ESTUDIO PRELIMINAR COMPARATIVO CLÍNICO Y RADIOGRÁFICO DE LA CICATRIZACIÓN PERIODONTAL DE LESIONES ENDOPERIODONTALES

Franciosi F, Fuster Roselló LP, Ribotta de Albera EM*

Carrera de Especialización en Periodoncia, UNCuyo, S. Córdoba: Fundación Independencia

OBJETIVO: Analizar en los tejidos periodontales la influencia de la necrosis pulpar y su tratamiento en lesiones endoperiodontales. **MÉTODO:** Se realizó un estudio piloto comparativo, clínico y radiográfico en 6 pacientes con lesiones periodontales severas. El método fue implementado en tres etapas: A- Diagnóstico, B- Tratamiento y C- Evaluación, pos-tratamiento. En la primera fase, para determinar el origen de la afección, endodóntico, periodontal o combinado se realizó el examen radiográfico y clínico periodontal mediante índices de placa (IP) y sangrado gingival (IG), profundidad de sondaje (PS), nivel de inserción clínica (NIC) y recesiones. El estado pulpar se estableció a través de los test de sensibilidad frío y calor. En la segunda fase se efectuaron los tratamientos endodónticos acordes a la etiología de las mismas, y finalmente, en la etapa evaluativa, se realizaron los controles clínicos y radiográficos a los 3, 6, 9 y 12 meses. Los datos fueron analizados con test de ANOVA, y para determinar las diferencias entre grupos se usó el test de Bonferroni. **RESULTADOS:** Éstos evidenciaron que si bien la necrosis pulpar puede inducir y sostener lesiones inflamatorias en el periodonto, con el tratamiento endodóntico, se obtuvo la restitución de los tejidos afectados. En las lesiones periodontales inducidas por biofilms de placa dental, independientemente de la severidad, la pulpa se mantuvo vital, exhibiendo ganancia de inserción clínica y disminución de la profundidad de sondaje con mínima retracción tisular pos-tratamiento. Por el contrario, en las afecciones combinadas, la disminución de la profundidad de sondaje y ganancia de inserción fue acompañada por aumento significativo en la recesión tisular. **CONCLUSIÓN:** Si bien se alcanzó reparación de los tejidos periodontales en todos los casos estudiados, las lesiones combinadas evidenciaron sólo secuelas significativas representadas por retracción tisular en comparación con los otros dos grupos estudiados

info@findependencia.org.ar

46

ESTABILIDAD A LARGO PLAZO DE LAS ESTRUCTURAS DENTARIAS E IMPLANTOLÓGICAS

Feser G*, Gulino M, Boccio I, Antuña MV, Quintero A, Lebié A, Dulong I, Funosas ER.

Cátedra de Periodoncia. Facultad de Odontología. Universidad Nacional de Rosario.

OBJETIVOS: Evaluar la estabilidad de las estructuras dentarias e implantológicas en un grupo de individuos con diagnóstico inicial de periodontitis en sus distintos grados de severidad. **MÉTODO:** Se realizó un estudio de corte longitudinal en pacientes que fueron atendidos en la práctica privada. Todos los individuos manifestaron su interés para participar en la investigación bajo el resguardo del consentimiento informado y la aprobación del comité de ética de la UNR. El total de la muestra consistió de 285 individuos con una edad media de 59 años (DE \pm 16,59). Todos los individuos de la muestra fueron diagnosticados con distintos grados de enfermedad periodontal y participaron de un programa de soporte periodontal a intervalos regulares cada 6 meses. El período de seguimiento del estudio fue de 120 meses. Las variables periodontales y clínicas que se midieron fueron: índice de placa, profundidad de sondaje, nivel de inserción, pérdida dentaria, movilidad, hemorragia al sondaje, entre otras. Las sesiones de terapia de soporte periodontal constaron en: refuerzo de las técnicas de higiene oral, raspaje y alisado radicular y valoración de los factores de riesgo. El estudio estadístico constó de un análisis de la varianza y un test de chi-cuadrado. Para el análisis de la tasa de supervivencia de los implantes se utilizó un análisis de Kaplan – Meier. Se fijó el valor de $p < 0,05$ para la obtención de significación estadística. **RESULTADOS:** El porcentaje según el diagnóstico de enfermedad periodontal fue de: P. leve 25,6%, P. moderada 50,6% y P. severa 23,8%. La cantidad de individuos con implantes fue de 158 con 517 implantes observados. La tasa de supervivencia de los implantes fue de 98,39% y la pérdida dentaria fue la siguiente: por fractura o caries 1,2% y por enfermedad periodontal de 4%. **CONCLUSIONES:** El cumplimiento de las terapias de soporte y mantenimiento periodontal a intervalos regulares de seis meses, logró un control efectivo a largo plazo en la estabilidad de las estructuras dentarias e implantológicas de individuos con diagnóstico de enfermedad periodontal.

g-feser@hotmail.com

47

VALORACIÓN A LARGO PLAZO DEL MANTENIMIENTO PERIODONTAL EN GRUPOS HETEROGENEOS DE INDIVIDUOS EN FORMA PRELIMINAR

Feser G*, Gulino M, Boccio I, Antuña MV, Quintero A, Lebié A, Dulong I, Funosas ER
Cátedra de Periodoncia. Facultad de Odontología. Universidad Nacional de Rosario

OBJETIVOS: Evaluar la evolución de las patologías periodontales en poblaciones diferentes de pacientes que fueron observados en un programa de soporte y mantenimiento periodontal a largo plazo. **MÉTODOS:** estudio de intervención y observacional de corte longitudinal que estudió el comportamiento de las patologías periodontales. El estudio observó dos grupos de individuos: un grupo de pacientes atendidos en la práctica privada y otro grupo asistido en la cátedra de Periodoncia de la Facultad de Odontología de la Universidad Nacional de Rosario. El tamaño de la muestra constó de 350 individuos, 175 atendidos en la práctica privada (PP) y 175 asistidos en la asistencia pública (AP). La duración del período de observación fue de 120 meses. Como criterio de inclusión se tomaron a aquellos pacientes que fueron diagnosticados de periodontitis con distintos grados de severidad y extensión. Las variables estudiadas fueron las siguientes: índice de placa, profundidad de sondaje, nivel de inserción, recesiones gingivales, pérdida dentaria, movilidad, lesiones de furcación, hemorragia al sondaje, toma de medicaciones, consulta periódica al odontólogo, enfermedades sistémicas, hábito de fumar, entre otras. El análisis estadístico constó de un análisis univariado y una regresión logística multivariada. Los test paramétricos y no paramétricos utilizados fueron chi cuadrado, Friedman y Mann Whitney. Se fijó el valor de $p < 0,05$ para la obtención de significación estadística. **RESULTADOS:** Un total de 252 individuos (72%) mostraron estabilidad periodontal, 98 personas (28%) presentaron agravamiento de la periodontitis. Un total de 130 piezas dentaria se perdieron. El hábito de fumar ($p=0,03$) y las consultas erráticas al odontólogo ($p=0,01$) estuvieron relacionados con una mayor pérdida de los tejidos de soporte. **CONCLUSIONES:** Si bien la terapia de mantenimiento periodontal ayudó a disminuir la tasa de pérdida dentaria y de tejidos de soporte periodontal en ambos grupos estudiados, hay factores de riesgo adquiridos y ambientales que favorecieron la progresión de la enfermedad con mayor incidencia en el grupo AP.

g-feser@hotmail.com

48

ELEVACIÓN DE PISO DE SENO MAXILAR CON HUESO BOVINO ANORGÁNICO. ESTUDIO HISTOMORFOMÉTRICO.

Aguilar J1*, Labandeira A 1, Renou SJ2, Piloni MJ2, Gulgielmotti MB23
1 Depto de Implantología. Cát Periodoncia. USAL- AOA. 2 Cát de Anat Patológica.
FOUBA. 3 CONICET

La disminución del volumen óseo del reborde alveolar del maxilar superior y la neumatización del seno, son un desafío para la rehabilitación protética implanto-asistida. La regeneración ósea guiada con sustitutos óseos constituye una alternativa adecuada para el levantamiento del piso de seno maxilar (PSM). **OBJETIVO:** evaluar histológica e histomorfométricamente la respuesta reparativa del tejido óseo en el levantamiento de PSM ante hueso bovino anorgánico (HBA). **METODO:** el protocolo fue aprobado por el Comité de Ética en ensayos clínicos de la Escuela de Odontología de la Facultad de Medicina de la Universidad de El Salvador. Fue tratado un seno maxilar en 8 pacientes (5 de sexo femenino y 3 masculino), con un rango de edad de 33 a 73 años, con un espesor óseo subantral ≤ 4 mm y un espesor de reborde óseo ≥ 6 mm, en dos tiempos quirúrgicos. Se utilizó la técnica de Boyne & James y se implantó HBA (Osteodens E®, Pharmatrix. Argentina) en gránulos de 250 a 1000 μ m. A los 13 meses, previo a la colocación de los implantes, se realizó la biopsia punción con trefina de 2 mm de diámetro interno. Las muestras se fijaron en formol buffer al 10 %, se radiografiaron, se procesaron para su posterior inclusión en metacrilato de metilo. Se realizó la coloración con Azul de Toluidina al 1%, para el estudio histológico e histomorfométrico. Utilizando microfotografías (Axioscop 2 MOP®, Carl Zeiss, Jena, Alemania) se realizó la evaluación histomorfométrica con el software Image Tool (University of Texas, Health Science Center) determinando el porcentaje de oseointegración. **RESULTADOS** El estudio histológico de las muestras analizadas evidenció tejido óseo laminar neoformado, amalgamando a los gránulos del biomaterial entre si y ausencia de respuesta inflamatoria y macrófagos. La superficie de las partículas de HBA se encontraban en contacto con tejido óseo laminar (oseointegración) o con médula ósea (mielointegración). El porcentaje de oseointegración fue de 39 ± 10 . **CONCLUSION:** La reparación ósea generada en relación al hueso bovino anorgánico, a los 13 meses post implante, garantiza un bioentorno adecuado al momento de colocar el implante metálico. Subsidiarios: CONICET PIP 11220090100117, UBACYT 20020100100657

sandrarenou@gmail.com

49

PRESENCIA Y DISTRIBUCIÓN DE CANALES INTERFORAMINALES MANDIBULARES DETECTADOS CON TOMOGRAFÍA DE HAZ CÓNICO.

Albera JP*, Malvestiti F. Carrera Especialización en Periodoncia, UNCuyo, Sede Córdoba: Fundación Independencia

OBJETIVOS: Establecer presencia y distribución de canales endoóseos que penetren la cortical lingual de la región interforaminal de la mandíbula por ser un factor de riesgo de complicaciones quirúrgicas por hemorragia en piso de boca, durante el acto de colocación de implantes dentales. **METODO:** A partir de 50 imágenes tomográficas de maxilar inferior, obtenidas por medio de un tomógrafo de haz cónico, (CBCT) (K9000 3D, Carestream dental, Francia) elegidas al azar, sin exclusiones etarias, raciales ni sexuales. Se analizó la zona interforaminal, entre dos líneas imaginarias que pasan por los forámenes mentonianos. El área analizada fue dividida en tres zonas, una central y dos laterales. La división entre las regiones se estableció mediante una línea de dirección vertical que pasa por los extremos distales de las apófisis geni. Se analizó la presencia o no de canales endoóseos, su cantidad y su ubicación. **RESULTADOS:** Se encontraron canales endoóseos en el 100% de las tomografías analizadas, encontrándose el 72,1% de ellos en la zona central y el resto en las zonas excéntricas (15,4% y 12,5% para las zonas derecha e izquierda respectivamente). Se hallaron 102 canales en total con un promedio de 2.08 por muestra. Un 30% de las muestras (15) presentaron un solo conducto, en un 40% (20) se observaron 2, en un 22% (11), se visualizaron 3 y en un 8%, (4) cuatro canales. En un 94% de los especímenes (47) se hallaron conductos en el sector central, de los cuales un 51.1 % (24) presentaron un conducto único. Un 38.3% (18) dos y el restante 10.6% (5 muestras) tres. En los sectores laterales, se evidenciaron canales en un 28% de los especímenes (14) en el lado derecho de estos en un 85.7% (12), presentaban un canal único y en el restante 14.3% (2), se leyeron dos canales. En el lado izquierdo se observaron canales en un 22% de los especímenes (11), con un canal (9), el 81,8% y el restante 18,2%, (2) presentó dos. **CONCLUSIONES:** Utilizando CBCT se encontraron canales endoóseos en todos los casos analizados, lo que sugiere rever la idea de zona segura para la colocación de implantes a la comprendida entre los forámenes mentonianos. Ésta parece ser una técnica diagnóstica muy importante y precisa para evaluar la presencia y ubicación de estos canales.

patoalbera@findependencia.org.ar

50

ESTADO PERIODONTAL EN PERSONAS QUE VIVEN CON VIH/SIDA BAJO TERAPIA ANTIRRETROVIRAL

D'Eramo L*, Gliosca L, Medici S, Bozza F, Abusamra L, Salgado P, Molgatini S, Squassi A.

Cátedras de Odont. Preventiva y Comunitaria, Microbiología, CLAPAR I FOUBA. Servicio de Infectología. Hospital Gral. de Agudos Juan A. Fernández

OBJETIVO Evaluar la asociación entre terapia antirretroviral e indicadores clínicos de estado periodontal en personas que viven con VIH/sida (PPVS) **MÉTODO:** La población está constituida por PPVS (21 a 60 años, mediana: 42 años) bajo tratamiento antirretroviral de alta actividad. Fueron excluidos individuos con menos de 6 dientes, con enfermedades sistémicas o tratamientos farmacológicos no asociados con la infección por VIH, o bajo medicación antibiótica, previo al examen basal, y que hubieran recibido tratamiento odontológico en los últimos 12 meses. Sobre una muestra no probabilística por cuotas, de 24 pacientes, se realizó un examen basal que incluyó los siguientes indicadores: tiempo y tipo de medicación antirretroviral, tiempo de diagnóstico, episodios de internación y enfermedades oportunistas; carga viral y recuento de CD4. Se realizó un examen clínico periodontal sobre 8 sitios por pieza dentaria para determinar: profundidad al sondaje (PS), nivel de inserción clínica (NIC) y sangrado al sondaje (SS). Fueron calculadas las medidas de tendencia central y dispersión y distribución de frecuencias para cada variable, y se determinaron las asociaciones entre las variables relacionadas con la historia médica con los indicadores periodontales mediante prueba de chi cuadrado y pruebas de correlación de Spearman y Tau de Kendall. El nivel de significación fue $p < 0.05$. **RESULTADOS** El 92.3% de la muestra presentaba carga viral indetectable. Los indicadores clínicos y de laboratorio de estado sistémico ($x \pm ES$) fueron: CD4: 470.85 \pm 38.76; tiempo bajo tratamiento antirretroviral (meses): 63.27 \pm 13.42; tiempo desde el diagnóstico (meses): 111.96 \pm 13.21. Fueron evaluados clínicamente un total de 15.533 sitios. Los indicadores clínicos de estado periodontal fueron ($x \pm ES$): SS: 0.17 \pm 0.05; PS: 1.72 \pm 0.08; NIC: 1.49 \pm 0.21. Los pacientes presentaron una mediana de 16.5% de sitios con PS $>$ 3mm y una media de 3.77 \pm 1.56 sitios con PS $>$ 5mm. No se observaron asociaciones significativas entre las variables de estado clínico y periodontal. **CONCLUSIÓN** Las PPVS bajo terapia antirretroviral presentan baja severidad de patología periodontal, no encontrándose asociación entre indicadores clínicos referidos a la evolución de la enfermedad. UBACYT 20020120100324BA

lucianaderamo@hotmail.com

51

DETECCIÓN MOLECULAR DE MICROORGANISMOS PERIODONTOPÁTICOS EN PACIENTES QUE CONVIVEN CON VIH (PPVS).

Gliosca L*1, Bozza F1, D'Eramo L2, Stoppani N1, Soken L1, Squassi A2, Molgatini S1. Cátedras de Microbiología y Parasitología1, Odont Preventiva y Comunitaria2. FOUBA.

OBJETIVO Establecer la presencia y frecuencia de distribución de marcadores microbiológicos periodontales en PPVS bajo tratamiento antirretroviral con técnicas moleculares de punto final. **MÉTODO** La población está constituida por PPVS (21 a 60 años, mediana: 42) bajo tratamiento antirretroviral. Los criterios de exclusión fueron: individuos con menos de 6 dientes, con enfermedades sistémicas, tratamientos no asociados con VIH, bajo medicación antibiótica y/o tratamiento odontológico en los últimos 12 meses. Sobre una muestra no probabilística por cuotas de 28 pacientes se estudiaron 112 sitios periodontales. El examen incluyó 8 sitios por pieza. Se tomaron muestras mediante la colocación de 4 conos de papel estériles que fueron transportados en 1ml de medio RTF y conservados a -20° C, La extracción de ADN se realizó empleando un kit comercial. Para la detección de microorganismos periodontopáticos del Grupo Rojo (BGR: *Porphyromonas gingivalis*(Pg), *Treponema denticola*(Td); *Tannerella forsythia*(Tf)); del Grupo Naranja (BGN: *Fusobacterium nucleatum*(Fn), *Prevotella intermedia*(Pi)) y *Aggregatibacter actinomycetemcomitans* (Aa) se emplearon 7 reacciones de PCR de punto final con primers específicos. Los productos de amplificación se visualizaron mediante corridas electroforéticas en geles de agarosa al 2% en buffer TAE y coloreados con Gold View. Se emplearon controles positivos y negativos de reacción y detección de ADN genómico bacteriano con primers *Ubi*. **RESULTADOS** Como productos de PCR positivos se obtuvieron bandas de 404 pb para Pg; 316 pb Td; 641 pb Tf; 1016 pb Fn; 576 pb Pi; 551 pb Aa y 602 pb Ubi. 8 de los 112 sitios fueron desestimados por interferencias experimentales. La frecuencia de detección por sitios totales fue : Aa 7.81%; Pi 6.25%; Fn 81.25%; Pg 43.75%; Td 35.94%, Tf 45.31%. El 9.38% no amplificó para ninguno de los marcadores estudiados. En el análisis particularizado de las asociaciones entre **BGR** se observó: 3/3: 18,75%; 2/3: 20,31%; 1/3: 28,13 y 0/3: 32,81%; mientras que para **BGN** 2/2 4,87%; Fn solo 77,61%; Pi solo 1,49%. **CONCLUSIÓN:** Las PPVS bajo HAART presentan patógenos periodontales pertenecientes al complejo rojo y naranja. *Fusobacterium nucleatum* presenta la mayor frecuencia de detección. UBACyT CO 04 y 20020090100228

lgliosca@yahoo.com.ar

52

PROCESAMIENTO MICROBIOLÓGICO Y MOLECULAR DE MUESTRAS DE PACIENTES HIV+ BAJO TRATAMIENTO ANTIRETROVIRAL

Bozza* F,1 Gliosca L1, D'Eramo L2, Stoppani N1, Soken L1, Fedelli L1, Squassi A2, Molgatini S2. Cátedras de Microbiología,1, Odon Preventiva y Comunitaria2. FOUBA

OBJETIVO: Evaluar la combinación de técnicas microbiológicas y moleculares para la caracterización de sitios periodontales de HAART a partir de muestras subgingivales normatizadas. **MÉTODO** Se estudiaron muestras de 112 sitios periodontales, recolectados mediante conos de papel estériles. Se realizaron extendidos. Las muestras fueron transportadas en RTF. **Procesamiento microbiológico:** Para detección de anaerobios estrictos se sembraron 100 ul de la muestra diluida en Agar Sangre Anaerobio (ASA) y se incubaron en anaerobiosis estricta. Para *Aggregatibacter actinomycetemcomitans*(Aa), enterobacterias(E), *Staphylococcus aureus*(Sa), *Staphylococcus coagulasa negativo*(SCN), *Enterococcus faecalis*(Ef) y *Levaduras* (L) se sembraron 100 ul de las muestras puras en medios selectivos y diferenciales y se incubaron en capnofilia/aerobiosis. Se realizó biotipificación con métodos convencionales. **Procesamiento molecular:** La extracción de ADN se realizó empleando un kit comercial. Para la detección de microorganismos periodontopáticos marcadores: Grupo Rojo (BGR: *Porphyromonas gingivalis*(Pg), *Treponema denticola*(Td); *Tannerella forsythia*(Tf)); Grupo Naranja (BGN: *Fusobacterium nucleatum*(Fn); *Prevotella intermedia*(Pi)) y Aa, se emplearon primers específicos en PCR de punto final para cada muestra periodontal. Los amplicones se visualizaron por electroforesis en geles de agarosa/buffer TAE y se colorearon (Gold View). Se emplearon controles positivos/ negativos y detección de ADN genómico bacteriano. **RESULTADOS:** Por sitio periodontal: aislamientos anaerobios/capnófilos: Aa 0%; *Prevotella* sp 20,54%; Pi 8,04%; *Porphyromonas* sp 10,71%, Pg 1,79%; *Fusobacterium* spp 25,85%; Fn 7,14%; Td 0%; Tf 0%; aislamientos de aero/anaerobios facultativos: *Pseudomonas* sp (Ps) 8,04%, E 0,89%, Ef 0,89%; Sa 5,36%; SCN: 25%, L 38,39%; Ca 41,86%, Cd 58,14 % y 1% *Candida no albicans* y *Rhodotorula spp.* (Ro). Los amplicones se distribuyeron: Aa 7.81%; Pi 6.25%; Fn 81.25%; Pg 43.75%; Td 35.94%, Tf 45.31%. El 9.38% de los sitios no amplificó. **CONCLUSIÓN:** La combinación de las técnicas utilizadas permitió ampliar la caracterización de especies frecuentemente asociadas a patologías periodontales identificar géneros microbianos involucrados en la sucesión ecológica. BACyT CO04 Y 20020090100228

laprefe@hotmail.com

53

ESTADO PERIODONTAL Y CALIDAD DE VIDA EN PACIENTES ATENDIDOS EN UNA INSTITUCION UNIVERSITARIA

Pedreira P*, Bordoni N

Instituto de Investigaciones en Salud Pública, UBA.

Numerosos estudios han demostrado que el conocimiento de la percepción de las personas respecto del bienestar funcional, social y psicológico puede actuar como organizador en la evaluación de los resultados de programas, de servicios o de formulación de políticas (Locker et al, 1993; Unfer et al, 2006) **OBJETIVOS:**(a) Establecer las variaciones existentes en la percepción de los pacientes pre y posteriormente al tratamiento de la enfermedad gingivo-periodontal(EGP) en la población adulta (n=40) atendida en la FOUBA (año 2009).(b)Evaluar la asociación y correlación entre variables socio-demográficas y la percepción de EGP, pre y post tratamiento periodontal. **MÉTODO:** Fueron incluidos pacientes sistémicamente sanos (45 y 65 años) que aceptaron integrarse al estudio de diseño experimental pre-post tratamiento sin grupo control (n=40 casos apareados).Los criterios clínicos empleados fueron: profundidad al sondaje, nivel de inserción y sangrado al sondaje. La autopercepción se analizó mediante el OHIP validado en español (López et al, 2006), que incluye 7 dominios (49 preguntas de efecto); (b)se registraron variables de clasificación: socio-demográficas, intensidad de patología y tipo de acceso a la consulta; (c) para medir el cambio pre y post test se aplicó el Modelo General Lineal para medidas repetidas que permite medir el efecto de variables independientes sobre las dependientes, generando 7 variables que miden el score alcanzado en el pre test y 7 en el post test y contrastándolas con variables de clasificación. **RESULTADOS** a) En 5 de las 7 dimensiones el post-test se redujo el efecto negativo mientras que en incapacidad física e incapacidad social, el efecto negativo aumentó; b) el dominio dolor registró la mayor reducción; d) los residentes en AMBA/sur muestran una sistemática contratendencia en el post-test. **CONCLUSIONES:** 1.Los valores del estadístico F de Snedecor, no permiten rechazar la hipótesis nula (no diferencia entre las puntuaciones de ambos test) 2. Los desafíos estándar de cada media revelan heterogeneidad en las respuestas siendo necesario evaluar el cambio en sub grupos.3. Parece recomendable incorporar en el ingreso a la clínica periodontal la aplicación de un cuestionario de autopercepción para fortalecer la adhesión al tratamiento.

nbordoni14@gmail.com

54

EVALUACION DE PARAMETROS PERIODONTALES Y PERIODONTOPATOGENOS EN PERIODONTITIS AGRESIVA GENERALIZADA

Ribotta de Albera EM, Usin MM, Tabares S, Sembaj A.

Fundación Independencia- Cátedra de Bioquímica y Biología Molecular, Fac. Cs. Médicas, UNC

La periodontitis agresiva generalizada (PAG) es multifactorial, generada por interacción entre la respuesta del huésped, los patógenos y factores ambientales. **OBJETIVO** Asociar la microbiota de las bolsas periodontales identificada por biología molecular y la evolución de los parámetros clínicos con la respuesta al tratamiento periodontal no quirúrgico, a los 3 y 6 meses (m) post tratamiento, en pacientes con PAG. **MÉTODO:** Firmaron el consentimiento de participar en el proyecto 5 individuos adultos de ambos sexos con diagnóstico PAG según criterio propuestos por la Academia Americana de Periodontología en 1999, de edad promedio 30.6 ± 2.7 años. Al inicio del tratamiento, se elaboró una historia Clínica Médica y Odontológica, radiografías seriada y ficha Periodontal donde se consignaron los registros: placa bacteriana (PB), hemorragia (H), supuración, profundidad de sondaje (PS), nivel de inserción clínica (NIC) e hipermovilidad. En los sitios seleccionados, se tomaron muestras de PB subgingival, para identificar por biología molecular *Porphyromonas gingivalis* (Pg), *Treponema denticola* (Td), *Tannerella forsythia* (Tf), *Prevotella intermedia* (Pi) y *Aggregatibacter actinomycetemcomitans* (Aa). La re-evaluación clínica y toma de muestra bacteriana, se realizó a los 3 y 6 m post tratamiento, combinando raspaje y alisado radicular con amoxicilina + metronidazol y digluconato de clorhexidina al 0,12%. Estadística: Test de Student, *p* fue **RESULTADOS** Sitios con H, PS y NIC disminuyeron en forma significativa con la terapia, ganando 0.97 mm de NIC y el PS se recuperó en 2.54 mm de profundidad promedio a los 6 meses post-tratamiento. Se observa que Pg, Pi y Aa estaban presentes al inicio del tratamiento y no se detectaron en controles posteriores. Td y Tf se identificaron en todas las etapas del estudio. El porcentaje de bolsas \geq a 5 mm disminuyeron en todos los pacientes, quedando menor cantidad de bolsas residuales y menos ED con riesgo de perderse. **CONCLUSIÓN** el tratamiento mecánico periodontal combinado con antibióticos y su mantenimiento a los 3, 6 y 12 meses en pacientes con PAG mostró efectividad y se detectó una disminución significativa de especies bacterianas virulentas en bolsas periodontales post- tratamiento.

bachiusin@hotmail.com

55

ESTUDIO PRELIMINAR DE LA INFLUENCIA DEL PACO EN LA SALUD BUCAL

Robles M*, Fajardo R, Mutarelli A, Mele MC, Aguilar P, Grandinetti JA, Brusca MI
UAI

El PACO es un producto obtenido a partir de los residuos de cocaína. **OBJETIVO:** evaluar el estado de salud bucal de los pacientes que consumen PACO. Evaluar la presencia de *Candida spp.* **MÉTODO:** Se estudiaron pacientes (n= 22) internados en el CENARESO. El estudio fue aprobado por el Comité de Ética de la Universidad Abierta Interamericana y validado por el del CENARESO. Todos Los pacientes firmaron un consentimiento informado. Se les realizó una encuesta. Se realizó un odontograma y los índices periodontales y se tomaron muestras de biofilm subgingival con curetas de Gracey 13/14 que se colocaron en PBS y en TAB. Se realizaron estudios microbiológicos convencionales para especies de *Candida*, y para *Prevotella intermedia* y *Porphyromona gingivalis*. Se realizó análisis estadístico (Chi cuadrado) **RESULTADOS:** El 90.3% manifestó haber consumido todos los días, por más de 10 años. La edad promedio con la cual se iniciaron en el consumo es 15.7, siendo la marihuana la primera droga que han consumido y se iniciaron en el consumo de PACO 16.8 años. Las lesiones observadas por el paciente durante y después de haber consumido la droga son: Ardor (27%), Hipersensibilidad dentaria (46.7%), Lesiones ampollares (6.7%). El CPO promedio es moderado 4.4, (4.2 % de cariados, 4.6 % de perdidos y 0% de obturados). Las enfermedades periodontales en orden decreciente de frecuencia fueron: gingivitis, periodontitis leve, moderada y grave. No se halló diferencia estadísticamente significativa entre las distintas patologías periodontales. Ningún paciente presentó salud periodontal. Dentro de las especies de *Candida* encontradas en bolsas periodontales, la de mayor presencia es *C. albicans*, seguido por *C. parapsilosis*, *C. dubliniensis* y *C. krusei*. Cada bolsa presentaba más de una especie del hongo. La especie de mayor prevalencia en mucosa bucal es *C. albicans*, esto mostró una diferencia estadísticamente significativa con las demás especies ($p = 0,001$) **CONCLUSIONES:** La salud bucal se encuentra deteriorada en los pacientes que consumen PACO, con un alto porcentaje de dientes cariados, y falta de obturaciones. No se observa diferencia en el estado periodontal. Se observan más variadas especies de *Candida* que lo documentado en el resto de la población.

mmrc_2789@hotmail.com

56

IL-1B Y PGE2 SALIVALES COMO BIOMARCADORES DEL ESTADO PERIODONTAL ANTES Y DESPUÉS DEL TRATAMIENTO

Sánchez GA*, Miozza VA, Delgado A, Busch L Cátedras de Biofísica y Farmacología, FOUBA.

OBJETIVO: La interleukina-1 β (IL-1 β) y la prostaglandina E2 (PGE2) son mediadores de la inflamación involucrados en la enfermedad periodontal. El objetivo del trabajo fue comparar la concentración salival de IL-1 β y de PGE2 en función del estado periodontal, y sus variaciones después del tratamiento periodontal, a fin de determinar el uso de las mismas como elementos de diagnóstico no invasivos. **MÉTODO:** Participaron del estudio 74 sujetos adultos (27-61 años) agrupados según la profundidad de bolsa al sondaje (PPD) y el nivel de inserción clínica (CAL) en: sanos, pacientes con enfermedad periodontal moderada, severa y grave (Page & Eke, 2007). Los criterios de exclusión contemplaron: historia de tabaquismo, embarazo, enfermedades crónicas inflamatorias de la piel o mucosa bucal, uso de medicamentos y condiciones sistémicas con manifestación periodontal. Se determinaron las concentraciones salivales de IL-1 β y PGE2 en saliva total no estimulada haciendo uso del método de ELISA. Todos los participantes recibieron indicaciones de higiene bucal, y raspaje y alisado radicular solo aquellos con enfermedad periodontal. Los datos se sometieron a análisis categórico multivariado y a curvas ROC. **RESULTADOS:** La concentración salival de IL-1 β incrementó con la severidad de la enfermedad periodontal y evidenció influencia en la predicción del CAL ($\eta^2 = 0.35$, $p = 0.0001$). PGE2 evidenció incrementos en la enfermedad periodontal leve y moderada y reveló influencia en la predicción de la PPD ($\eta^2 = 0.12$, $p = 0.003$). Ambos mediadores de la inflamación disminuyeron luego del tratamiento periodontal. La IL-1 β salival, con un valor umbral de 212 pg/ml, permite diagnosticar la enfermedad periodontal con un 78% de sensibilidad y un 100% de especificidad. La PGE2 salival, con un valor umbral de 121 pg/ml, puede predecir la enfermedad periodontal con un 78% de sensibilidad y un 91% de especificidad. **CONCLUSIÓN:** La alta sensibilidad y especificidad de IL-1 β y PGE2 para la identificación de la enfermedad periodontal, sugieren su potencial uso como biomarcadores para el diagnóstico de la presencia y severidad de la misma. *Subsidio UBACyT 2002009020047*

gabriel@odon.uba.ar

57

CLÍNICAS INTEGRADAS. ESTUDIO COMPARADO EN FACULTADES DE ODONTOLOGÍA PÚBLICAS ARGENTINAS. INFORME PRELIMINAR

Argentieri A*, Bordonni N

Cátedra de Odontología Preventiva y Comunitaria. FOUBA

El abordaje de la salud global debe plantearse desde la complejidad o a través de su estrategia metodológica: las clínicas integrales (CI) que actúan como proyección pragmática para desarrollar un conocimiento sensible al valor epistémico de la complejidad. (Kleimann,2010; Kim *et al*,2013). **OBJETIVO:** Realizar el estudio comparado de las asignaturas clínicas integradas desarrolladas en las Facultades de Odontología de las universidades públicas argentinas (8).**MÉTODO:** El estudio recurrió a fuentes documentales formales (CONEAU) y a la realización de entrevistas en profundidad de informantes claves. Se utilizó el análisis multinivel (Bray *et al*,1995). Para el recorte del objeto de estudio se unificó la localización geográfica, la dependencia del financiamiento y el nivel de grupo demográfico deslocalizado El marco teórico-metodológico aplicado para el estudio temporal reconoce el papel crucial del contexto y lo humanístico. (Crossley,2000; Kazamias,2001). Fueron analizadas tendencias, convergencias y divergencias de la variable dependiente (currículo) de acuerdo con el proceso planteado por Bereday (1968). Los resultados fueron discutidos según la perspectiva de los valores, desde el nivel personal hasta el nivel colectivo, los que resultaron hegemónicos en diferentes momentos (Berger, 1972). Fue analizada la distribución de frecuencia de la modalidad integrativa y realizado su análisis estadístico; las entrevistas fueron grabadas y analizadas según la semiótica de los enunciados (Kleimann, 1996). **RESULTADOS** La triangulación de los datos cuali-cuantitativos reveló: (a)la mayoría de los planes de estudio (7/8) incorporan textualmente las CI; (b)se verifican cambios temporales en la práctica de algunos currículos, inclusive su eliminación parcial; (c)el análisis cualitativo parece demostrar que la centralidad del/los problema/s del paciente en la situación clínica como hecho relevante del proceso de aprendizaje se encuentra desplazada hacia el proceso de enseñanza con fuerte impronta en los valores individuales del docente; (d)los resultados muestran divergencia entre teoría y práctica. **CONCLUSIÓN** Los resultados obtenidos parecen recomendar una mayor rigurosidad entre teoría y práctica de las CI de acuerdo con las tendencias internacionales de calidad universitaria.

abargentieri@gmail.com

58

EL PORTFOLIO DE EVALUACIÓN ESTUDIANTIL EN LA CARRERA DE ODONTOLOGÍA

Luna I, Aguilar P., Mele MC., Grandinetti JA., Brusca MI., García Labandal L. UAI

El presente trabajo es el resultado de una investigación sobre la utilización portfolios de evaluación realizada en la Asignatura Histología Específica del segundo año de la Carrera de Odontología de la Universidad Abierta Interamericana. Si bien un Portfolio es una colección sistemática y organizada de trabajos y sus reflexionessobre ellos, adquiere relevancia como posibilidad de objetivación de procesos de pensamiento y de acción; brinda una historia personal de aprendizaje. **OBJETIVOS** Relevar las autorreflexiones volcadas por los estudiantes en los portfolios Indagar el grado de satisfacción alcanzado al realizar sus producciones escritas.**MÉTODO:** Se trata de un estudio descriptivo que se realizó con 60 sujetos que cursaron la asignatura Histología Específica en el año 2012. Se trabajó con el análisis de contenidos de las narrativas individuales presentadas en los portfolios de evaluación elaborados al finalizar la asignatura. **RESULTADOS:** Se presentarán resultados parciales sobre la base del análisis de los enunciados planteados por los alumnos en sus narrativas en los portfolios de evaluación. Las categorías que surgieron son: utilidad del portfolio, competencias comunicacionales, competencias evaluativas, competencias cognitivas y competencias metacognitivas. El análisis de las categorías enunciadas permite señalar que el portfolio, facilita la integración de los contenidos, el trabajo en equipo, el debate, la escritura académica, la búsqueda, la lectura crítica, la organización, jerarquización, deconstrucción y reconstrucción de la información; propicia la autoevaluación del proceso de aprendizaje. **CONCLUSIONES:**El portfolio como modalidad de evaluación, ofrece una perspectiva del progreso del alumno, favorece la autoevaluación, es particularmente viable en entornos procedimentales; provee al docente un feed back instantáneo sobre las necesidades del alumno y permite la tutorización en proceso. Esto resulta una estrategia de evaluación que posibilita transferenciar el conocimiento construido en forma dinámica y consensuada a las situaciones clínicas.

luna.ivana@yahoo.com.ar

59

PREMANIPULACIÓN DE MATERIALES DENTALES (MD): UNA PROPUESTA INNOVADORA. PERCEPCIÓN DE LOS ALUMNOS.

Iglesias ME, Ferrari B*, Picca M
Cátedra de Materiales Dentales. FOUBA

Una de los desafíos del aprendizaje de los MD es que exige la apropiación de contenidos teóricos sobre los que en general los estudiantes carecen de experiencias previas. **OBJETIVO:** valorar las respuestas de estudiantes de Preclínica de Rehabilitación I de la carrera de odontología de la FOUBA en intervenciones no estructuradas en el marco de una encuesta mixta realizada luego de la implementación de la premanipulación de alginato. **MÉTODO:** Se operacionalizaron las respuestas no estructuradas, agrupadas por pregunta y respuesta cerrada correspondiente, se analizó: n respuestas abiertas/n respuestas cerradas para cada pregunta, la homogeneidad de los diferentes grupos, la media de palabras empleadas en las intervenciones, así como las unidades lingüísticas más utilizadas. **RESULTADOS:** todas las preguntas de la encuesta contaban con espacio para agregar comentarios, en las preguntas 1, y 4 a 8 los incluyeron el 11,11%; 4,20%; 4,20%; 6,01%; 0,60% y 1,80% respectivamente. En el punto 2 referido a si la experiencia de premanipulación había facilitado la comprensión del contenido de la clase teórica y el 3; a si había facilitado el correspondiente trabajo práctico, el espacio en blanco destinado a la justificación, fue completado por el 84,38% y el 71,77% respectivamente. No hubo diferencias significativas entre las respuestas cerradas de la muestra total y las del grupo que completó los espacios en blanco. En promedio se emplearon en cada intervención $12,27 \pm 5,76$ palabras. Entre quienes no hallaron la experiencia provechosa (17,08% y 15,06%) pudieron leerse comentarios como "porque me parece que primero es necesario conocer los conocimientos teóricos para comprender lo que debo hacer en la práctica", en cambio entre quienes hallaron que la premanipulación facilitó mucho o bastante (82,92% y 84,94%) las tareas siguientes; las razones aducidas fueron por ejemplo: "teniendo la experiencia práctica exponemos los conocimientos adquiridos y nos podemos dar cuenta con más facilidad que nos falta aprender, que errores cometemos y ver para qué nos sirve la teoría realmente". **CONCLUSIONES:** El contacto previo con los materiales es percibido por la mayoría de los alumnos como facilitador para la apropiación de contenidos teóricos y el aprendizaje de procedimientos.

baferri@hotmai.com

60

PERCEPCIÓN DE ESTUDIANTES DE ODONTOLOGIA RESPECTO DE LA SALUD BUCAL Y VIH/SIDA.

Medici S*, D'Eramo L, Bordoni N, Sanchez G, Squassi A.
Clínica para la Atención de Pacientes de Alto Riesgo I – FOUBA – IISAP / UBA.

OBJETIVO: Construir y validar un instrumento capaz de caracterizar las percepciones de estudiantes de la carrera de odontología respecto del componente bucal de la salud y VIH/SIDA. **MÉTODO:** El diseño del instrumento consistió en la identificación de tres dominios para medir el objeto en estudio y en la elaboración de un cuestionario de 36 ítems. Los dominios fueron: (a) conocimientos sobre VIH/SIDA; (b) conocimientos sobre la salud bucal y su relación con el VIH/SIDA; (c) actitudes sobre VIH/SIDA. Para la validación del cuestionario, participaron estudiantes de 3° año (n = 165) y 5° año (n = 128) de la FOUBA, quienes completaron el cuestionario empleando una escala de frecuencia tipo Likert de 5 categorías. La validez del contenido, se determinó por opinión de expertos y la consistencia interna, mediante el coeficiente α de Cronbach. Los puntajes obtenidos por dominio y el total se compararon a través de la prueba de Mann Whitney y la influencia de la edad, género y fuente de información sobre VIH/SIDA se evaluó mediante análisis de clusters ($p < 0.05$). **RESULTADOS:** El coeficiente α de Cronbach fue de 0.78, demostrando una satisfactoria coherencia intraitems. La percepción positiva global revelada por el cuestionario fue significativamente mayor ($p = 0.002$) en estudiantes de 3° año (70% vs. 65%), al igual que la correspondiente al dominio (c) ($p = 0.0002$). El dominio (a) reveló mayor percepción de estudiantes de 5° año ($p < 0.0001$) y (b) no reveló diferencias significativas ($p = 0.13$). La edad y la fuente de información sobre VIH/SIDA resultaron ser factores significativos ($p < 0.05$) de agrupación de la percepción en (a) y (c), mientras que el género no resultó significativo ($p = 0.18$). **CONCLUSIÓN:** El cuestionario elaborado resultó preliminarmente válido, aunque restaría determinar su confiabilidad en función del tiempo de aplicación. Por otro lado, la percepción informada por los estudiantes podría constituir una barrera para la atención futura de pacientes seropositivos. *Subsidio UBACyT 20020090100228 y UBACyT R001.*

silviamedici70@gmail.com

61

APRENDIZAJES PREVISTOS Y NO PREVISTOS EN EL CURSO ARTICULACIÓN DOCENCIA SERVICIO. INFORME PRELIMINAR

Probe C, Alvaredo G, Negrini F, Pedemonte ZA*

Cátedra Odontología Preventiva y Comunitaria. FOUBA

OBJETIVO: Identificar los resultados de la evaluación del curso Articulación Docencia Servicios de Salud (ADSS) desarrollado en el 6° año de Odontología (UBA). **MÉTODO:** Se aplicaron los modelos: "Aprendizaje Experiencial" (Kolb, 1984) y "Modelo por Invención Guiada" (Bruner 1987). La muestra incluyó 68 estudiantes sobre los que se realizó la observación directa del desempeño aplicando (a) una lista de cotejo que incluyó tres dominios: a) vinculación institucional; b) actividad clínica; c) vinculación con el contexto. Las respuestas medidas por la escala de Likert se dicotomizaron en: no aprobado (1-2), aprobado (3-4-5) y (b) un registro documental producido por los estudiantes que identificaron incidentes críticos autodefinidos. Para el análisis se seleccionó el Método Comparativo Constante (Teoría Fundamentada de Glaser et al, 1967) incluye recolección de información, codificación y análisis simultáneo. **RESULTADOS:** Surgen de la aplicación, durante un semestre, de ambos instrumentos. Revelan: (a) en los dominios **Vinculación Institucional y Vinculación con el Contexto** la calificación ≥ 3 alcanzó el 97% en la distribución de frecuencias; (b) en el dominio **Actividad Clínica** se registraron valores < 3 en el 4% de los estudiantes; (c) la calificación más baja se concentró en los ítems "Fundamenta sus intervenciones terapéuticas y Evalúa el resultado" 30% de los alumnos; (e) recibieron la calificación más alta en todos los ítems el 5,88% de los estudiantes (f) al redactar el informe de las Experiencias Relevantes 72,4% se ajustó a las consignas que permitió visualizar aprendizajes previstos y no previstos; 27,6% presentó un informe restringido; (g) 64,2% eligió relatar sucesos que constituyeron obstáculos al desempeño pautado y 35,8% seleccionó experiencias psicosociales (agradecimiento de pacientes y familiares; comprensión del modelo de atención expresado en: centralidad en las necesidades del paciente; responsabilidad en la enseñanza para el autocuidado; impacto del programa en organizaciones de la sociedad civil y acompañamiento del docente). **CONCLUSIONES** Los resultados obtenidos mediante la aplicación de los instrumentos seleccionados recomiendan profundizar en la formación docente con el propósito de canalizar la densidad conceptual que emana de la estrategia ADSI.

zulemapedemonte@yahoo.com.ar

62

EVALUACIÓN DE LA DEFORMACIÓN DEL FORAMEN APICAL POR MANIOBRAS DE PERMEABILIZACIÓN MANUALES Y MECANIZADAS.

Lopreite G*.¹, Basilaki J¹, Romero A., Hecht P.².

Cátedras de Endodoncia 1 y Biofísica 2 Facultad de Odontología UBA.

La permeabilización por maniobras quirúrgicas del foramen apical en la preparación quirúrgica de los conductos radiculares es un objetivo buscado por diversas escuelas. **OBJETIVO** evaluar la deformación generada por limas de acero inoxidable de empleo manual y níquel titanio rotatorio en las maniobras de permeabilización del foramen apical. **MÉTODO:** se emplearon 40 raíces dentales recientemente extraídas con un solo conducto. Se calibraron todas en 18 mm de longitud y se montaron en tacos acrílicos que permitieran la realización de las maniobras del estudio. Se observó cada uno de los forámenes al MEB (Phillips de alto vacío) a $\times 100$ y se mapeo cada uno empleando el programa Golden Ratio (Softonic). Posteriormente se realizó a todas las muestras la preparación quirúrgica endodóntica hasta 1 mm de su foramen con el sistema rotatorio Protaper hasta el instrumento F3, se hicieron maniobras de permeabilidad apical en 20 raíces con limas manuales de acero inoxidable Flexofile (Maillefer Suiza) calibre .10y en el resto con instrumentos Pathfile (Dentsply Maillefer Suiza) de niti rotatorio a 150 rpm calibre .13. Quedaron conformados dos grupos: A (permeabilidad manual) y B (permeabilidad rotatoria). Los forámenes fueron nuevamente observados al MEB realizando las mediciones y mapeo comparativo con las imágenes previas. Se estableció una escala de valores para la evaluación de los resultados. **RESULTADOS** se empleó la prueba de Mann Withney para el análisis de los resultados, los que no arrojaron diferencias significativas entre los grupos ($p=0.110$). **CONCLUSIÓN:** en las condiciones de este estudio la realización de maniobras de permeabilización quirúrgica realizada por instrumentos manuales de acero o rotatorios de níquel titanio mostro diferente grado de deformación del foramen, sin mostrar diferencias significativas entre ambos métodos.

lobra93@gmail.com

63

DIÁMETRO DEL CONDUCTO VERSUS CAPACIDAD DE PENETRACIÓN EN DENTINA DE DIFERENTES VEHÍCULOS

2,3Gamba CA*, 1Ritacco ED, 1Báez V, 1Labarta AB, 1Sierra LG.
Cát. de 1Endodoncia, 2Bioquímica General e 3Histología FOUBA

En estudios previos demostramos que el propilenglicol (PG), hidróxipropilmetilcelulosa (HPMC) y agua destilada (AD) son capaces de difundir en los canalículos dentinarios de dientes permanentes jóvenes. Surge así la necesidad de evaluar un vehículo con capacidad de penetrar y difundir en el tiempo adecuado y transportar medicamentos para lograr la desinfección completa del conducto radicular favoreciendo la apexogénesis. **OBJETIVO** En el presente estudio se plantea si el diámetro del conducto podría influir en la capacidad de penetración del PG, HPMC y AD en dentina de dientes permanentes jóvenes y en la decisión de su elección como vehículo. **MÉTODO** En premolares uniradiculares (n=15) con ápice inmaduro fue realizada la apertura cameral, el lavado, y secado, exponiendo la matriz dentinaria con EDTA 17%. Según vehículo a testear se aleatorizaron: PG, HPMC y AD (5 dientes/grupo). Se realizaron lavajes con vehículo+azul de metileno a 1mm del ápice, se secaron, obturaron (Cavit/ionómero Vítreo) y llevaron a estufa (37°C) por 24 horas. Posteriormente, los dientes fueron incluidos en acrílico, sus raíces seccionadas transversalmente (espesor 1mm, micrótomos-ISOMET) a alturas % de la raíz, realizadas en cada tercio: cervical (C 10%), medio (M 50%) y apical (A 90%). Se observaron con microscopio-Olympus-CX31 y fotografiaron (Infinity-21-Lumenera-Corporation), magnificación 25x. Análisis (Infinity-analyze-software) de las áreas (mm²) de dentina teñida (ADT) y del conducto (AC). Análisis estadístico: Pearson: correlación entre ADT y AC con cada vehículo (n=15, 5/tercio) (coeficiente r; nivel de significación p<0,05). **RESULTADOS** La correlación entre ADT y AC fue significativa con HPMC (0,717; p=0,006) y AD (0,833; p=0,0001) pero no con PG (0,208; p=0,476). **CONCLUSIÓN** La correlación directa entre el ADT y el AC con HPMC tomadas en conjunto con sus propiedades surfactantes y su capacidad de difundir en los túbulos dentinarios, lo posicionan como candidato posible en la vehiculización de antibióticos administrados por esta vía. El PG, viscoso y de menor tensión superficial, en comparación con el AD, le proporcionaría una ventaja en la penetración en los túbulos dentinarios. Sin embargo, el PG no muestra correlación con el diámetro del conducto, que se evidencia con el AD.

alicia_gamba@yahoo.com

64

SIMULACIÓN DE LA LIBERACIÓN DE CALCIO DE UN BIOMATERIAL PARA OBTURACIÓN ENDODÓNTICA.

Sabaté R*, Fernandez Monjes J, Maresca B, Sánchez G. Cátedra de Endodoncia, Escuela de Odontología, Universidad JFK y Cátedra de Biofísica, FOUBA.

En comunicaciones previas, hemos informado acerca de la liberación de calcio *in vitro* a partir de un biomaterial de tercera generación para obturación endodóntica (LICON-D). **OBJETIVO:** crear y validar un modelo de liberación de calcio y degradación de microesferas de alginato de calcio contenidas en LICON-D. **MÉTODO:** la liberación de calcio de LICON-D se analizó por simulación *in silico*, haciendo uso de un modelo de difusión de calcio a permeabilidad variable ($2,10^{-10}$ cm/seg a $1,10^{-6}$ cm/seg), empleando constantes de difusión entre $1,10^{-6}$ y $1,10^{-3}$ cm²/seg. Simulamos difusión de calcio a gradientes variables de concentración, a diferentes valores de pH (3,5 a 7,4) y flujo sanguíneo capilar a nivel del ápice y del periápice de molares superiores e inferiores, a tiempo variable (1 a 72 hs), en obturación hasta el límite de trabajo y en sobreobturación. Los resultados se analizaron estadísticamente a través de ANOVA factorial (p < 0,05). **RESULTADOS:** La liberación de calcio a partir de LICON-D resultó significativamente mayor a las 72 hs. El flujo de calcio resultó mayor en condiciones de sobreobturación ($1,44 \mu\text{g}/\text{seg}\cdot\text{cm}^2$). Aumentó significativamente con el flujo sanguíneo ($2,14 \mu\text{g}/\text{seg}\cdot\text{cm}^2$) y disminuyó con el descenso del pH ($1,12 \mu\text{g}/\text{seg}\cdot\text{cm}^2$). La difusión resultó mayor en el área ápicoperiapical de molares superiores ($1,48 \mu\text{g}/\text{seg}\cdot\text{cm}^2$) y se correlacionó positivamente con el flujo sanguíneo de la zona. A los valores de flujo obtenidos, el material de obturación permitiría alcanzar una concentración de calcio biológicamente significativa de 112 $\mu\text{g}/\text{ml}$ en el área ápicoperiapical. Las simulaciones de la degradación de las microesferas, no evidenciaron degradación significativa de las mismas en el lapso de tiempo estudiado. La liberación de calcio calculada a partir de los valores simulados de difusión, no resultó significativamente diferente de la informada *in vitro*. **CONCLUSIÓN:** Los resultados obtenidos por simulación reproducen la liberación de calcio y degradación de LICON-D que se produce en un entorno fisiológico, proporcionando una predicción directa de la liberación del ión, y pueden ser de gran utilidad para la farmacotecnia de biomateriales de liberación prolongada de fármacos de uso endodóntico.

sabaterosa@hotmail.com

65

EFFECTIVIDAD DE TRATAMIENTOS OSTEOCONDUCTORES EN REPARACIÓN ÓSEA POST CIRUGÍA APICAL

Rodriguez PA*, Lenarduzzi A, Sierra L, Martinez P, Corominola P, Fernández-Solari J, Elverdin JC
Cátedra de Endodoncia, Facultad de Odontología, UBA

La cirugía apical (CA) es un procedimiento quirúrgico realizado en el ápice dentario para resolver problemas crónicos que implican procesos infecciosos o complicaciones post-endodónticas. **OBJETIVO:** evaluar la efectividad de biomateriales actuando como osteoconductores en el tratamiento de lesiones peri-apicales. **MÉTODO:** se realizó el seguimiento durante 24 meses de 61 pacientes de ambos sexos con patología apical a nivel de las piezas antero-superiores divididos según tratamiento: 1) CA convencional (CAC, n=17); 2) CA con colocación de material bioactivo (n=21) sobre el defecto óseo y 3) CA con colocación de material bioactivo y hueso liofilizado (n=23). Criterios de los días de evolución clínica con reconstrucción de lesión apico-periapical y manifestación clínica con reconstrucción de la integridad radicular y 3 meses de evolución clínica con persistencia o aparición de lesiones peri-apicales y manifestación clínica con reconstrucción de la integridad radicular y 3 meses de síntomas clínicos. Se realizaron registros radiográficos y tomográficos pre y post-quirúrgicos. Para valorar el éxito global se siguieron los criterios de von Arx y Kurt considerando: a) éxito, cuando la regeneración ósea es igual o mayor del 50% y ninguno de los valores clínicos es 1; y b) fracaso, cuando la regeneración ósea es menor del 50% y al menos uno de los valores clínicos es 1. Los datos obtenidos fueron analizados por test de χ^2 de Pearson. **RESULTADOS:** Los resultados obtenidos muestran un porcentaje de éxito del 64,70% para la CAC, del 90,47% para los pacientes tratados con MB exclusivamente ($p < 0.001$ vs CAC), y del 95,65% para el tratamiento combinado de MB y hueso liofilizado ($p < 0.001$ vs CAC). Los exámenes histopatológicos asociados al tejido inflamatorio extraído mostraron alta frecuencia de quistes epiteliales inflamatorios, seguidos de granulomas apicales y quistes odontogénicos inflamatorios. **CONCLUSIONES:** Los resultados obtenidos demuestran la eficacia de los tratamientos osteo-conductores para la reparación ósea peri-radicular y apoyan su utilización en las cirugías apicales.

NO SE PRESENTÓ

pablordrodriguez@dentalmedicine.com.ar

66

TÉCNICAS MOLECULARES PARA IDENTIFICAR BACTERIAS PRESENTES EN LA NECROSIS PULPAR CERRADA Y ABIERTA

De Schant ME*1, Chiappe VB2/3, Dejean CB 3/4, Martínez A B3, Russo MG4, García Puente C1.1 Carrera de Especialización en Endodoncia, 2Cátedra de Microbiología, FOUM, 3 (CIO), 4 (CEBBAD), Universidad Maimónides

OBJETIVO: identificar las bacterias presentes en la necrosis pulpar cerrada y abierta, con y sin patología periapical, utilizando la técnica de reacción en cadena de la polimerasa (PCR). **METODO:** estudio preliminar donde se seleccionaron 24 pacientes adultos de la clínica de la Carrera de Especialización en Endodoncia, con la indicación de tratamiento endodóntico con necrosis pulpar. Se incluyeron 12 dientes con sellado coronario y 12 con la cámara pulpar abierta. En los dos grupos se consideró la ausencia o presencia de lesión periapical. La toma microbiológica se realizó con los dientes aislados y desinfectados. La cámara pulpar se abrió con piedras e irrigación estéril. La muestra del fluido endodóntico se tomó con dos conos de papel estériles que se colocaron en un tubo con PBS estéril. El ADN bacteriano se amplificó por PCR. El análisis estadístico se realizó mediante un ANOVA de dos factores fijos utilizando el programa Infostat. **RESULTADOS** los dientes con necrosis cerrada, con y sin patología periapical presentaron una alta prevalencia de *Pophyromonas gingivalis* 83% y *Treponema denticola* 50% y una baja prevalencia de *Prevotella intermedia* 25%, *Campylobacter rectus* 25%, *Tannerella Forsythia* 25% y *Aggregatibacter actinomycetemcomitans* 33%. Los dientes con necrosis abierta con y sin patología periapical mostraron una alta prevalencia de *Pophyromonas gingivalis* 83%, *Treponema denticola* 58%, *Prevotella intermedia* 58%, *Campylobacter rectus* 66%, y *Aggregatibacter actinomycetemcomitans* 50% y una baja prevalencia de *Tannerella forsythia* 40%. No se encontraron evidencias de interacción entre los factores necrosis y patología periapical ($p=0,6807$), así como tampoco se halló un efecto significativo con la lesión periapical ($p=0,1352$). Se encontraron diferencias significativas en el número total de especies bacterianas entre individuos con necrosis cerradas y abiertas ($p=0,0498$). **CONCLUSION:** los individuos con necrosis abiertas presentaron un mayor número de especies bacterianas que los pacientes con necrosis cerrada, independientemente de la presencia de lesión periapical, lo que indicaría que una cavidad pulpar abierta aumenta la carga bacteriana de la lesión. Palabras clave: PCR multiplex, microbiología endodóntica, infección endodóntica primaria.

medeschant@hotmail.com

67**FORMAS L DE BACTERIAS COMO COLONIZADORES PIONEROS DEL ESMALTE DENTAL. ESTUDIO PRELIMINAR**

Palacios N*, Turcot L, Bernat MI, Vilotta SM, Rosmino MF, Domínguez SA1, Molgatini S, Somaglia L.

Cátedra de Microbiología. FOUBA. 1 Comisión Nacional de Energía Atómica (CNEA)

OBJETIVO: Evaluar la capacidad de las Formas L de bacterias (FLB) de colonizar la superficie del esmalte dental. **MÉTODO:** Prueba A (in vivo): Tres muestras de esmalte dental montadas en un dispositivo intraoral fueron expuestas a saliva del piso de boca durante 1,2 y 3 hs. para evaluar COLONIZACION PRIMARIA por microscopía electrónica de barrido (MEB). Prueba B (in vitro): nueve muestras de esmalte se incubaron con saliva filtrada (poros: 0,20 um) durante 1, 2 y 3 hs. Una muestra de cada tiempo se procesó para MEB, las restantes se incubaron: 24 y 48 hs. en caldo BHI y Gold, y 7 y 15 días en caldo PPLO, para evaluar la REVERSION de las formas filtrables cocoideas a formas parentales típicas. Prueba C (in vitro): se incubaron seis muestras de esmalte dental, con una suspensión de placa dental supragingival filtrada, durante 1,2 y 3 hs.; una muestra de cada tiempo se lavó con agua bifiltrada para evaluar ADHESION, y todas se procesaron para MEB. Inóculos y cultivos, se controlaron por MEB, coloraciones de Gram y Giemsa; para evaluar REVERSION y formas filtrables, se usó fluorescencia con naranja de acridina (NA). **RESULTADOS:** Prueba A: en todas las muestras se observaron formas cocoideas, bacilares y FLB filtrables de 50 a 200nm. Prueba B: todas las muestras de 1, 2 y 3 hs. presentaban FLB filtrables; en las muestras de 24 y 48 hs hubo reversión a formas cocoideas y bacilares típicas. La fluorescencia con NA (por su unión a Ac. Nucleicos) confirma que las formas filtradas son bacterias metabólicamente activas. En PPLO no desarrollaron mycoplasmas Prueba C: en todas las muestras, aún las lavadas, se observaron formas filtrables adheridas al esmalte. **CONCLUSIÓN** se observaron en las FLB filtrables características cualitativas originales: a) capacidad de adhesión y colonización del esmalte dental humano con o sin capa salival previa en tiempos menores a 1 hr., b) reversión a formas cocoideas y bacilares parentales y c) agregación y /o coagregación entre sí y con formas clásicas de bacterias. Se requiere perfeccionar los métodos de Nanoidentificación y nuevos estudios interdisciplinarios para determinar el rol de estas formas bacterianas filtrables en la morfogénesis de placa dental y en la etiopatogenia y prevención de las patologías dento-periodontales.

nppalacios@yahoo.com.ar**68*****Candida albicans* y *Candida dubliniensis* HEMOLÍTICAS EN CAVIDAD BUCAL DE PACIENTES VIH POSITIVOS.**

Lamas S*, Fedelli L, Pérez SB, Molgatini SL, González MI

Cátedra de Microbiología y Parasitología. FOUBA

Candida spp es una levadura oportunista presente en la microbiota bucal de pacientes VIH+. *Candida albicans* (*Ca*) es la especie más estudiada con respecto a sus factores de virulencia. Menos conocida es la capacidad patogénica de *Candida dubliniensis* (*Cd*), especie posteriormente tipificada. **OBJETIVO:** Establecer si existen diferencias en la producción de hemolisinas entre cepas de origen bucal de *Ca* y *Cd* aisladas de pacientes VIH+. **MÉTODO:** Se utilizaron 45 cepas de *Cd* y 27 de *Ca* aisladas de la cavidad bucal de pacientes VIH+ y como controles, 49 cepas de *Cd* y 46 cepas de *Ca* de pacientes VIH-. Se usaron placas con agar Sabouraud adicionado con sangre ovina estéril al 7,5% y en la superficie del medio se colocaron discos de papel de filtro estériles. Con cada cepa en estudio se preparó una suspensión homologada con la escala N° 1 de Mc Farland. Se inocularon 10 µl de la suspensión de levaduras en cada disco. Los ensayos se realizaron por triplicado. Las placas se incubaron a 37°C durante 72 hs. La hemólisis se determinó por la formación de un halo translúcido alrededor del disco. Para el procesamiento estadístico se utilizó la prueba exacta de Fisher. **RESULTADOS:** Todas las cepas de *Ca* (n=73) fueron productoras de hemolisinas. Mientras que las cepas de *Cd* provenientes de pacientes VIH+ fueron: 35 hemolíticas/10 anhemolíticas y de pacientes VIH- fueron: 41 hemolíticas /8 anhemolíticas. La prueba de Fisher arrojó diferencia significativa cuando se analizaron los resultados obtenidos de la comparación entre cepas hemolíticas y anhemolíticas dentro de cada grupo de pacientes (VIH+ p=0,0105/VIH- p=0,0059). Cuando se evaluó el factor producción de hemólisis (cepas hemolíticas) entre los grupos de pacientes no hubo diferencia estadísticamente significativa (p=0,3190). **CONCLUSIÓN:** Bajo las condiciones del presente estudio, *Cd* presentaría variabilidad en la expresión de hemolisinas cuando coloniza pacientes VIH+, mientras que tal expresión en *Ca* sería independiente de su relación con el hospedador. Subsidio UBACyT CO 04.

nslamas@hotmail.com.ar

AISLAMIENTO DE *Veillonella* spp EN DIFERENTES NICHOS ECOLÓGICOS BUCALES DE NIÑOS PREESCOLARES.

Molgatini S1, Manto MC*1, Mateo MT1, Tejerina DP1, Argentieri A2, Rodríguez P3
 Cátedras de Microbiología, 1 Odon Preventiva y Comunitaria 2 y Bioquímica 3. FOUBA

El género *Veillonella* spp. se caracteriza por ser cocos dispuestos de a pares, anaerobios estrictos, gramnegativos que forman parte de la microbiota indígena dominante de la cavidad bucal de niños y adultos en estado de salud. La colonización de *Veillonella* spp. en cavidad bucal es variable y está relacionada con la distribución de microorganismos acidogénicos productores de lactatos. **OBJETIVO:** Comparar el aislamiento de *Veillonella* spp. en muestras de biofilm supragingival y saliva de niños preescolares y la presencia de caries. **MÉTODOS** La población en estudio incluyó 49 niños (3 a 6 años, mediana: 59 meses). Para el estudio microbiológico se tomaron muestras de saliva y biofilm supragingival y posteriormente se determinó el estado dentario de los niños. Las muestras se sembraron en medio selectivo para *Veillonella* spp. con el agregado de vancomicina y sangre lacada incubadas en condiciones anaeróbicas durante 72 hs. Para el análisis de los resultados se aplicó comparación de proporciones para muestras independientes (% e IC95%) y Chi cuadrado. **RESULTADOS:** De los 49 niños (98 muestras) 25 (51.0%, 36.3-65.6%) presentaron cultivos positivos en ambos sitios, 3 (6.1%, 1.3-16.7%) solo en biofilm y ninguno solo en saliva. De las muestras de *Veillonella* spp. aisladas de biofilm (n=28), 22 (78.6%, 59.0-91.7%) de los pacientes presentaban caries, mientras que de los niños con cultivo negativo (n=21) 4 presentaron caries (19.0%, 5.4-41.9%). De las muestras de *Veillonella* spp. aisladas de saliva (n=25) 20 (80.0%, 59.3-93.2%) de los pacientes presentaban caries, mientras que solo 6 pacientes (25.0%, 9.8-46.7%) con caries tuvieron cultivo negativo (n=24). No se encontró diferencia significativa en la detección de *Veillonella* spp entre los aislamientos de biofilm y saliva. **CONCLUSIÓN:** De acuerdo a las condiciones de este estudio el mayor número de aislamiento de *Veillonella* spp se obtuvo en los niños con caries, con igual eficacia tanto en biofilm de placa supragingival como en saliva. Subsidio UBACYT CO 02

mdelcmanto@hotmail.com

 AISLAMIENTO Y SENSIBILIDAD ANTIFÚNGICA DE *Candida* spp. BUCALES EN PACIENTES VIH+

Fedelli L*1, Gliosca L1, D'Eramo L2, Squassi A2, Molgatini S1.
 Cátedra de Microbiología 1 - Odontología Preventiva y Comunitaria 2. FOUBA

OBJETIVO: Realizar la biotipificación y determinación de la sensibilidad antifúngica de cepas de *Candida* spp. aisladas de mucosa yugal y biofilm subgingival en personas que viven con VIH/SIDA (PPVS). **MÉTODO:** Se estudió una población constituida por PPVS, 21 a 60 años, bajo tratamiento antirretroviral (HAART). Fueron criterios de exclusión: individuos con menos de 6 dientes, con enfermedades sistémicas, tratamientos antibióticos y/u odontológico en los últimos 12 meses. Sobre una muestra no probabilística por cuotas de 28 pacientes se estudiaron microbiológicamente 28 superficies mucosas y 112 sitios periodontales. Las muestras se obtuvieron por hisopado de mucosa y colocación de 4 conos de papel estéril, se transportaron en medio RTF y 100 µl de la muestra fueron sembrados en CHROMagar Candida®. Las cepas fueron tipificadas utilizando métodos fenotípicos y micromorfológicos. Para la diferenciación entre *Candida albicans* (Ca) y *Candida dubliniensis* (Cd) se utilizó Agar Staib y Agar Sabouraud Glucosado a 45°C. Se realizaron pruebas de sensibilidad con discos de fluconazol (25 µg) y voriconazol (1 µg) según M44-A2 del CLSI. Los niveles de susceptibilidad fueron categorizados en susceptible (S), susceptible dosis dependiente (SDD) y resistente (R). **RESULTADOS:** El 32,14% de las mucosas presentaron aislamientos positivos para levaduras: Ca 55,56%, Cd 33,33% y el 10,71% restante *C. glabrata* (Cg), *C. krusei* (Ck) y *Rhodotorula* spp. (Rh). Dos muestras presentaron más de una especie (Cd-Cg; Ca-Ck). Las muestras subgingivales fueron positivas en el 38,39% de los sitios: Ca 41,86%, Cd 58,14% y 1% entre Cg, C. tropicalis, Ck y Rh. Seis sitios presentaron coexistencia de especie (2 Ca-Cd; 2 Cd-Cg; Ca-Cg; Ca-Rh). La sensibilidad antifúngica para fluconazol fue Ca: S 36,36%, SDD 45,45% y R 18,18%; Cd: S 71,42%, SDD 7,14% y R 21,43%; y para voriconazol: Ca: S 72,72%, SDD 27,27%; Cd: S 85,71%, SDD 14,28%. **CONCLUSIÓN:** Los resultados muestran que la cavidad bucal de PPVS está colonizada con levaduras de distintas especies que pueden coexistir en un mismo nicho ecológico. El riesgo de infección por levaduras que presentan resistencia antifúngica hace necesaria la identificación de especie y el conocimiento de la sensibilidad. Subsidio UBACYT CO 04

lau_fedelli@hotmail.com

71

CONOCIMIENTOS, ACTITUDES Y PRÁCTICAS SOBRE ACCIDENTES OCUPACIONALES EN PROFESIONALES ODONTÓLOGOS

Kummer MC*, Granillo BA.

Cátedra de Microbiología y Parasitología. FOUNT

Los accidentes exposicionales son aquellos en donde el accidentado se expone al riesgo de adquirir una enfermedad infectocontagiosa, son muy frecuentes en odontología, ya que los profesionales se encuentran expuestos a material biológico contaminado. **OBJETIVO:** describir a partir de una encuesta realizada a odontólogos alumnos de cursos de posgrado de la Fundación CREO, la ocurrencia de accidentes ocupacionales y su relación con conocimientos, actitudes y prácticas en control de infección. **MÉTODOS:** Se realizó estudio descriptivo de corte transversal. Se trabajó con una muestra de 168 alumnos, a los que se les entregó una encuesta previamente validada por grupo de profesionales entrenados en control de infección. Se realizó un análisis de correspondencias múltiples, y pruebas de Chi cuadrado de Pearson. **RESULTADOS:** del análisis se detecta que: 1) hay más mujeres en comparación con hombres que se vacunaron contra la hepatitis B, pero no se realizó estudio de anticuerpos; 2) la relación entre la ocurrencia de lesiones y el momento es en los primeros 5 años de ejercicio de la profesión; 3) las mujeres tienden a encapuchar las agujas con las manos mientras que los hombres usan alicate; 4) más del 50% de personas realizaron cursos sobre bioseguridad; 5) la mayoría actualiza las historias clínicas en el lapso de 1 a 5 años, pero hay varios profesionales que ni siquiera realizan historias clínicas o si las hacen nunca las actualizan; 6) cuando se hace incineración de agujas se tiende a desechar en recipiente común, mientras que cuando no se incinera se desecha en recipiente rígido. **CONCLUSIONES:** los profesionales encuestados tienen en su práctica un nivel de conciencia importante acerca de los riesgos a los que están expuestos, sin embargo se detectó altos porcentajes de ocurrencia de accidentes exposicionales. Se debe enfatizar en los puntos críticos, como gestionar el análisis de anticuerpos para Hepatitis B, insistir en el protocolo frente a accidentes pos-exposición, y la importancia de las historias clínicas y su actualización. Trabajo subsidiado por el CIUNT.

celestekummer@hotmail.com

72

ESTERILIZACION DE GASAS POR LA TECNICA DE TYNDALIZACIÓN MODIFICADA

Alvarez Gimenez JM, Hillen NE, Assa Salomon M*, Tineo S, Saravia ME.

Laboratorio de Biología Oral, Comité Control de Infección, Facultad de Odontología, UNT

OBJETIVO: Comprobar la correcta esterilización de gasas usando calor seco y utilizando la técnica de Tyndalización modificada (TTM). **MÉTODO:** Para el estudio se utilizó una mezcla de *Bacillus atrophaeus* (ATCC 9372) y *Geobacillus stearothermophilus* (ATCC 7953) activados en medio infusión cerebro-corazón (BHI). La técnica de Tyndalización modificada consistió en esterilizar en horno eléctrico 1 hora a 70°C durante 3 días consecutivos. El material con el que se realizó el estudio fueron gasas esterilizadas en autoclave y posteriormente separadas en tres grupos: A) Contaminadas con 0,05ml de cultivo activo, dejadas a temperatura ambiente (TA) durante una hora, antes de ser esterilizadas. B) Contaminadas con 0,05 ml del cultivo, dejadas por 24 horas a TA, antes de ser esterilizadas, y C) gasas conteniendo en su interior esporas de bacilos termófilos, llevadas a esterilizadas inmediatamente. Los tres grupos de gasas fueron esterilizadas, siguiendo el protocolo para la TTM por cuadruplicado. Finalizado el proceso las gasas esterilizadas fueron colocadas en tubos con caldo BHI, para incubarse a 37°C por 72 horas. Finalizada la incubación se les realizó lectura de turbidez, se agitó en vortex, y se retiró 0,05ml de medio a cada tubo para sembrar en medios BHI agar y 0.05ml en caldo Tioglicolato sin dextrosa y sin indicador (TIO W/O), que comprueba crecimiento por debajo de 5 ufc/ml. Los controles negativos fueron gasas estériles. Los controles positivos fueron: gasas estériles contaminadas con el cultivo, y gasas con esporas de bacilos termófilos, todos incubados en caldo BHI, a 37°C durante 72hs. **RESULTADOS** Ninguno de los tubos estudiados con la TTM registraron turbidez, lo que indica que no hubo crecimiento bacteriano. Estos tubos no registraron crecimientos bacterianos cuando fueron sembrados en agar BHI y en TIO W/O. Los dos controles positivos dieron turbidez del medio de cultivo lo que corresponde a crecimiento bacteriano. **CONCLUSIÓN** Esta forma de esterilizar garantiza la eliminación de toda forma de vida bacteriana, y es una alternativa para odontólogos y servicios públicos que no disponen de autoclave para la correcta esterilización de gasas u otros materiales. Parcialmente subsidiado por el CIUNT.

josemaria_alvaregimenez@yahoo.com.ar

73

UN MODELO EXPERIMENTAL DE DESUSO EN EL HUESO ALVEOLAR DE RATA. ESTUDIO HISTOMORFOMÉTRICO

Trojan-Cotumacci AE*, Ubios AM, Bozal CB
Cátedra de Histología y Embriología, FOUBA

Los modelos experimentales para evaluar el efecto del desuso en hueso utilizan mayormente los huesos largos, existiendo escasa evidencia de modelos que se apliquen al hueso alveolar. Nuestra hipótesis es que la ausencia de piezas dentarias provoca un cuadro de desuso en el hueso interradicular de los molares antagonistas debido a la falta de fuerzas oclusales. **OBJETIVO** Poner a punto un modelo de desuso en maxilar superior de rata por ausencia de fuerzas oclusales. **MÉTODOS** Ratas Wistar machos de entre 215-230 g de peso corporal. divididas en 2 grupos, un grupo control absoluto (C) y un grupo experimental al que se le extrajeron los tres molares inferiores derechos (E). En el grupo experimental el lado izquierdo se lo utilizó como control apareado (CA). A 7 días de las extracciones se sacrificaron los animales. Se dividieron las hemicabezas, se tomaron radiografías de los maxilares en oclusión y se procesaron histológicamente los maxilares superiores. Luego de la descalcificación se obtuvieron cortes orientados en sentido buco-palatino a nivel de la raíz mesial y de las raíces distales del 1º molar. Sobre las radiografías y sobre microfotografías se midieron los siguientes parámetros: distancia al reborde antagonista (DA), grado de erupción pasiva (GE), altura del ligamento periodontal (ALP) y volumen óseo interradicular (VOI). Los datos se compararon estadísticamente mediante el test ANOVA y prueba post hoc de Bonferroni, considerando una $p < 0,05$ como significativa. **RESULTADOS DA:** E: $0,34 \pm 0,048$ mm; **GE:** TV: E: $523,55 \pm 5,68$ μ m CA: $295,54 \pm 82,85$ μ m C: $251,73 \pm 53,61$ μ m ($p < 0,05$) TP: E: $949,83 \pm 136,85$ μ m CA: $509,30 \pm 58,96$ μ m C: $427,51 \pm 142,53$ μ m ($p < 0,05$); **ALP:** E: $124,5 \pm 11,99$ μ m CA: $163,76 \pm 91,96$ μ m C: $156,11 \pm 78,26$ μ m (NS); **VOI:** E: $0,78 \pm 0,12$ CA: $0,88 \pm 0,03$ C: $0,82 \pm 0,06$ ($p < 0,05$). **CONCLUSIÓN:** El modelo presentado reprodujo una condición de desuso a 7 días en el hueso alveolar de la rata. De esta forma, la utilización de este modelo en diferentes tiempos experimentales permitirá evaluar las respuestas celulares de los diferentes tejidos periodontales, y especialmente del tejido óseo, para poder comparar con la respuesta conocida del hueso sometido a fuerzas ortodóncicas, en condiciones fisiológicas y también en diversas condiciones sistémicas.

a.trojanc@hotmail.com

74

ALTERACIÓN DEL CRECIMIENTO CÓNDILO MANDIBULAR POR ACCIÓN DE UN BISFOSFONATO: ESTUDIO HISTOMORFOMÉTRICO

Oyhanart SR*, Escudero ND, Mandalunis P
Cátedra de Histología y Embriología. FOUBA.

El uso de los bisfosfonatos (Bfs) en pacientes pediátricos con enfermedades óseo-metabólicas es aún objeto de estudio. Trabajos previos en nuestro laboratorio revelaron que el alendronato (ALN) provoca una disminución del componente vectorial abajo y delante del crecimiento mandibular en relación al cartilago condíleo. Por lo tanto, nuestro **OBJETIVO** fue estudiar histológica e histomorfométricamente el efecto de dicho Bf a nivel el cóndilo mandibular de animales sanos en crecimiento. **MÉTODOS:** Se utilizaron ratas Wistar macho sanas de 82 ± 7 g y 30 días que fueron divididas en dos grupos de $n=4$, ALN tratadas con una dosis de 0.3 mg/kg/semana via ip., y Sham (Sh), que recibieron vehículo. Tras 8 semanas de tratamiento, los animales fueron anestesiados y se obtuvo sangre para determinar niveles de calcemia (Ca), fosfatemia (F) y fosfatasa alcalina total (FAT). Luego de la eutanasia, se extrajeron las hemimandíbulas y se procesaron histológicamente para la obtención de cortes histológicos transversales que se colorearon con: 1) H&E y 2) PAS. Mediante microfotografías digitalizadas se evaluaron los siguientes parámetros histomorfométricos en ambos cóndilos: 1) número de osteoclastos por mm (N.Oc/mm), número de vasos sanguíneos (N.Bv/mm²) y volumen ocupado por dichos vasos (BvV/MV)(%); 2) volumen trabecular (TbV/TV)(%) y volumen de tejido óseo (BV/TbV)(%) y de tejido cartilaginoso (CV/TbV)(%). Los resultados fueron analizados estadísticamente mediante un test t de Student; valores de $p < 0.05$ fueron considerados significativos. **RESULTADOS:** No se hallaron diferencias significativas en las determinaciones séricas. **N.Oc/mm:** [REDACTED] $p < 0.01$; **N.Bv/MV (vasos/mm²):** Sh 104.81 ± 20.9 , ALN 107.9 ± 25.5 , NS; **BvV/MV(%):** Sh 17.8 ± 6.3 , ALN 19.0 ± 5.0 , NS; **TbV/TV(%) :** [REDACTED] 9 , $p < 0.001$; **BV/TbV(%):** [REDACTED] $p < 0.01$; **CV/TbV(%):** [REDACTED] $p < 0.01$; **CONCLUSIÓN:** Este trabajo revela que la disfunción osteoclástica causada por el ALN altera la osificación endocondral a nivel del cóndilo mandibular y que este hallazgo debería tenerse en cuenta en el tratamiento de pacientes en crecimiento tratados con bisfosfonatos. UBACyT 20020120100190BA

sharon.oyhanart@hotmail.com

75

APOPTOSIS POR LIDOCAÍNA EN AURÍCULA DE RATA CON ANTICUERPOS DE PACIENTES PERIDONTALES

Quinteros Villarruel E*, Moran G, Reina S, Borda E, Orman B.
Cátedra de Farmacología. FOUBA. Buenos Aires. Argentina.

OBJETIVOS: Estudiar el efecto de la lidocaína (L) en la aurícula de la rata en presencia de anticuerpos contra receptores β_1 (AC) presentes en el suero de los pacientes con periodontitis crónica (PC). **MÉTODO:** Se utilizaron aurículas de rata Wistar incubadas en presencia de lidocaína e inmunoglobulinas G (IgG) séricas provenientes de pacientes sanos o con PC, solas o en presencia del inhibidor de la Na^+K^+ ATPasa ouabaína (O), del agonista β adrenérgico isoproterenol (ISO) o del antagonista β atenolol (A). Las aurículas se fijaron en paraformaldehído 4% y se incluyeron en parafina. Se obtuvieron cortes histológicos a los que se estudió mediante la técnica de TUNEL. Se cuantificó el efecto apoptótico en 6 campos a 40X a partir de los que se calculó el % total de núcleos por campo. **RESULTADOS:** L (5×10^{-7} M) incrementó el N° de células apoptóticas en la aurícula de la rata en relación al miocardio control (núcleos apoptóticos, NA) en % (media \pm ETM); basal: $12\% \pm 0,5$ n=9, L: $67\% \pm 2,8$ n=5, ($p < 0,0001$). Este efecto fue revertido en presencia de O: (1×10^{-4} M) $40\% \pm 2,5$ n=4, ($p < 0,0002$). Asimismo, la IgG de PC (1×10^{-8} M) aumentó el número de NA y en presencia de L se observó un efecto sinérgico: IgG: $74\% \pm 3,0$ n=5, IgG+L $85\% \pm 3,1$ n=4. A su vez, el A (1×10^{-5} M) revirtió el efecto apoptótico inducido por la IgG: $55 \pm 2,3$ n=4 ($p < 0,0002$). El ISO (1×10^{-7} M) incrementó los NA y ese efecto se vio aumentado en presencia de L y revertido con el agregado de O ISO: $70\% \pm 2,7$ n=5; ISO+L: $85\% \pm 2,6$ n=6; ISO+L+O: $58\% \pm 2,8$ n=4. No hubo aumento significativo de NA con IgG de pacientes sanos con respecto al basal: 12 ± 1 n=6 ($p < 0,0001$). **CONCLUSIÓN:** La L ejerce un efecto proapoptótico en la aurícula de la rata. Este efecto es revertido en presencia de O, ya que ejerce un efecto inhibitorio actuando en forma competitiva sobre la Na^+K^+ ATPasa. Los receptores β_1 del miocardio auricular al ser activados por las IgG provenientes de pacientes con PC o con ISO, estimulan el proceso apoptótico, atenuado en presencia de A. Nuestros resultados demuestran que el efecto sinérgico proapoptótico observado en presencia de L y AC activaría distintas señales intracelulares que involucran a la bomba de Na^+ y a los receptores β_1 del miocardio auricular aislado. Este trabajo fue sustentado por el subsidio UBACYT N° 20020100100445.

emmaquinteros@gmail.com

76

SECUENCIA AMINOACÍDICA DE LA Ca-ATPASA DE RETÍCULO SARCOPLÁSMICO DE MÚSCULO DIGÁSTRICO.

Trinks P, Di Croce D, Richard S, Takara D, Sánchez G*.

Cátedra de Biofísica y Cátedra de Anatomía. Fac. de Odontología. UBA.

OBJETIVO: En trabajos previos hemos descrito una menor capacidad de transporte de calcio y actividad enzimática de la Ca-ATPasa (SERCA) de músculos masticadores, junto con la expresión combinada de diferentes isoformas de la enzima. Dado que la expresión de una isoforma propia de los músculos masticadores depresores podría explicar también tales diferencias funcionales, el objetivo del trabajo fue determinar y caracterizar la secuencia aminoacídica de la SERCA del músculo digástrico. **MÉTODO:** Se disecaron músculos digástricos (n = 20) de conejo neozelandés macho (2 kg de peso, 6 meses de edad). Se extrajo RNA (Chomczynski y Sacchi, 1987) y se separó mRNA por cromatografía, a partir del cual se obtuvo cDNA por RT-PCR, y cuya amplificación se realizó por RACE-PCR. Se utilizó el método de secuenciación por dideoxinucleótidos para la secuenciación del cDNA. La secuencia de DNA se analizó con la aplicación MacDNASIS y se estableció su homología con GenBank® (NIH) usando el algoritmo BLAST®. **RESULTADOS:** La familia de SERCA aislada de músculo digástrico reveló una secuencia típica de nucleótidos de 2970-3003 bp y 990-1001 aminoácidos (100-110 kDa). El análisis de la secuencia aminoacídica y la estructura secundaria deducidas para la SERCA1a, SERCA2a y SERCA2b evidenció un 88%, 90% y 92% de identidad con las isoformas correspondientes descritas en músculo esquelético rápido, músculo esquelético lento y liso de conejo, respectivamente. No hallamos diferencias con respecto a las isoformas identificadas en músculos masticadores elevadores. **CONCLUSIÓN:** Las diferencias observadas en la actividad enzimática y capacidad de transporte de calcio de la SERCA del músculo digástrico obedecerían a la expresión combinada de las diferentes isoformas y no a la presencia de una isoforma característica de expresión exclusiva en músculos masticadores depresores. *Subsidio UBACyT 20020110100082.*

gabriel@odon.uba.ar

77

LIDOCAÍNA Y PROCAÍNA ALTERAN LA SECUENCIA PEPTÍDICA DE LA SERCA DE MÚSCULOS MASTICADORES.

Di Croce D, Trinks P, de la Cal C, Takara D, Sánchez G*.

Cátedra de Biofísica y Cátedra de Anatomía. Fac. de Odontología. UBA.

OBJETIVO: Los anestésicos locales inhiben la actividad enzimática y la captación de calcio de la SERCA en músculos masticadores. El objetivo del trabajo fue identificar los sitios de la secuencia aminoacídica de la SERCA involucrados en el efecto inhibitorio de lidocaína y procaína. **MÉTODO:** Se diseccionaron músculos maseteros y pterigoideos internos (n = 20) de conejo neozelandés macho (2 kg de peso, 6 meses de edad). Se extrajo RNA (Chomczynski y Sacchi, 1987) y se separó mRNA por cromatografía, a partir del cual se obtuvo cDNA por RT-PCR en presencia de lidocaína 20 mM y procaína 30 mM, y cuya amplificación se realizó por RACE-PCR. Se utilizó el método de secuenciación por dideoxinucleótidos para la secuenciación del cDNA y se realizaron controles sin anestésicos. La secuencia de DNA se analizó con la aplicación MacDNASIS y se estableció su homología con GenBank® (NIH) usando el algoritmo BLAST®. **RESULTADOS:** La familia de SERCA aislada (1a, 2a y 2b) reveló una secuencia típica de nucleótidos de 2970-3003 bp y 990-1001 aminoácidos (100-110 kDa). La presencia de lidocaína evidenció alteración de la secuencia a nivel de los sitios de unión de ATP (aa 698 a 700) y de fosforilación (aa 47 y 48), mientras que la procaína alteró la secuencia a nivel del sitio de unión de calcio (aa 518 a 520), el sitio de fosforilación (aa 53) y de unión de ATP (aa 695) para ambos músculos en estudio. **CONCLUSIÓN:** El efecto inhibitorio de lidocaína y procaína sobre la SERCA de músculos masetero y pterigoideo interno involucra la alteración directa de aminoácidos específicos de la secuencia aminoacídica, correspondientes a sitios funcionales de la enzima. *Subsidio UBACyT 20020110100082.*

gabriel@odon.uba.ar

78

Ca²⁺ Y ATP MODULAN EL EFECTO DE PRILOCAÍNA SOBRE LA α -ATPASA

Di Croce DE*, de la Cal C, Sánchez GA, Takara D.

Cátedra de Biofísica. FOUBA.

OBJETIVO El sistema más eficiente que posee la fibra muscular esquelética para mantener la [Ca²⁺] bajo condiciones fisiológicas es la Ca-ATPasa de retículo sarcoplásmico (RS). Este transporta 2 iones Ca²⁺ al lumen de la organela, a expensas de la energía libre de hidrólisis de un mol de ATP induciendo la relajación muscular. La inhibición de la proteína bomba de calcio podría ser responsable de efectos indeseados tales como la contracción sostenida o rigidez muscular. El propósito del trabajo fue estudiar la acción de prilocaína (P) sobre la actividad Ca-ATPásica y la modulación de dicho efecto por ATP y Ca²⁺. **MÉTODOS** Se obtuvieron vesículas selladas de membranas de RS de músculo esquelético rápido con capacidad de acumular Ca²⁺ (Champeil et al., 1985). La actividad ATPásica se determinó por la técnica colorimétrica (Baginski et al., 1967). Los valores de K_i se expresan como media±DS y se evaluaron mediante el test ANOVA (p < 0,05). **RESULTADOS** A medida que se incrementó la [ATP] menor es el efecto inhibitorio de P sobre la actividad ATPásica. Mientras que, la actividad enzimática disminuyó a medida que incrementó la [P] para una dada [ATP]. De estos resultados se obtuvieron los valores de K_i, ([P] necesaria para disminuir a la mitad la actividad máxima). El rango de K_i disminuyó desde 74,2±3,0 para 0,5 mM ATP hasta 22,1±2,2 para 4 mM ATP. Los valores de K_i en función de la [ATP] disminuyeron hasta aproximadamente 2,5-3,5 mM ATP sin observarse diferencias estadísticamente significativas. A diferencia de lo anteriormente descrito se observó que la actividad ATPásica aumentó con el incremento de la [Ca²⁺] hasta 10 μM para determinada [P]. Por otro lado, los valores de K_i en función de [Ca²⁺] aumentó desde 6,5±1,0 para 0,05 mM Ca²⁺ hasta llegar a un valor constante de 57,3±4,3 para 40 mM Ca²⁺. **CONCLUSIÓN** El ATP ejerce un efecto activador en presencia y en ausencia de P en el rango estudiado, mientras que, el Ca²⁺ sólo hasta 10 μM. La dependencia de K_i vs [Ca²⁺] y [ATP] respectivamente presentaron diferentes perfiles, sugiriendo que la P interacciona con el sitio de transporte.

danieldicroce19@hotmail.com

79

VALORACIÓN DE MOVIMIENTOS MANDIBULARES EN PACIENTES PEDIÁTRICOS

Estikle A*, Farah C., Biondi A., Cortese S.
Cátedra Odontología Integral Niños, FOUBA

Los movimientos mandibulares constituyen un indicador clínico en la evaluación de la articulación témporomandibular. Su limitación o aumento se consideran signos de disfunción. Los valores de referencia utilizados corresponden a población adulta, siendo escasa la información en población pediátrica. El **OBJETIVO** de este estudio fue establecer valores de referencia en niños de 10-15 años sin disfunción y compararlos con los hallados anteriormente en un grupo menor de 11 años con dentición mixta. **MÉTODO:** La muestra se conformó con 106 pacientes de 10 a 15 años de ambos sexos que concurren a la Cátedra Odontología Integral Niños y que fueron evaluados con el RCD/TMD por odontopediatras estandarizados (Kappa 0.88) no presentando signos y síntomas de disfunción. Se registraron los valores en milímetros de apertura máxima; lateralidad derecha e izquierda y protrusión. Se obtuvieron medias, Desvíos Standard e intervalos de confianza. Los datos obtenidos fueron analizados en función del género y comparados con los resultados obtenidos anteriormente en dentición mixta utilizando test de Student y Welch. **Resultados:** Edad media: 12.37±1.6; perteneciendo el 58.44% al género masculino Los valores en milímetros obtenidos fueron: apertura máxima 48.28±6.14; (IC 47.1-49.46); lateralidad derecha 8.78±2.50 (8.30-9.26); lateralidad izquierda 9.60±2.64; (9.09-10.11) y protrusión 4.94±2.58 (4.44-5.44). En la comparación de la apertura máxima en función del género los masculinos (edad 12,5±1,55) presentaron 48.38±6.47 y los femeninos (edad 12.2±1.66) 48.12±5.70 (p= 0.83). En dentición mixta la muestra de 107 niños, de edad media 6.9±1.65; presentó apertura máxima de 41.9 ± 5.27 (40.96-42.98), lateralidad derecha 6.05±1.99 (5,67-6,43); lateralidad izquierda 6.13±2.21 (5.75-6.51) y protrusión 3.96±1.92 (3.59-4.33). La comparación entre ambos grupos de todas las variables fue significativa (p=0.0001). **CONCLUSIONES:** Los movimientos mandibulares en pacientes pediátricos mostraron diferencias significativas en función del tipo de dentición y la edad, sin mostrar diferencias en relación al género. UBACyT 2013.2015 20720120200008BA

aestikle@yahoo.com

80

INTERVENCIONES TERAPÉUTICAS EN PIEZAS PERMANENTES CON Y SIN HIPOMINERALIZACIÓN MOLAR INCISIVA (HMI)

Moreno C*, Cortese S, Ortolani A, Biondi A
Cátedra Odontología Integral Niños. Facultad de Odontología UB

Algunos autores revelan que la frecuencia de intervenciones restauradoras y la necesidad de retratamiento en pacientes con HMI son significativamente mayores que en los grupos de pacientes que no presentan esta patología. El **OBJETIVO** de este trabajo fue comparar la necesidad, tipo de intervenciones terapéuticas y retratamientos en piezas permanentes con y sin HMI de pacientes que concurren en demanda de atención a la Cátedra Odontología Integral Niños. **MÉTODO:** Diseño: Retrospectivo. Seccional cruzado. Fueron registradas a partir de las historias clínicas, las intervenciones realizadas en primeros molares permanentes de pacientes con HMI que concurren durante el periodo 2009-2013 y comparadas con los registros de prestaciones en las mismas piezas dentarias de pacientes sin HMI del mismo sexo y edad. Se analizaron los resultados mediante Odds Ratio, porcentajes con sus respectivos IC (95%) y Test de Fisher (p<0.05). **RESULTADOS:** La muestra se conformó con 56 niños con HMI (G1) y un grupo control (G2) de la misma edad y sexo nacidos entre 1997 y 2002. (Edad media 13,6 DS 1,4). En ambos grupos se realizó Educación para la salud, Control de la infección bucal y sus condicionantes y refuerzo estructural del huésped. En G1 de los 224 molares se diagnosticaron clínicamente 157 afectados con HMI. No requirieron intervención el 45,98% (39,30-52,76) y el 79,46% (73,56-84,56) de los molares de G1 y G2 respectivamente. (p=0,000) OR 4,54. Recibieron selladores y remineralizantes el 11,60% (7,71-16,55) y 10,26% (6,61-15,02) (p=0,76); prácticas rehabilitadoras el 40,17% (33,68-46,3) y 10,26% (6,61-15,02) (p=0,000) y exodoncias, el 1,78% (0,48-4,51) y 0% (0-1,63) (p=0,13) para G1 y G2 respectivamente. El tiempo de control fue de 41,3 meses DS 16,6 en G1 y 49,1 DS 16,9 en G2. En G1 hubo un 12,06% (6,74-19,44) de necesidad de retratamientos y 6,42% (1,32-17,92) en G2 (p=0,45). **CONCLUSIONES:** Los pacientes bajo programa preventivo con HMI necesitan mayor intervención con prácticas rehabilitadoras más complejas. UBACyT 2013-2015: 20720120200007BA

candymoreno84@hotmail.com

81

CUANTIFICACIÓN DEL RIESGO DE CARIES EN GRUPOS DENTARIOS DE PIEZAS PERMANENTES

Tamuch Y*, López M, Traverso P, Pizatti MA, Oldani

Cátedra Clínica de Operatoria Dental, Facultad de Odontología, UNR.

OBJETIVO: Estimar el riesgo de la enfermedad de caries por grupos dentarios. **MÉTODO:** Estudio correlacional. Fueron evaluados 154 pacientes con dentición permanente atendidos en la Clínica de Operatoria Dental entre 01/08/2010 y 01/11/2011. En el examen oral se completó un odontograma. Para este estudio se excluyeron del análisis los 3° molares. Se examinaron 4281 piezas dentarias. En un grupo se incluyeron las piezas sin lesiones de caries y/o piezas restauradas y en otro las piezas con caries y/o piezas ausentes. Para estudiar la significancia de las frecuencias entre los grupos se estimó el Odds Ratio y su respectivo intervalo de confianza (OR, IC 95%); ($\alpha = 5\%$). **RESULTADOS:** El grupo en estudio incluyó 53 varones y 101 mujeres que promediaron los 34.1 años (Mediana: 30.5 años). Se observaron lesiones cariosas en el 96.1% de los pacientes (148/154), con significativas diferencias entre los grupos dentarios. Tomando como referencia la prevalencia de caries en las piezas antero-inferiores (186/2192= 8.5%) (piezas 43-42-41-31-32-33), las piezas antero-superiores (piezas 13-12-11-21-22-23) tuvieron 2.9 veces más riesgo de caries, OR= 2.9 (2.3 - 3.6), y en los premolares+molares (piezas 14-15-16-17-24-25-26-27-44-45-46-47-34-35-36-37) el riesgo aumentó más de 4 veces, OR= 4.3 (3.8 - 4.9). **CONCLUSIÓN:** La caries dental es una de las enfermedades más prevalentes en la población mundial; en nuestro Servicio, casi la totalidad de los pacientes (96.1%) presento evidencia clínica de caries. Los dientes antero-superiores y premolares+molares están, respectivamente, 3 y 4 veces más expuestos al riesgo de caries respecto de las piezas antero-inferiores.

yamitamuch@hotmail.com

82

IL-1 β y PGE2 SALIVALES COMO BIOMARCADORES DEL ESTADO PERIODONTAL ANTES Y DESPUÉS DEL TRATAMIENTO

Sánchez GA*, Miozza VA, Delgado A, Busch L.

Cátedras de Biofísica y Farmacología, FOUBA

OBJETIVO: La interleukina-1 β (IL-1 β) y la prostaglandina E2 (PGE2) son mediadores de la inflamación involucrados en la enfermedad periodontal. El objetivo del trabajo fue comparar la concentración salival de IL-1 β y de PGE2 en función del estado periodontal, y sus variaciones después del tratamiento periodontal, a fin de determinar el uso de las mismas como elementos de diagnóstico no invasivos. **MÉTODOS:** Participaron del estudio 74 sujetos adultos (27-61 años) agrupados según la profundidad de bolsa al sondaje (PPD) y el nivel de inserción clínica (CAL) en: sanos, pacientes con enfermedad periodontal moderada, severa y grave (Page & Eke, 2007). Los criterios de exclusión contemplaron: historia de tabaquismo, embarazo, enfermedades crónicas inflamatorias de la piel o mucosa bucal, uso de medicamentos y condiciones sistémicas con manifestación periodontal. Se determinaron las concentraciones salivales de IL-1 β y PGE2 en saliva total no estimulada haciendo uso del método de ELISA. Todos los participantes recibieron indicaciones de higiene bucal, y raspaje y alisado radicular solo aquellos con enfermedad periodontal. Los datos se sometieron a análisis categórico multivariado y a curvas ROC. **RESULTADOS:** La concentración salival de IL-1 β incrementó con la severidad de la enfermedad periodontal y evidenció influencia en la predicción del CAL ($\eta^2 = 0.35$, $p = 0.0001$). PGE2 evidenció incrementos en la enfermedad periodontal leve y moderada y reveló influencia en la predicción de la PPD ($\eta^2 = 0.12$, $p = 0.003$). Ambos mediadores de la inflamación disminuyeron luego del tratamiento periodontal. La IL-1 β salival, con un valor umbral de 212 pg/ ml, permite diagnosticar la enfermedad periodontal con un 78% de sensibilidad y un 100% de especificidad. La PGE2 salival, con un valor umbral de 121 pg/ ml, puede predecir la enfermedad periodontal con un 78% de sensibilidad y un 91% de especificidad. **CONCLUSIÓN:** La alta sensibilidad y especificidad de IL-1 β y PGE2 para la identificación de la enfermedad periodontal, sugieren su potencial uso como biomarcadores para el diagnóstico de la presencia y severidad de la misma. *Subsidio UBACyT 20020090200475.*

gabriel@odon.uba.ar

83

PREVALENCIA DE CARIES DENTAL EN ESCOLARES DE DOS POBLACIONES URBANORURALES

Sousa M*, Martínez D, Virgillito A, Amighini MC, Romero J, García MS, Pereyra L
Universidad Abierta Interamericana

OBJETIVO: Relevar el estado de salud bucodental de escolares pertenecientes a las poblaciones urbano-rurales de San Martín y Santo Pipo - Provincia de Misiones a efectos de diseñar e implementar estrategias de promoción, prevención y atención de salud bucal. **METODO:** Fueron incluidos en el estudio 100 niños de la escuela pública 241 de San Martín y 136 niños de la escuela pública 214 de Santo Pipo. Los diagnósticos fueron realizados en el marco de la propuesta pedagógica de Aprendizaje-Servicio bajo el paradigma de la Responsabilidad Social Universitaria por docentes calibrados, en el ámbito escolar destinado al programa de salud bucal con tecnología simplificada. Previo consentimiento informado de los padres y o tutores se realizó el examen dentario con instrumentos convencionales bajo luz natural con ayuda de frontoluz. Se utilizaron como indicadores los índices CPOD, CPOS, ceod, ceos (Klein, Palmer, Knutson, 1938). Los datos fueron registrados en la historia clínica odontológica. Para el análisis de los datos la muestra fue estratificada en grupos etarios de 1ro. y 7mo. grado. Se calculó la media aritmética y desvío estándar de los índices y sus componentes. **RESULTADOS:** En la escuela 241 el grupo de 1er grado (n=41) edad 6.33 ± 0.44 años presentó un índice ceod de 9.53 ± 3.66 , componente c de 8.7 ± 3.49 ; ceos de 21.21 ± 10.8 , componente cs 17.9 ± 9.77 . El grupo de 7mo. grado (n=59) edad 12.6 ± 0.86 años presentó un índice CPOD de 8.66 ± 3.52 , componente C 7.69 ± 3.47 ; CPOS 12.7 ± 5.59 , componente Cs 8.66 ± 3.52 . En la escuela 214 el grupo de 1er grado (n=56) edad 6.41 ± 0.57 años presentó un índice ceod de 4.86 ± 3.33 componente c de 4.07 ± 2.93 ; ceos 10.13 ± 9.15 , componente cs 7.09 ± 6.26 . El grupo de 7mo. grado (n=80) edad 12.77 ± 0.85 años presentó un índice CPOD de 4.30 ± 3.00 componente C 4.08 ± 2.98 ; CPOS 7.29 ± 6.56 , componente Cs 6.69 ± 6.30 . **CONCLUSIONES:** Las poblaciones estudiadas presentan alta prevalencia de caries dental. La situación observada sugiere falta de programas y de cobertura de atención de salud bucal. A partir del diagnóstico de situación se diseña un programa de promoción, prevención y atención de salud bucal.

valenteshirley@fibertel.com.ar

84

ANALISIS DEL ESTADO DE SALUD BUCAL EN PACIENTES BAJO ATENCION MÉDICA. INFORME PRELIMINAR

Alfonsín A^{1*}, Salgado P², Squassi A²
¹Hospital Italiano de Buenos Aires (HIBA) - ²Cátedra Odon Preventiva y Comunitaria, FOUBA

OBJETIVO Describir el estado bucal, necesidad de tratamiento odontológico e impacto del componente bucal de la salud bucal sobre la calidad de vida en pacientes bajo atención médica en el Hospital Italiano de Buenos Aires, y relacionar con variables vinculadas con la historia médica. **MÉTODO** Sobre una muestra intencionada por saturación de 60 pacientes bajo atención médica en el HIBA, entre 23 y 84 años ($x = 61$ años), 11 ambulatorios y 49 internados, derivados para consulta odontológica, se realizó un examen dentario y periodontal, y se obtuvo información médica a partir de registros hospitalarios. Fueron analizadas las siguientes variables: diagnóstico principal, secundarios y tiempo de evolución, medicaciones, servicio que demanda y motivo de interconsulta, presencia de biofilm e impacto del componente bucal de la salud sobre la calidad de vida (OHIP49) y fueron determinados los índices CPOD y CPOS y sus componentes discriminados, % de sitios con hemorragia al sondaje (%HS) y con placa visible (%PV) y de necesidad de tratamiento (INTC y INTPC). Fueron establecidas distribuciones de frecuencia, medidas de tendencia central y dispersión. Se realizaron estudios de correlación (Pearson) **RESULTADOS:** La mediana de CPOD= 20 y CPOS= 81. El 68,4% de la muestra presentó un INTC superior a 15 y el 58.4% presentó un INTPC superior a 3. La mediana de porcentaje de sitios con hemorragia al sondaje fue de 48% y con placa visible 51%. Se observaron correlaciones significativas ($p < 0.05$) entre el número de enfermedades y %HS ($r = 0.339$) y %PV ($r = 0.377$). No se observaron correlaciones entre el impacto del componente bucal de la salud sobre la calidad de vida y las variables referidas a la historia médica. Se observaron correlaciones significativas entre OHIP49 con CPOD ($r = 0.436$) y CPOS ($r = 0.407$), así como en sus componentes y dominios. **CONCLUSIONES** Los pacientes bajo atención médica en un hospital polivalente presentan elevados niveles de patología bucal y necesidad de tratamiento odontológico, con impacto sobre su calidad de vida.

amaliaalfonsin@gmail.com

85

GEOLocalIZACIÓN DE LESIONES ORALES EN LA CIUDAD DE CÓRDOBA

Nieto A*, Brunotto M, Lazos J, Talia N, Zarate AM
Facultad de Odontología. Universidad Nacional de Córdoba

La distribución espacial de las lesiones orales, principalmente las que presentan probabilidad de malignización, permite establecer estrategias de Salud Pública. **OBJETIVO** Determinar la distribución espacial de pacientes con lesiones orales y su relación con diferentes tipos de industrias, de la Ciudad de Córdoba Capital, Argentina. **METODO** Se realizó un estudio retrospectivo a partir de Historias Clínicas de pacientes (n=143) de ambos géneros, con edades entre 17 a 88 años, con residencia actual en la Ciudad de Córdoba, que fueron atendidos en el Consultorio Externo de la Cátedra de Clínica Estomatológica "A" de la Facultad de Odontología, UNC, durante los últimos 5 años. Las lesiones fueron clasificadas como desórdenes orales potencialmente malignos, carcinomas espinocelulares, lesiones inflamatorias y otras lesiones (según OMS ICD-10-K00-K14, 2010). Se geolocalizaron los pacientes y se elaboraron mapas de tipo planar con el programa ArcGis 10.1, Esri. Las capas geográficas utilizadas fueron: "manzanas.shp" e "industrias.shp" de la Ciudad de Córdoba (2012) brindadas por el Observatorio Urbano Córdoba, de la UNC. La asociación entre las industrias y la presencia de lesiones se realizó mediante método multivariado exploratorio de Análisis de Correspondencia. **RESULTADOS** Del total de pacientes, el 59% fue del género femenino y el tipo de lesión más prevalente fueron los desórdenes potencialmente malignos (41%). El análisis multivariado de correspondencia fue realizado con los dos primeros ejes (inerencia acumulada en primer eje 74,2% primer eje, en el segundo eje 25,8%). Se observó una asociación entre la presencia de lesiones no malignas e inflamatorias con zonas de industrias consideradas peligrosas (son las que fabrican, manipulan o almacenan productos susceptibles de originar riesgos graves a personas o bienes) en tanto que las zonas con industrias nocivas (son las que pueden ocasionar daños a la riqueza agrícola, forestal, pecuaria o piscícola) se relacionaron con la presencia de desórdenes potencialmente malignos. **CONCLUSIONES** los desórdenes potencialmente malignos constituyen un grupo de patologías complejas en las cuales el factor tiempo es relevante lo que podría estar asociado al efecto contaminante característico de las industrias nocivas.

alexnieto00@hotmail.com

86

ESTUDIO EPIDEMIOLÓGICO DE PIEZAS SUPERNUMERARIAS EN NIÑOS Y ADOLESCENTES

Bava E*, García M, Pantyrer M, Mendez Loayza L., Arrebola G, Pavan V
Cátedra Odontología Integral Niños FOUBA

Los dientes supernumerarios son piezas adicionales a la serie normal que pueden afectar ambas denticiones y ocasionar complicaciones en las piezas vecinas. **OBJETIVO:** Analizar las características de las piezas supernumerarias y las complicaciones clínico-eruptivas asociadas a piezas vecinas, en pacientes no sindrómicos. **MÉTODO:** Diseño observacional retrospectivo. Fueron evaluadas las historias clínicas de pacientes de ambos sexos con supernumerarios erupcionados o retenidos derivados para su atención a la Cátedra de Odontología Integral Niños de la FOUBA durante el período comprendido entre 1999-2013. Fueron incluidas las historias que tuvieran los registros completos y presentaran radiografías periapical, panorámica y/u oclusal. En planillas diseñadas para tal fin, 4 miembros del equipo de trabajo (Kappa 0.97 0.95-0.99) registraron: edad, sexo, cantidad, tipo, orientación, posición, erupcionado o retenido y relación del supernumerario con piezas vecinas. Los datos obtenidos fueron analizados a través de porcentaje, intervalos de confianza 95% y prueba de Chi cuadrado. **RESULTADOS:** La muestra quedó conformada por 159 pacientes, edad media 9.47 años \pm 2.47 (4-16) siendo 37,21% de sexo femenino (p=0,2). De los 232 supernumerarios registrados, el 83.62% (78.20-88.15) permanecieron retenidos (p 0,00). En relación a la cantidad de piezas por paciente el 64.78% presentó una sola, 28.30% dos, 4.40% tres, 1.88% cuatro y el 0.62% más de 5. Con respecto a la orientación: el 73.70 % (67.53 -79.26), el 18.96 % (14.12-24.62), y el 7.32 % (4.31-11.48) fue normal, invertida y transversal respectivamente. El 47.84% (41.24- 54.49) se ubicó horizontalmente sobre el Incisivo central y en sentido anteroposterior el 50.43% (43.79- 57.05) en palatino. Con respecto a la forma: 63,4% fueron conoides, 22% molariformes y 14,6% suplementarios. Se registraron diferencias significativas entre el tipo y: orientación, posición horizontal, posición anteroposterior y no erupción de la pieza permanente (p<0.05). El 56.46% (49.80-62.95) de los supernumerarios provocaron retención del permanente. **CONCLUSIONES** En este estudio los supernumerarios se presentaron en su mayoría retenidos ocasionando complicaciones en la erupción de las piezas permanentes.

eduardobava@hotmail.com

87

HABITOS DE AUTOCUIDADO BUCAL EN PACIENTES HOSPITALIZADOS

Alfonsín A^{1*}, Salgado P², Squassi A²

¹Hospital Italiano de Buenos Aires (HIBA) - ²Cátedra Odontología Preventiva y Comunitaria, FOUBA.

OBJETIVO Describir los hábitos de autocuidado bucal en pacientes internados en una institución hospitalaria polivalente. **MÉTODO:** Sobre una muestra intencionada por saturación, de 49 pacientes hospitalizados en el HIBA, entre 23 y 84, años (\bar{x} = 63 años), derivados para consulta odontológica, se realizó un cuestionario referido a los hábitos de higiene bucal y se obtuvo información de su historia médica a partir de registros hospitalarios. Fueron analizadas las variables diagnóstico principal, secundarios y tiempo de evolución, medicaciones, servicio de atención y motivo de interconsulta, método y frecuencia de higiene bucal previos y durante la internación, historia de atención odontológica y de exposición a fluoruros, historia de dieta y presencia de biofilm. Fueron establecidas distribuciones de frecuencia, medidas de tendencia central y dispersión. Se realizaron estudios de correlación de Pearson, test de proporciones para muestras independientes y test de chi cuadrado con prueba de Mc Nemar. **RESULTADOS:** El 95.9% de los pacientes realizaban control mecánico del biofilm previo a la internación, disminuyendo a 44.9% durante la hospitalización ($p < 0.01$). Se observaron diferencias significativas con la utilización de pastas dentales (95.9% a 18.4%, $p < 0.01$) y con la utilización de elementos interdentarios (14.3 a 0%, $p < 0.01$). No se observan diferencias significativas en la utilización de colutorios (22.4 y 14.3%). Un 47% de la muestra se cepillaba 3 o más veces por día previo a la internación y sólo un 10% mantenía la misma frecuencia a partir de su inicio ($p < 0.01$); mientras que los 4.1% de los pacientes no se cepillaban ninguna vez mientras se encontraban ambulatorios y un 36.7% no lo hacían durante la internación ($p < 0.01$). De acuerdo con el servicio de internación, se observaron diferencias ($p = 0.0172$) en la utilización de cepillo dental entre los internados en Cardiología (33.3%) y Terapia Intensiva respecto a Clínica Médica (76.9%). **CONCLUSION** Los pacientes hospitalizados en una institución polivalente disminuyen la frecuencia de utilización de medidas de autocuidado bucal a partir del inicio de su internación.

amaliaalfonsin@gmail.com

88

ANALISIS DEL CONOCIMIENTO DE LOS ESTUDIANTES DE UNA UNIVERSIDAD SOBRE EL FLÚOR

Pereira MR*, Oliveira LFG, Costa AJ, Paiva JPJ, Carvalho JG, Lima AA, Pereira LCG.
Centro Universitário de Anápolis, UniEVANGÉLICA– Brasil

OBJETIVO: Evaluar el nivel de conocimiento de los estudiantes de la UniEvangélica, de diversas áreas de conocimiento, sobre el flúor. **MÉTODO:** Se realizó un estudio descriptivo por medio de un cuestionario con 11 preguntas que fueron contestadas por 325 estudiantes, divididos en cantidades proporcionales de las grandes áreas, de las facultades de administración, agronomía, arquitectura, ciencias contables, derecho, educación física, pedagogía, enfermería, farmacia, fisioterapia, medicina, odontología e ingenierías mecánica, civil y de la computación. Fueron interrogados sobre la función, forma de acceso del flúor, alimentos, toxicidad, fluorosis, formas adicionales de obtención del flúor, importancia de la orientación de los niños y si piensan que debería haber diferencia en la concentración de flúor entre niños y adultos. Los datos fueron transformados en porcentajes y después sometidos al test de Kruskal Wallis y test de Dunn para comparaciones individuales con nivel de significancia de 5%. **RESULTADOS:** Los participantes tenían en media 21,8 años de edad, 49% del género femenino y 51% masculino, donde 58% de los participantes provenientes de colegios particulares. No hubo diferencias estadísticas entre las diferentes áreas (salud, humanas y exactas) y con relación al conocimiento sobre flúor ($p > 0,05$). Sin embargo cuando fue realizado el test de comparaciones individuales, se observó que la facultad de odontología apenas sobresalió en relación a las demás facultades, cuando se trató de conocimiento sobre el acceso al flúor, donde fue estadísticamente significativa la facultad de fisioterapia ($p < 0,05$), sobre fluorosis y formas adicionales del flúor. Estos dos últimos ítems, los estudiantes de la facultad de odontología fueron estadísticamente mejores ($p < 0,05$) en relación a varias facultades e idénticos en relación a la minoría ($p > 0,05$). **CONCLUSIONES:** Los Estudiantes de las facultades de la salud no poseen conocimiento diferenciado en relación a las facultades relativas al área de exactas y humanas. Los estudiantes de la facultad de odontología poseían mayor conocimiento, en relación a las demás facultades, apenas cuando se refirió a las preguntas referentes al acceso al flúor, fluorosis y formas adicionales de obtención del flúor.

luciausp@yahoo.com.br

89

INTERRELACIÓN ENTRE COMUNIDAD QOM BARRIO LOS PUMITAS (ROSARIO) Y SISTEMA DE SALUD/SALUD ODONTOLÓGICA

Azcona, MS*; Carames R

Facultad de Odontología UNR. Cátedras Odontología Social y Farmacología.

En el marco de un abordaje que contempla los procesos de interacción existentes entre la comunidad Qom estudiada y el sistema local de salud / salud odontológica, se consideran las políticas sanitarias en un contexto de pobreza urbana con características de movilidad condicionada. **OBJETIVO:** Analizar los patrones de contacto entre la comunidad y el sistema de salud/salud odontológica. **METODO:** Se trabajó con una muestra de 42 grupos domésticos Tobas Qom (251 integrantes) y personal de centros de salud de la zona (datos obtenidos mediante entrevistas semiestructuradas y observación directa). Los datos fueron analizados estadísticamente por frecuencias relativas. **RESULTADOS:** De acuerdo a los datos obtenidos, la población estudiada accede parcialmente al sistema de salud: 18% no concurre a los centros locales por incomprensión de la propuesta del servicio, 25% situaciones relativas a la organización del servicio (turnos, espera, etc.). Del 53% que accede, 70% no continúan tratamientos de mayor complejidad. De las consultas realizadas en los centros locales el 75% pertenecen al orden médico y el 25% odontológico. **CONCLUSIONES:** Si bien en estudios anteriores se observó cambios en la organización de la comunidad y en las propuestas sanitarias locales, persisten aun dificultades para una utilización plena del sistema sanitario.

kries@fibertel.com.ar

90

MEDICAMENTOS EN COMBINACIÓN A DOSIS FIJA UTILIZADOS POR ODONTÓLOGOS PARA PATOLOGÍAS BUCODENTALES

Karaben V*, Rea A, Ramírez L, Morales S.

Facultad de Odontología. Universidad Nacional del Nordeste

OBJETIVO: Analizar los medicamentos en combinación a dosis fijas utilizados por odontólogos para patologías bucodentales. **METODO:** Estudio de Utilización de Medicamentos de tipo prescripción/indicación donde se describen las indicaciones en las que se utiliza un determinado fármaco o grupo de fármacos. Se analizaron recetas que contenían prescripciones realizadas por odontólogos en un Instituto de Servicios Sociales de la ciudad de Corrientes, sin tomar contacto con el paciente. A partir de la misma se realizó el análisis cuantitativo de los medicamentos prescritos por medio de estadística descriptiva y el análisis cualitativo a través de parámetros de calidad como número de principios activos que contiene el medicamento y el "valor intrínseco terapéutico potencial" (VITP) del medicamento que se basa en pruebas científicas sobre eficacia. Para el análisis crítico se tomó como referencia al Formulario Terapéutico COMRA (Confederación Médica de la República Argentina) que consta de un listado de medicamentos con referencias terapéuticas y BNF (British National Formulary) que presentan medicamentos con eficacia y seguridad demostrada. **RESULTADOS:** De un total de 38.772 recetas, 702 fueron prescritas por odontólogos para patologías bucodentales. En cuanto a los medicamentos en combinación a dosis fija se registró 173 prescripciones con 20 tipos de combinaciones diferentes. La asociación más frecuente fue amoxicilina con ácido clavulánico (99), seguido de Piroxicam + carisoprodol + vitamina B6-12+ dexametasona (22), para diagnósticos como profilaxis quirúrgica (10) extracción (5), absceso periodontal e implantes (2), absceso periapical y flemón(1). De los cuales en relación al Valor Intrínseco Terapéutico Potencial fueron de Valor 1 (elevado) 105 (61%), correspondiente con amoxicilina más ácido clavulánico y de Valor 2, 3 y 4 (no elevado) con valor nulo, relativo e inaceptable se registraron 68 medicamentos (39%). **CONCLUSION:** Para el tratamiento farmacológico de patologías bucodentales se utiliza con frecuencia medicamentos en combinación a dosis fija, presentando mayor posibilidad de efectos adversos, sin aumentar la efectividad del tratamiento.

vivkaraben@hotmail.com

91

PLANTAS MEDICINALES DE LA REGIÓN DE ESTEROS DEL IBERÁ PARA PATOLOGÍAS BUCODENTALES

Karaben* V, Rea A, Zamudio M E.

Facultad de Odontología. Universidad Nacional del Nordeste

OBJETIVO: analizar la fitoterapia utilizada por los pobladores del Iberá para patologías buco-dentales.

METODO: Se trató de un estudio observacional y descriptivo, de tipo prescripción-indicación en el cual se describe el o los medicamento/s que se utilizan y las indicaciones a ellos asociados. Los datos fueron recolectados en los parajes Mboy Cuá, Colonia Montaña, Camba Trapo y Uguay. Se elaboró una encuesta breve semiestructurada. Previamente a la implementación del estudio se explicó el fundamento de la investigación a cada individuo solicitando su autorización, estableciéndose un acuerdo de cooperación verbal. Las variables estudiadas fueron: Nombre vulgar y científico de la planta, preparación, parte de la planta utilizada, enfermedades para las cuales se utiliza, dosis, administración, respuesta a la terapia, características de la comunidad y sistema médico. **RESULTADOS:** Se encuestaron 25 personas, las plantas más citadas fueron: Curupí (*Sapium haemospermum*) parte utilizada: hoja; indicación: dolor; preparación/administración: aplicación tópica de la leche proveniente del desprendimiento de la hoja. Molle (*Schinus molle*) parte utilizada: raíz; indicación: dolor; preparación/administración: enjuagatorio que surge de hervir la raíz en agua. Azota caballo (*Luehea divaricata*) parte utilizada: corteza/hoja; indicación: dolor/infección; preparación/administración: infusión con las hojas. Además refirieron problemas de accesibilidad a los medicamentos de síntesis debido a las distancias entre los parajes y el pueblo donde se ubica el Hospital. **CONCLUSION:** de los datos parciales obtenidos, se evidencia que los pobladores autóctonos del Iberá utilizan con frecuencia plantas medicinales, posiblemente debido a los problemas de accesibilidad a los medicamentos y al fácil acceso a las especies vegetales con acción terapéutica.

vivkaraben@hotmail.com

92

NECESIDAD DE TRATAMIENTO ORTODÓNICO EN ESCOLARES RESIDENTES EN UNA COMUNIDAD RURAL

Marchi R*, Diaz C, Masoli C, Capuano C.

Cátedra de Odontología Preventiva y Comunitaria - FOUBA

Los problemas de maloclusión se asocian con discriminación por apariencia, problemas oclusales, trastornos temporomandibulares, problemas en la deglución, problemas en la fonación, dificultad para la higiene bucal y mayor predisposición a los problemas periodontales y caries. **OBJETIVO** Evaluar la prevalencia y la necesidad de tratamiento ortodónico en escolares entre 12 y 13 años de edad residentes en una comunidad rural. **MÉTODO:** Fueron analizados 56 escolares, 29 género femenino y 27 género masculino, que asisten a la Escuela Primaria N°426 y Bachillerato N°29 de la localidad de Tarumá (Pcia. Misiones), que se encuentran bajo un programa intensivo de atención odontológica con fuerte componente preventivo llevado a cabo durante el ciclo primario. Se realizó, previo consentimiento informado de los padres, una historia médico-odontológica y se evaluó la necesidad de tratamiento ortodónico y su complejidad mediante el índice ICON (Daniels, 2000). Se empleó el método visual, con reglas flexibles milimetradas y material descartable. El ICON evalúa cinco componentes: 1) estético, 2) apiñamiento y espaciamiento 3) mordida cruzada 4) mordida abierta o profunda 5) segmentos bucales antero-posteriores. El procesamiento estadístico incluyó distribución de frecuencia, estandarización de los componentes (Z) y ANOVA para cada componente del índice. **RESULTADOS:** El 17,9% de los escolares tiene necesidad de tratamiento ortodónico (22,2% género masculino y 13,8% femenino). Los componentes que más incidieron en la necesidad de tratamiento fueron el estético, el apiñamiento/espaciamiento y la sobremordida ($p < 0,05$). El 41,1% presentó una complejidad leve y el 50% de la muestra presentó una complejidad media. **CONCLUSIÓN** Los escolares residentes en comunidades rurales que fueron incluidos en programas de atención odontológica con fuerte componente preventivo presentan baja necesidad de tratamiento ortodónico. Es necesario realizar estudios posteriores para establecer la asociación entre estos hallazgos y factores vinculados con el sistema de atención.

romina_marchi@hotmail.com

93

PREVALENCIA Y SEVERIDAD DE CARIES EN ESCOLARES DE COMUNIDADES RURALES (PCIA. CHACO)

De Santis M*, Willems C, Ferrarini S, Fernandez C, De Cesare A, Masson Moline G, Squassi A, Capuano C.
Cátedra de Odontología Preventiva y Comunitaria. Facultad de Odontología.UBA

OBJETIVO: Determinar la prevalencia y severidad de caries dental en niños de 1 a 12 años de edad residentes en una comunidad rural mediante la utilización de criterios ICDAS II luego de un año de implementación de un programa. **MÉTODO:** Sobre una población de 92 niños, de 1 a 15 años pertenecientes a una comunidad con vulnerabilidad social y concurrentes a escuelas rurales de la localidad de Tres Isletas (Pcia. Del Chaco), quienes no fueron incluidos previamente en programas de atención clínica con fuerte componente preventivo y previo consentimiento informado de los tutores legales, se ejecutó un estudio descriptivo transversal. Se realizó un examen clínico visual-táctil, en las instalaciones de los establecimientos educativos, con frontoluz, sondas OMS, magnificación (3.5x) y secado de superficies con aire, a cargo de 7 investigadores calibrados (Kappa interexaminador: 0,77 – 0,73). A efectos de evaluar la presencia de lesiones de caries, la presencia de biofilm y de grado de inflamación gingival fueron utilizados los siguientes indicadores: ICDAS II (Pitts, 2005), índice de placa de Silness y Løe (IP). El procesamiento estadístico incluyó la determinación de medidas de tendencia central y dispersión y distribución de frecuencias para las diferentes variables. **RESULTADOS:** Fueron evaluadas 10.469 superficies dentarias. El 7,61% de los niños se encontraban libres de caries. Entre los niños con caries (n=85), (8304) 86,4 % de las superficies se encontraron sanas y 13,6 % (1310 superficies) presentaron lesiones, 1184 con lesiones activas (90,3%) y 127 con lesiones inactivas (9,7%). Las superficies con lesiones de caries presentaron la siguiente distribución: código 1/2: 24,5% (321 superficies); código 3 : 18% (89.4% activas); código 4: 5,6% (100% activas); código 5: 20,7% (91,1% activas); y código 6: 31.2% (92,7% activas). Las superficies con lesiones categorizadas con códigos 3 a 6 fueron 989. El IP fue 1.19+/-0.39. **CONCLUSION:** Los niños residentes en comunidades rurales con vulnerabilidad social presentan alta prevalencia de caries dental. La utilización de criterios ICDAS II permite reflejar la elevada severidad de las lesiones.

miguedesantis@hotmail.com

94

DETERMINANTES DE SALUD Y RIESGO CARIOGÉNICO EN PROCESO ERUPTIVO DE DENTICIÓN PERMANENTE

Ochonga G*, Tolcachir B, Rubio S, Tortolini P, Castillo G, Scatena G, Lehner E, Miranda S, Barembaum S, Martinez MC.

Cátedras de Integral Niños y Adolescentes, "B" de Introducción a la Física y Química Biológicas, Química Biológica y "B" de Periodoncia. FOUNC.

La etapa prefuncional del proceso eruptivo de dientes permanentes, presenta condicionantes que podrían favorecer el riesgo de caries: mayor retentividad del biofilm, inmadurez del esmalte, ausencia de autoclisis y dificultades de higiene. **OBJETIVO:** Analizar las condiciones clínicas, microbiológicas y sialoquímicas presentes en la etapa pre-funcional del proceso eruptivo en niños de alto y bajo riesgo cariogénico. **MÉTODO:** Se estudiaron niños de ambos sexos entre 5 y 8 años con elementos dentarios permanentes en fase eruptiva prefuncional (PE) y como control se utilizaron elementos dentarios permanentes en fase eruptiva funcional (E). Los niños fueron clasificados en bajo (BR) y alto riesgo (AR) cariogénico. Se recolectó placa bacteriana de saliva sin estimular y de superficies libres (SL) y oclusales (SO) de dientes parcialmente erupcionados (PE) y erupcionados (E). Se realizó el recuento de colonias (UFC/ml) de *S. mutans* (SM), *Lactobacillus spp* (L) y *Candida spp* (C) de SO, SL y saliva. Se determinó flujo salival, pH y capacidad amortiguadora de saliva estimulada. Se realizó análisis descriptivo estadístico de proporciones, comparación de grupos por test t para muestras independientes y análisis multivariado de correspondencia (paquete estadístico SPSS) considerando $p < 0,05$ para significación estadística. **RESULTADOS:** No se encontraron diferencias significativas en el flujo salival, pH, ni capacidad buffer entre AR y BR. Los valores de UFC/ml de SM difieren significativamente entre saliva y SO o SL, mientras que UFC/ml de L y C difieren significativamente entre las tres zonas estudiadas. Al contrastar las UFC/ml de SM entre los grupos de AR y BR, las diferencias resultaron estadísticamente muy significativas en todas las zonas ($p < 0.01$). Al comparar las UFC/ml de SM, L y C entre los elementos PE y E, no se encontraron diferencias significativas. Al comparar entre elementos PE y E considerando el factor riesgo (BR y AR) y la zona (SO y SL), solo se encontraron diferencias significativas en las UFC/ml de SM en el grupo de BR en la zona oclusal. **CONCLUSIÓN:** Durante el proceso eruptivo se favorece el desarrollo de un biofilm cariogénico principalmente en la cara oclusal.

graciela.ocho@gmail.com

95

ASPECTO CLÍNICO DE HIPOMINERALIZACIÓN Y REDUCCIÓN MINERAL REGISTRADA CON LÁSER FLUORESCENTE

Fridman, D*, Cortese SG, Biondi AM
Cát. Odontología Integral Niños FOUBA

El diagnóstico de las lesiones de Hipomineralización Molar Incisiva (HMI) es realizado a partir de su aspecto clínico aunque los criterios están aún poco definidos. **OBJETIVO:** Evaluar la relación entre el aspecto clínico del esmalte clínicamente intacto, con lesión leve y moderada sin pérdida de sustancia y la densidad mineral (DM) registrada con láser de fluorescencia en pacientes con HMI y sin HMI. **MÉTODO:** Fueron evaluados 36 niños entre 6 y 17 años que demandaron atención odontológica en la Cátedra de Odontología Integral Niños de la Facultad de Odontología de la Universidad de Buenos Aires en el período comprendido entre mayo y junio de 2013. Se conformaron 2 grupos según el aspecto clínico del esmalte: A (Pacientes sin HMI: 24 piezas) y B: (Pacientes con HMI: 34 piezas). Todas las piezas fueron evaluadas utilizando DIAGNOdent (KaVo, Biberach, Germany) por un solo operador calibrado en el uso del dispositivo. Después del secado del esmalte con jeringa triple durante aproximadamente 8" se cuantificó la DM en caras vestibulares de esmalte clínicamente intacto en piezas sin y con HMI y con lesión de color blanco-crema (leve) y amarillo-marrón (moderada) de cada una de las piezas afectadas. Los valores hallados fueron registrados en planillas diseñadas para tal fin obteniéndose medias, Desvíos Standard e IC (95%) para cada categoría. Se compararon la DM del esmalte clínicamente intacto entre A y B a través de la Prueba t de Student y en B se analizó la relación de la DM en función del aspecto clínico con ANOVA. **RESULTADOS:** El esmalte clínicamente intacto presentó en A un valor de DM de 1.31 ± 0.43 (IC: 1.14-1.47) y en B: 1.53 ± 0.50 (1.35-1.71) $p = 0.04$. En B, la lesión leve presentó un valor medio de DM de 19.68 ± 6.49 (IC: 17.41-21.94) y el de lesión moderada un valor medio de 52.99 ± 13.85 (IC: 48.15-57.82) $p=0.000$. **CONCLUSIONES:** Estos resultados sugerirían una reducción en la DM en esmalte clínicamente intacto en piezas con HMI y una relación entre la detección visual y la reducción de la densidad mineral registrada con láser de fluorescencia. Serán necesarios más estudios con un mayor tamaño de muestra.

diana@odontolaser.com.ar

96

FRECUENCIA DE TRASTORNOS TEMPOROMANDIBULARES (TTM) EN NIÑOS DE 10 A 15 AÑOS

Guitelman I*, Fridman D, Biondi A, Cortese S
Cátedra de Odontología Integral Niños. Facultad de Odontología. UBA

OBJETIVO: Estimar la frecuencia y tipo de trastorno temporomandibular en niños y relacionarlos con valores de apertura bucal, sexo y edad. **MÉTODO:** La muestra se conformó con 170 pacientes de 10 a 15 años de ambos sexos que concurrieron a la Cátedra de Odontología Integral Niños (OIN) y fueron evaluados con el RCD/TMD eje I por odontopediatras estandarizados (Kappa 0.88). Los registros del cuestionario y el examen clínico fueron cargados en una base de datos para su tratamiento estadístico. En función al resultado del resumen diagnóstico del RCD/TMD se conformaron 3 grupos: sin TTM (GI), con dolor miofacial (IA) y con limitación de la apertura bucal (IB). Las variables analizadas fueron: sexo, edad, valores de sobremordida, apertura bucal espontánea, máxima y máxima forzada. Se utilizaron porcentajes con intervalo de confianza (95%), medias, desvío standard, y análisis de varianza por Anova. **RESULTADOS:** La muestra quedó constituida por 170 pacientes, edad media de 12,5 DS 1,76. La frecuencia de TTM fue de 37,64% (IC 30,32-45,40), correspondiendo el 34,11% (IC 27,01-41,78) a IA y 3,52% (IC 1,29-7,53) a IB. El grupo IB presentó diferencias significativas con IA y GI, en relación a la apertura espontánea ($p=0,000$), apertura máxima ($p=0,02$) y apertura máxima asistida ($p=0,0001$). Los TTM fueron más frecuentes en las niñas (GI 41,56%, IA 67,24%, IB 66,66%), siendo significativa la diferencia entre GI y IA ($p=0,0018$). En relación a la edad no hubo diferencia significativa entre los grupos ($p= 0,07$). **CONCLUSIONES** En esta muestra de pacientes pediátricos se encontró un 37,64% de frecuencia de TTM, en su mayoría con dolor miofacial en el sexo femenino.

ingridpei@intramed.net

97

ESTIMACIÓN DE VALORES DE NORMALIDAD DE SATURACIÓN DE OXÍGENO EN PIEZAS PRIMARIAS. ESTUDIO PRELIMINAR

Martín, A.L*; García, S. M; Rossi, G. N.

Cátedra Odontología Integral Niños. FOUBA

Las pruebas de vitalidad son esenciales para el diagnóstico pulpar, sin embargo son poco confiables en piezas primarias. La oximetría de pulso es un método no invasivo basado en la determinación del porcentaje de saturación de oxígeno a nivel de tejido sanguíneo pulpar. **OBJETIVO** Estimar los valores de normalidad de saturación de oxígeno en piezas primarias sanas, utilizando la oximetría de pulso. **METODO** Se utilizó un oxímetro de pulso *Nonim 9600R* con sensor neonatal adaptado para uso intrabucal y a la superficie dentaria de los incisivos superiores primarios. Fueron evaluados 75 incisivos centrales superiores (ICS) y 80 incisivos laterales superiores (ILS) primarios, pertenecientes a 80 pacientes entre 3 y 6 años que concurren por demanda de atención a la Cátedra de Odontología Integral Niños de FOUBA cuyos tutores legales aceptaron participar de este estudio. Fueron incluidas piezas sin evidencia clínica y/o radiográfica de signos y/o síntomas de patología pulpar y/o periapical. Las mediciones fueron tomadas en primer lugar en el dedo índice de los pacientes y luego en sus piezas primarias. En planillas diseñadas para tal fin, se registraron; edad, sexo, valor de saturación en dedo índice, valor de saturación de oxígeno en el diente primario. El procesamiento estadístico fue realizado por media y desvío estándar, rangos e intervalo de confianza, coeficiente de correlación Pearson y pruebas t pareadas. **RESULTADOS:** Los valores medios de saturación de oxígeno en el dedo índice de los pacientes fueron del $96,4 \pm 1,68$ % (IC 96,07-96,85) en el ICS $92 \pm 0,34$ % (IC 91,31-92,68) y en el ILS $92,18 \pm 0,43$ % (IC 91,31-93,05). Se encontraron diferencias estadísticamente significativas entre los niveles de oxígeno del dedo índice y las piezas primarias ($p < 0,001$). No se encontró correlación entre el valor de saturación de oxígeno del dedo y las piezas dentarias primarias del paciente ($p > 0,05$). **Conclusión** En este estudio, los valores de saturación de oxígeno en piezas primarias sanas, utilizando la oximetría de pulso presentaron valores superiores a 90, pudiendo tomarse como referencia para futuros trabajos que evalúen la vitalidad pulpar en los dientes traumatizados.

alemartin@intramed.net

98

CARIES EN ESCOLARES PERTENECIENTES A COMUNIDADES RURALES DE LA PROVINCIA DE MISIONES

Masson Moliné G*, De Cesare A, Ferrarini S, Ventura F, Passarini L, Fernández C, Sorazabal A, Rossi G, Squassi A, Capuano C

Cátedra de Odontología Preventiva y Comunitaria. Facultad de Odontología. UBA

OBJETIVO: Determinar la prevalencia y severidad de caries dental en niños de 5 a 7 años de edad residentes en una comunidad rural mediante la utilización de criterios ICDAS II. **MÉTODO:** Sobre una población de 153 niños, de 5 a 7 años pertenecientes a una comunidad con vulnerabilidad social y concurrentes a escuelas rurales N°773 y N°906 de la localidad de Montecarlo (Pcia. de Misiones), quienes no fueron incluidos previamente en programas de atención clínica con fuerte componente preventivo y previo consentimiento informado de los tutores legales, se ejecutó un estudio descriptivo transversal. Se realizó un examen clínico visual-táctil, en las instalaciones de los establecimientos educativos, con frontoluz, sondas OMS, magnificación (3.5x) y secado de superficies con aire, a cargo de 7 investigadores calibrados (Kappa interexaminador 0,77 – 0,73). A efectos de evaluar la presencia de lesiones de caries, la presencia de biofilm y de grado de inflamación gingival fueron utilizados los siguientes indicadores: ICDAS II (Pitts, 2005), índice de placa de Silness y Løe (IP) e índice gingival de Løe y Silness (IG). El procesamiento estadístico incluyó la determinación de medidas de tendencia central y dispersión y distribución de frecuencias para las diferentes variables. **RESULTADOS:** Fueron evaluadas 36.563 superficies dentarias. El 3,9% de los niños se encontraban libres de caries. Entre los niños con caries (n=147), 31,7% de las superficies se encontraron sanas (10999) y 68,3% (3086 superficies) presentaron lesiones, 2918 con lesiones activas (94,5%) y 168 con lesiones inactivas (5,5%). Las superficies con lesiones de caries presentaron la siguiente distribución: código 1/2: 15.2% (469 superficies, 90.2% activas); código 3 : 14.4% (89.4% activas); código 4: 14% (100% activas); código 5: 25% (95.9% activas); y código 6: 31.4% (95,5% activas). Las superficies con lesiones categorizadas con códigos 3 a 6 fueron 2617. El IP fue 1.69 ± 0.26 y el IG 0.91 ± 0.68 . **CONCLUSION:** Los niños residentes en comunidades rurales con vulnerabilidad social presentan alta prevalencia y severidad de caries, reflejada por la utilización de criterios ICDAS.

quada.masson@gmail.com

99

NECESIDAD DE TRATAMIENTO PERIODONTAL EN ADOLESCENTES RESIDENTES EN UNA COMUNIDAD RURAL

Masoli C*, Torres M, Tilke G, Capuano C

Cátedra de Odontología Preventiva y Comunitaria – FOUBA

OBJETIVO: Determinar la necesidad de tratamiento periodontal en adolescentes residentes en una comunidad rural. **MÉTODO:** La población estuvo constituida por adolescentes, entre 12 y 19 años, residentes en una comunidad rural de la Provincia de Misiones. Sobre una muestra intencionada de 72 estudiantes (39 género femenino y 33 género masculino) concurrentes al Bachillerato N° 29 de la localidad de Tarumá, Pcia. de Misiones (edad X:14,94 ± 1,69) se realizó, previo consentimiento informado de los padres, una historia médico-odontológica y una evaluación del estado periodontal a cargo de un investigador. Fueron registradas las siguientes variables: presencia de biofilm, presencia de cálculo, profundidad al sondaje, presencia de sangrado e índice gingival de Löe y Silness (IG). A los efectos de determinar la necesidad de tratamiento periodontal se utilizó el Índice de Necesidades de Tratamiento Periodontal Comunitario (CPITN), a partir de las variables observadas en las piezas 16, 11, 26, 31, 36 y 46 (Ainamo, 1984). Código 0: tejidos periodontales sanos, Código 1: sangrado observado hasta 30 segundos después del sondaje, Código 2: presencia de cálculo y/o obturaciones defectuosas, Código 3: bolsa patológica de 3,5 a 5,5 mm, y Código 4: bolsa patológica de 5,5 mm o más. El procesamiento estadístico incluyó distribución de frecuencias, prueba de chi cuadrado y ANOVA. **RESULTADOS:** el Código 0 se observó en el 9,7%; el 44,4% de la muestra registro el Código 1; el Código 2 se observó en el 33,3%; y el Código 3 en el 12,5%. Cuando se evaluó la prevalencia por sextante se observó que el sextante 2 era el menos afectado presentando el 83,3% de Código 0; y el sextante más afectado por el Código 2 fue el 6 (p<0.05). Se observó asociación significativa entre el IG y el CPITN (p<0,05) Al analizar el género se observaron diferencias significativas en el Código 0 siendo mayor la prevalencia en el sexo femenino y en el Código 2, obteniendo un valor más elevado en el sexo masculino (p<0.05). **CONCLUSIÓN:** Existe elevados niveles de necesidad de tratamiento periodontal en la población adolescente residente en área rural, especialmente asociado con patología gingival. Es necesario reforzar el componente educativo en los programas de intervención intensivos.

cmasoli@hotmail.com

100

NECESIDAD DE TRATAMIENTO DE CARIES DE ESCOLARES RESIDENTES EN UN ÁREA URBANO MARGINAL

Salvioni E*, Toral M, Gutierrez N, Oliva C, Salgado P, Klemonsks G, Squassi, A.

Cátedra de Odontología Preventiva y Comunitaria - FOUBA

OBJETIVO: Asociar la necesidad de tratamiento de caries de niños de 1er grado de un municipio del conurbano bonaerense con variables sociodemográficas. **METODO:** Se realizó un estudio descriptivo en el que participaron 246 escolares (edad x=6,4± 1,2 años) concurrentes a 5 escuelas públicas del Municipio de Tigre, previo consentimiento informado de los tutores legales. Tres investigadores entrenados determinaron la necesidad de tratamiento de caries utilizando el Índice de Necesidad de Tratamiento de Caries (INTCC) (Bordoni, 1999). A los efectos de realizar la caracterización sociodemográfica, se administró un cuestionario a los padres y/o tutores que incluía los siguientes indicadores: estructura familiar de convivencia, actividad laboral, nivel educativo y condición de migrante de los padres, acceso a los servicios públicos, cobertura de salud general y odontológica. El procesamiento estadístico incluyó la determinación de distribución de frecuencias de las variables analizadas. Se estableció asociaciones entre INTCC y variables sociodemográficas utilizando la prueba de chi cuadrado. El nivel de significación fue p<0.05. **RESULTADOS:** Sobre el total de la muestra el 35,8 % presento un INTCC en un rango de 3 a 6, y un 24,8 % en un rango de 0 a 2. Se encontraron diferencias estadísticamente significativas (p= 0,02) entre las escuelas observadas. Se observó que, entre los escolares que contaban con cobertura de salud, la proporción de individuos con necesidad de tratamiento bajo (<2) fue 36%; mientras que entre aquellos que poseían al sector público como única cobertura de salud, la proporción de individuos con necesidad de tratamiento <2 fue 18,8%. **CONCLUSIÓN:** Entre las variables analizadas, la cobertura de salud general se encuentra asociada con la necesidad de tratamiento de caries de los escolares.

etelarg@hotmail.com

101

HIPOMINERALIZACIÓN MOLAR INCISIVA: ASOCIACIÓN ENTRE ASPECTO CLÍNICO Y NECESIDAD DE TRATAMIENTO.

Zacharczuk G*, Toscano M, Cortese S, Ortolani A, Biondi AM.
Cátedra de Odontología Integral Niños. FOUBA.

OBJETIVO: Estimar la asociación entre el aspecto clínico y la necesidad y tipo de tratamiento en los primeros molares permanentes de pacientes con Hipomineralización Molar Incisiva (HMI). **MÉTODO:** Se empleó un diseño retrospectivo y observacional. Fueron evaluadas las historias clínicas de 71 niños con HMI que concurren para su atención a la Cátedra de Odontología Integral Niños de la Facultad de Odontología de la Universidad de Buenos Aires durante el período 2012-2013. Se registraron en planillas destinadas para tal fin edad y sexo de los pacientes y presencia y grado de severidad de defectos en el esmalte en los 284 primeros molares permanentes y los tratamientos realizados. Según el aspecto clínico del esmalte los molares fueron categorizados como: G0 sin lesión, G1 lesión leve, G2 moderada y G3 severa; y las intervenciones terapéuticas como: T1: intervención preventiva, T2: restauraciones plásticas, T3: restauraciones rígidas y T4: exodoncias. Para el análisis estadístico de los datos se utilizaron medias y desvíos estándar, se estableció la distribución de porcentajes en relación al total de casos con sus respectivos Intervalos de confianza (95%) y se realizó como prueba de significación Chi cuadrado. **RESULTADOS:** La edad media de la muestra fue $12,7 \pm 2,4$ años correspondiendo el 57,7% (45,4-69,4) al sexo femenino. Según el aspecto clínico el 33,5%(27,9-39,3), 32,0%(26,6-37,8), 19,0%(14,6-24,0) y 15,5%(11,4-20,2) de los molares evaluados fueron categorizados como G0, G1, G2 y G3 respectivamente. Los tratamientos requeridos en cada grupo expresados en porcentajes fueron: En G0: T1=90,5, T2= 5,3, T3=4,2, T4=0; en G1: T1=73,6, T2=23,1, T3=3,3, T4=0; en G2: T1=57,4, T2=37,0, T3=5,6, T4=0 y en G3: T1=22,7, T2=31,8, T3=38,6, T4=6,8. El análisis estadístico reveló asociación positiva entre tratamientos y severidad. ($p < 0,001$). **CONCLUSIÓN:** Los resultados de este estudio revelan que la severidad diagnosticada a partir del aspecto clínico de las lesiones se asocia con un mayor número de intervenciones y con prácticas más invasivas. UBACyT 2013-2015: 120200007BA.

gisellezachar@yahoo.com.ar

102

PREVALENCIA DE PIERCING Y OTRAS CONDUCTAS DE RIESGO EN ESTUDIANTES UNIVERSITARIOS

Sebelli P*, Ferrari L.

Cátedra de Odontología Integral Niños. Facultad de Odontología. UBA

El uso de piercing está muy difundido en adolescentes. Trabajos anteriores en estudiantes escolarizados revelaron complicaciones por su uso relacionándolo con otras conductas de riesgo. **OBJETIVOS** Estimar la prevalencia del uso y localización de las perforaciones en estudiantes de la Facultad de Odontología de la Universidad de Buenos Aires y comparar los valores obtenidos entre los estudiantes que inician la carrera y los que cursan el último año. Relacionar su uso con otras conductas de riesgo. **MÉTODO:** Se utilizaron como instrumento de recolección de datos 247 encuestas anónimas voluntarias entregadas a los estudiantes que iniciaban la carrera presentes en el curso introductorio básico (CIB) y los que cursaban en tres comisiones de la asignatura Odontología Integral Niños (6to año) durante el periodo lectivo 2012. Posteriormente se brindó información preventiva. En planillas diseñadas para este fin se registraron: edad, sexo, uso y localización de piercing y las variables: consumo de: alcohol, tabaco y drogas consideradas como conductas de riesgo. Se formaron dos grupos: G1 (CIB) y G2 (6to año). Cada uno de ellos fue dividido en 2 subgrupos según portaran o no piercing G1P, G1NP, G2P y G2NP. Para el análisis de los datos se utilizaron medias, desvíos estándar, porcentajes, OR y Test Exacto de Fisher. **RESULTADOS:** La edad media de la muestra fue 23 ± 4 años siendo el 84,62% de sexo femenino. La prevalencia del uso de piercing fue del 35% siendo el 38% bucal. La prevalencia en G1 (n=153) fue del 40,5% y en G2 (n=94) del 25,5% (P 0,01). Un 53% y un 43% revelaron consumo de alcohol (OR=3.2) (p 0,004); un 8% y 20%, consumo de tabaco (OR= 8.58) (p 0,003); un 7% y 5% consumo de droga (OR=7.557) (p 0.0075). para G1 y G2 respectivamente. **CONCLUSIÓN:** En esta población la prevalencia del uso de piercing es alta. Los estudiantes de primer año de la carrera revelaron mayores porcentajes de conductas de riesgo.

patriciasebelli@yahoo.com

103

ESTUDIO COMPARATIVO DE RECIENTOS DE *mutans* EN NIÑOS TRATADOS CON FLUORUROS O CLORHEXIDINA

Zimmermann E*, Cachia A, Díaz A, Maino A, Spoleti MJ§, Pisterna G, Spoleti P.
Cát. Odontología Social III Facultad de Odontología - U.N.R.- § BacteriologíaHNZN

La biopelícula odontopática está integrada entre otros por *Streptococcus mutans* (Sm), estos también están en el plancton salival siendo posible la evaluación de su presencia como factor de riesgo de caries. En estudios previos se ha demostrado la eficacia antibacteriana tanto de los fluoruros como de la clorhexidina en evaluaciones de Programa Preventivo Comunitario (PPC). Es eficaz. **OBJETIVOS** Comparar el efecto de clorhexidina en sendos programas preventivos durante 2 años. **METODO:** Se seleccionaron 53 niños de Argentina, asignándolos aleatoriamente a dos programas se tomaron muestras de salival estimulada total realizándose cultivos bacteriológicos, con técnica estándar previo (basal) y posterior al tratamiento semanal con cuatro aplicaciones de gel fluorado 1,23 %, o gel de clorhexidina 1% respectivamente. Se identificaron Sm por su morfología, confirmando aleatoriamente por pruebas bioquímicas, y cuantificaron las unidades formadoras de colonias (ufc). El procedimiento completo con muestras salivales y aplicaciones a los mismos niños se realizó al incorporarse los niños al programa y se repitió dos años consecutivos. Se comparó la cantidad de ufc obtenida en cada intervención utilizando una prueba no paramétrica basada en rangos del programa R versión 2.14.2. **RESULTADOS** Para el tratamiento "F" las medianas basal/final fueron: 2010: 12.000/3.600; 2011: 18.000/11.600; 2012: 18.000/12.000 y para "C".

NO SE PRESENTÓ

elzimmer@fibertel.com.ar

104

ESTADO DE SALUD BUCAL EN NIÑOS NATIVOS E INMIGRANTES

Nakazato A, D'Adamo C*, Bertolino M, Ferrante A, García. F M, Cook L, Lopez M
Cátedra Odontología Integral Niños FOUBA

El 30,7% de los niños que concurren al servicio fueron inmigrantes o hijos de inmigrantes, quienes conservan sus hábitos socioculturales. **OBJETIVO:** Comparar la prevalencia de caries en niños que demandaron atención en forma espontánea a la Cátedra de Odontología Integral Niños de la FOUBA según su procedencia y la de sus padres. **MÉTODO:** Se empleó un diseño prospectivo, seccional cruzado. Niños de ambos sexos extranjeros y argentinos hijos de extranjeros, que concurren a una de las comisiones de la cátedra fueron evaluados para el diagnóstico de caries por alumnos supervisados por docentes en el período comprendido entre abril y agosto de 2013. En planillas diseñadas para tal fin fueron registrados, edad, sexo, nacionalidad de los niños, de la madre y del padre, CPOD, CPOS, ceod, ceos, Índice de O'Leary, escolaridad y cobertura de salud. Los datos obtenidos fueron comparados con un grupo control conformado por los registros de de pacientes argentinos hijos de argentinos del mismo sexo y edad. Se analizaron los resultados mediante porcentajes con sus respectivos IC (95%) y Test t de Student. ($p < 0.05$). **RESULTADOS:** La muestra quedó conformada por 41 niños extranjeros y argentinos hijos de extranjeros (G1) y un grupo control (G2) de la misma edad y sexo nacidos entre 1997 y 2010. (Edad media: 9.37 ± 4). El 39% (IC 24.1-55.5) pertenecieron al sexo masculino. Para G1 y G2 respectivamente los valores hallados fueron: CPOD: 3.66 ± 4.04 , 4.34 ± 5.46 ($p = 0.0522$); CPOS: 5.47 ± 6.45 , 6.69 ± 10.37 ($p = 0.68$), ceod: 7.12 ± 5.27 ; 5.38 ± 4.94 ($p = 0.22$); ceos: 12.08 ± 11.87 ; 9.79 ± 10 ($p = 0.45$) e Índice de O'Leary: 51.69 ± 26.79 ; 47.16 ± 26.41 ($p = 0.15$). Tanto G1 como G2 presentaron un 14.66% de los niños con cobertura de salud y un 80.5% con escolaridad en escuelas públicas. **CONCLUSIONES:** Los valores encontrados indicaron que los niños evaluados presentan altos niveles de patología sin observarse diferencia significativa en relación con la procedencia y la de sus padres.

claudia_odontopediatra@yahoo.com.ar

105

UBICACIÓN DE LESIONES POR CARIES EN PRIMEROS PREMOLARES DE MUJERES ATENDIDAS EN OPERATORIA DENTAL

Uva OH, Salatay J E, Lamboglia P, Falcon D, Costa RL, Garcia A, Tosti* SB
Facultad de Odontología UNLP

La Facultad de Odontología de la Universidad Nacional de La Plata se brinda atención gratuita a la comunidad de influencia y partidos aledaños en lo que respecta a restauración de piezas dentarias, rehabilitación oral, prevención y educación para la salud oral. La demanda diaria de atención es numerosa y se observan diferentes patologías bucales que se atienden en las diferentes Asignaturas. En Operatoria Dental "A", se reciben gran número de pacientes con una de las patologías prevalentes como lo es la caries dental, lo cual impulsó la decisión de realizar un estudio al respecto. **OBJETIVO:** Determinar la ubicación de lesiones por caries en primeros premolares (14, 24, 34 y 44) del sexo femenino para diseñar programas preventivos y de tratamientos. **MÉTODO:** Se realizó un estudio estadístico sobre 547 pacientes del sexo femenino entre 20 y 39 años atendidos en la Asignatura Operatoria "A" de la FOLP. Durante el primer cuatrimestre de 2013. Se confeccionó historia clínica y ficha odontológica haciendo hincapié en el estado de los primeros Premolares. Se emplearon juegos clínicos (espejos y exploradores) y en casos de dientes vecinos radiografía, para determinar presencia de caries proximales. No se incluyeron cambios de coloración, ni casos para selladores o inactivadores. **RESULTADOS:** El mayor número de lesiones se constató en caras oclusales sin predominio entre los primeros premolares superiores e inferiores, en total de 278 caries. En las caras proximales PM superiores: 49 en caras mesiales y 63 en distal. En los inferiores 13 mesiales y 35 distales. En caras libres, donde la higiene se realiza más fácilmente. 7 caries en palatino y 23 en vestibular entre los cuatro PM. **CONCLUSIONES:** Del análisis de las variables consideradas para la muestra en estudio se advierte la prevalencia de caries en determinadas caras dentarias (oclusal mesial y distal).

sobetis@yahoo.com.ar

106

SEGUNDOS MOLARES PRIMARIOS CON OPACIDADES EN PACIENTES CON HIPOMINERALIZACIÓN MOLAR INCISIVA (HMI)

Fernández Gudiño S*, Ortolani A, Cortese G, Biondi AM.
Cátedra de Odontología Integral Niños. FOUBA

Algunos autores consideran que las opacidades en segundos molares primarios pueden considerarse predictoras de HMI. **OBJETIVO:** Estimar la frecuencia de segundos molares primarios con lesiones de hipomineralización demarcadas no asociadas a caries en pacientes con y sin HMI que concurren en demanda de atención a la Cátedra Odontología Integral Niños FOUBA. **MÉTODO:** Diseño Observacional, Seccional cruzado. Tres docentes (Kappa: 0.94) evaluaron durante período mayo-agosto 2013 niños de ambos sexos entre 7 y 9 años, que presentaron 4 primeros molares permanentes y cuatro segundos molares primarios usando criterios EAPD [Weerheijm et al., 2003] para diagnóstico de HMI en dentición permanente. Excluidos los pacientes portadores de amelogenénesis imperfecta, fluorosis, destrucciones extensas por caries, bandas o coronas que impidieran examen clínico adecuado y cuyos responsables legales estuvieran imposibilitados de firmar el consentimiento informado. En planillas individuales diseñadas para tal fin se registró año de nacimiento, sexo, presencia y severidad de HMI en primeros molares permanentes y presencia y severidad de opacidades en segundos molares primarios (HMP) conformándose dos grupos G1 (con HMI) y G2 (sin HMI). Los datos fueron analizados a través de porcentajes con intervalos de confianza del 95% y Odds Ratio. **RESULTADOS:** De 253 niños evaluados (sexo masculino 47.82%), el 36.36% (30.41-42.63) presentaron HMI. En G1 (n=92) la prevalencia de HMP fue 67.39% (57-77) y 36.95% (32-42) y en G2 (n=161) 6.83% (3-12) y 2.48% (1-4) (OR: 28.18 y 23) a nivel niño y a nivel molar respectivamente. En G1 el 35.87% de los pacientes presentaron 4 molares permanentes afectados. En ellos el 78.78% de las piezas primarias revelaron opacidades. En relación a la severidad, 47.82%, 27.17% y 25% de los niños presentaron lesiones de HMI grado 1, 2 y 3 respectivamente. Las lesiones grado 3 en piezas primarias fueron significativamente más frecuentes en pacientes que presentaron HMI grado 3 (p=0.000). En G2 las piezas primarias solo presentaron opacidades grado 1. **CONCLUSIONES:** Estos resultados revelan una alta frecuencia de segundos molares primarios con lesiones de hipomineralización demarcadas no asociadas a caries en pacientes con HMI. UBACyT: O200007BA

solfdezg@gmail.com

107

RELEVAMIENTO DE LA SALUD BUCAL POR ALUMNOS DE ODONTOLOGIA EN PACIENTES HOSPITALIZADOS

Suárez ML*1, Anaise C1, González N1, Cruz M1, Rudzinski JJ 1, Módena JC1, Rubio MC1-2, Nicolosi LN1-2.

Cátedra Patología y Clínica Bucodental, FOUBA1. División Cardiología Hospital Español de Buenos Aires2.

El enfermo, un todo indivisible que demanda traspasar los límites del consultorio y adentrarse en la actividad hospitalaria requiere, del futuro odontólogo; interactuar con pacientes, familiares, profesionales de la salud e incluso dar los primeros pasos en metodología de la investigación. **OBJETIVOS** realizar con alumnos un relevamiento de la salud bucal en pacientes hospitalizados. **MÉTODO:** alumnos de Medicina Interna en la Práctica de la Odontología de la FOUBA con supervisión docente efectuaron entre mayo y septiembre del 2013 un relevamiento en pacientes internados en los Hospitales José de San Martín y Español de Buenos Aires. Incorporaron datos de la historia clínica relacionados a patología, edad y sexo. Determinaron el índice CPOD, interrogaron sobre frecuencia y motivo de consulta odontológica (CO) y los hábitos de higiene (HH). El análisis estadístico se efectuó con SPSS 16 empleando test de: Chi 2, ANOVA, coeficiente de correlación de Pearson, con error $\alpha < 0.05$ e intervalos de confianza (IC) del 95%. **RESULTADOS:** ingresaron 211 pacientes, edad 56.22 ± 18.80 años. Edéntulos 19. La CO fue por necesidad 165 (78.2%), una vez/año 45 (21.3%), cada 6 meses 1 (0.5%). Los HH: nada 11 (5.2%), una vez/día 41 (19.4%), 2 veces/día 99 (46.9%), 3 veces/día 49 (23.2%), 4 veces/día 11 (5.2%). Elementos de higiene nada 17 (8.05%), cepillo 174 (82.46%), cepillo+ hilo dental 20 (9.47%). La edad no mostró diferencias en los HH y CO. A partir de la sexta década se observaron diferencias en el CPOD, dividiéndose los pacientes en mayores y menores de 50 años. Piezas cariadas (C) 2.47 ± 3.72 vs 2.69 ± 2.86 , perdidas (P) 16.65 ± 9.15 vs 6.09 ± 5.60 ($p=0.000$; IC95% 7.69-12.30), obturadas 1.17 ± 2.63 vs 2.53 ± 2.92 ($p=0.001$; IC95% 1.61-0.38), CPOD 20.31 ± 6.95 vs 11.30 ± 5.73 ($p=0.000$; IC95% 7.29-10.79, respectivamente. Se observó una buena correlación entre edad, piezas P ($r=0.70$) y CPOD ($r=0.69$). **CONCLUSIONES:** Un tercio de los pacientes no concurreó preventivamente al odontólogo y utilizaba para su higiene solo el cepillado con una frecuencia de 1 a 2 veces diarias. El CPOD se relacionó con la edad a expensas de las piezas perdidas.

malaura_suarez@hotmail.com

108

CONDICION BUCAL EN RELACION AL ESTADO NUTRICIONAL Y NIVELES DE INMUNOGLOBULINA A EN SALIVA

Martínez SE*, Juárez RA, Vila VG, Barrios CE

Cátedra Práctica Clínica Preventiva I. Cátedra Fisiología Humana. Facultad de Odontología. UNNE.

La Inmunoglobulina A (IgA) se encuentra en su forma secretora en la saliva y otras secreciones; siendo su papel fundamental contribuir a la inmunidad de las mucosas e inhibir la adherencia de microorganismos a las células de estas. **OBJETIVO:** Evaluar la condición bucal de adolescentes y su relación con su estado nutricional y niveles de IgA en saliva. **MÉTODO:** Estudio observacional descriptivo. La muestra estuvo conformada por 50 adolescentes sanos de ambos sexos, entre 15 y 19 años. A los pacientes seleccionados se les realizó historia clínica, evaluación del estado de salud bucal, índices de peso/talla y dosaje de IgA en saliva. La técnica empleada para su determinación fue la Inmunodifusión Radial (IDR). Se aplicó una estadística descriptiva y el Coeficiente de Correlación de Pearson. **RESULTADOS:** El 86% de la muestra presentó valores muy altos de Índice de caries. El 54% de los pacientes mostraron valores de Índice Gingival mayores a 1 y de Placa mayores al 20%. En cuanto al estado nutricional, el 18% presentó bajo peso, el 64% peso normal y el 18% sobrepeso. Los valores de IgA variaron entre 1,9 y 15,4 (promedio 9,3). El 36% de los pacientes presentaron valores menores a 4 (1,9 - 3,6), entre estos, el 58% con peso normal, 27% con bajo peso y 15% con sobrepeso. El resto de los pacientes, presentaron valores entre 5,5 y 15,4 mg/dl o sea dentro del intervalo de referencia normal para la IgA, 61% con peso normal, 26% con bajo peso y 13% con sobrepeso. Para correlacionar el estado bucal con los niveles de IgA, se consideraron los valores obtenidos del Índice Gingival ($r = -0.0012$ P-Valor=1) donde no se halló correlación significativa; y los valores del CPO ($r = -0.3$ P -valor=0.04) donde la correlación fue significativamente inversa. Con el estado nutricional, el CPO ($r = 0.23$ P-Valor=0.12) y el Índice Gingival ($r = 0.02$ P-Valor=1) no tuvieron correlación significativa. **CONCLUSIÓN:** El 86% de la muestra presentó valores muy altos de Índice de caries. El 64% de los pacientes mostraron valores normales de IgA. Se observaron niveles elevados de IgA en los pacientes con valores bajos de caries.

saelma_67@hotmail.com

109

EFFECTO DEL SUERO HUMANO EN LA FORMACIÓN DE BIOFILMS

DE *Aggregatibacter actinomycetemcomitans*

Vilotta SM*1, Somaglia L1, Bernat MI1, Palacios N1, Rosmino M F1, Domínguez SA2, Molgatini S1, Turcot L1.1C.de Microbiología. FOUBA.2(CNEA-Constituyentes)

La placa dental alberga microorganismos que mediante bacteriemias pueden acceder a prótesis cardíacas y convertirse en focos sépticos secundarios. El *Aggregatibacter actinomycetemcomitans* (Aa) es una bacteria Gram negativa presente en dicha estructura e implicada en la etiopatogenia de las periodontitis. También se ha demostrado su presencia en placas de ateromas y su capacidad para invadir los tejidos periodontales y el torrente sanguíneo. Vilotta y col. demostraron la adhesión del Aa. a superficies biocompatibles de Nitinol®, material utilizado en especial en la confección de prótesis cardiovasculares y aparatos ortodóncicos. **OBJETIVO:** Estudiar por microscopía electrónica de barrido (MEB) el efecto del suero humano en la capacidad de adhesión y colonización del *Aggregatibacter actinomycetemcomitans* a superficies de Nitinol®. **MÉTODO:** Treinta superficies de nitinol fueron suspendidas en caldo Trypticase soya vancomicina- bacitracina con 10% de suero humano, inoculadas con A.a. e incubadas a 37° C en una atmósfera de 90% de H₂ y 10% de CO₂. durante 5 días. Luego las muestras fueron lavadas tres veces con agua destilada estéril y procesadas para MEB. Se realizaron controles utilizando superficies de nitinol suspendidas en caldo Trypticase soya vancomicina- bacitracina con 10% de suero equino e inoculadas con A.a. **RESULTADOS** Las observaciones por MEB demostraron que el *Aggregatibacter actinomycetemcomitans* se adhirió y colonizó en la totalidad de las superficies de Nitinol® estudiadas. En las muestras inoculadas con suero equino se pudo observar un desarrollo del A.a. en forma de monocapa mientras que en las inoculadas con suero humano el crecimiento fue mayor formando colonias. El cálculo del correspondiente intervalo con 95% de confianza permite estimar un límite inferior al porcentaje de casos positivos en la población de 94,00% para el caso de n=60. **CONCLUSIÓN:** Se concluye que el suero humano favorece la formación de biofilms del género *Aggregatibacter actinomycetemcomitans* sobre superficies de nitinol.

stellamarisvilotta@gmail.com

110

INTERACCIÓN "IN VITRO" DE BACTERIAS CARIOGÉNICAS FRENTE A BACTERIAS DE ORIGEN ALIMENTARIO

Sin C, Vasek O, Ortega S*. Facultad de Odontología Laboratorio de Microbiología. Laboratorio de Biotecnología FaCENA UNNE

OBJETIVO El objetivo de este trabajo fue aislar, purificar y conservar cepas de *Streptococcus sp* y *Lactobacillus sp* de la cavidad bucal y enfrentarlos "in vitro" a bacterias lácticas productoras de bacteriocinas (BAL). **METODO** Luego del consentimiento informado de los pacientes, se realizó el examen bucal y se confeccionó la ficha odontológica. Se seleccionaron 4 individuos con caries activas y se obtuvieron muestras de saliva. Para la recuperación de *Streptococcus sp* se empleó el medio Mitis Salivarius y Rogosa para *Lactobacillus sp*. Las placas fueron incubadas por 48h a 37°C en atmósfera al 5% de CO₂. Los microorganismos crecidos se purificaron y se conservaron a -20°C con crioprotector. Como cepas productoras de BAL se utilizaron cepas de *Lactococcus lactis* subsp. *lactis*, cepas de *Leuconostoc mesenteroides* subsp. *dextranicum* y de *Lactococcus lactis* subsp. *diacetylactis* cVCOR, autóctonas aisladas del ambiente caseario. Se activaron en medio Elliker (Biokar Diagnostic). El potencial efecto inhibitorio de las BAL se detectó por el método de difusión en agar incubando las cajas de Petri inoculadas durante 24h a 37 °C en aerobiosis. **RESULTADOS** Se colectaron muestras de saliva de 4 pacientes. La observación macroscópica de colonias crecidas en medio Rogosa que presentaron las características típicas de forma circular, color amarillo y 0,5-1mm hasta 3mm de diámetro y en medio Mitis Salivarius las que presentaron las características de forma circular, color azul oscuro y celeste, de 0,5-1mm hasta 3mm de diámetro se seleccionaron para la observación microscópica. Se realizó examen en fresco y coloración de Gram que, para las colonias amarillas mostró morfología de bacilos positivos pleomórficos y para las colonias azules y celestes mostró morfología de cocos positivos en cadena; las mismas se purificaron mediante repiques sucesivos y se conservaron a -20°C. Se aislaron, purificaron y conservaron 8 cepas de estreptococos y 4 de lactobacilos, que se enfrentaron a las cinco BAL antes mencionadas. No se observó inhibición en ninguna de las cepas probadas. **CONCLUSIÓN:** El crecimiento de las 8 cepas de microorganismos cariogénicos ensayados no se vio afectado por los péptidos antimicrobianos generados por las 5 cepas de BAL ensayadas. SGC y T. UNNE

silviaortega14@yahoo.com.ar

111

IDENTIFICACIÓN DE *Aggregatibacter actinomycetemcomitans* (Aa) Y SUS SEROTIPOS POR PCR

Ortega S*, De Biasio M.B

Facultad de Odontología. Laboratorio de Microbiología. Servicio Veterinario de Biología Molecular. Facultad de Ciencias Veterinarias. UNNE

OBJETIVO estandarizar técnica de PCR para identificación de Aa y sus serotipos en muestras clínicas de placa subgingival. **MÉTODO** ambas reacciones se realizaron en un volumen final de 20µl, utilizando secuencias de cebadores descritos por Suzuki Nao et al. 2001. Las concentraciones finales/ programa de ciclado para PCR de identificación y multiplex de serotipado (a-e) fueron: 1X Buffer de PCR, 1.5mM MgCl₂, 0,25mM de cada dNTP (Biodynamics), 1µM de cada primer y 2,0U Taq DNA polimerasa (Promega)/desnaturalización 2min. a 96°C, seguidos de 25 ciclos: 15seg. 94°C, 30seg. 54°C y 60seg. 72°C y 1X Buffer de PCR, 1.5mM MgCl₂, 0,25mM de cada dNTP (Biodynamics), 2µM de cada primer y 2,0U Taq DNA polimerasa (Promega)/ desnaturalización 5min. 94°C, seguidos de 25 ciclos de 40seg. 94°C, 30seg. 54°C y 40seg. 74°C, continuando en ambos programas con extensión final de 10min. a 74°C e incubación a 4°C, respectivamente. En todas las reacciones se incluyeron controles negativos y positivos consistentes en agua y ADNs obtenidos por el método de lisis con CTAB y posterior purificación, a partir de cepas de referencia. Los productos de PCR se separaron por electroforesis en agarosa 1% en buffer TBE1x, teñidos con bromuro de etidio y visualizados por transiluminación UV. Se procesaron tres muestras de placa subgingival obtenidas con cono de papel absorbente y conservado a -20°C hasta su procesamiento. El ADN se extrajo por el método de boiling según Quinteros et al, 2011y se sometieron a amplificación por PCR. **RESULTADOS** como producto de PCR se obtuvieron fragmentos de 252pb utilizando cebadores específicos para Aa y de 428, 298, 559, 690 y 211pb para los serotipos a, b, c, d y e. Las muestras de pacientes procesados no mostraron bandas para Aa, pero sí al amplificar un fragmento del gen de - globina. **CONCLUSIÓN** se logró estandarizar las condiciones térmicas y químicas de una reacción de PCR sencilla para la detección de genoma de Aa y de una PCR Multiplex para su serotipificación. SGCyT. UNNE

silviaortega14@yahoo.com.ar

112

ACCIÓN DE *Mycoplasma spp.* SOBRE LOS NIVELES BIOQUÍMICOS CLÍNICOS DE COLESTEROL HUMANO.

Vilotta SM*, Somaglia L, Bernat MI, Gliosca L, Palacios N, Rosmino M F, Molgatini S, Turcot L.

Cátedra de Microbiología y Parasitología. Facultad de Odontología. UBA

Los micoplasmas son bacterias atípicas, carentes de pared celular, que están asociados a múltiples afecciones en el ser humano tales como infecciones respiratorias y urogenitales, enfermedades reumáticas y enfermedades cardíacas. La placa dental alberga una amplia variedad de microorganismos, varios investigadores demostraron la presencia del género *Mycoplasma* en placa dental asociada con enfermedades gingivo- periodontales. Los microorganismos residentes en la placa dental pueden acceder por maniobras odontológicas al torrente circulatorio e involucrarse en patologías sistémicas incluyendo las afecciones cardíacas y la infección de prótesis cardio-vasculares ocasionando su posterior necesidad de recambio. Otros estudios determinaron que el *Aggregatibacter actinomycetemcomitans*, asociado con periodontitis crónicas y agresivas, tiene la capacidad *in vitro* de disminuir niveles bioquímicos-clínicos de colesterol humano (Somaglia y col.) **OBJETIVO:** Evaluar *in vitro* el efecto del género *Mycoplasma* sobre los niveles bioquímicos- clínicos de colesterol humano. **MÉTODOS:** Cincuenta y cinco sueros humanos con valores predeterminados de colesterol (por método enzimático) se incubaron individualmente durante 24 hs. a 37°C. con cultivos en agar de *Mycoplasma spp.* no viables; al cabo de dicho tiempo se repitieron las titulaciones de colesterol en cada uno de los sueros. Se realizaron los controles correspondientes. **RESULTADOS:** Las comparaciones de los títulos de colesterolemia pre y post incubación con *Mycoplasma* demostraron una reducción en los títulos de colesterol en un 94,54 % de las muestras. **CONCLUSIÓN:** En las condiciones experimentales del presente trabajo se demostró la capacidad del género *Mycoplasma* de reducir *in vitro* los títulos de colesterol sérico.

stellamarisvilotta@gmail.com

113

PCR *in house*: TÉCNICA DE DETECCIÓN DE MARCADORES PERIODONTOPÁTICOS EN DE BIOFILM SUBGINGIVAL

Gliosca L*; Brusca MI; Maccarone G; Rosa A. Cátedra de Microbiología. FOUBA

OBJETIVO determinar la capacidad de detección que posee la PCR "in house" de punto final, en la detección de marcadores periodontopáticos en muestras subgingivales de pacientes con periodontitis estudiadas por pool y por sitio. **MÉTODOS:** La muestra incluyó pacientes voluntarios adultos con diagnóstico clínico/instrumental confirmado de enfermedad periodontal crónica (PC=38 Edad: 51,8±13,69) y agresiva (PA=7; Edad: 26,50±7,66) no presenten enfermedades sistémicas, tratamiento antibiótico y/u odontológico 6 meses previos a la toma de material. Profesional calibrado realizó la selección de sitios y toma del material. Las muestras se obtuvieron por colocación de 4 conos de papel estériles N°35 hasta la profundidad de bolsa y transportadas en medio fluido RTF. Se realizó extracción de ADN con kit comercial y PCR con primers específicas (regiones conservadas del 16 S ARNr) para detección de marcadores periodontopáticos Grupo Rojo (BGR: *Porphyromonas gingivalis* (Pg), *Treponema denticola* (Td); *Tannerella forsythia* (Tf)); del Grupo Naranja (BGN: *Fusobacterium nucleatum* (Fn), *Prevotella intermedia* (Pi)) y *Aggregatibacter actinomycetemcomitans* (Aa). Los amplicones se visualizaron mediante corridas electroforéticas en geles de agarosa 2% / buffer TAE y coloreados (Gold View.) Se emplearon controles positivos y negativos de reacción y detección de ADN genómico. **RESULTADOS:** la distribución de los amplicones en muestras de PC fue: Total /pool/ sitio(%): Aa:0,61/21,21/50; Fn:75,51/75,76/75; Pi:12,24/18,18/0; Pg:55,10/36,36/93,75; Td:30,61/27,27/56,25; Tf:62,27/45,45/93,75. En muestras de PA: Aa: 42,31/45,83/0; Fn:7,69/0/25; Pi:19,23/20,83/0; Pg:69,23/75/50; Td:65,38/75/50; Tf:73,08/83,33/50.

CONCLUSIONES: la detección de marcadores BGR – BGN por técnica de PCR *in house* permitió determinar diferencia estadísticamente significativa en la frecuencia de detección de Pg y Tf (Chi2 $p=0.0005$ y 0.0033 respectivamente) al estudiar sitios individuales de pacientes con PC. En las condiciones de trabajo, el empleo de PCR en el estudio poblacional por pool, no incrementó la tasa de detección de los marcadores estudiados. La implementación de esta técnica PCR "in house" a nivel de sitio, brindaría importante información a cerca de la composición ecológica de cada sitio en estudio.

lgliosca@yahoo.com.ar

114

NIVEL DE SATISFACCIÓN DE LOS PACIENTES SOMETIDOS A TRATAMIENTO ORTODÓNTICO

Lourenço GC*, Teixeira LG, Souza JAC, Barbosa MM, Lima AA, Pereira LCG.
Centro Universitário de Anápolis, UniEVANGÉLICA– Brasil

OBJETIVO: Evaluar el nivel de satisfacción y el perfil de los pacientes que están en tratamiento ortodóntico. **MÉTODO:** Fue utilizado un cuestionario con 18 preguntas objetivas para 100 pacientes, con edad superior a 18 años y que estuviesen en tratamiento ortodóntico. Los datos fueron sometidos para análisis estadístico descriptivo y correlación de Pearson con nivel de significancia de 5%, verificando factores que influyen sobre el nivel de satisfacción del tratamiento ortodóntico. **RESULTADOS:** De los pacientes entrevistados 67% eran del género femenino y 33% masculino. La mayoría de los entrevistados (87%) recibe tratamiento en consultorios particulares, 9% en consultorios populares y 4% en institutos de enseñanza. Con relación al nivel de satisfacción del tratamiento ortodóntico fue observado que 78% estaban satisfechos y 22% insatisfechos. En cuanto a la motivación al uso de accesorios e higienización fue constatado que 60% se sentían motivados por los ortodoncistas. Para escoger el ortodontista, 63% se preocuparon en conocer la formación del profesional. La mayoría (55%) está en tratamiento ortodóntico en busca del alineamiento de los dientes. Apenas 28 señalaron que no eran atendidos por ortodoncistas y de estos, 13 (46,4%) se incomodaban con este hecho. El factor señalado que más molesta al paciente que está en tratamiento ortodóntico es la sintomatología dolorosa (39%) y la dificultad de higienización (38%). La mayoría de los pacientes (54%) citó que el tiempo de tratamiento es el mayor malestar, seguido del dolor (21%), costo (17%) y las consultas mensuales (8%). Hubo correlación significativa ($p<0,05$) entre el nivel de satisfacción del tratamiento con empatía por el profesional ($r=0,66$), con el relacionamiento personal entre ambos ($r=0,63$) y con la motivación ofrecida por el ortodoncista ($r=0,52$). **CONCLUSIONES:** Los pacientes evaluados están relativamente satisfechos con el tratamiento ortodóntico, se preocupan en conocer la formación profesional de su ortodoncista y se sienten motivados con el tratamiento. El nivel de satisfacción de los pacientes evaluados, con relación al tratamiento ortodóntico, depende mucho del relacionamiento establecido con el ortodoncista.

luciausp@yahoo.com

115

UBICACION ESPACIAL DEL HUESO HIOIDES EN PACIENTES CON LA CONVEXIDAD FACIAL REDUCIDA

Collante de Benitez C*, I, Latyn K, Palczikoski L.
Facultad de Odontología. U.N.N.E.

El Hioides es un hueso único, medio ubicado entre la cintura escapular y la cara, brinda inserción a la musculatura supra e infrahioidea. **OBJETIVO:** Determinar la posición espacial del hueso hioides en pacientes con la convexidad facial reducida. **MÉTODOS:** estudio descriptivo, transversal. Muestra estuvo integrada por 21 pacientes del Servicio de Ortodoncia de la Facultad de Odontología de la U.N.N.E. las edades oscilaron entre 18 y 22 años, sanos, sin tratamiento previo con aparatología fija o funcional. La evaluación se realizó mediante telerradiografías de perfil derecho del paciente y que abarcaron hasta la 7ª vértebra cervical. Se obtuvieron en el Servicio de Radiología de la FOUNNE. Se procedió a realizar el trazado anatómico de las estructuras a estudiar, abarcando huesos de la cabeza, las siete vértebras cervicales y hueso Hioides. Dicho trazado tuvo como finalidad estudiar la clase esquelética. Las referencias cefalométricas utilizadas en la evaluación radiográfica de las estructuras craneales fueron los puntos: A, Na, Pr, Or, Po y Pt. Se procedió luego a trazar el plano de Frankfort, plano facial y la vertical pterigoidea. Para establecer la convexidad facial se midió la distancia del punto A al plano facial, se consideró disminuida cuando la distancia del punto A al Plano Facial fue inferior a los 2 mm. Para detectar la influencia del maxilar superior o inferior en la convexidad, se utilizó la medida de la profundidad facial y la maxilar. Se procedió luego a trazar triángulo hioideo uniendo los siguientes puntos: C3, Rgn y H la altura se obtuvo uniendo los puntos H-H1 y determinó la ubicación en sentido vertical del hueso Hioides. La ubicación en sentido sagital se obtuvo midiendo H-PTV. **RESULTADOS:** Los valores de la convexidad oscilaron entre -10 y -2,50 mm, con una media de -3,76 mm. La media de H-H1 fue de 0,476 mm mientras que los valores oscilaron entre 9 y -12 mm. La distancia media de H-PTV fue de 3,24 mm mientras que sus valores extremos fueron -9 a 18 mm. El coeficiente de correlación de Pearson no mostró asociación estadísticamente significativa. **CONCLUSIÓN:** existe una gran variabilidad en la posición del hueso, no pudiendo determinarse asociación con la convexidad facial.

carmencollante@hotmail.com

116

GANANCIA DE ESPACIO CON ORTODONCIA CONVENCIONAL Y DE AUTOLIGADO PASIVO. ESTUDIO CLÍNICO PROSPECTIVO RANDOMIZADO

Folco AA, Iglesias M, Benítez Rogé S*, Calabrese D, Lumi M, Pelizardi C, Solta M, Herrera Del Corral MA Hecht P, Mateu ME. Cátedra de Ortodoncia. FOUBA.

El ortodoncista busca dentro de sus objetivos no alterar la distancia intercanina, para evitar la inestabilidad post tratamiento. **OBJETIVO** Comparar diferencia de la distancia entre caninos (C), primeros y segundos premolares (1 PM y 2PM) y primeros y segundos molares (1M y 2M) homólogos superiores e inferiores entre los modelos iniciales y post alineación de pacientes en tratamiento ortodóncico con arcos superelásticos y brackets autoligables y convencionales. **MÉTODO:** Participaron 24 pacientes de ambos sexos, entre 12 y 48 años, que presentaban apiñamiento dentario leve, pertenecientes a la Cátedra de Ortodoncia de la FOUBA. Los pacientes fueron distribuidos al azar en dos grupos: AUTOLIGABLE (N=12) (Sistema Damon, brackets autoligables y arcos de Ni-Ti-CU) y CONVENCIONAL (N=12) (Técnica de Roth y arcos de Ni-Ti). No se realizaron exodoncias hasta finalizar la alineación. Se midieron los modelos pre y post alineación con un calibre digital Mitutoyo, para determinar la diferencia de las distancias ya mencionadas. **RESULTADOS:** En maxilar superior la distancia varió en promedio para el GRUPO AUTOLIGABLE: entre las piezas C: 0.21 ± 2.4 ; 1PM: 2.5 ± 1.1 ; 2 PM: 1.7 ± 1.5 ; 1M: 0.26 ± 1.5 ; 2M: -0.7 ± 1.1 y para el GRUPO CONVENCIONAL: C: 0.8 ± 1.6 ; 1PM: 2.07 ± 1.6 ; 1.4 ± 1.3 ; 1M: -0.2 ± 0.9 y 2M: -0.29 ± 2.3 . En maxilar inferior la distancia varió en promedio para el GRUPO AUTOLIGABLE entre piezas C: 0.4 ± 1.6 ; 1PM: 1.7 ± 2.3 ; 2PM: 1.6 ± 1.8 ; 1M: -0.09 ± 2.4 y 2M: 0.05 ± 2.5 GRUPO CONVENCIONAL: C: 1.9 ± 0.9 ; 1PM: 1.8 ± 1.17 ; 2PM: 1.1 ± 2.01 , 1M -1.07 ± 1.6 y 2M: -0.5 ± 1.2 . Sin diferencia estadísticamente significativa entre AUTOLIGABLE y CONVENCIONAL ($p=0.19$) ni entre maxilares ($p=0.08$) y sí entre piezas ($p<0.001$) Test de ANOVA. **CONCLUSIONES:** La ganancia de espacio para lograr la alineación dentaria cuando la falta de espacio es moderada se produce a expensas de aumento de la distancia interpremolar y no hay variaciones significativas en las distancias intercanina ni intermolar. No hay diferencia entre técnicas para un apiñamiento moderado utilizando arcos con fuerzas leves en la alineación. Este trabajo se realizó dentro de la programación de subsidios 2008-2010 cód: O408; 2010-2012 cod: 0020090200390 y 2012-2014 COD: CO22 de la Secretaría de Ciencia y Técnica de la UBA.

scnapoli@yahoo.com.ar

117

CAMBIOS EN LA RELACIÓN DE WALA RIDGE CON ORTODONCIA DE AUTOLIGADO PASIVO

Folco AA, Herrera MA*, Uccar E, Benítez Rogé S, Calabrese D, Pelizardi C, Solla, M, Mateu, ME
Cátedra de Ortodoncia, Facultad de Odontología Universidad de Buenos Aires.

El uso de brackets autoligables y arcos superelásticos permite realizar tratamientos de ortodoncia con fuerzas leves. La respuesta del hueso ante estas fuerzas es clínicamente diferente a la que se obtiene con sistemas de fricción (brackets convencionales). Los movimientos dentarios son progresivos y más suaves y permitirían a las piezas dentarias mejorar su relación con su cortical alveolar con el tratamiento. Andrews establece la relación entre el borde WALA y las distancias a las piezas inferiores como determinación de la forma óptima de la arcada (Wala Ridge) **OBJETIVO:** Comparar los valores obtenidos con el Análisis de Wala Ridge de caninos premolares y primeros molares inferiores en modelos de pacientes pre y post tratamiento ortodóncico, utilizando brackets autoligables y arcos térmico (Ni Ti Cu). **MÉTODO:** Se estudiaron 11 pacientes de la cátedra de Ortodoncia de la UBA con apiñamiento moderado que recibieron tratamiento mediante el Sistema Damon (brackets autoligables pasivo y arcos de NI-Ti-CU formato Damon). Se registró la relación entre cortical y caras vestibulares de las piezas dentarias mediante el análisis de Wala Ridge en los modelos del maxilar inferior pre y pos tratamiento con un calibre digital Mitutoyo y se compararon los promedios de las diferencias obtenidas para cada pieza en cada paciente. **RESULTADOS:** Los caninos tuvieron una diferencia promedio de $-0,03\text{mm} \pm 1,2$ de desvío standard ($p=0,1$); Los 1º Premolares variaron $0,15\text{mm} \pm 0,8$ ($p=0,2$) sin diferencia estadísticamente significativa entre los valores inicial y final. El segundo premolar mejoró su relación con la cortical $1,03\text{mm} \pm 1,07$ con una p de 0,006 y los primeros molares mejoraron en $1,4\text{ mm.} \pm 3,65$ ($p= 0,008$) con diferencia estadísticamente significativa en los dos casos. **CONCLUSIÓN:** El tratamiento de ortodoncia con bajas fuerzas y arcos superelásticos, produce una mejora en la relación de los 2º premolares y primeros molares inferiores sin perjuicio de caninos y primeros molares, aunque no haya espacio suficiente en las arcadas al iniciar el tratamiento. Este trabajo se realizó dentro de la programación de subsidios correlativos 2008-2010 cód: O408; 2010-2012 cod: 0020090200390 y 2012-2014 COD: CO22 de la Secretaría de Ciencia y Técnica de la UBA.

mariale_h85@hotmail.com

118

DIFERENCIACIÓN DE CÉLULAS EN CULTIVO PRIMARIO DE PULPA DENTAL HUMANA

De Couto Pita A*, Méndez CF.
Cátedra de Farmacología, FOUBA. CONICET.

Reportamos previamente el establecimiento de cultivos primarios de células de pulpa dental de rata que adquieren capacidad mineralizante en presencia de factores de diferenciación osteoblástica. El odontoblasto es una célula diferenciada a partir de células pluripotenciales mesenquimáticas. Si bien su morfología y función son conocidas, su proceso de diferenciación no se conoce aún en detalle. **OBJETIVO** establecer un cultivo celular primario de pulpa dental humana como modelo para el estudio de factores de diferenciación de células pluripotenciales a formadoras de tejido mineral. **MÉTODOS** se establecieron cultivos por explante de células a partir de pulpa disgregada mecánicamente luego de su remoción de molares retenidos extraídos de donantes adultos por fallas de erupción ($n=6$). El tejido se incubó en medio de Dulbecco modificado por Eagle con 10% de suero fetal bovino (SFB) y L-glutamina (DMEM) o en DMEM conteniendo 300 $\mu\text{g/ml}$ biclorofosfato, 15% SFB y 2,5 nM dexametasona (DMEM-OD) como factores condicionantes de diferenciación, a 37°C y 5% CO₂. La proliferación celular se analizó colorimétricamente luego de la tinción con violeta de cristal. **RESULTADOS** la disgregación mecánica del tejido y su incubación en DMEM resultó en el establecimiento de un cultivo a predominio de células de morfología fusiforme. En cultivo, las células proliferaron en medio DMEM hasta el día 7 con un tiempo de duplicación de 24 hs, mientras que la incubación en medio DMEM-OD resultó en una reducción significativa de la proliferación ($p<0,01$ por ANOVA de doble vía) a todos los tiempos ensayados. La adición de dexametasona al medio DMEM redujo significativamente ($p<0,01$) la proliferación ($0,13 \pm 0,01$ vs. $0,38 \pm 0,01$ UO para DMEM + dexta y DMEM, respectivamente, $n=4$) mientras que los demás factores no tuvieron efecto. **CONCLUSIÓN** nuestros resultados confirman la posibilidad de establecer cultivos de pulpa dental humana y demuestran que la adición de factores de diferenciación al medio de cultivo detiene la capacidad de proliferación celular, sugiriendo el inicio del proceso de diferenciación odontoblástica.

aledcp@hotmail.com

119

AUTOMEDICACION EN DOLOR E INFECCION ODONTOLÓGICA

Miranda Roca P*, Silvestre N
UAI, Servicio de Odontología " Fundación Ciencia Y Salud"

La automedicación corresponde al inicio de un tratamiento farmacológico de manera personal o al uso de medicamentos en forma reiterada, sin la indicación o asesoría de un profesional idóneo". **OBJETIVO:** estimar características de la automedicación de los pacientes antes de concurrir a la consulta odontológica, para evaluar la necesidad de informar, aconsejar y educar sobre los riesgos. **MÉTODOS:** Estudio descriptivo, no se realizó cálculo específico de muestra. N = 101 pacientes, de 19 a 60 años: 1º grupo=19-32; 2º=33-46; 3º= 47-60 años. Criterios de inclusión: Pacientes que acudieron a la consulta en la Universidad Abierta Interamericana en condiciones de contestar la encuesta, entre julio a septiembre 2013. Es observacional de corte transversal. Resultados en número y proporciones expresados en porcentaje. Encuesta anónima validada. **RESULTADOS:** del 83% que se automedicó: el 85% conoce el significado automedicación, 72% no recibió información profesional. El 48% se automedica habitualmente. El 36% por prescripción profesional previa. El 27% por recomendación del farmacéutico y 20 % por influencia de familiares. El 24% se automedicó con analgésicos y antibióticos.*Del 47% que se automedica con analgésicos, un 60% con Ibuprofeno. Eligieron un 70% para el dolor, 5% para infección, 24% ante dolor y síntomas de infección. Un 22% se automedica con antibióticos. El 54% para infección, 6% para dolor, el 7% al inicio del malestar, 29% porque cree necesario. Un 87% usa Amoxicilina. El paciente percibe la eficacia como: 12% muy buena; 57% buena; 24% ninguna. RAM: 5% dolor estomacal, 3 % percibieron que empeoraron los síntomas. **CONCLUSIONES:**La principal utilidad de este trabajo preliminar, a través del análisis de los hallazgos encontrados, fue generar necesidad de informar, aconsejar, educar sobre los riesgos de automedicarse, tanto en el profesional odontólogo como en el paciente. Información simple, adecuada y responsable. También modificar esta situación a nivel de la promoción y comercialización de los medicamentos, relacionando los potenciales efectos perjudiciales, así como sus consecuencias económicas.

payito002@hotmail.com

120

SALUD BUCAL Y PARÁMETROS SALIVALES EN PACIENTES CON INSUFICIENCIA RENAL CRÓNICA. ESTUDIO PRELIMINAR

Rodríguez D*, Cardoso L, Elverdín JC, Tumilasci G, Arregger AL, Contreras LN
Laboratorio de Glándulas Salivales, Cátedra de Fisiología, FOUBA; Departamento de Endocrinología Experimental, IDIM A Lanari, UBA; IDIMCONICET

En pacientes con insuficiencia renal crónica terminal se describe una alta prevalencia de enfermedad periodontal y alteraciones del flujo salival. En este trabajo se investigó los tejidos duros y blandos de la cavidad bucal y se estudió la saliva, de pacientes con insuficiencia renal crónica (IRC) en estadios clínicos S₂ a S₅ (filtrado glomerular $\leq 73,0$ ml /min/m²). **MÉTODO:** De una población de 14 IRC referidos, se estudiaron 12 (10 mujeres y 2 varones, edad: 54,8±13,3 años) dado que dos IRC fueron excluidos por presentar xerostomía completa. La etiología en IRC fue: diabetes mellitus tipo 2 (n:3); hipertensión arterial(n:2); autoinmunidad (n:2); poliquistosis renal (n:2); reflujo vesiculoureteral (n: 1); síndrome urémico hemolítico (n: 1), desconocido (n: 1). Las muestras de saliva se obtuvieron entre las 9,0 y 11,0 hs, por emisión espontánea (previo ayuno de 2,0 hs) en tubos de polipropileno estériles durante 5 min. Se determinó flujo salival (FL sal), pH, concentración de leucocitos polimorfonucleares (PMN; método bencidina), urea (U sal) y amonio (N sal) según técnica de ureasa. La evaluación bucal realizada posterior a la toma de saliva incluyó: clínica estomatológica (presencia de lesiones compatibles con candidiasis: Can+), dentaria (índices CPOD y CPOS) y gingivoperiodontal (Índice de sangrado al sondaje: IS+; Pérdida de inserción:PI +). Los parámetros salivales se compararon y correlacionaron con los de 20 sujetos sanos (FG 90,0 ml/min; edad:46,0±18,0 años) mediante los tests de Wilcoxon y Spearman. Se consideró significativo p<0,05. **RESULTADOS:**Can+: 7 casos, CPOD: 19,5 ± 9,3 (4,0-32,0); CPOS: 89,0 ±5,0 (10,0-150,0); IS+: 4 casos; PI+: 5 casos; FL: 0,3± 0.18 ml/min; pH: 7,2±1,35; PMN:2.212.500±2.078.255 cel/ml; U sal:6,98±3,0 mmol/L; N sal: 3,0±1,50 mmol/L. Se correlacionó significativamente: N sal con CPOD(r:-0,646, p:0,032), CPOS (r:-0,613, p:0,040)y U sal(r:0,613, p:0,04). El FL sal, U sal y N sal fueron significativamente diferentes al grupo de sujetos sanos (0,5±0,23; 2,65±1,51 y 0,78±0,18, respectivamente p<0,01 en todos los casos). **CONCLUSIONES** en IRC se demostró compromiso de la salud bucal. El aumento de compuestos nitrogenados en la saliva impactaría como un factor anticariogénico.

endoexp2000@yahoo.com

121

RELACIÓN ENTRE LIPOEROXIDACIÓN DE MEMBRANA Y ACTIVIDAD Ca-ATPÁSICA EN MÚSCULOS MASTICADORES.

de la Cal C*, Di Croce DE, Sánchez GA, Takara D
Cátedra de Biofísica, Facultad de Odontología, UBA.

OBJETIVO: El trismus puede ser causado por el dolor, espasmos musculares, inflamación, obstrucción mecánica o por fármacos de uso odontológico. Todos estos factores generan un aumento de radicales libres. Habitualmente, para inducir estados fisiopatológicos, en modelos biológicos se recurre al uso de fármacos. La carragenina (Carr) es un polisacárido natural que se obtiene de las algas rojas. El objetivo fue determinar la lipoperoxidación de membrana (LPX) como parámetro de estrés oxidativo y su relación con la actividad Ca-ATPásica en músculo masticador (MM) de rata. **MÉTODOS:** Se determinó la LPX en ratas wistar machos, en presencia y ausencia de distintos anestésicos locales y Carr 1% (Buege y August, 1978). Se determinó la actividad ATPásica según la técnica de Baginski-col (1967). Las ratas fueron previamente separadas en grupos. Un grupo no recibió tratamiento (Control), el resto fue anestesiado intramuscularmente (IM) en la pata posterior con Xilazina 2% (0,05 ml) y Ketamina 50 mg/ml (0,1 ml/100g peso de rata). Uno de estos grupos no recibió ningún otro tratamiento (Control Anestesia). Los otros grupos, además se inyectaron con: 0.1ml de solución fisiológica (SF) o Carr 1% o Prilocaina (Pri), Mepivacaína (Mepi), Articaina (Arti) 0.3M, IM en el MM. Los resultados obtenidos fueron evaluados mediante ANOVA de 1 vía y test de comparaciones múltiples de Tukey. **RESULTADOS** Los resultados obtenidos en la determinación de la LPX se correlacionan con los de la Ca-ATPasa, el grupo CA (187,440 ± 33,306) presentó menor actividad ATPásica que los otros grupos, así como mayor estrés oxidativo. El grupo que recibió Carr (229,862 ± 35,285) exhibió menor actividad que C (367,399 ± 33,202) y SF (338,406 ± 41,592). Mientras que, el grupo SF mostró menor actividad y mayor LPX que C. Se establecieron diferencias significativas entre grupo C y SF para la determinación de la actividad ATPásica (F = 134,052; p = 0,032) y todas las otras comparaciones arrojaron un p < 0,001. Por otra parte, los anestésicos locales presentan menor magnitud en la LPX. **CONCLUSIÓN:** Los resultados sugieren que los fármacos estudiados pueden actuar sobre la Ca-ATPasa. Así como la LPX está estrechamente relacionada con la disfunción de la Ca-ATPasa. Subsidio UBACyT 20020110100082.

carodelacal@yahoo.com.ar

122

POSIBLE EXISTENCIA DE UNA MASA CORPORAL HIPOXICA DISTINTA DE LA MASA CORPORAL NORMOXICA

CE Lezón *, MI Conti, MP Martinez, C Bozzini, RM Alippi, CE Bozzini
Cátedra de Fisiología, FOUBA

OBJETIVO Determinar si la exposición crónica a hipoxia de altura (HA) disminuye la masa corporal a través de la secuencia apetito - hipofagia - crecimiento corporal - masa corporal. **MÉTODOS** Ratas Wistar (HsdFcen) hembras (n = 40) de 35d y peso 67,93 ± 0,78 (DS) fueron divididas en 2 grupos: NX (normoxia) mantenido bajo condiciones de presión barométrica local; y HX (hipoxia) mantenido en cámara de altura simulada (SHA) a 506,5 mbar (5460 m). Los animales recibieron *ad lib* dos dietas isocalóricas, (ICN-20% caseína o ICN-0% caseína), generándose así 4 subgrupos: NX-20, NX-0, HX-20, HX-0. NX-0 y HX-0 recibieron dieta ICN-0 durante 9d, recibiendo ICN-20 durante los 19d posteriores. Peso corporal y volumen de alimento ingerido fueron medidos cada 48h. Promedio ± DS (ANOVA + Newman-Keuls test). **RESULTADOS** 1) La ganancia de masa corporal (g/d) en los grupos fue: 4,4 ± 0,3 en NX-20; 1,58 ± 0,3 en HX-20 (p < 0,001); 1,18 ± 0,25 en NX-0 y HX-0; 6,4 ± 0,23 en NX-0 durante realimentación con ICN-20 y 2,48 ± 0,11 en HX-0 durante realimentación con ICN-20 (p < 0,001). El crecimiento compensador de la masa corporal (catch-up) después del ayuno proteico fue completo en los grupos NX e HX. 2) La masa corporal hipóxica representó el 56% de la correspondiente normóxica al final del período experimental (27d). 3) las modificaciones señaladas a nivel del crecimiento diario de la masa corporal fueron el resultado de los efectos del tratamiento sobre la ingesta de alimento en cada grupo estudiado. El volumen de alimento ingerido por día fue significativamente mayor durante el período de recobramiento proteico que durante el de restricción, tanto en condiciones de normoxia como de hipoxia. **CONCLUSION** Estos resultados apoyan la hipótesis que propone la existencia de una masa corporal "hipóxica" distinta a la masa corporal "normóxica", que sería responsable de la disminución de las necesidades de oxígeno y podría representar un mecanismo de aclimatación a la hipoxia de altura. *Proyectos UBACyT 20020100100067 y 20020100100389*

christianlezon@hotmail.com

123

CONSISTENCIA DE LA DIETA Y BIOMECANICA MANDIBULAR DE LA RATA PREPUBER

Bozzini C*, Champin GM, Bozzini CE, Alippi RM.
Cátedra de Fisiología, FOUBA

OBJETIVO Existe una relación entre la actividad de los músculos mandibulares y el crecimiento craneofacial. El objetivo de esta investigación fue estimar el efecto de la disminución de la consistencia de la dieta sobre los parámetros biomecánicos de la mandíbula (M) de ratas en fase de crecimiento. **METODO** Sujeto experimental 20 ratas Sprague-Dawley hembras de 30d de edad, divididas en dos grupos, *control* (C) y *experimental* (E) (peso corporal T_0 : C = $81,12 \pm 2,66$ g (ES), E = $84,07 \pm 3,15$ g, $p > 0.05$). Durante 60d, C recibió una dieta estándar en forma de "pellets" relativamente duros, mientras que E recibió una dieta blanda compuesta por "pellets" triturados (50g) mezclados con agua (200ml). Las propiedades biomecánicas *estructurales* de M fueron determinadas mediante el test de flexión a tres puntos: cargas en punto de cesión y de fractura y rigidez estructural; las propiedades *materiales* del tejido óseo (módulo de elasticidad y estrés elástico límite) fueron calculadas a partir de la curva "estrés/deformación". Las propiedades "geométricas" fueron estimadas a partir de mediciones: peso M, área mandibular y de sección transversa y cortical, y momento de inercia (nivel de sección transversal: línea perpendicular por cara distal de M3). Test "t" de Student. Significación: $p < 0.05$). **RESULTADOS** 1) Peso T_{60} : C = $249,55 \pm 5,76$, E = $241,77 \pm 5,46$, $p > 0,05$; 2) Propiedades geométricas con disminución significativa en E; 3) Propiedades estructurales en E: disminución de resistencia diafisaria a fractura y deformación, con reducción de la carga necesaria para inducción de microfracturas; y 3) Propiedades materiales: no se observaron diferencias significativas entre C y E en relación al módulo elástico y el estrés elástico máximo. **CONCLUSION** La mandíbula de los animales alimentados con dieta de menor consistencia mostró una disminución de los valores de las propiedades estructurales y geométricas óseas con respecto a la perteneciente a animales alimentados con dieta dura, efecto probablemente relacionado con la menor masa ósea desarrollada en los primeros durante el crecimiento corporal ocurrido durante los 60d de tratamiento. Esto no indujo alteraciones a nivel de las propiedades materiales del tejido óseo mandibular. *Proyectos UBACYT 20020100100389 y 20020100100067*
cbozzini@free.fr

124

DEXAMETASONA AFECTA EL MODULO ELASTICO DEL HUESO COMPACTO EN LA RATA HIPOXICA

Bozzini C*, Champin GM, Alippi RM, Bozzini CE
Cátedra de Fisiología, FOUBA

OBJETIVO La administración de dexametasona (D) o la exposición a hipoxia ambiental (H) inducen en la rata disminución del crecimiento corporal, mediante mecanismos diferentes, y modifican las propiedades biomecánicas óseas. El objetivo de esta investigación fue describir los efectos de ambos tratamientos aplicados en forma simultánea sobre los parámetros citados. **METODO** Los sujetos experimentales fueron 40 ratas Sprague-Dawley hembras de 40d de edad, divididas en 4 grupos: 1) controles normoxia (CNX), 2) D normoxia (DNX, $500\mu\text{g}/\text{kg}/\text{d}$ x 27d sc), 3) controles hipoxia (CHX, exposición a 513 mbar (5460m) en cámara hipobárica x 27d), y 4) combinación de ambos tratamientos (DHX). Las propiedades biomecánicas *estructurales* de la diáfisis femoral (hueso compacto) fueron determinadas mediante el test de flexión a tres puntos: cargas de punto de cesión y de fractura y rigidez estructural; las propiedades *materiales* del tejido óseo (módulo de elasticidad y estrés elástico máximo) fueron calculadas a partir de la curva *estrés/deformación*. Las propiedades *geométricas* fueron estimadas a partir de mediciones: peso y longitud femorales, áreas de sección transversal, cortical y medular, y momento de inercia axial. ANOVA y Newman-Keuls test ($p < 0.05$) **RESULTADOS** 1) Ganancia de peso corporal (g/d) durante tratamientos: CNX $2,75 \pm 0,32$ (ES), CHX $1,69 \pm 0,13$, DNX $0,90 \pm 0,16$, DHX $-0,67 \pm 0,21$. 2) Peso final (g): CNX $196,8 \pm 6,7$, CHX $170,8 \pm 4,4$, DNX $147,2 \pm 4,4$, DHX $102,9 \pm 3,1$. Las propiedades geométricas y estructurales óseas mostraron descensos significativos inducidos por HX o D en relación a CNX, siendo mayores en todos los parámetros estudiados cuando HX y D fueron aplicados simultáneamente. No se observaron modificaciones demostrables a nivel de las propiedades materiales en respuesta a HX o D. La combinación de ambos tratamientos, HX y D, las modificó negativamente. **CONCLUSION** El tratamiento de ratas prepúberes con dexametasona e hipoxia en forma simultánea disminuye significativamente el valor de los parámetros indicadores de las propiedades materiales intrínsecas del tejido compacto, fenómeno no observado cuando los tratamientos son aplicados separadamente. *Proyectos UBACYT 20020100100067 y 20020100100389*
cbozzini@free.fr

125

BIOMECANICA OSEA EN RESPUESTA A FENILEFRINA EN EL RETARDO DEL CRECIMIENTO

Agüero Romero A*, Lezón C, Pintos P, Chiarenza A, Champin G, Alippi RM, Bozzini C, Boyer PM. Cátedras de Fisiología y de Bioquímica General y Bucal, FOUBA

Existe evidencia de que los receptores β 2-adrenérgicos median los efectos del SNS sobre el esqueleto con resultados controversiales respecto de la participación de los α -adrenoceptores. **OBJETIVOS:** Evaluar: a) el efecto de diferentes dosis de fenilefrina (FE) sobre las propiedades estructurales óseas en un modelo de retraso crónico del crecimiento de origen nutricional (RCCN), y b) su comparación con el efecto de un β -bloqueante como el propranolol (P). **METODO:** Ratas macho Wistar de 21 días se dividieron en Control (C), C+P (CP), C+FE2 (CFE2), C+FE4 (CFE4), C+FE6 (CFE6), RCCN, RCCN + P (RCCNP), RCCN+FE2 (RCCNFE2), RCCN+FE4 (RCCNFE4) y RCCN+FE6 (RCCNFE6). C con/sin FE ó P fueron alimentadas *ad libitum*; RCCN con/sin FE ó P recibieron un 80% de la dieta de C durante 4 semanas (T4). Durante 4 semanas, FE 2, 4 y 6 mg/Kg/día se administró ip en CFE2 y RCCNFE2, en CFE4 y RCCNFE4 y en CFE6 y RCCNFE6, respectivamente; P 7mg/Kg/día ip, en CP y RCCNP. A T4, se autopsiaron los animales y se evaluaron la carga de fractura, la carga elástica límite y la rigidez femoral y mandibular mediante un test de flexión a tres puntos (Instron 4442). Los resultados se analizaron por ANOVA y Student-Neuman-Keuls. **RESULTADOS:** El crecimiento corporal, óseo y las propiedades estructurales del fémur y la mandíbula fueron negativamente afectados en RCCN vs C ($p < 0.01$). No se modificaron los parámetros morfo-antropométricos frente a FE y P independientemente de la condición nutricional ($p > 0.05$). FE4 y P previnieron los efectos negativos del estrés nutricional sobre la competencia mecánica femoral sin cambios evidentes en la mandíbula de RCCN con FE4. **CONCLUSIONES:** Los resultados evidencian a) una respuesta diferencial entre el fémur y la mandíbula relativa a la participación de α -adrenoceptores en el proceso de modelado-remodelado óseo, b) que la fenilefrina 4mg/Kg/día mejora la competencia mecánica femoral en ratas RCCN, c) que la mayor calidad ósea se alcanza con propranolol 7mg/Kg/día en ambos huesos de ratas RCCN. UBACyT 070.

alan_braian_ar@hotmail.com

126

RELACIÓN ENTRE EL CONSUMO CRÓNICO DE ALCOHOL Y EL DAÑO PERIODONTAL

Surkin, PN*; Ossola, CA; Ortega, G; Mohn, CE; Elverdin, JC; FernandezSolari, J
Cátedra de Fisiología, FOUBA

OBJETIVO: evaluar los efectos del consumo crónico de alcohol sobre el desarrollo de periodontitis en ratas. **METODO:** los ensayos se realizaron siguiendo las normas del Comité de Ética de FOUBA. El daño periodontal se indujo por inyecciones gingivales (GI) de solución fisiológica (SF) o de LPS (2mg/ml) de *E. coli*, 3 veces por semana durante 6 semanas. El consumo de alcohol se indujo con etanol al 20% como única fuente de bebida, por 4 meses. Grupos experimentales (n=8): (1) Ratas que consumieron agua (RA); (2) Ratas que consumieron etanol (RE); (3) RA inyectadas con SF; (4) RE-SF; (5) RA inyectadas con LPS; (6) RE-LPS. Se evaluó la pérdida ósea alveolar y el estado inflamatorio en los tejidos GI, glándulas submaxilares (GSM) y plasma, midiendo TNF α por ELISA y actividad de NOSi por radioconversión. El análisis de datos fue por ANOVA de 2 vías. **RESULTADOS:** El consumo crónico de alcohol incrementó el TNF plasmático ($p < 0.05$) pero no alteró los parámetros inflamatorios de encías y GSM, ni en la pérdida ósea alveolar, medida como la suma de las distancias entre el límite amelo-cementario y la cresta alveolar lingual de las raíces de los primeros molares inferiores (3.86 ± 0.37 mm), respecto a su control (3.30 ± 0.33 mm). Sin embargo, el consumo de alcohol exacerbó el daño incipiente inducido por las inyecciones GI de SF (3.72 ± 0.24 mm), a partir de un aumento en la pérdida ósea alveolar (4.71 ± 0.51 mm, $p < 0.025$). Adicionalmente, el consumo de alcohol produjo un incremento en la actividad de NOSi en encías ($p < 0.025$) y GSMs ($p < 0.01$), y en el contenido de TNF α en GSMs ($p < 0.01$) de ratas con inyecciones de SF. Contrariamente, el consumo crónico de alcohol no alteró significativamente la pérdida ósea inducida por las inyecciones de LPS ni los parámetros bioquímicos evaluados en las mismas condiciones, respecto al grupo no alcoholizado. **CONCLUSION:** El consumo de alcohol al 20% durante 4 meses genera efectos diferenciales en la salud bucal de ratas, dependiendo de su estado fisiopatológico: la condición inflamatoria se agravaría cuando el daño periodontal es incipiente, pero no cuando está ausente o incluso cuando es severo, esto último, posiblemente por activación de mecanismos de tolerancia a citoquinas. Subsidio CONICET PIP 076/12, período 2012-2014.

nicosurkin@hotmail.com

127

MICROAMBIENTE MÉDULAR ÓSEO Y BIOMECAICA FEMORAL EN RATAS RCCN: EFECTO DEL PROPRANOLOL

Lezón CE¹, Tasat D^{2,3}, Astort F³, Pintos PM^{1*}, Champin G¹, Bozzini C¹, Friedman SM⁴, Boyer P¹.

¹Cátedras de Fisiología, ²Histología, ⁴Bioquímica, FOUBA, ³Escuela de Ciencia y Tecnología, UNacional de San Martín

OBJETIVO: Evaluar la expresión de IL-6, TNF α e IL-10 en médula ósea como posibles mediadores involucrados en modificaciones del remodelado óseo con consecuencias negativas sobre la calidad ósea en un modelo animal de retardo del crecimiento (RCCN) con/sin propranolol. **MÉTODOS:** Ratas macho Wistar de 21 días se dividieron: Control (C), C + P (CP), RCCN y RCCN+ P (RCCNP). C y CP recibieron una dieta para roedores *ad libitum*; RCCN y RCCNP recibieron un 80% de la misma dieta que C y CP, respectivamente, durante 4 semanas. P (7mg/Kg/día) fue inyectado ip, 5 días/semana/4 semanas en CP y RCCNP. C y RCCN recibieron solución salina. Se registraron peso y longitud corporales y consumo de alimento. A T final se determinaron α -telopéptido carboxilo terminal del colágeno tipo I (α -CTX) y osteocalcina en suero; se extrajeron ambos fémures para la determinación de los parámetros biomecánicos óseos (Instron 4442) y de mRNA de citoquinas en médula ósea. **RESULTADOS:** La restricción indujo efectos negativos en el peso y longitud corporales ($P < 0.001$) y en las propiedades estructurales y geométricas óseas ($P < 0.001$), con optimización de la competencia biomecánica en las ratas RCCNP. α -CTX fue significativamente mayor en RCCN respecto de los grupos restantes ($p < 0.01$). No hubo diferencias significativas en α -CTX entre CP, RCCNP y C ($p > 0.05$). Osteocalcina, no presentó diferencias significativas entre grupos ($p > 0.05$). En médula ósea, mRNA para IL-6 e IL-10 presentaron diferencias significativas entre grupos ($P < 0.05$), siendo RCCN significativamente menor que RCCNP ($P < 0.01$), C ($P < 0.05$) y CP ($P < 0.05$). mRNA para TNF- α presentó diferencias significativas entre grupos ($P < 0.001$), siendo RCCN significativamente mayor que RCCNP ($P < 0.05$), C ($P < 0.001$) y CP ($P < 0.001$). **CONCLUSIONES:** Los resultados del presente estudio sugieren a) un microambiente proinflamatorio en médula ósea de RCCN que resulta en un desbalance del remodelado óseo a expensas de un incremento de la resorción ósea con consecuencias negativas sobre la competencia mecánica femoral; b) el propranolol, en el régimen administrado, revierte dicho microambiente con disminución de la osteoclastogénesis y adecuación de la calidad ósea en las ratas RCCN. UBACyT 070.

pmpintos_64@hotmail.com

128

PERIODONTITIS. CORRELACIÓN ENTRE HALLAZGOS CLÍNICOS Y UN MODELO EXPERIMENTAL EN LA RATA.

Miozza V^{1*}, Sánchez G², Busch L¹.

¹Cátedras de Farmacología¹ y Biofísica², Facultad de Odontología, UBA.

OBJETIVO El objetivo del presente trabajo fue determinar si la composición de la saliva no estimulada de pacientes con enfermedad periodontal (EP) refleja los cambios que se registran en la actividad basal de las glándulas salivales en un modelo de periodontitis experimental en la rata. **MÉTODOS:** La EP se indujo en ratas macho Wistar (6/grupo) colocando, bajo anestesia con ketamina y xilazina (50 y 5 mg/k, respectivamente), una ligadura alrededor de los dos primeros molares del maxilar inferior. Sujetos (20/grupo): individuos de ambos sexos, mayores de 21 años, no fumadores, sin enfermedades sistémicas ni bajo atención o tratamiento odontológico o médico, a los que se les realizó un examen incluyendo profundidad y hemorragia gingival al sondaje, pérdida de inserción y estado de inflamación gingival. Criterios de EP crónica según Page y Eke (2007). La concentración de mucina (MU), prostaglandinas (PG), leucotrienos (LK), nitritos (NI), nitratos (NA) y actividad de amilasa (AM) se determinaron por métodos colorimétricos y la actividad de la óxido nítrico sintasa (ONS) midiendo la conversión de L-[³H]-arginina. Se utilizó ANOVA, considerando significativa una $p < 0,05$. **RESULTADOS** En las glándulas submaxilares de las ratas con periodontitis la secreción basal de MU y la concentración de LK estaban aumentadas (MU $\mu\text{g}/\text{mg}$: $2,3 \pm 0,2$ vs $3,3 \pm 0,3$ $p < 0,05$; LK pg/mg : $1,2 \pm 0,05$ vs $2,2 \pm 0,25$ $p < 0,001$). En la parótida se registró un aumento en la actividad y secreción de AM (U/mg: $17,1 \pm 1,1$ vs $21,2 \pm 1,5$ y $1,4 \pm 0,11$ vs $1,8 \pm 0,13$, respectivamente, $p < 0,05$), en la concentración de PG (pg/mg: 23 ± 2 vs 34 ± 3 $p < 0,05$) y en la actividad de ONS (pmol/g: 1065 ± 99 vs 1850 ± 180 $p < 0,01$). En la saliva de pacientes con EP se registró un aumento en los valores de MU (mg/ml: $1,9 \pm 0,12$ vs $2,9 \pm 0,08$ $p < 0,001$), AM (U/ml: $89,6 \pm 11$ vs $129,7 \pm 9$ $p < 0,01$), PG (pg/ml: $73 \pm 8,9$ vs $219 \pm 23,5$ $p < 0,001$), LK (pg/ml: 239 ± 17 vs 379 ± 19 $p < 0,01$), NI ($\mu\text{mol}/\text{l}$: $288,5 \pm 18,3$ vs $528,6 \pm 21$ $p < 0,001$) y NA ($\mu\text{mol}/\text{l}$: $530,2 \pm 43,3$ vs $972,4 \pm 43$ $p < 0,001$). **CONCLUSION** Nuestros resultados demuestran que la EP induce cambios en la composición salival de los pacientes y que esos cambios se correlacionan con los registrados en el modelo experimental, por lo que el protocolo de periodontitis experimental resulta útil para el estudio de su fisiopatología.

valeriamiozza@gmail.com

129

INTERLEUQUINA1B Y ESTRÉS OXIDATIVO EN SALIVA DE PACIENTES POST-INFARTO DE MIOCARDIO.

Ramos C*1, Rubio MC2-3, González PM4, Lewin P2, Puntarulo S4, Álvarez E5, Friedman S1, Nicolosi L2-3
Cátedras de Bioquímica1 y Patología y Clínica Bucodental2, FOUBA. División Cardiología Hospital Español de Buenos Aires3. Físicoquímica-PRALIB, FFyB UBA. CONICET4. Cátedra de Inmunología. FFyB-UBA-IDEHU. CONICET.

En estudios previos demostramos la presencia de EROS en saliva de pacientes con infarto agudo de miocardio (IAM). El incremento en la generación de EROS pone en evidencia la disminución de la biodisponibilidad del óxido nítrico (ON). Es sabido que en IAM aumenta la expresión de IL-1 β , lo que permitiría a posteriori recuperar la producción de ON a nivel local. **OBJETIVO:** determinar en saliva, los niveles de IL-1 β , diacetato de diclorofluoresceína (DCFH-DA) y catalasa de pacientes con IAM extenso y su grado de correlación como predictor de la capacidad de restauración de los niveles de ON. **MÉTODO:** Ingresaron pacientes (n=30) con diagnóstico de IAM a la Unidad Coronaria del Hospital Español. Buenos Aires. Se obtuvo el consentimiento informado de todos los participantes antes de su inclusión. El protocolo fue aprobado por el Comité de Ética local. El IAM se diagnosticó por criterios de elevación de biomarcadores séricos (creatinfosfoquinasa y troponina T), sumados como mínimo a uno de los siguientes criterios: dolor anginoso >20 min en reposo y cambios en el ST/T en el ECG en por lo menos 2 derivaciones contiguas. A t=24 y 48 post-IAM se determinaron en saliva total: DCFH-DA (Espectrofluorometría, u.a/min mg prot), Catalasa (CAT, Enzimático, pmol/mg prot) y a t=24, IL-1 β (ELISA, pg/ml y pg/mg prot). Los controles sanos (C) siguieron un protocolo similar (n=12). Estadística: SPSS 16, t-test de Kolmogorov-Smirnov, coeficiente de correlación de Spearman r, $\alpha=0.05$. **RESULTADOS:** Se incluyeron 19 pacientes con IAM extenso. A t24 y 48: DCFH-DA: 18.5 \pm 11.6 y 17.8 \pm 13.2; CAT: 0.68 \pm 0.44 y 0.88 \pm 0.46; IL-1 β 24: 215 \pm 171.8 pg/ml y 412.3 \pm 311.8 pg/mg prot. El grupo C mostró diferencias en todas las determinaciones bioquímicas. Se encontraron correlaciones negativas entre CAT48 y DCFH-DA24 (r=-0.658; p=0.024) y entre DCFH-DA24 e IL-1 β 24 (r=-0.548; p=0.0229). Los niveles de CAT24 no correlacionaron con IL-1 β 24. **CONCLUSIONES:** Existe una buena correlación entre DCFH-DA24 e IL-1 β 24 y entre CAT48 y DCFH-DA24. Estos resultados sugieren el rol protector de la IL-1 β en la regulación de la recuperación tisular. Subsidiado por UBACyT CO001.

bluececili@yahoo.com.ar

130

METODO PARA OBTENCION DE ODONTOBLASTOS DE RATA Y SU USO EN CULTIVOS

Pérez PL*, Rodríguez Santos IP, Cantiello HF, Cantero MR
Laboratorio de Canales Iónicos. Cátedra de Biofísica. FOUBA

OBJETIVO El objetivo de este estudio fue diseñar un nuevo método para la obtención rápida de odontoblastos pulpares de rata y su mantenimiento en cultivo para el posterior estudio de sus propiedades eléctricas mediante técnicas electrofisiológicas. **MÉTODOS** Se extrajeron los cuatro incisivos de cada rata Wistar adulta (n = 15). Los dientes se dividieron en dos grupos que se incubaron por 20-28 hrs en solución de HCl 0,5 M o 1 M (10 mL), respectivamente. Una vez disuelto el esmalte, las pulpas dentales se extrajeron por disección en condiciones estériles y se colocaron en placas de Petri conteniendo DMEM suplementado con 3% suero fetal bovino. Los odontoblastos fueron disgregados por aspersion, y distribuidos en tres grupos: sobre superficie plástica, y sobre cubreobjetos cubiertos con y sin poli-lisina. Las muestras se mantuvieron a 37°C en estufa de cultivo con 5% presión de CO₂ en aire. Las células se observaron por contraste de fase, bajo microscopio invertido (Olympus IX71). **RESULTADOS** La pulpa dental fue fácilmente extraída de los incisivos a las 20 hs para dientes sumergidos en HCl 1 M (4/4), mientras que para aquellos sumergidos en HCl 0,5 M se requirieron 28 hs para obtener resultados similares (56/56). El explante obtenido era rico en odontoblastos, lo que se comprobó por su morfología, incluidas la presencia de procesos y cilio primario. Los odontoblastos se mantuvieron viables en cultivo durante al menos 10 días, lo que se confirmó por tinción con el colorante vital Azul de Metileno (0,1%, Anedra) y permeabilización con Tritón-X (0,1%, Mallinckrodt). Los vidrios recubiertos con poli-lisina fueron los que permitieron una mayor adherencia de los odontoblastos. **CONCLUSION** Hemos desarrollado un método fácil para la obtención de odontoblastos viables para su cultivo y manipulación. Los odontoblastos adheridos a cubreobjetos con poli-lisina hacen accesibles experimentos de "patch clamp", que se han iniciado en el laboratorio. Financiación del proyecto: UBACyT 20020120100153BA

paula.perez619@gmail.com

131

RESPUESTA DEL HUESO ALVEOLAR A LA PERIODONTITIS EXPERIMENTAL EN RATAS HIPERCOLESTEROLÉMICAS

Antona ME*1, Costa OR2, Gamba AC1,3, Mandalunis PM3, Friedman SM1, Macri EV1 Cátedras 1Bioquímica General y Bucal, 2Periodoncia e 3Histología. FOUBA

En la periodontitis los eventos inflamatorios asociados con la pérdida de inserción de tejido conectivo, inducen la reabsorción de porciones coronales de hueso alveolar. La progresión de la enfermedad puede estar influenciada por condiciones locales y/o sistémicas que alteran la respuesta normal del huésped a la biopelícula. Es sabido que la enfermedad periodontal y la enfermedad cardiovascular están asociadas. Por ello, hipotetizamos que la hipercolesterolemia sistémica podría afectar el soporte dentario alveolar. **OBJETIVO:** evaluar en ratas hipercolesterolémicas la pérdida ósea alveolar inducida por periodontitis. **MÉTODOS** Se utilizaron ratas Wistar adultas controles (C) (n=6), alimentadas con dieta comercial o hipercolesterolémicas (HC) (n=6). La hipercolesterolemia se generó con dieta aterogénica durante 3 semanas previas a la periodontitis. Ésta se indujo c/ligadura en el primer molar de la hemimandíbula derecha. El molar contralateral se usó como control. A las 2 semanas se eutanizaron. En suero se midió perfil lipídico (mg/dL): colesterol total (col-T), triglicéridos (TG) y colnoHDL. Las hemimandíbulas fueron resecadas y procesadas para su inclusión en parafina. Se obtuvieron cortes histológicos orientados mesio-distal y se colorearon con H&E. Sobre microfotografías digitales se evaluó en hueso interradicular: volumen óseo [BV/TV (%)] y volumen de médula ósea [BMV/TBV(%)]. Estadística: SPSS. T-test, ANOVA+SNK. **RESULTADOS** (media±DE): HC presentó hipercolesterolemia [col-T:119±16 vs 64±05 (C) mg/dL y elevado colnoHDL:71±10 vs 19±01(C) mg/dL, p<0,001]. Todos los grupos mostraron disminución de BV/TV(%) respecto al control (p<0,01). HC sin ligadura, además presentó osteopenia con elevados niveles de BMV/TBV(%) (P= 0,0002)]. **CONCLUSION** En este modelo, la hipercolesterolemia produjo un perfil lipídico de riesgo cardiometabólico y paralelamente osteopenia en el hueso interradicular. La periodontitis, en ratas hipercolesterolémicas, no potenció la pérdida de hueso cortical de la cresta alveolar respecto de animales normocolesterolémicos. La marcada osteopenia en el hueso alveolar se homologa a la observada (según literatura) en grupos experimentales con trastornos sistémicos y enfermedad periodontal. UBACyT 20020120200098B

mauge.antona@gmail.com

132

ISOPROTERENOL ACTIVA LA SECRECIÓN NTPDASAS EN GLÁNDULA SUBMANDIBULAR DE RATA

Balcarcel N*, Barbieri Van Haaster M.M, González D.A Cátedra de Biofísica.FOUBA.

Los nucleótidos extracelulares, especialmente ATP y ADP, podrían regular importantes procesos secretorios en glándulas salivales, actuando sobre diferentes receptores P2 identificados en las membranas apical y basolateral de células acinares y ductales. Las nucleósido trifosfato difosfohidrolasas (NTPDasas) son enzimas que defosforilan nucleótidos regulando sus concentraciones y sus efectos. Previamente detectamos actividad NTPDásica en microsomas ricos en membranas de retículo endoplásmico, lo que nos llevó a preguntarnos sobre el rol que podrían tener estas enzimas intracelulares en la homeostasis del ATP extracelular. **OBJETIVOS:** investigar la secreción basal y estimulada de la glándula submaxilar (GSM) buscando encontrar y caracterizar actividad NTPDásica liberada al medio extracelular. **MÉTODOS:** GSM de ratas Wistar limpias de cápsula y ductos mayores se cortaron en fragmentos de aproximadamente 20 mm³ que se lavaron e incubaron en condiciones basales o con agregado del agonista beta-adrenérgico isoproterenol. Una vez centrifugados los medios de incubación para descartar células eventualmente desprendidas, se evaluó la actividad ATPásica midiendo el fosfato (Pi) liberado a partir de ATP con un método colorimétrico. **RESULTADOS:** Experimentos preliminares muestran que a) hay actividad ATPásica en los medios obtenidos después de incubar los fragmentos glandulares en ausencia y en presencia de isoproterenol b) tras la incubación con 0,1 mM isoproterenol, la actividad ATPásica encontrada es [redacted] iones la actividad progresivamente disminuye desde el agregado del ATP y se estabiliza en un valor que es [redacted] de la actividad inicial d) la azida sódica –inhibidor selectivo de NTPDasas– inhibe parcialmente la actividad ATPásica. La actividad total se puede considerar la suma de un componente de actividad constante y otro que se inactiva con el tiempo de reacción, atribuibles a 2 isoformas de NTPDasa, tal como se propuso para la actividad encontrada en microsomas de origen intracelular. **CONCLUSIONES:** la GSM libera una actividad ATPásica atribuible a NTPDasas que podrían participar en la regulación de la concentración de ATP y las respuestas purinérgicas en los ductos glandulares.

noe.balcarcel@hotmail.com

133

NaF INDUCE LA EXPRESIÓN DIFERENCIAL DE CONEXINA 32 y 45 DE TEJIDO PULPAR

Centeno VA*, Fontanetti PA, Interlandi V, Ponce RH, Gallará RV. Cátedra "A" de Química Biológica. Facultad de Odontología. Universidad Nacional de Córdoba.

Las moléculas de unión intercelular, como las conexinas, son importantes para el desarrollo dental puesto que intervienen en el control del crecimiento y la diferenciación celular. En trabajos previos en ratas, demostramos que la ingesta excesiva de fluoruro (F-) durante la mineralización del incisivo se acompaña de alteraciones en la actividad de fosfatasa alcalina y en la expresión de conexina 43 en tejido pulpar. **OBJETIVO:** estudiar el efecto de la exposición crónica a F- sobre la expresión de conexina 32 (Cx32) y conexina 45 (Cx45) y sobre parámetros histomorfométricos en incisivos de ratas. **MÉTODO:** ratas Wistar macho a partir de los 22 días de edad y durante 8 semanas, bebieron agua con diferentes concentraciones de NaF: a) 0,3mg/L (control), b) 10mg/L (T1) y c) 50mg/L (T2). Los animales se sacrificaron por dislocación cervical, se extrajeron sus mandíbulas para procesamiento histológico y el maxilar para obtención del tejido pulpar del incisivo. Mediante análisis de imágenes (Image Pro Plus 6.1) se analizaron parámetros histomorfométricos (número de odontoblastos/área y ancho de predentina). Empleando técnicas de biología molecular se extrajo el ARN a partir del tejido pulpar y se analizó la expresión génica de Cx32 y Cx45 mediante la técnica de RT-PCR. Los resultados fueron analizados mediante ANOVA y test de Bonferroni. **RESULTADOS:** La expresión génica de Cx32 aumentó ($p < 0,05$) y la de Cx45 disminuyó ($p < 0,02$) por la exposición a F- en el tejido pulpar de los animales del grupo T1 respecto de los controles. La dosis de F- utilizada en el grupo T2 no modificó los niveles de transcritos de ninguno de los genes estudiados. No se observaron diferencias significativas en los parámetros histomorfométricos entre los grupos experimentales. **CONCLUSIÓN:** Los resultados muestran que sólo el tratamiento con la dosis menor de NaF (10mg/L) alteró la expresión génica de Cx32 y Cx45 aunque los parámetros histomorfométricos estudiados no se modificaron con las dosis empleadas. Es posible que el efecto desencadenado por el F- sobre el tejido pulpar involucre la expresión diferencial de las moléculas de conexión intercelular presentes en el tejido, aunque el significado funcional de tal efecto aún no es claro. Este trabajo fue subsidiado por SECyT, UNC y SECyT UNLaR.

vcenteno@odo.unc.edu.ar

134

INDICADORES DE FLUOROSIS EN CRÍAS EXPUESTAS A NaF DURANTE LA GESTACIÓN Y LACTANCIA

Interlandi V*, Fontanetti PA, Ponce RH, Bojanich MA, Tirao, G, Rigalli, A, Gallará RV, Centeno VA.
Cátedra "A" de Química Biológica. FOUNC

Existe controversia sobre el pasaje del fluoruro (F-) al feto durante el periodo de gestación y lactancia. **OBJETIVO:** estudiar la acumulación de F- en huesos y dientes y el diámetro de incisivos en crías de madres expuestas a niveles elevados de NaF en el agua de bebida durante la gestación y la lactancia. **MÉTODO:** se emplearon crías de 10, 15 y 21 días de vida posnatal, provenientes de 2 grupos de madres: a) controles (0,3mg/L NaF); b) tratadas (50mg/L NaF). El tratamiento se realizó durante el periodo de gestación y lactancia. Todos los animales fueron sacrificados por dislocación cervical. Se extrajo el maxilar superior e inferior y las tibias de crías y madres para la determinación del contenido de F- expresado en $\mu\text{g/g}$ ceniza. En imágenes digitalizadas de RX se analizó el diámetro (mm) de los incisivos (Image Pro Plus 6.1). Los resultados se expresaron como la media \pm ES y fueron analizados mediante el test t Student. **RESULTADOS:** los incisivos superiores de las madres expuestas a 50mg/L de NaF presentaron el típico patrón fluorótico y el contenido de F- acumulado fue significativamente mayor en las mandíbulas respecto a lo observado en el grupo control ($p < 0,016$). En crías de 10 y 15 días nacidas de madres tratadas, el contenido de F- en mandíbulas no fue diferente respecto a las del grupo control. Sin embargo en crías de 21 días de edad el F- acumulado fue mayor (Tratadas: $121,8 \pm 21,9$ vs Control: $43,7 \pm 15,21$, $n=6$ por grupo; $p < 0,05$). No se observaron diferencias en el contenido de F- en tibias de las crías en ninguno de los grupos y edades estudiados. El diámetro del incisivo inferior fue menor en las crías de 21 días de madres expuestas a 50mg/L NaF respecto a sus controles (Tratadas: $1,06 \pm 0,01$ vs Control: $1,32 \pm 0,06$, $n=6$ por grupo; $p < 0,01$). **CONCLUSIÓN:** los resultados demuestran el pasaje del F- desde la madre a las crías sugiriendo que podría ocurrir a través de la leche durante el periodo de lactancia. Mayores estudios contribuirían a dilucidar el mecanismo de tal proceso. Este trabajo fue subsidiado por SECyT, UNC y SECyT UNLaR

centeno@odo.unc.edu.ar

135

ESTUDIO COMPARATIVO DE TOXICOS AMBIENTALES SOBRE LA BIOMECANICA O DE LA RATA

Lee CM*, Terrizzi AR, Bozzini C, Conti MI, Martínez MP. FOUBA

La intoxicación crónica con tóxicos ambientales como plomo (Pb) y aluminio (Al) afecta la síntesis de colágeno y la mineralización de la matriz ósea. La existencia de niños que viven en áreas contaminadas con estos metales pesados nos llevó a diseñar el presente estudio con el **OBJETIVO** de comparar el efecto de la intoxicación crónica por Pb y Al en el fémur y la mandíbula de ratas en crecimiento sobre la repercusión biomecánica ósea. **MÉTODO:** cuarenta y cinco ratas Wistar al destete fueron divididas en tres grupos: un grupo control que recibió agua corriente acidificada y 2 grupos experimentales intoxicados con 500 ppm de aluminio soluble o 1000 ppm de acetato de plomo, en agua de bebida acidificada durante 3 meses, alcanzando valores en sangre y hueso equiparables a los registrados en habitantes de zonas contaminadas. Los estudios biomecánicos fueron realizados en fémures y mandíbulas, como modelos de esqueleto axial y apendicular mediante un test de flexión a 3 puntos (Instron 4442). La evaluación de la concentración ósea de Pb, Al y calcio se realizó por absorción atómica en tejido mineralizado. Los resultados se analizaron por Anova y test a posteriori de Tukey. **RESULTADOS:** El peso de la hemimandíbula fue disminuido significativamente con respecto al control por acción de ambos tóxicos (Pb: -7,5 %; Al: -9,3%), mientras que la antropometría general y femoral fue afectada sólo por efecto del Pb. La carga máxima de fractura y la absorción elástica de energía (propiedades estructurales óseas) fueron afectadas negativamente ($p < 0.01$) por ambos tóxicos, al igual que el stress femoral, indicador de las propiedades materiales. En cuanto a las propiedades geométricas, solo el Al aumentó significativamente el momento de inercia femoral (C: $4,11 \pm 0,52$; Pb: $4,16 \pm 0,55$ y Al $5,58 \pm 0,75$) evidenciando una compensación ante la disminución de las propiedades materiales. La concentración de calcio en tejido mineralizado no se modificó en ninguno de los grupos intoxicados. **CONCLUSIONES:** Los resultados demuestran retardo en el crecimiento y daño en el hueso femoral y mandibular que predisponen a la fractura. El diferente comportamiento biomecánico de ambos tipos de tóxicos probablemente se deba a su diferente biodisponibilidad o mecanismo de acción sobre el hueso. UBACyT 20020110100014.

chingminglee@hotmail.com

136

INTOXICACIÓN CON PLOMO BAJO HIPOXIA AMBIENTAL: EVALUACIÓN DE PARÁMETROS INFLAMATORIOS ORALES

Terrizzi AR*, Lee CM, Bozzini C, Mandalunis PM, Fernandez Solari JJ, Conti MI, Martínez MP FOUBA

A partir de experiencias realizadas en nuestro laboratorio en un modelo de ratas en crecimiento intoxicadas crónicamente con plomo (Pb) y expuestas a hipoxia (HX), hemos descripto efectos deletéreos en tejidos dentarios y periodontales tales como pérdida ósea alveolar y aumento en la altura del ligamento periodontal. El **OBJETIVO** del presente estudio fue evaluar la modificación de la concentración de prostaglandina E_2 (PGE_2); actividad de la enzima óxido nítrico sintasa inducible (NOSi), y $TNF\alpha$ en los tejidos orales de la rata para tratar de dilucidar los mecanismos que llevan a dichos deterioros. **MÉTODO:** Ratas Wistar hembras al destete fueron divididas en 4 grupos de $n=12$ según: C (control); Pb (intoxicadas con 1000 ppm de acetato de Pb en agua de bebida x 3 meses); HX (exposición 18 h/d a 506 mbar x 3 meses) y PbHX (ambos tratamientos simultáneamente). Al finalizar el período experimental, se recolectó sangre para evaluar el contenido de PGE_2 y concentración de corticosterona, se removió el tejido gingival y las glándulas submaxilares (GSM) para la determinación de PGE_2 , $TNF\alpha$ y cuantificación de la actividad de la enzima NOSi. Las GSM fueron analizadas histológicamente en cortes coloreados con hematoxilina-eosina. Los resultados fueron analizados mediante ANOVA y test a posteriori de Tukey. **RESULTADOS:** En encía, la actividad de la NOSi se incrementó significativamente por acción de la HX (C: 0.19 ± 0.47 vs. HX: 0.41 ± 0.14) y la concentración de PGE_2 se vio disminuida significativamente por acción del Pb. En GSM, la actividad de la NOSi aumentó por efecto del Pb (C: 6.20 ± 0.81 vs. Pb: 9.90 ± 0.79) mientras que la concentración de $TNF\alpha$ no sufrió modificaciones. En dicho tejido, la HX incrementó la vascularización (cantidad de vasos sanguíneos/mm²). En plasma, la concentración de PGE_2 no se vio afectada por ninguno de los tratamientos y la de corticosterona se vio disminuída por efecto del Pb. **CONCLUSIONES:** Los parámetros inflamatorios en los tejidos orales muestran un comportamiento opuesto ante ambas variables experimentales cuando se los analiza en distintos sitios de la cavidad bucal de la rata. Esto podría deberse a los diferentes mecanismos de acción mediante los cuales el Pb y la HX deterioran a los tejidos. UBACyT 20020110100014.

anto_terri@hotmail.com

137

EVALUACIÓN HISTOPATOLÓGICA DE PULPAS DENTALES CON DIAGNÓSTICO CLÍNICO DE PULPITIS

Rodriguez P1, Renou SJ2*, Lenarduzzi A1, Martínez P1, Corominola P1, Sierra L1, Gugliemotti MB2, 3. Cátedras de Endodoncia1 y Anatomía Patológica2, FOUBA y CONICET3.

Respecto a la clasificación de las patologías pulpares, en la bibliografía se menciona que tanto profesionales clínicos como histopatólogos, han intentado correlacionar los signos y síntomas clínicos con los aspectos histopatológicos. **OBJETIVO:** evaluación histopatológica de pulpas dentales con diagnóstico clínico de pulpitis con diferente evolución. **MÉTODOS** Se estudiaron 25 pulpas humanas, de pacientes que concurrieron a la Cátedra de Endodoncia de la Facultad de Odontología de la Universidad de Buenos Aires, con diagnóstico de pulpa vital y con indicación de tratamiento endodóntico. Una vez completada la historia clínica, firmado el consentimiento informado y realizado el diagnóstico clínico radiográfico, se realizó en todos los casos la biopulpectomía total. En condiciones de anestesia infiltrativa y aislamiento absoluto se removió el tejido cariado, se accedió a la cámara pulpar con fresa redonda y se evaluó la permeabilidad de los conductos con limas K de pequeño calibre (10, 15 o 20) de acero inoxidable. Posteriormente a la extirpación del filete pulpar, se fijó en formol buffer al 10 % para su posterior procesamiento e inclusión en parafina. Los cortes longitudinales del tejido pulpar fueron coloreados con Hematoxilina-Eosina y en algunos casos con Tricrómico de Masson. **RESULTADOS** del total 25 casos 8 no se incluyeron en el estudio por ser una muestra pequeña no representativa. El estudio histológico de 17 pulpas reveló que el 65% de los casos correspondieron a pulpitis crónica, 30% a pulpitis abscedosa y el 5% a pulpitis crónica agudizada. El 35% de los casos evaluados presentó fibrohalinosis y el 42% calcificaciones distróficas. **CONCLUSIÓN** en el presente estudio preliminar detectamos que en el 70 % de los casos con diagnóstico clínico de pulpitis se correlaciona con el diagnóstico histopatológico. Subsidios: CONICET PIP 11220090100117, UBACYT 20020100100657

sandrarenou@gmail.com

138

EPIDEMIOLOGÍA DE LA PATOLOGÍA PULPOPERIAPICAL. ETIOLOGÍA Y PREVALENCIAS.

Labarta AB*, Ritacco ED, Caride OA, Rodríguez PA, Gualtieri AD, Sierra LG. Carrera de Especialización en Endodoncia. FOUBA

OBJETIVOS: El propósito de este trabajo fue establecer el sexo predominante en la muestra, analizar el grupo etario de mayor prevalencia de tratamientos, identificar la pieza dentaria y el sector más afectado, conocer la etiología de la afección pulpar y determinar el tipo de patología predominante. **MÉTODO:** Se analizaron 1312 historias clínicas de pacientes, tratados entre marzo 2007- noviembre 2008 en la Clínica de Posgrado de F.O.U.B.A, de ambos géneros y más de 10 años de edad. Las variables registradas fueron sexo, edad, número de pieza tratada, sector más comprometido, etiología de la afección pulpar y el tipo de patología. Se utilizaron pruebas de bondad de ajuste de Chi cuadrado y se compararon frecuencias observadas con frecuencias esperadas bajo el supuesto de igualdad de número de casos entre grupos. **RESULTADOS:** El sexo femenino mostró la mayor incidencia de tratamientos, 58% (Chi-cuadrado = 31,72; gl = 1; p < 0,05). La mayor frecuencia se presentó en la segunda década de la vida, 27% (Chi-cuadrado = 971,02; gl = 8; p < 0,05). Los sectores posterosuperior y posteroinferior fueron los más afectados con un 39% en cada caso (Chi-cuadrado = 480,99; gl = 3; p < 0,05). Los primeros molares inferiores presentaron la mayor cantidad de tratamientos con un 19% (Chi-cuadrado = 970,20; gl = 31; p < 0,05). La caries fue la causa de mayor prevalencia, 83% (Chi-cuadrado = 3308,04; gl = 4; p < 0,05). La patología de mayor incidencia fue la pulpitis con un 54% (Chi-cuadrado = 346,96; gl = 2; p < 0,05). Dentro de las necrosis los casos con lesión periapical representaron el 44%, y los casos sin lesión alcanzaron el 56% (Chi-cuadrado = 6,6; gl = 1; p < 0,05). **CONCLUSIONES:** De acuerdo a lo observado establecemos que en el sexo femenino se realizaron la mayor cantidad de tratamientos. La mayor frecuencia se encontró entre los 20 y 29 años. La mayor prevalencia se observó en el sector posterior, tanto inferior como superior. Los primeros molares inferiores fueron las piezas más tratadas. La caries fue la etiología de mayor prevalencia y la pulpitis fue la patología de mayor incidencia de tratamientos.

doclabarta@hotmail.com

139

FRECUENCIA DE APARICION DEL SEGUNDO CONDUCTO MESIOVESTIBULAR EN LOS PRIMEROS MOLARES SUPERIORES PERMANENTES.

Martinez PA*, Buldo MA, Corominola PL, Lenarduzzi AL, Rodríguez PA.
FOUBA

OBJETIVO: El propósito de este estudio fue determinar clínicamente la frecuencia de aparición del segundo conducto radicular mesiovestibular del primer molar superior y determinar la frecuencia de desembocadura del conducto en uno o más forámenes apical. **MÉTODOS:** Se realizó el tratamiento de conducto en 55 pacientes con derivación a endodoncia del primer molar superior permanente, realizado siempre por el mismo operador y utilizando conductos radicales en presencia de uno o más conductos y se determinó el número de forámenes apicales simultáneamente a una longitud mayor a la del conducto. Se calculó la probabilidad de encontrar al menos un conducto al calcular intervalos de confianza del 95% de porcentajes de conductos presentes en los molares tratados la raíz mesiovestibular presentando uno o más conductos radicales desembocando en un solo foramen apical, el 50,91% [IC₉₅=(20,28%; 44,05%)] presentaron dos conductos radicales con un solo foramen apical y el 47,27% [IC₉₅=(34,69%; 60,21%)] presentaron dos conductos radicales con un foramen apical independiente cada conducto. **CONCLUSIÓN:** La presencia de un segundo conducto mesiovestibular como así la frecuencia de desembocadura en un foramen apical independiente presentan una alta frecuencia de aparición, por lo tanto, durante la terapia endodóntica debe realizarse una exploración minuciosa del piso cameral, en busca de localizar y tratar el conducto, aumentando de esta manera las probabilidades de éxito de nuestro tratamiento a largo plazo.

NO SE PRESENTÓ

martinezpablo@hotmail.com

140

EL PLANO DE OCLUSIÓN EN DESDENTADOS PARA CONSTRUIR PRÓTESIS REMOVIBLES

Vera MM*, Pescio JJ, Ponce RH.
Facultad de Odontología Universidad Nacional de Córdoba

OBJETIVOS Determinar el punto anatómico posterior que conformará el plano protético más paralelo al reborde residual, y evaluar en cuál plano oclusal propuesto la acción masticatoria cae perpendicular al reborde residual. **MÉTODO:** En personas de ambos sexos (n=40), 50-70 años, que concurrieron a la Facultad de Odontología, UNC, se realizaron registros intermaxilares. Se localizaron tres marcadores radiográficos sobre el trago, uno a la altura de la nariz y dos en el maxilar inferior. Las telerradiografías de perfil fueron escaneadas con el equipo Hp Sanjet G3110 y procesadas con el software Imagen ProPlus, para registrar las líneas: ala de la nariz y puntos superior, medio e inferior del trago, del reborde del maxilar superior e inferior, la oclusal y la mandibular (punto de unión de mucosa y semimucosa del labio inferior con el punto de unión del tercio inferior y los dos tercios superiores de la papila piriforme). La relación entre las líneas establecidas proporcionó diferentes ángulos que se expresaron como la media ± Desviación Estándar. Para evaluar los ángulos se aplicó el análisis de varianza (ANOVA) y test de Student. **RESULTADOS:** Al relacionar las diferentes líneas registradas, los valores angulares significativos se establecieron con la línea del ala de la nariz-trago inferior. El ángulo establecido entre la línea del reborde maxilar superior relacionada con la línea del ala de la nariz-trago inferior registró un valor de -5.11 ± 8.18 . La línea del reborde maxilar inferior relacionada con el ala de la nariz-trago inferior estableció un ángulo de -2.47 ± 9.25 . El ángulo que se obtuvo entre la línea mandibular y el ala de la nariz-trago inferior fue de -3.73 ± 6.71 . Cuando se relacionó la línea oclusal con el ala de la nariz-trago inferior el ángulo obtenido fue de -2.81 ± 5.60 . Las diferencias angulares entre las cuatro líneas analizadas no resultaron estadísticamente significativas ($p > 0.05$). **CONCLUSIÓN:** La línea formada por el ala de la nariz y el punto del trago inferior guarda una relación casi paralela con los rebordes residuales superiores e inferiores, por lo que las fuerzas generadas por la oclusión artificial caerán en forma perpendicular a los rebordes.

monyalb@hotmail.com

141

EVALUACIÓN DEL CONOCIMIENTO DE LAS LIMITACIONES Y RIESGOS DEL BLANQUEAMIENTO DENTAL

Souza GC, Oliveira BCA*, Melo CC, Silva NR, Pereira LCG.
Centro Universitário de Anápolis, UniEVANGÉLICA– Brasil

OBJETIVO Evaluar el conocimiento de los pacientes con relación a los riesgos y limitaciones del blanqueamiento dental. **MÉTODOS:** La recopilación de los datos fue realizada a través un cuestionario, previamente validado, auto aplicable con 16 preguntas, donde fue analizado que tipo de blanqueamiento fue realizado, si el paciente fue informado sobre los riesgos del blanqueamiento dental y si hubo algún efecto colateral durante o después del tratamiento. Seiscientos cuestionarios fueron contestados por individuos del municipio de Anápolis-GO y alrededores. La amostrage fue aleatoria, donde cada persona en la población tuvo la misma probabilidad de ser incluida. Las respuestas se introdujeron en una planilla de Excel y los resultados fueron descritos en porcentajes y el teste Qui-cuadrado en las comparaciones entre dos grupos con nivel de significancia de 5%. **RESULTADOS:** La mayoría (59,3%) de los participantes hicieron el blanqueamiento dental debido a la insatisfacción personal con la coloración de los dientes y 18,5% (111) lo realizaron por sugerión del profesional. De estos 76,3% recibieron informaciones orales o escritas de los profesionales a respecto de las limitaciones y riesgos del blanqueamiento dental y por lo tanto conocía los riesgos y limitaciones de la técnica. Fueron señaladas complicaciones (62,4%) durante el procedimiento del blanqueamiento dental, en su gran mayoría fue citada la sensibilidad dental. El método de blanqueamiento más utilizado entre los participantes fue el blanqueamiento casero realizado con cubetas (51,5%). No hubo diferencias cuando fueron comparados los géneros con la sensibilidad señalada tanto de la técnica del blanqueamiento casero, como la de consultorio ($p=0,675$). Con relación a la firma de algún término de aclaración y consentimiento para realización de la técnica, apenas 17,3% señalaron haber firmado algún documento. Los resultados apuntan que hay una tendencia de mayor preocupación para firmar este término cuando se trata de blanqueamiento en el consultorio ($p < 0,0005$). **CONCLUSIONES:** La mayoría de los pacientes conocen los riesgos y limitaciones del blanqueamiento dental. Apoyo: FUNADESP IC 14.05.12-3500589/PBIC-UniEvangélica 2012. luciausp@yahoo.com.br

142

COMPOSICIÓN QUÍMICA Y ADAPTACIÓN A LA PARED PULPAR DE TRES CEMENTOS ENCAPSULADOS PARA RESTAURACIÓN.

Rozas C*, Hernando L, Rodriguez IA, Braín L, Molina G, Uribe Echevarría J.
Cátedras de Histología, Operatoria Dental, Materiales Dentales, Odontología Preventiva y Comunitaria I, SECyT FOUNC Argentina.

OBJETIVOS: Analizar la composición química de tres cementos de ionómero de vidrio (CIV) para restauración mediante microsonda electrónica (EPMA) y evaluar la adaptación en la interface dentina-ionómero por microscopía confocal laser de barrido (CLSM). **MÉTODOS:** Se confeccionaron 18 cavidades Clase 1 oclusales simples de 4 x 4 x 4mm, en el centro de la cara oclusal de terceros molares, extraídos por razones ortodóncicas, que fueron obturadas con tres CIV encapsulados para restauración, siguiendo las instrucciones del fabricante (IF). Se conformaron tres grupos: Grupo 1: EQUIA Fil (GC América); Grupo 2: Chemfil Rock (Densply/DeTrey); Grupo 3: Glass Carbomer Fil (GCP Dental), únicamente en este biomaterial se aplicó calor mediante una lámpara LED con una intensidad de 1400mW/cm² por 60 segundos a 60° Celsius durante el fraguado (IF). Para evaluar la adaptación dentina-biomaterial los dientes fueron cortados en sentido buco-lingual con Isomet-1000 y observados con CLSM, por fluorescencia, transmisión y stacks, midiéndose la interface en 10 puntos de la pared pulpar. Los resultados fueron analizados estadísticamente mediante ANOVA y prueba de Mann-Whitney. Para valorar la composición química de cada material los cortes fueron metalizadas con Au-Pd y mediante EPMA (JEOL JXA8230 Superprobe, Japan) se determinó el contenido de Carbono, elemento vinculado a la composición orgánica de los CIV. **RESULTADOS:** La concentración de carbono fue: Glass Carbomer Fil 37,6%, Chemfil Rock 32,0% y EQUIA Fil 29,8%. En la adaptación interfásica Glass Carbomer Fil se diferenció significativamente del resto de los grupos ($p < 0,01$) al registrar valores de interface de 2,25µm, en tanto que EQUIA Fil presentó las interfaces más bajas (0,47µm), con diferencias estadísticamente no significativas ($p > 0,05$) respecto a Chemfill Rock (0,60µm). **CONCLUSIÓN:** Los mayores valores de adaptación se verificaron en EQUIA Fil, seguido de Chemfil Rock y los menores valores se registraron en Glass Carbomer Fil. Estos datos se correlacionarían con la concentración de carbono en estos biomateriales, ya que el incremento en la concentración de material orgánico y la aplicación de calor en Glass Carbomer Fil podrían ser los responsables de cambios volumétricos durante su fraguado y la formación de interfaces. od_carlosrozass@hotmail.com

143

DETECCIÓN DE CARIES INTRACAVITARIA CON MÉTODO FACE Y SU ELIMINACIÓN CON FRESAS DE POLÍMERO.

Uribe Echevarría A*, Saravia ME, Nome C, Rodriguez IA, Rozas C, Uribe Echevarría J. Facultad de Odontología UNC, Facultad de Odontología UNT, CIAP INTA. Argentina.

OBJETIVO: el objetivo del trabajo fue evaluar la eliminación de dentina cariada, utilizando fresas de polímero de vidrio y fluorescencia inducida por luz o método FACE (Fluorescence Aided Caries Excavation). **MÉTODO:** Se utilizaron 12 terceros molares humanos. El diagnóstico de dentina cariada se realizó a través de la Cámara Intrabucal de Fluorescencia LED azul VistaProof Plugs & Go (VistaProof PLUG & GO, Dürr Dental GE), con método FACE y los siguientes parámetros: 1) Color rojo: refleja la fluorescencia de las porfirinas como productos metabólicos de las bacterias presentes en dentina cariada que indicaría las áreas infectadas con bacterias, que debe ser eliminada; 2) Color azul-celeste: la desmineralización del tejido; 3) Color verde: tejido sano que no se debería eliminar. La eliminación de caries se realizó a baja velocidad, con fresa de polímero cerámico SmartBurs II (SS White USA) y fue realizada por un operador calibrado. La secuencia de la eliminación del tejido y el trabajo de las fresas de polímero, fue registrado con el método FACE. Para observar la presencia de bacterias viables en dentina cariada se tomaron biopsias de dentina, las mismas se colocaron en Eppendorf y se fijaron con solución de glutaraldehído al 2.0% y de paraformaldehído al 2.0%, se contrastaron con tetróxido de osmio al 1.0% y acetato de uranilo al 0.5% y se incluyeron en resina de baja viscosidad Spurr. Los cortes de 70nm se contrastaron con citrato de plomo pH 12 y acetato de uranilo al 2%, para ser observados con microscopio electrónico de transmisión MET (Jeol Japan). **RESULTADOS:** a) Se pudo observar que la dentina cariada emitía fluorescencia roja al ser analizada por el método FACE, dato que fue corroborado con MET al identificar en esa dentina bacterias en división celular; b) Se determinó la destrucción de la fresa de polímero cuando encontró dentina desmineralizada-afectada y sana. **CONCLUSIÓN:** el método FACE posibilitó la detección de bacterias en dentina infectada evitando la eliminación de tejido sano a través de las fresas de polímero de vidrio.

andreaue9@hotmail.com

144

ESTUDIO COMPARATIVO IN VITRO DE SISTEMAS ADHESIVOS EN ESMALTE PRIMARIO

Picca M, Garrofé A*, Cortese G, Biondi AM
Cátedras Odontología Integral Niños y Materiales Dentales, FOUBA.

La simplicidad en la técnica de los sistemas autoacondicionantes ofrece una alternativa asequible en la clínica odontopediátrica. **OBJETIVO** comparar ex vivo la adhesión a esmalte de piezas primarias de sistemas adhesivos autoacondicionantes con y sin grabado ácido previo y un sistema adhesivo de grabado total. **MÉTODOS** Se fijaron 29 probetas de composite Z 100 A2 (3M) sobre superficies planas de esmalte de piezas primarias utilizando cuatro sistemas adhesivos: tres con y sin grabado ácido previo: Single Bond Universal (SBUG) y (SBU), Adper Easy One (AEOG) y (AEO), y GC Bond (GBG) y (GB); y uno, Single Bond con grabado total (SBG) únicamente. Se formaron 7 grupos según el sistema adhesivo utilizado. Luego de limpiar mecánicamente el esmalte con piedra pómez y agua se confeccionaron probetas cilíndricas de composite de 3 x 8 mm, y se almacenaron en agua destilada a 37°C durante 24 horas. Se determinó la resistencia adhesiva bajo tensión tangencial en una máquina universal para ensayos mecánicos (Instron Corporation). Los resultados obtenidos fueron sometidos a análisis de varianza. **RESULTADOS:** La resistencia adhesiva al corte registrada para cada material en esmalte fue: SBUG 9,47 (2,13); SBU 9,68 (5,31); GCG 9,40 (2,67); GC 5,42 (0,97) AEOG 15,24 (1,65) y AEO 4,03 (2,38) Y SBG 14,5 (4,4). El análisis de los resultados obtenidos con ANOVA mostró la existencia de diferencias estadísticamente significativas entre los diferentes tratamientos, materiales y su interacción ($p < 0.05$). **CONCLUSIONES** Los sistemas adhesivos autoacondicionantes, presentan mejores valores de resistencia adhesiva al corte cuando el esmalte primario es previamente grabado con ácido fosfórico. Este trabajo fue parcialmente financiado por el subsidio 20020120100109 de la Programación Científica de la Universidad de Buenos Aires.

analiagarrofe@gmail.com

145

ESTUDIO CLÍNICO RESTAURADOR A TRAVÉS DE DIFERENTES TÉCNICAS ADHESIVAS EN LESIONES

Busleiman F*, Sezín M, Lutri P, De Leonardi G, Francia C, Gimenez M, Spadillero de Lutri M.

Cátedras de Operatoria II "B" y I "A" y Departamento de Rehabilitación Bucal. FOUNC.

El tercio gingival dentario llamado zona 3 por Mount y Hume, es asiento de lesiones cariosas (LC) y no cariosas (LNC). El tratamiento de estas lesiones podrá establecerse a través de diferentes técnicas adhesivo-restauradoras mediante el empleo de adhesivos de grabado independiente (GI) o adhesivos autocondicionantes (A). **OBJETIVO:** evaluar clínicamente las restauraciones de las lesiones del tercio cervical, tratadas con resinas compuestas empleando distintos sistemas adhesivos. **MÉTODOS:** Se realizó un estudio en 40 pacientes con lesiones cervicales cavitadas LC y LNC. Se restauraron 175 lesiones que asentaban en dentina media (3.2 según clasificación de FDI) y se monitoreó su comportamiento. Se dividieron en dos grupos las LC y las LNC. A cada grupo se le realizaron restauraciones con resina de media densidad fotopolimerizables Z350 (3M), con dos tipos diferentes de técnicas adhesivas. A: Adper Single Bond 2 (3M) de GI y B: Adper Easy One (3M) A, siguiendo en cada caso las técnicas y recomendaciones del fabricante. Se recitaron los pacientes a los 7 días, 3 y 6 meses, evaluando: permanencia de las restauraciones, decoloración marginal, desadaptación marginal, formación de caries y sensibilidad postoperatoria. Los resultados fueron evaluados mediante prueba $\chi^2_{(n-1)}$ -p-valor <0.05 para significancia estadística. **RESULTADOS:** se evaluaron 139 restauraciones, 60 (43%) en LC y 79 (57%) en LNC, de las técnicas adhesivas 66 (47%) con A y 73 (53%) con GI, las LC 32 (53%) llevaron técnica A y 28 (47%) GI, las LNC 34 (43%) A y 45 (57%) GI. La permanencia de las restauraciones se vio afectada a los 6 meses con 1 pérdida parcial y 2 totales en el grupo LNC tratadas con GI, no siendo las diferencias estadísticamente significativas. No se manifestaron cambios en los lapsos medidos en decoloración marginal, desadaptación marginal, ni formación de caries. En los tres controles hubo mayor sensibilidad postoperatoria provocada al frío en el grupo LNC tratadas con GI (p<0.05). **CONCLUSIÓN:** dentro de las limitaciones de este estudio de 6 meses de seguimiento se pudo inferir que el comportamiento clínico de las restauraciones con GI y A fue similar para todas las variables estudiadas a excepción de una mayor sensibilidad postoperatoria cuando se restauraron LNC con GI.

fbusleiman@yahoo.es

146

FACTORES ASOCIADOS A LESIONES CERVICALES Y SU RELACIÓN CON EL PERIODONTO

Busleimán F*, Gutvay AV, Machado NB, Carnino Ferreccio ML, Brunotto M, Spadillero de Lutri MM.

Cátedra de Operatoria II "B". Facultad de Odontología. UNC

El tercio gingival dentario es zona de asiento de lesiones cariosas (LC) y no cariosas (LNC) como erosiones, abrasiones y abfracciones. **OBJETIVO:** identificar factores de hábito cultural y clínico odontológicos asociados al riesgo de lesión en tercio cervical y establecer relaciones con las condiciones periodontales. **MÉTODO:** Se realizó un estudio transversal de 75 pacientes sanos, ambos géneros de 18 a 55 años, con lesiones cavitadas, donde se evaluaron hábitos culturales, riesgo cariogénico, estado periodontal y oclusión. Las lesiones fueron caracterizadas de acuerdo a forma, fondo, tejidos involucrados y sensibilidad. Se confeccionó el odontograma donde se registraron las lesiones según clasificación FDI y la ficha periodontal para medir profundidad de sondaje, NIC, índice gingival, fenotipo periodontal y cantidad de encía insertada. Las asociaciones fueron evaluadas mediante prueba $\chi^2_{(n-1)}$ o Mann-Whitney U-p-valor <0.05 para significancia estadística. **RESULTADOS:** La población se constituyó de 48 mujeres (edad media 37,8±11,1) y 27 hombres, (media de edad 36,8±11,7). 23 pacientes presentaron LC o combinadas y 52 LNC de fondo duro. Se observaron una mayor cantidad significativa de momentos de consumo de azúcar (p=0,0160) y de encía insertada (p=0,0133) en el género femenino, entre pacientes con LC cuando se las comparó con las LNC. Los índices de placa e índice gingival fueron significativamente mayores (p<0.05) en LC tanto en varones como en mujeres. La frecuencia de cepillado fue mayor en ambos sexos en LNC (p<0,05). El bruxismo registrado fue del 47% en LC y del 67% en LNC; en las primeras predominó la gingivitis 53% y en las segundas el 96% fueron periodontitis leve sin bolsa y con pérdidas de inserción, observándose un empeoramiento en las condiciones periodontales generales en pacientes de ambos géneros. **CONCLUSIONES:** bajo las condiciones del presente estudio fue posible establecer una asociación entre factores culturales como dieta e higiene, condiciones clínicas periodontales y la presencia de lesiones cervicales.

fbusleiman@yahoo.es

147

RESISTENCIA ADHESIVA DE RESINA NANOHÍBRIDA POLIMERIZADA CON DIFERENTES FUENTES LUMÍNICAS

Piconi C*, Lutri P, Mirotti G, Monserrat N, Croharé L, Sezín M.

Cátedra de Operatoria I "A". Departamento de Rehabilitación Bucal. ABO. FOUNC.

OBJETIVO: evaluar la resistencia adhesiva al corte en dentina profunda de una resina nanohíbrida polimerizada con dos fuentes lumínicas, led y halógena. **MÉTODOS:** se emplearon 22 terceros molares sanos que fueron cortados transversalmente hasta exponer dentina profunda con micrótopo para tejidos duros Isomet (Buehler Co.). Se establecieron 2 grupos de 11 elementos cada uno. En el grupo 1 se empleo One Coat Bond SD, resina nanohíbrida Brilliant NG y se polimerizó con luz halógena (3M ESPE). En el grupo 2 se empleo una resina nanohíbrida Brilliant NG, One Coat Bond SD y se polimerizó con luz Led (LEDition Ivoclar). El adhesivo dentinario fue aplicado siguiendo las indicaciones del fabricante y polimerizado con la unidad de fotocurado correspondiente a cada grupo. La resina compuesta fue condensada en cilindros plásticos de 5mm de alto por 3mm de diámetro con técnica incremental oblicua, con un espesor de 1,5mm cada capa y fotopolimerizada en el grupo 1 con luz halógena mediante técnica de subpolimerización por 40 segundos cada capa. En el grupo 2 se empleo una unidad de fotocurado Led con subpolimerización por 20 segundos cada capa. Las muestras fueron conservadas en atmósfera de 100% de humedad por 72 horas. Las pruebas de resistencia adhesiva al corte se realizaron con una máquina de ensayo universal cuya velocidad de cabezal fue de 0,5mm por minuto. Los datos obtenidos fueron sometidos a Análisis de Varianza, $p > 0.05$ para significación estadística. **RESULTADOS:** a) los valores en MPa de resistencia adhesiva al corte en el grupo 1 fueron de $15,71 \pm 4,88$ y en el grupo 2 de $15,78 \pm 6,34$. b) las diferencias entre grupos (luz halógena y luz Led) no fueron estadísticamente significativas ($p > 0.05$). **CONCLUSIÓN:** bajo las condiciones establecidas en el presente ensayo, las diferentes fuentes lumínicas de polimerización no influyen en los valores de resistencia adhesiva al corte obtenidos en dentina profunda.

celepiconi@hotmail.com

148

ADHESIÓN DE RESINAS NANOHÍBRIDAS EN CAVIDADES OCLUSO VESTIBULARES CON Y SIN BISEL

Piconi C*, Lutri P, Mirotti G, Kraemer M, Caballero A, Croharé L, Sezín M.

Cátedra de Operatoria I "A". Departamento de Rehabilitación Bucal. ABO. FOUNC.

OBJETIVO: evaluar la adhesión de resinas nanohíbridas en preparaciones cavitarias de clase 1 compuestas talladas por los alumnos durante los trabajos prácticos con y sin bisel en el borde cavo periférico en pared gingival de caja vestibular. **MÉTODO:** se utilizaron 8 terceros molares inferiores sanos, donde se tallaron cavidades ocluso vestibulares. Las cavidades fueron divididas en 2 grupos de 4 preparaciones cada uno, según el terminado cavo superficial, grupo 1, sin bisel, grupo 2, bisel cóncavo. Se realizó acondicionamiento adamantino con ácido fosfórico al 37%, durante 5 segundos. Se aplicó One Coat Bond SD, siguiendo instrucciones del fabricante. Se obturó con resina nanohíbrida Brilliant NG, mediante técnica incremental oblicua y polimerizadas por 20 segundos con luz led. Las restauraciones fueron pulidas y cortadas longitudinalmente en sentido buco-lingual con micrótopo para tejidos duros Isomet (Buehler Co.) y pulidas en una pulidora metalográfica (Praxis Arg.). Los cortes fueron visualizados con un microscopio óptico de transmisión, Olympus BX 50 (100x). Las mediciones en la unión esmalte-resina del borde cavo periférico de la pared gingival de la caja vestibular se realizaron en 10 puntos de 3 zonas, externa, media e interna. En total se recolectaron 150 mediciones. Las imágenes obtenidas fueron analizadas con el software para morfometría Imagen Pro-plus 4.5 calibrado a tal efecto. Los datos cuantificados fueron sometidos al test de Mann-Whitney. **RESULTADOS:** a) los valores totales de desadaptación presentaron significación ($p < 0,05$) entre el grupo 1 ($2,39 \pm 3,19 \mu\text{m}$) y el grupo 2 ($3,30 \pm 2,60 \mu\text{m}$). b) en la zona externa se encontraron diferencias significativas ($p < 0,05$) entre el grupo 1 ($3,65 \pm 4,57 \mu\text{m}$) y el grupo 2 ($4,70 \pm 2,79 \mu\text{m}$). c) en la zona media, los valores no presentaron significación ($p > 0,05$) entre el grupo 1 ($2,73 \pm 2,23 \mu\text{m}$) y el grupo 2 ($3,06 \pm 2,41 \mu\text{m}$). d) en la zona interna, hubo diferencias significativas ($p < 0,05$) entre el grupo 1 ($0,79 \pm 1,00 \mu\text{m}$) y el grupo 2 ($2,14 \pm 2,32 \mu\text{m}$). **CONCLUSIÓN:** bajo las condiciones del presente ensayo los alumnos pudieron evaluar aplicando la metodología científica que las preparaciones cavitarias ocluso vestibulares no requerirían del tallado del bisel en el borde cavo periférico de la cara libre.

celepiconi@hotmail.com

149

COMPONENTES INORGÁNICOS DEL ESMALTE SANO Y CON LESIONES CERVICALES A DIFERENTES PROFUNDIDADES

Lutri P, Francia C, Valentinuzzi M, Busleiman F*, Giménez M, Sezín M, Spadillero de Lutri M. Cátedra de Operatoria I "A" y II "B". Departamento de Rehabilitación Bucal. Facultad de Odontología. LAMARX (Laboratorio de Microscopía Electrónica y Análisis por Rayos X). FaMAF. UNC.

OBJETIVO: Evaluar los porcentajes de los componentes inorgánicos en esmalte sano, con mancha blanca y con abrasión en tres zonas superficial, media y profunda del tercio cervical. **MÉTODOS:** Se emplearon 15 elementos dentarios (premolares) que fueron divididos en grupo 1 sanos, grupo 2 mancha blanca, grupo 3 abrasión. Los dientes fueron cortados en sentido vestibulo-lingual con micrótopo de tejidos duros Isomet (Buehler Co.) a 300rpm con una presión de 50 gramos y refrigerados en forma continua. Se pulieron en pulidora metalográfica (Praxis Arg.) con discos de granulometría decreciente y paños de fieltro, se lavaron con ultrasonido y se mantuvieron en estufa a 37 grados por 24 horas. Para medir las concentraciones de los componentes inorgánicos se empleó un Microscopio Electrónico de Barrido de alta resolución que cuenta con detectores de electrones retrodifundidos que permiten relevar información topográfica y de contraste químico para valorar las concentraciones de O, F, Na, P, Cl, Ca y Mg. Para el análisis estadístico de los datos se empleó la prueba de Kruskal Wallis. **RESULTADOS:** a) Se encontraron diferencias significativas en los valores de los componentes inorgánicos, en todas las profundidades, cuando se comparó el O en esmalte sano con un valor de 41.61 vs mancha blanca con 12.83 y abrasión con 30.09, y $p=0.0004$; el F presentó en esmalte sano un valor de 0.13 y en lesión de mancha blanca 0.02, con $p=0.0088$; el Cl en abrasión mostró un porcentual de 0.60 y en esmalte sano 0.61 vs mancha blanca 20.45, con $p=0.0062$. b) Los porcentajes de Na, P, Ca y Mg no registraron diferencias estadísticamente significativas entre las diferentes lesiones y profundidades registradas. **CONCLUSIÓN** Bajo las condiciones del presente estudio pudo establecerse que los porcentajes de los componentes inorgánicos mostraron comportamientos disímiles observándose que O y F disminuyen en lesiones de mancha blanca y de abrasión, mientras que el Cl se incrementa en mancha blanca permaneciendo igual en abrasión en las tres zonas medidas.

fbusleiman@yahoo.es

150

RADIOPACIDAD DE CEMENTOS DE IONOMERO DE VIDRIO PARA PROTECCIÓN CAVITARIA

Cardoso LP*, Mendes LA, Carvalho AASA, Correia MSM, Pereira LCG. Centro Universitário de Anápolis, UniEVANGÉLICA– Brasil

OBJETIVO Evaluar la radiopacidad de cementos de ionómero de vidrio y cementos de ionómero de vidrio modificados por resina utilizados para protección cavitaria. **MÉTODOS:** Fueron utilizadas las siguientes marcas de cementos de ionómero de vidrio: Vitrebond (3M ESPE), Fuji II LC Linning (GC), Vidrion F (SS White), Magic Glass (Vigodent), Ionomaster F (Wilcos) y Ketac Molar (3M ESPE). Cinco discos (5 mm diámetro x 0,5 mm de espesor) de cada cemento fueron confeccionados utilizando matrices plásticas envueltas en aro metálico, siguiendo las instrucciones de los fabricantes. Estos fueron colocados sobre una película radiográfica junto a un disco de diente humano recién extraído, con el mismo espesor y un penetrómetro de aluminio. Se realizaron radiografías con equipo de rayos-X con un tiempo de exposición de 1 s con distancia foco-film de 40cm. Las radiografías fueron reveladas en revelador automático. En total fueron obtenidas veinticinco radiografías para comparar la radiopacidad de los materiales con las estructuras dentales y para evaluar la influencia de la sobreexposición dental en la radiopacidad de estos cementos. La radiopacidad de los cementos de ionómero de vidrio fue medida utilizando el análisis digital indirecto por intermedio del programa Adobe Photoshop 7.0, por intermedio de la herramienta histograma, obteniéndose los datos en grados de grises. Los datos fueron sometidos al análisis de la varianza (ANOVA) a 2 criterios y al test de Tukey, con nivel de significancia de 5%. Los valores obtenidos fueron convertidos en milímetros de aluminio. **RESULTADOS:** La media y desvío estándar de la radiopacidad de cada cemento de ionómero de vidrio con y sin transposición dental fueron respectivamente: Vitrebond ($7,06 \pm 0,87$; $1,87 \pm 0,27$), Fuji II LC Linning ($6,26 \pm 0,59$; $1,72 \pm 0,57$), Vidrion F ($6,13 \pm 0,09$; $1,17 \pm 0,27$), Magic Glass ($6,79 \pm 0,166$; $1,89 \pm 0,26$) y Ionomaster F ($5,28 \pm 0,16$; $1,06 \pm 0,182$) y Ketac Molar ($7,02 \pm 0,18$; $1,62 \pm 0,18$). **CONCLUSIÓN:** Los cementos Magic Glass, Vitrebond, Fuji II LC Linning Ketac Molar son más radiopacos que la dentina. La sobreexposición de estos cementos con la estructura dental aumentó los valores de radiopacidad.

luciausp@yahoo.com.br

151

REMOCIÓN DEL BARRO DENTINARIO POR IRRIGACIÓN CON ÁCIDO CÍTRICO AL 10% Y RC PREP.

Labarta AB*, Ritacco ED, Rodríguez PA, Gualtieri AD, Sierra LG
Carrera de Especialización en Endodoncia. FOUBA

OBJETIVO:El propósito de este trabajo fue evaluar con Microscopía Electrónica de Barrido (MEB), la remoción del barro dentinario utilizando ácido cítrico al 10% y RC Prep como soluciones irrigantes, al realizar la preparación quirúrgica con limas lisas tipo K y Sistema Protaper Universal. **MÉTODOS:**Se utilizaron 60 premolares inferiores humanos extraídos. La muestra se dividió en tres grupos, (n=20) para cada uno. La mitad de cada grupo se preparó con fresas Gates Glidden #3, #2, #1 y limas lisas #15 al-#40. La otra mitad se instrumentó con Sistema Protaper Universal, hasta F3. El grupo control se irrigó luego de cada cambio de instrumento con 5 ml de NaOCl al 5,25%. El grupo 1 se irrigó con ácido cítrico al 10% y el grupo 2 con RC Prep (Solución de ácido etilendiaminotetraacético al 15% + peróxido de urea al 10%). Todas las muestras se cortaron longitudinalmente y se observaron con MEB. Se tomaron 180 microfotografías a 1200X, a 2, 6 y 10 mm de la longitud de trabajo. Para comparar el *score* entre las diferentes combinaciones de irrigante, sistema de instrumentación y tercios se utilizó test de Kruskal-Wallis, seguido por comparaciones *post hoc* de a pares realizadas con el test de Tukey. **RESULTADOS:**En los tres tercios el *score* fue significativamente menor en el grupo 1 que en el control, con ambos sistemas de instrumentación. En ninguno de los tercios hubo diferencia significativa de *score* entre el control y el grupo 2. En tercios coronario y apical el *score* fue significativamente menor en el grupo 1 que en el 2 al instrumentar con limas K. Las diferencias de *score* entre ambos grupos no fueron significativas en los tercios coronario y apical al utilizar Sistema Protaper. En el tercio medio el *score* fue significativamente menor en el grupo 1 que en el grupo 2 para ambos sistemas de instrumentación. **CONCLUSIÓN:**La irrigación única con NaOCl no eliminó la capa de barro dentinario mientras que el ácido cítrico al 10% logró removerlo. Hubo erosión en algunas muestras del grupo 1, por eso es importante considerar la concentración, tiempo y edad dentaria. El RC Prep no se eliminó totalmente del interior del conducto. La remoción del barro realizada por el RC Prep fue inferior a la del ácido cítrico al 10%

doclabarta@hotmail.com

152

CARACTERIZACIÓN DE VARIABLES MORFOMÉTRICAS DEL TERCER MOLAR

Trinks P*, Pari F, Grifo B, Amer M, Sánchez GA.
Cátedras de Anatomía y Biofísica, FOUBA

OBJETIVO:El tercer molar es una pieza dentaria de interés odontológico anatómico, quirúrgico, endodóntico, protético y forense. El objetivo del trabajo fue determinar las características morfométricas de terceros molares y establecer el carácter predictivo de las mismas en cuanto a arco y lado. **MÉTODOS:**Dos operadores calibrados (Kappa = 0.83) determinaron la longitud oclusocervical vestibular (OCV) y palatina (OCP), oclusoapical (OA), diámetro mesiodistal (MD), diámetro vestibulopalatino (VP), número de raíces (R) y número de cúspides (C), de 961 terceros molares cadavéricos, superiores (n = 462) e inferiores (n = 499), mediante el uso de un calibre de mandíbula fina CONCOR 0-50 (resolución 0.01 mm). Calculamos mediana y rango para cada variable y las comparamos haciendo uso de la prueba de Mann Whitney ($p < 0.05$). Utilizamos el análisis de cluster para determinar el valor predictivo de cada variable en cuanto a arco y lado. **RESULTADOS:**De los molares superiores (MS), 50.6% correspondió al lado derecho (LD) y 49.4% al lado izquierdo (LI). De los inferiores (MI), 60.9% correspondió al LD y 39.1% al LI. No hallamos diferencias significativas para las variables en estudio para los MI según su lado. Para los MS, el MD (10.90 mm), la OCP (7.42 mm) y el R (3) resultaron significativamente mayores ($p < 0.05$) para el LD, y el C (3), mayor ($p < 0.0001$) para el LI; y, además evidenciaron significancia como factores predictivos de agrupamiento para la predicción del lado. En relación al arco, la OA (17.84 mm), la OCV (7.60 mm), el MD (11.26 mm) y el C (5), resultaron significativamente mayores ($p < 0.0001$) en los MI, mientras que el VP (10.84 mm), la OCP (7.34 mm) y el R (3) fueron significativamente mayores ($p < 0.0001$) en MS. Dichas variables evidenciaron significancia como factores predictivos para el arco. **CONCLUSIÓN:**Pese a la heterogeneidad morfométrica del tercer molar, existen parámetros característicos con valor predictivo para el arco y lado, aunque sería recomendable complementar el estudio con variables topográficas oclusales a fin de validar la capacidad predictiva de los mismos.

gabriel@odon.uba.ar

153

VARIACIONES HISTOLÓGICAS EN EL TEJIDO GINGIVAL SOMETIDO A FUERZAS ORTODÓNICAS

Gili MA*, Aguirre MV, Latyn K, Almirón MS
Facultad de Odontología. UNNE

OBJETIVO Describir las características del tejido conectivo gingival sometido a fuerzas ortodóncicas mediante microscopía óptica con técnicas de coloración histológica convencionales (H-E). La realización de esta investigación permite identificar como responde el tejido conectivo gingival a la aplicación de fuerzas contribuyendo en la elección del tratamiento más adecuado. **METODO:** Trabajo de investigación de tipo descriptivo analítico no experimental. Los pacientes de los cuales se obtuvieron 15 muestras concurren al Servicio de Ortodoncia de la Facultad de Odontología UNNE y el trabajo está aprobado por el Comité de Bioética de dicha institución. En los casos clínicos que el plan de tratamiento incluya la exodoncia de algunas piezas dentarias estas fueron previamente sometidas a fuerzas ortodóncicas a fin de facilitar su extracción disminuyendo el daño que puedan sufrir los tejidos peri dentarios como el ligamento periodontal. Las fuerzas aplicadas fueron de tipo leve con arcos iniciales elásticos, arco de *Niti 0,12* o arco de acero trenzado, *twinflex* o *coaxial*. El tiempo de aplicación de la fuerza varió entre 15 y 30 días aproximadamente. Con un bisturí de hoja N°15 se tomó una muestra de 1 a 1,5 mm de tejido gingival de la zona de encía marginal y fue fijada en frasco esterilizado con formol al 10%. Las muestras fueron analizadas mediante la observación al microscopio óptico con coloración de H/E y los parámetros usados para su evaluación fueron: presencia de células inflamatorias, necrosis, hemorragia, edema, neovascularización, proliferación fibroblástica, densidad colágena. **RESULTADOS** Los fibroblastos se evidencian paralelos a los haces de fibras lo que hace suponer su intensa actividad remodeladora durante la aplicación del movimiento ortodóncico. Los núcleos mantienen su forma elíptica de localización central y grande. A nivel del tejido conectivo de variedad fibrosa se evidencian aislados focos de hemorragia como así también tejido conectivo laxo perivascular. **CONCLUSION** Los resultados parciales obtenidos hasta el momento permiten suponer que durante el tiempo de aplicación de fuerzas ortodóncicas de entre 15 a 30 días no da lugar a cambios histomorfológicos relevantes y no se destacan importantes cambios morfológicos a nivel celular.

maqili@hotmail.com

154

DESGASTE OCLUSAL Y BIOMECÁNICA MANDIBULAR EN RATAS ADULTAS SUBMANDIBULECTOMIZADAS.

Amer M*, López Soria G, Elverdin JC, Chiarenza AP, Bozzini, C, Vacas MI. FOUBA

En trabajos previos observamos que la submandibulectomía (GSMx) modifica las características biomecánicas de la mandíbula en ratas en crecimiento. **OBJETIVO:** Evaluar la repercusión biomecánica de la GSMx en animales adultos. **METODO:** Ratas Wistar adultas (220-250g, n=24) sometidas o no a GSMx, sacrificadas a las 3 semanas, se les extrajeron las mandíbulas para determinar: 1.- desgaste oclusal de los molares inferiores (distancias entre el límite amelo-cementario y el borde oclusal, LAC/BO; 2.- morfometría alveolar (a- distancia desde la cara mesial del primer molar a la cara distal del tercer molar; b- distancias entre la línea de referencia: orificio mentoniano a orificio dentario inferior (LR) y la cresta alveolar de primer molar (h_1); LR y la cúspide media del primer molar (h_2); LR y la cúspide mesial del tercer molar (h_3); LR y la cresta alveolar del tercer molar (h_4) y c- ancho buco-lingual de la apófisis alveolar a nivel del primer molar); 3.- propiedades estructurales con un test de flexión a 3 puntos para obtener la curva carga/deformación. **RESULTADOS** (expresados como media \pm ES, test t' Student). Luego de 3 semanas la GSMx: 1.- disminuyó LAC/BO ($p < 0.001$), 2.- a) acortó la longitud del proceso molar (C: 8.32 ± 0.09 ; GSMx: 7.50 ± 0.10 mm, $p < 0.001$); b) disminuyó las alturas del área alveolar estudiada (C: $h_1: 2.47 \pm 0.11$, $h_2: 4.30 \pm 0.10$, $h_3: 2.77 \pm 0.10$, $h_4: 1.29 \pm 0.07$; GSMx: $h_1: 1.83 \pm 0.14$, $h_2: 3.61 \pm 0.12$, $h_3: 2.36 \pm 0.06$, $h_4: 1.05 \pm 0.04$; $p < 0.01$, $p < 0.001$, $p < 0.01$, $p < 0.01$ respectivamente) y c) incrementó su ancho (mm) (C: 2.70 ± 0.06 ; GSMx: 2.89 ± 0.04 ; $p < 0.05$); 3.- aumentó la rigidez ósea (R)(N/mm), carga de fractura (CF)(N) y carga máxima de fractura (CMF)(N) (C: R: 69.48 ± 4.12 , CF: 32.67 ± 3.72 , CMF: 41.48 ± 2.86 ; GSMx: R: 85.93 ± 4.24 , CF: 54.82 ± 2.58 , CMF: 56.56 ± 1.66 ; $p < 0.05$, $p < 0.01$, $p < 0.01$ respectivamente). **CONCLUSIÓN:** En la rata adulta la GSMx incrementaría el desgaste oclusal y modificaría la morfometría de la apófisis alvéolo-dentaria, y la calidad mecánica de la mandíbula incrementando su resistencia efectiva a ser deformada elásticamente por la acción de cargas. Los cambios podrían ser consecuencia de la respuesta mandibular a un trauma oclusal por masticación y fricción de los molares, sumado a la extrusión alvéolo-dentaria compensatoria manifiesta en ratas adultas.

marianoamer@gmail.com

155

TOPICACIÓN CON BISFOSFONATOS PARA PREVENIR LA PERIODONTITIS EXPERIMENTAL: EFECTO SOBRE HUESOS LARGOS

Nenda MM*, Goya JA, Mandalunis PM. FOUBA

En trabajos previos en nuestro laboratorio hemos descripto que la topicación con bisfosfonatos (Bfs) protege parcialmente la pérdida ósea inducida por la periodontitis experimental (PE) (Goya et al, 2005). Dado que los bisfosfonatos son drogas con un importante efecto antirresortivo, es de interés investigar si la sola aplicación local de las mismas tiene efecto sobre otros huesos de la economía, por lo tanto el **OBJETIVO** del presente trabajo ha sido evaluar histomorfométricamente el hueso subcondral de tibias de animales que han sido topicados con Bfs para el tratamiento preventivo de la pérdida ósea inducida por PE.

MÉTODOS Se utilizaron 21 ratas Wistar macho de 265±18g las cuales fueron divididas en tres grupos: Grupo PE, Grupo PE+OPD (olpadronato), Grupo PE+ALE (alendronato). La PE experimental se indujo el 1er día de experiencia y la topicación se realizó diariamente durante 4 días desde el primer día. El grupo PE fue topicado con solución fisiológica y los grupos PE+OPD y PE+ALE con 100 µl de soluciones de OPD y ALE respectivamente. Al cuarto día de experiencia se les practicó eutanasia a los animales de todos los grupos y se extrajeron los maxilares inferiores para evaluar el efecto preventivo de los Bfs en la PE (descripto en trabajos previos) y las tibias para evaluar si la topicación tuvo efecto sobre el hueso subcondral. Las tibias se procesaron histológicamente para obtener cortes histológicos los cuales se colorearon con H&E. Sobre microfotografías digitalizadas se evaluaron los siguientes parámetros histomorfométricos: Volumen óseo subcondral (BV/TV)(%), espesor trabecular (Tb.Th)(µm) y números de trabéculas Tb.N(/mm). Los datos se analizaron estadísticamente mediante ANOVA. **RESULTADOS:** (BV/TV)(%) PE: 14.9±1.99, PE+OPD: 16.1±2.12, PE+ALE: 138 ± 1.46, p=0.10. **Tb.Th(µm)** PE: 63.4± 17.2, PE+OPD: 57.9±13.0, PE+ALE: 69.7±20.9, p=0.46. **Tb.N(/mm)** PE: 2.41±0.59, PE+OPD: 2.88 ± 1.04, PE+ALE: 2.14± 0.66, p=0.23. **CONCLUSIONES:** Los resultados del presente estudio sugieren que la topicación de bisfosfonatos para prevenir la periodontitis experimental no alteraría la dinámica de los huesos largos. UBACyT 20020120100190BA. mariamartanenda@gmail.com

156

INGESTA DE DIETA ATEROGÉNICA Y OSIFICACIÓN ENDOCONDAL DE TIBIA EN RATA.

1Nuñez FL*, 3Gubert MJ, 1Mandalunis PM, 2Friedman SM, 2Rodríguez PN, 1,2Gamba CA. Cátedras de 1Histología y 2Bioquímica, FOUBA y 3Licenciatura en Producción de Bioimágenes, Facultad de Medicina, UBA. Argentina.

En estudios previos hemos centrado nuestra atención en la mandíbula. Asimismo, demostramos que una dieta aterogénica influye en la forma definitiva de la tibia, aumentando el ancho de la diáfisis, sin cambios en las corticales, en su longitud total, ni ancho y alto epifisarios. **OBJETIVO** En el presente estudio se plantea si la osificación endocondral de la tibia de rata es afectada por el consumo de una dieta aterogénica. **MÉTODOS** Ratas Wistar macho (n=12) al destete se lotearon por peso en 2 grupos (peso inicial sin diferencias p>0,05): Control(C) y experimental (E). C recibió dieta stock para roedores (pellets) y E una dieta aterogénica (pellets+grasas saturadas+colesterol) durante 7 semanas (7s), monitoreando zoometría y consumo de dieta. A 7s en suero (mg/dL): colesterol total (col-T), triglicéridos (TG), col HDL y noHDL. Las tibias derechas se fijaron en formol-buffer fosfato al 10%; decalcificaron en EDTA (pH 7) y se procesaron histológicamente para la obtención de cortes longitudinales que se colorearon con H&E. Sobre microfotografías digitales se evaluaron los siguientes parámetros histomorfométricos: volumen óseo (BV/TV%), cuya área fue dividida en dos sectores de esponjosa: A(primaria BVA/TVA%) y B(secundaria BVB/TVB%); espesor (µm) total del cartílago de crecimiento (GPC.Th) y de su zona hipertrófica (HpZ.Th). Análisis estadístico: Student t-test (nivel de significación p<0,05). **RESULTADOS**(media±DE): a 7s no hubo diferencias zoométricas ni en la ingesta (p>0,05) y su perfil lipídico-lipoproteico confirmó la aterogenicidad de la dieta. E no mostró diferencias histomorfométricas significativas vs C (p>0,05): ni en el volumen óseo BV/TV% 77,38±5,44 vs 74,80±6,45, BVA/TVA% 79,01±4,18 vs 74,80±8,37, BVB/TVB% 75,65±7,19 vs 75,84±5,09; ni en las zonas del cartílago (µm) GPC.Th 309,12±28,31 vs 281,39±26,03, HpZ.Th 103,57±11,78 vs 105,81±17,35. **CONCLUSION:** Estos resultados sugieren que una dieta aterogénica no modificaría el volumen óseo trabecular en la tibia ni su crecimiento en longitud, confirmando las evaluaciones zoométricas y macroscópicas. Sin embargo, la vulnerabilidad del hueso por ingesta de elevado contenido de grasas y colesterol reside en su forma definitiva. alicia_gamba@yahoo.com

157

EL CONSUMO DE YERBA MATE REDUCE LA PÉRDIDA ÓSEA EN ANIMALES OVARIECTOMIZADOS

Nervegna MT*, Lewicki M, Orzuza R, Friedman SM, Mandalunis PM Cátedra de Histología y Embriología, FOUBA

Es conocida la osteopenia en mujeres post-menopáusicas por déficit de estrógenos y su prevención a nivel mundial basada principalmente en la mejoras nutricionales y/o fármacos antirresortivos. Un reciente estudio clínico (Bone, 2011) postula un efecto protector del consumo crónico de yerba mate (*Ilex paraguariensis*) sobre el hueso en mujeres post-menopáusicas. El **OBJETIVO** de este trabajo fue evaluar experimentalmente el efecto preventivo de la yerba mate (YM) en la pérdida ósea producida por el déficit de estrógenos mediante ovariectomía (OVX). **MÉTODO:** Se utilizaron 32 ratas Wistar hembras de 186±13 gr, divididas en cuatro grupos: Grupo I: Sham+H2O, Grupo II: Sham+YM, grupo III: OVX+H2O y grupo IV: OVX+YM. A los 2 meses de la fecha de inicio se realizó OVX en los grupos III y IV y Sham a los grupos I y II. Los grupos II y IV bebieron YM durante los 4 meses del experimento. Al final de la experiencia se practicó eutanasia en los 4 grupos y se extrajeron tibias y fémures. Los fémures fueron utilizados para el análisis de contenido mineral óseo (CMO)/gr de fémur y las tibias se procesaron histológicamente para la obtención de cortes longitudinales que se colorearon con H&E. Mediante microfotografías digitalizadas se analizaron los siguientes parámetros histomorfométricos: volumen óseo (BV/TV)(%), número de trabéculas (Tb.N)/(mm), espesor trabecular (Tb.Th)(µm) y separación trabecular (Tb.Sp)(µm). Los resultados fueron analizados estadísticamente mediante test t de Student, **RESULTADOS:** El CMO/gr de fémur se encontró disminuido en los animales OVX sin presentar diferencias estadísticamente significativas en relación a los Sham. **BV/TV(%):** Sham+H2O 28.9±4.8, Sham+YM 35.3±8.2 OVX+H2O 9.7±3.6 OVX+YM 13.5±2.9 p<0.05 **Tb.N/mm:** Sham+H2O 4.32±0.63, Sham+YM 5.05±0.90, OVX+H2O 1.67±0.6, OVX+YM 2.31±0.45, p<0.05. **CONCLUSIÓN:** Los resultados del presente estudio muestran que los animales OVX que consumieron YM mostraron una menor pérdida ósea en relación a los animales OVX que sólo consumieron agua de bebida. Esta diferencia indicaría el efecto protector de la yerba mate (*Ilex paraguariensis*) sobre la pérdida ósea producida por el déficit de estrógenos; probablemente, debido al contenido de polifenoles con capacidad antioxidante. UBACyT 20020120100190B.

milton.nervegna@gmail.com

158

ASPECTO HISTOLOGICO DE PRESENTINA DEPOSITADA EN COMPLEJO DENTINOPULPAR DE RATAS CON DIFERENTES DIETAS.

Kohli A^{*1-3}, Dávila H², Zapata N³, Zaffaroni M³, Poletto L².

Facultad Odontología¹; Consejo de Investigaciones², UNR. Instituto Universitario Italiano de Rosario³

Un diente posee depositadas dentinas mineralizadas: primaria durante la dentinogénesis; secundaria o regular en paredes de cámara y conducto alrededor del perímetro pulpar durante su vida útil y terciaria o irregular que por estímulos externos deforma dichas paredes y está ausente en gérmenes dentales que crecen aislados del medio bucal. Previamente a mineralizar atraviesan una etapa como presentina y su aspecto histológico podría cambiar alterado por caries. **OBJETIVOS** analizar proporción de caries en molares de ratas sometidas a dieta habitual y cariogénica y aspecto histológico de la presentina. **MÉTODO:** Se utilizaron ratas endocriadas del bioterio de Ciencias Médicas, 18 robustas línea "I" y 15 pequeñas línea "e", separadas con dieta habitual (-G1) y suplementada con sacarosa 10% en agua (-G2). Sacrificadas a 5 semanas de tratamiento, se detectaron caries de molares con lupa, explorador y rodamina, extirparon mandíbulas quirúrgicamente, desmineralizaron (ácido nítrico 8%), trataron con colagenasa Tipo II, visualizando unido dicho complejo en un trabajo previo; incluyeron, cortaron y colorearon con hematoxilina-eosina. Examinamos presentina en el perímetro con microscopio óptico 1000X. Datos analizados prueba de Fisher, significación 5%. **RESULTADOS** La calidad del alimento granulado estándar pudo influir para que, sin considerar línea, ambos grupos tuvieran caries: 61% -G1 y 81% -G2 (p=0.09). Línea "I" -G1 analizamos 91% de complejos unidos descartando 9% de gérmenes en diferentes estadios, en -G2 estos fueron 99% (p=0,04); línea "e" -G1 87% y -G2 92% respectivamente (p=0.6). En el perímetro hubo sitios sin presentina sintetizada línea "I" -G1 87% y -G2 97% (p=0,03); línea "e" ambos grupos tuvo el 100%; otros con presentina de diferentes aspectos histológicos, mayor proporción en -G2 ambas líneas: una homogénea o regular incompleta y otra incipientemente depositada con matriz defectuosa no homogénea. **CONCLUSIÓN:** La caries fue mayor en -G2 línea "I" por efecto azúcar y en línea "e" por menor robustez y dieta. En línea "I" -G2 hubo mayor proporción de sitios carentes de síntesis presentinal debiéndose profundizar este tópico. En ambas líneas -G2, la presentina sintetizada frente al estímulo de caries presentó aspecto histológico alterado con matriz defectuosa.

aliciakohli2009@hotmail.com

159

BELENOFOBIA EN ODONTOLOGÍA

Manterola ER*, Agasi R, Marckevicz J, Corrarelo A, Finlandino G, Herrera G
Rocha C, Barthe D., Morales Manterola L. M. FOUBA

La atención odontológica despierta en numerosos pacientes, en particular los niños, miedo y ansiedad, que pueden originar conductas de rechazo o dificultar el trabajo del profesional. Algunos pacientes presentan fobias (del gr.phobia: miedo o temor); es decir un gran miedo a una situación o a un objeto que no es proporcional al daño que causa en ese momento. El miedo a los objetos punzantes, entre ellos las agujas se denomina: Belenofobia. **OBJETIVO** registrar información, experiencias y tipo de instrumental odontológico en relación al miedo dental. **MÉTODOS:** Se recolectó información de 210 pacientes, voluntariamente dieron su consentimiento verbal para responder preguntas relacionadas al miedo dental. La información proporcionada es confidencial y los resultados anónimos. Las preguntas fueron seleccionadas en consenso con los profesionales que llevaron a cabo este estudio. **RESULTADOS:** 210 pacientes; 131: sexo femenino 62,38%, 79 sexo masculino 37,62%. Edad: 12 a 92 años, promedio 44,74 % (desvío estándar 13,99); mujeres promedio 45,31 (desvío estándar 14,21), varones promedio 43,80% (desvío estándar 13,66); nacionalidad argentina: 80,00%. Experiencias negativas: infancia 42,86 %, adolescencia o de adultos 79,52%; haberlas visto 21,90%; escuchar, leer : familia 51,43 %, amigos 50,96 %, compañeros de trabajo 38,10%, revistas 15,71%, películas 41,90 %, internet 28,57 %, televisión 89,05 %. Miedo a objetos punzantes en general 63,33% .Miedo: agujas 72,38%, explorador dental 49,05%, fresas 51,90 %, hojas de bisturí 49,05 %, aplicación de la anestesia 57,14 %; a que el profesional lo lastime 62,86 %. Interés de ser informado 79,05%. **CONCLUSIÓN:** Conocer experiencias e identificar los instrumentos odontológicos en relación al miedo dental, en particular las agujas, cuya fobia se denomina belenofobia, puede permitir identificar factores que dificultan la atención odontológica. Acompañar al paciente a afrontar sus dificultades en relación a la atención odontológica contribuirá a la promoción de su salud y su desarrollo psíquico y emocional.

odima.manterola@gmail.com

160

EVALUACIÓN DEL AFRONTAMIENTO DE LOS MIEDOS DE PACIENTES EN LA ATENCIÓN ODONTOLÓGICA

Casal M*, Aguilar P JA Grandinetti JA, Mele MC; Brusca MI, García Labandal L
UAI.

El presente trabajo es el resultado de una investigación sobre los miedos, la ansiedad y los problemas que las personas presentan ante la atención odontológica, llevada a cabo en la Carrera de Odontología de la Universidad Abierta Interamericana. **OBJETIVOS** Indagar el afrontamiento de la consulta odontológica en pacientes adultos que asisten a la consulta en la Fundación Ciencia y Salud en la Facultad de Odontología de la Universidad Abierta Interamericana. Describir tipos de miedos presentes en los pacientes que asisten a la consulta odontológica (CRI). **METODO:** estudio descriptivo. La metodología utilizada es cuantitativa y cualitativa. Los instrumentos utilizados para el relevamiento de datos fueron Inventario de Respuestas de Afrontamiento del miedo al dentista CRI-D y Entrevista estructurada para evaluar emociones frente a la consulta odontológica. EEEEE. Criterios de Inclusión: pacientes ingresados a la Fundación Ciencia y Salud que fueron atendidos en dicha institución año 2012-2013. Criterio de exclusión: menores de 18 años. **RESULTADOS** 49% de los pacientes entrevistados no presentaron ansiedad un día antes de ir a la consulta odontológica, tampoco en la sala de espera. En cambio el 27% de los pacientes que se van a someter a tratamientos con instrumental rotatorio mostraron tener una ansiedad ligera y el 24% presentó una ansiedad extrema. La mayor parte de los pacientes encuestados presentaron una extrema ansiedad al momento que el odontólogo utilizó para el tratamiento un anestésico local. El 44% de los pacientes concurre por dolor e infección, el 37% del total de las encuestas analizadas demostraron que la sensación que tuvieron frente a la consulta odontológica fue por alguna experiencia propia que les sucedió en su pasado. El 57% de los pacientes consideró que dicha sensación mejoraría aumentando la comunicación del paciente y el odontólogo. **CONCLUSIONES:** El mayor problema frente a la consulta odontológica tiene que ver con la utilización de instrumentales rotatorios y anestésicos locales. La mayoría de los pacientes se acerca a una situación de consulta al odontólogo por dolor e infección. Una fluida comunicación, un mejor diálogo entre profesional y paciente opera en los pacientes influye positivamente en los tratamientos

maracasal@hotmail.com

161

ANÁLISIS DE LA ATENCIÓN EN UN SERVICIO DE URGENCIAS ODONTOLÓGICAS.

Ubertone R*, Basovich P, Jorge S, Brusca L, Noceti M, Brusca MI GrandinettiJA. UAI

Diversos son los factores socio-culturales y de conocimientos que intervienen y modulan la percepción del proceso salud-enfermedad, determinando la demanda de una atención de urgencia, de resolución inmediata, que está influenciada por las vivencias subjetivas de problemas reales o supuestos. **OBJETIVO:** evaluar los problemas por los cuales un paciente concurre a un servicio de urgencia y la resolución de los mismos. **MÉTODOS** se realizaron 130 entrevistas a pacientes que concurren al servicio de urgencias del Hospital Municipal de Odontología Dr José Dueñas. Se realizaron preguntas cuya respuesta era de respuestas de opción abierta. **RESULTADOS:** la edad promedio de los pacientes que concurren a la urgencia 42 años, el 70% son hombres. El 50 % es de Capital Federal y 50% de la provincia de Buenos Aires y del resto de las provincias que concurren en busca de mejor atención odontológica. El 50% tenía estudios secundarios completos, el 38% estudios secundarios incompletos, el 12 % primario solo completo. El motivo de la consulta fue 39% dolor, 16% cara hinchada, 8% movilidad dentaria, 20% infección, 10%traumatismo,7%inflamacion.Se resuelve la urgencia, el 47 % aperturas para luego derivar a tratamientos de conducto, el 30% con exodoncias , 10% ferulizaciones, 13% medicación. De estos pacientes el 85% continúa la atención en el hospital. El 45 % hace mas de un año que no concurre al odontólogo, el 40 % hace 6 meses y solo el 15 % hace tres meses. **CONCLUSIONES:**los pacientes concurren por dolor causado por un proceso infeccioso inflamatorio a los servicios de urgencia en los cuales se les resuelve la misma pero Es sobre estas enfermedades que debieran repercutir las políticas adecuadas de prevención y educación.

tarugo_uber@hotmail.com

162

ESTUDIO DEL CONOCIMIENTO DE LAS LEYES QUE RIGEN EJERCICIO ODONTOLÓGICO

Torres C*, Carbajales D, Brusca L, Wygachiewicz DE, Brusca MI, Grandinetti JA UAI

Estudio del conocimiento de los odontólogos acerca de las leyes que rigen el ejercicio profesional El ejercicio de la Odontología se encuentra enmarcado por un conjunto de normas y leyes que el profesional debe conocer a fin de desempeñar su profesión acorde a la normativa vigente. De este plexo normativo se destacan dos leyes que el Odontólogo no puede desconocer: la ley 17132 – Ejercicio de la Medicina, Odontología y Actividades Auxiliares- y la ley 26529 – Derechos del paciente, Historia Clínica y Consentimiento. **OBJETIVO:** Evaluar el grado de conocimiento de los odontólogos acerca de las leyes 17132 y 26529. **MÉTODOS** Se diseñó un estudio descriptivo exploratorio. A tal fin se utilizó una encuesta con 30 preguntas abiertas acerca de dichas leyes de la cual participaron 120 odontólogos, de ambos sexos, en ejercicio de la profesión con diferentes años de egresados y de diferentes universidades del país. **RESULTADOS:**El 65,21% de los encuestados desconoce que la Historia Clínica es propiedad del paciente. Respecto a las asociaciones del odontólogo con Técnicos de Laboratorio y casas dentales, así como las promesas de curación y tratamiento a término, el 89% respondió correctamente. **CONCLUSIONES** A) Se pudo observar el desconocimiento parcial de ambas leyes (17132 y 26529). Si bien los odontólogos encuestados tenían un conocimiento general de las mismas, desconocían determinados contenidos inherentes al ejercicio de la profesión. B) Consideramos importante incentivar el conocimiento y actualización de estas leyes durante el postgrado. C) El trabajo continuará ampliando la muestra a profesionales de mayor cantidad de años de egreso y que no trabajen en ámbitos académicos y/o institucionales.

carolinatorres20@hotmail.com

163

PERCEPCION DE LOS ALUMNOS ANTE A UNA NUEVA ESTRATEGIA DE ENSEÑANZA (ABP)

Pedroso R, Morata M *, Pérez Bazán E, Politi Mattar C, Avellaneda R, Sosa G.
Cátedra de Ortodoncia. Facultad de Odontología. Universidad Nacional de Tucumán.

La educación en la Carrera de Odontólogo, promueve la adquisición y desarrollo de destrezas, valores y actitudes de los estudiantes. Como los que facilita la utilización de la estrategia del Aprendizaje Basado en Problemas (A.B.P.): 1) Habilidades para el reconocimiento de problemas y sus posibles soluciones, 2) Desarrollar el pensamiento crítico motivando a la investigación base para la eficacia y eficiencia de la profesión. **OBJETIVO** El objetivo de este trabajo fue evaluar las respuestas de los estudiantes de la Cátedra de Ortodoncia de la F.O.U.N.T. A) Si el ABP es positivo para el aprendizaje de los conceptos de ortodoncia, B) Si los motiva a participar en investigación y C) Si los ayuda en las otras materias. **MÉTODO** se realizó una encuesta estructurada y anónima para la recogida de datos. Se valora las respuestas sobre las actividades de los alumnos de Ortodoncia que cursaron con ésta nueva modalidad educativa, codificando con si (+) o no (-). La muestra estuvo constituida por 61 estudiantes de 5° año de la Cátedra de Ortodoncia de la Facultad de Odontología de la Universidad Nacional de Tucumán. **RESULTADOS:**A) Los resultados del procesamiento de los datos de la totalidad de las respuestas a la encuesta realizada, nos muestra que el 69% es positivo, el 30% negativo y el 1% no contesta con respecto al desarrollo de las actividades con las estrategia del A.B.P. B) Con respecto de la motivación en participar en la investigación el 78% contesto en forma positiva y el 22% en forma negativa. C) La metodología del A.B.P. para el 65% de los encuestados no los ayuda en las otras cátedras. Sin embargo el 85% de ellos respondió que desarrolló el pensamiento crítico. **CONCLUSIONES:**Los resultados del análisis de los datos nos muestran aceptación a las actividades desarrolladas en la Cátedra con la estrategia del A.B.P. de los alumnos en actividad la práctica desarrollada puede reconocerse como una experiencia educativa positiva.

moratamonica@hotmail.com

164

BIOÉTICA ODONTOLÓGICA: INTERVENCIÓN PEDAGÓGICO DIDÁCTICA EN CUATRO COHORTES 3° AÑO ODONTOLÓGIA ESTUDIO COMPARATIVO

Giaquinta MA*, Pascucci J, Fracapani M, Pesce E, Conill J UNCuyo, Sectyp, Periodontología I

Esta investigación contribuye a la formación de profesionales de la salud odontólogos con sólido perfil humanístico. **OBJETIVOS** identificar actitudes y valores relacionados con la práctica clínica en cuatro cohortes de alumnos 3° Odontología. Comparar, dentro de un espacio curricular para Bioética como contenido transversal a Periodontología I, el desarrollo del seminario de Bioética en cuatro cohortes de alumnos de 3° año Odontología. **METODO:** Estudio longitudinal, descriptivo, cualitativo (hermenéutica, grupos focales, observación) y cuantitativo (encuestas). Se realizó triangulación de datos y metodología. Se incluyó la totalidad de alumnos: (2009 n=42); (2010 n= 43); (2011 n=43); (2012 n= 75). Al inicio se aplicó encuesta diagnóstica. Se elaboraron guías para grupos focales y observación de prácticas grupales. En los talleres donde se realizaron grupos focales, se trabajó con grupos pequeños de alumnos, se promovió participación y promoción de intercambio de opiniones. Se debatieron las mismas temáticas bioéticas en las cuatro cohortes. Al finalizar los talleres, se aplicó una encuesta final. Se categorizó respuesta (método de Glaser y Strauss) e interpretación por hermenéutica. **RESULTADOS:** Encuesta inicial, los alumnos de las cuatro cohortes manifestaron semejantes respuestas y expectativas: debatir temas de interés, aplicables a la clínica (Bioética clínica) y para la vida diaria (proyección a su vida personal). Encuesta final, fortalezas detectadas: seminarios didácticos, contenidos importantes, participativos, interesantes. Los alumnos expresaron influencia relevante de la bioética en su formación profesional y su vida personal, resaltando aspectos de las prácticas, comunicación, profesionalismo; actitudes: respeto por las personas y desarrollo de autoestima, autonomía, tolerancia y solidaridad. En cuanto a "*influencia de la Bioética en mí*"; las cuatro cohortes estudiadas, expresaron la revalorización y consideración de los aspectos humanísticos de los pacientes, la apertura mental que permite la Bioética. Las debilidades detectadas fueron: el horario de desarrollo del Seminario y poco tiempo. **CONCLUSION** la Bioética contribuye a la formación integral de los alumnos de la Carrera de Odontología, para el desarrollo de competencias.

mariagiaquinta@hotmail.com

165

PRESCRIPCIONES DESAPROBADAS POR ALUMNOS DE GRADO Y DE CONVALIDACION EN LA FOUNLP

Butler T*, Jotko C, Giménez G, Degaetano S, Mele S, Pertino MR, Solari E, Cattaneo M, Serrano V, Iantosca A, Pólvara B, Gagliardi R.
Farmacología y Terapéutica FOUNLP

En encuentros anteriores se presentó un trabajo sobre las recetas desaprobadas en los Exámenes Finales de Farmacología de la FOUNLP. **OBJETIVO:** Estudiar comparativamente las recetas desaprobadas por los alumnos de grado y los graduados de Convalidación, en el Examen Final de Farmacología de la FOUNLP. **METODO:** Se analizaron los Exámenes finales de Farmacología I y las evaluaciones a los alumnos de convalidación, del año 2012 y primer semestre del 2013. De estas pruebas, se separaron aquellas cuya receta fue respondida en forma incorrecta. En estas evaluaciones se le solicita al alumno confeccionar una receta de un fármaco específico debiendo identificar las partes de este documento. Los datos se registraron en planillas de Excel 2007 y los resultados se sometieron a las pruebas de Chi cuadrado y Comparación de dos proporciones tomando como nivel de significación 5% (95% nivel de confianza) utilizando para ello el programa XLSTAT 2012. **RESULTADOS:** Se estudiaron 280 finales de Farmacología I, de los cuales 82 (29%) desaprobaron la receta. Por otra parte, 56 (31%) de los 180 alumnos que cursaron convalidación de Farmacología, no supieron confeccionar e identificar las partes de la receta. Esta diferencia no es estadísticamente significativa ($p=0.68$). **CONCLUSIÓN:** No hay diferencias entre las recetas desaprobadas por los alumnos de grado y los graduados de Convalidación en los finales de Farmacología de la FOUNLP. Los resultados obtenidos aconsejan una modificación en el taller práctico de prescripciones.

dikybutler@yahoo.com.ar

166

ASPECTOS BIOÉTICOS EN LA FORMACIÓN DEL ODONTÓLOGO

Ariasgago O*, Rivarola J, Marasso Spaciuk N, Maldonado Seniquel M.
Facultad de Odontología de la UNNE Cátedra Odontología Legal,

OBJETIVOS Identificar el tratamiento explícito de los requisitos bioéticos en las publicaciones de investigaciones odontológicas y Determinar la percepción del significado del consentimiento informado en alumnos de la carrera de odontología. **MÉTODO:** diseño descriptivo transversal de carácter cualitativo. *Variable 1:* Análisis bioético de publicaciones científicas en odontología. Muestra: 75 artículos científicos (38 argentinos y 37 internacionales). Dimensiones analizadas: revisión por un comité de ética, consentimiento informado, justificación del estudio, selección de la muestra y normas para autores en los períodos: a) 2000 – 2005 y b) 2006 y 2010. Se efectuó una búsqueda online y revisión de revistas en formato impreso en la Biblioteca de la Facultad de Odontología de la U.N.N.E. *Variable 2:* Percepción del significado del consentimiento informado en los alumnos. Se aplicó un cuestionario a 48 Estudiantes de la carrera de Odontología de la UNNE pertenecientes a 2º, 3º, 4º y 5º año. Dimensiones analizadas: decisión del tratamiento, focalización, concepto global y conceptos específicos. Los datos obtenidos se volcaron en planilla Excel. Se realizaron tablas de contingencias para ambas variables. **RESULTADOS** Comparando los artículos científicos, en el periodo 2006-2010 se observa mayor detalle del CI, que en el 2000-2005 (12% y 6% respectivamente). La selección de los sujetos está explicitado en el 72% del 2º P y 66% del 1º. Las publicaciones del 2º P. exigen requerimientos bioéticos en el 56% de los casos y 28% en el 1º P. Procedencia: el detalle del CI es mayor en revistas extranjeras que en las argentinas (11% y 5%). Selección de los sujetos: los artículos extranjeros lo explicitan en el 81% de los casos, mientras que las argentinas en el 55%. El 70 % de las revistas extranjeras presentan requerimientos bioéticos. Encuesta sobre el CI: La mayoría (79%) refiere que la decisión es del profesional y el paciente conjuntamente. El texto del CI está focalizado en los riesgos que puedan presentarse (2º, 3º y 5º año - 69%). Concepto global: el 90% considera que es un documento que respalda legamente al Profesional. **CONCLUSIONES** Las publicaciones extranjeras y las del periodo 2006 – 2010 presentan mayores evidencias de cuidados bioéticos.

leariasgg@yahoo.com.ar

167

CONOCIMIENTOS SOBRE HIGIENE y BIOSEGURIDAD ADQUIRIDOS DURANTE LA CARRERA DE ODONTOLOGÍA

Zarate A*, Castillo MC, Bregains L, Rezzónico MS, Castillo G Castillo B, Priotto E, Irazuzta ML

Facultad de Odontología. Universidad Nacional de Córdoba

OBJETIVO Analizar los conocimientos sobre Higiene y Bioseguridad, adquiridos a lo largo de la carrera, por los alumnos que ingresaron en el año 2007 (n= 421). **MÉTODOS:** Se realizó una encuesta a los alumnos (n=44) de la cohorte 2007 que llevaban la carrera al día y estaban cursando 5º año en año 2011. La encuesta tuvo 4 preguntas iguales a las que se habían realizado al ingresar a la carrera, referidas a “concepto de “Higiene”, “concepto de “Bioseguridad”, “vacunas que deben tener colocadas los odontólogos”, “riesgos que puede provocar el odontólogo con su práctica”, y una pregunta nueva referida al “procesamiento del instrumental una vez terminada una instancia clínica para disponerlo nuevamente en otra situación clínica”. **RESULTADOS:** Comparando con las respuestas del año 2007, en las de 2011: con respecto a “Higiene” vuelve a aparecer “limpieza” como el concepto más relacionado a la misma (43%); con respecto a “Bioseguridad” la mayoría de las respuestas se refiere a “medidas” (45%), “conjunto de normas” (39%), “procedimientos” (11%); las respuestas fueron más pertinentes en esta encuesta que en la anterior. Algo importante es que aparece el concepto de “infecciones cruzadas” y de “enfermedades infectocontagiosas”. Con respecto a las vacunas, siguen indicando como más importante de tener colocada el odontólogo, la de la Hepatitis B. Respecto a los riesgos que puede producir el trabajo del profesional odontólogo: “transmisión de enfermedades” (38%), “infecciones cruzadas” (23%), “material patógeno” (13%), “contagios” (21%) (referidos a contagios cruzados, contagio de enfermedades, contagio de Hepatitis B o de HIV). Con respecto a cómo y dónde realizan el procedimiento de limpieza y esterilización del instrumental utilizado en la clínica, se deduce que confunden términos y no cumplen adecuadamente el proceso. **CONCLUSIONES:** Las respuestas de esta encuesta, hacen referencia a la adquisición de conocimientos sobre Higiene y Bioseguridad durante el cursado de la carrera. Sin embargo no se puede determinar que hayan sido incluidos como verdaderos hábitos necesarios para un ejercicio profesional seguro. azgelfo@hotmail.com

168

CURSO DE ACREDITACIÓN DE INFORMÁTICA EN LA FOUNLP: OPINIÓN DE LOS ESTUDIANTES

Tomas LJ*, Albarracín SA, Medina MM, Coscarelli NY, Rueda LA, Papel GO, Irigoyen SA, Tissone S, Saporiti F, Mosconi E FOUNLP / Biofísica

OBJETIVO El objetivo fue conocer la opinión de los estudiantes en cuanto al Curso de Acreditación de Informática en la FOUNLP. **METODO:** De un total de 88 cursantes de tercer año, se organizaron 24 grupos de no más de 3 o 4 integrantes cada uno, se les asignó un tema específico, sobre el cual investigaron, y realizaron una presentación digital/presentación oral. Luego de cada exposición los estudiantes recibieron por parte de los docentes una devolución, plasmada en una grilla de evaluación. Se evaluaron 24 exposiciones de 10´ cada una. Los requisitos para acceder a la aprobación del examen fueron: 80% de asistencia a clases teóricas-prácticas, aprobación de la exposición y del examen teórico-práctico. El día de examen se realizó a los estudiantes una encuesta anónima con siete preguntas referidas al entorno virtual. Los datos se analizaron por medio de los métodos de estadística descriptiva y la prueba de homogeneidad, uno de los análisis de frecuencias que utiliza la distribución ji-cuadrado. **RESULTADOS:** El 87,5% (80,6%: 94,4%) $P=0,05$ de los estudiantes considera informática como una herramienta necesaria para la carrera de Odontología. De los 88 estudiantes encuestados el 77,6% \pm 9,4 ($P=0,05$) no cambiaría la metodología de enseñanza. Consideraron muy buena o buena la implementación del entorno virtual el 98,86% \pm 2,21% ($P=0,05$). La proporción de quienes calificaron como muy buena y buena la metodología actual y la modalidad de trabajo en grupo fue de 97,70% \pm 3,15% y 97,73% \pm 3,11% respectivamente ($P=0,05$). En cuanto a la exigencia y los materiales otorgados solo el 2,27% \pm 3,11 y el 2,33% \pm 3,19% respectivamente ($P=0,05$) de los estudiantes los considera incompletos. Encontrando homogeneidad de respuestas muy buena y buena respecto de la implementación del entorno virtual, metodología, modalidad de trabajo en grupo, nivel de exigencia y materiales otorgados ($P<0,01$). **CONCLUSIÓN:** Se concluye que los datos obtenidos del curso estudiado han logrado niveles aceptables. Por ello se debe enriquecer las instancias y metodología de enseñanza para dar respuesta a las necesidades del entorno.

leandro.tomas@hotmail.com

169

EXÁMENES FINALES EN FISIOLÓGÍA COMO PARAMETRO EVALUADOR DEL NIVEL MEDIO

Tosti SB*, Peñalva MA. Cecho AC. Garcia Molinari A. Facultad de Odontología. UNLP

En la enseñanza de las Asignaturas básicas en el nivel superior, es donde se pone de manifiesto las falencias que los estudiantes traen consigo del nivel escolar medio. Los principales problemas pasan por la comprensión de textos, la carencia de metodología de estudio comprensivo que permita relacionar conceptos, y obtener saberes significativos, la tendencia arraigada a la memorización de contenidos si interpretación de los mismos, la inclinación al estudio de apuntes si recurrir a la consulta bibliográfica, tan importante para aclarar conceptos o corregir errores. Todas estas falencias son detectadas por el docente en el momento de la evaluación. **OBJETIVO:** Determinar la cantidad de alumnos que aprobaron el examen final de la asignatura Fisiología. **MÉTODO:** se realizó un estudio cuantitativo de los alumnos aprobados en las mesas de finales de Marzo, Abril y Mayo de 2013, en la asignatura Fisiología, de segundo año de la carrera de odontología. Las evaluaciones fueron orales a cargo de Profesor titular de la Asignatura y los dos adjuntos y la metodología a aplicar fue dar consignas a los alumnos acerca de determinados temas (pautados de antemano entre los profesores, para tener un criterio uniforme de evaluación), del programa de estudios de la asignatura y que explicaran todos los conceptos relacionados con el mismo. Fueron examinados en total 388 alumnos. El criterio a aplicar en la evaluación fue 1) interpretación de las consignas y 2) los conceptos relacionados con las mismas. **RESULTADOS:** Del total de evaluados (288) en las tres fechas, aprobaron 101 alumnos. **CONCLUSIONES:** de los resultados obtenidos, se infiere, para la muestra analizada que el nivel medio ofrece una preparación insuficiente de los estudiantes para el nivel superior.

sobetis@yahoo.com.ar

170

PROMOCIÓN DE LA SALUD BUCAL ENTRE ABUELOS Y NIETOS EN EL ÁMBITO ESCOLAR.

Vera M*; Cacciamano J, Brasca N, Girardi I, Urquía Morales MC, Farah M, Farah M. Facultad de Odontología, Universidad Nacional de Córdoba

Dentro del contexto sociocultural representado por dos grupos etarios (abuelos y alumnos de 6º y 2º grado) del Instituto Parroquial San Roque de Córdoba, los adultos a través de su experiencia de vida, transmitieron a los niños, lo que sería bueno conocer para el logro de la salud bucal, favoreciendo así el control de una enfermedad en común: la caries. **OBJETIVO:** afianzar la relación social y el vínculo familiar entre los abuelos y los nietos, con un proceso de educación no formal de vía doble, de acuerdo a los intereses y necesidades, donde ambos trabajaron para modificar los factores de riesgo de dicha enfermedad. **MÉTODOS:** PRIMERA ETAPA diseño e implementación de un cuestionario para diagnosticar la situación bucal de los niños. La validación del instrumento se realizó por: panel de expertos, validación de campo y prueba piloto a la que se aplicó el coeficiente alfa de Cronbach para medir su fiabilidad. SEGUNDA ETAPA, trabajo conjunto con los abuelos en las estrategias de intervención y material educativo para desarrollar con sus nietos, en cuanto a la prevención de la salud bucal. TERCERA ETAPA se llevaron a cabo las estrategias planificadas. CUARTA ETAPA, presentación de los trabajos con los niños a la comunidad educativa e implementación de una segunda encuesta sobre el conocimiento de medidas preventivas por experiencia educativa. **RESULTADOS:** En los alumnos de sexto grado, se observó que el 100% se cepilla, la frecuencia de cepillado de 3 veces por día se incrementó un 12% y el cambio de cepillo pasó de 1 vez a 4 al año. La ingesta de alimentos cariogénicos disminuyó en un 47% y las consultas odontológicas aumentaron un 13%. En segundo grado, el 100% se cepilla, la frecuencia de cepillado se incrementó en un 10% tanto para 2 como 4 veces por día. La ingesta de alimentos cariogénicos se incrementó en un 4% y las consultas odontológicas aumentaron un 13%. ($\alpha = 0.909$) **CONCLUSIONES** de los resultados obtenidos se podría concluir que la intervención de los abuelos resultó positiva en los cambios de conducta observados en los niños.

monyalb@hotmail.com

171

EVALUACIÓN DE LOS MIEDOS Y EMOCIONES DE ODONTÓLOGOS FRENTE A LA ATENCIÓN CLÍNICA

Romero J*, Garzon ML, Mele MC, Aguilar P, Brusca MI, Garcia Labandal L, Grandinetti JA.
UAI

OBJETIVOS: evaluar las preocupaciones que presentan los profesionales en la atención odontológica y que sensaciones le generan mayor ansiedad en la atención de pacientes. **MÉTODO:** Se realizaron 75 encuestas a odontólogos, los cuales firmaron un consentimiento informado. Los entrevistadores fueron cinco profesionales calibrados. Los instrumentos utilizados para el relevamiento de datos fueron 'Inventario de Respuestas de Afrontamiento del miedo del odontólogo' y 'Entrevista estructurada para evaluar emociones frente a la consulta odontológica'. Los instrumentos de valoración de datos fueron: CRI-0 y encuestas 1, 2 y 3. Se dividieron en grupo 1: menos de 5 años de recibidos, grupo 2: entre 6 y 10 años y grupo 3: 11 años o más. Se ofreció un listado de opciones acerca de las preocupaciones y maniobras que determinan ansiedad basado en los trabajos previos de seguridad del paciente realizados por este grupo de estudio. Se realizó un análisis estadístico con pruebas no paramétricas. **RESULTADOS:** Hubo una diferencia estadísticamente significativa respecto a la preocupación de los profesionales por la falta de efectividad de los tratamientos que decreció a medida que aumentaban los años de recibido ($p = 0,001$). El 82 % del grupo 1, el 72 % del grupo 2 y el 79% del grupo 3 teme por el dolor del paciente. Respecto a la infección post-tratamiento preocupó al 67% del grupo 1, 51% grupo 2 y 50% grupo 3. Con relación a las maniobras que le generan más ansiedad a los profesionales el 45% citó a los tratamientos de conductos del grupo 1, el 60 % grupo 2 y el 80 % grupo 3, el 65% del grupo 1 citó a las exodoncias que lo citó el 45% de los del grupo 2 y el 39 % del grupo 3, el 31% del grupo 1 al diagnóstico con relación a la clínica estomatológica, preocupación que no se refleja en grupos 2 y 3. **CONCLUSIONES** Los odontólogos independientemente de los años de recibidos se preocupan por el dolor que puedan presentar sus pacientes y las maniobras para resolver ese dolor son las que generan más ansiedad. En los profesionales recién recibidos se distingue una mayor preocupación por la efectividad de sus tratamientos y la experiencia clínica hace que esta, con el paso del tiempo, decrezca.

jaz.romero@live.com.ar

172

DESERCIÓN ESTUDIANTIL DEL CURSO HISTOLOGÍA Y EMBRIOLOGÍA, FOUBA DURANTE EL 2013

Sánchez LM*, Coria SH, Mandalunis PM
Cátedra de Histología y Embriología, FOUBA

La asignatura Histología y Embriología se cursa durante el 1° semestre del Segundo año de la carrera de Odontología al igual que Anatomía y Bioquímica General. Durante el ciclo lectivo 2013, ha sido importante la deserción de los estudiantes en las últimas etapas del curso. De un total de 386 alumnos inscriptos, el 25.5% obtuvo la condición de libre por no haberse presentado a rendir los exámenes o bien por inasistencias. Dado el número elevado de alumnos que no regularizaron la asignatura. **OBJETIVO** Realizar un seguimiento de las características de esta población de estudiantes para conocer las causas de abandono del curso de Histología y Embriología durante el presente ciclo lectivo. **METODO:** A los 98 alumnos que resultaron libres (25.5% del total de inscriptos) se les realizó un seguimiento mediante un breve cuestionario durante 2 meses vía mail y llamados telefónicos. Se logró obtener las respuestas de 50 estudiantes. Se utilizó el método *score* de Wilson para calcular intervalos de confianza 95% (IC_{95}) de los porcentajes reportados. **RESULTADOS:** El 80% [$IC_{95} = (67\%; 89\%)$] de los estudiantes provienen de Capital Federal y GBA, no eran recursantes. Por otra parte el 68% [$IC_{95} = (54\%; 79\%)$] de ellos trabaja. Durante el 1° semestre del 2013, el 86% [$IC_{95} = (74\%; 93\%)$] de los encuestados cursó las tres asignaturas correspondientes al primer cuatrimestre. Del cuestionario surge también que el 88% [$IC_{95} = (76\%; 94\%)$] de los estudiantes volverá a cursar la asignatura el próximo ciclo lectivo y no pensaron dejar la Facultad. **CONCLUSIÓN:** Los datos aportados permitieron describir una población de estudiantes que trabajan y/o presentan dificultades en organizar su tiempo de estudio. Es importante destacar que la mayoría de los alumnos han demostrado interés en permanecer en la FOUBA y cursar la asignatura en el 2014. Este seguimiento permitirá a la cátedra evaluar una propuesta que complemente la cursada y esté acorde a las necesidades de esta población de estudiantes. La propuesta estaría centrada en la posibilidad de contener y acompañar a los estudiantes mediante tutorías virtuales usando para ello el Campus de la Facultad.

lucianamsanchez@hotmail.com

173

EMPODERAMIENTO DEL CONOCIMIENTO DE ALUMNOS DEL CUAD EVALUANDO MODELO RUM: URGENCIAS MÉDICAS.

Lama MA*1, Winter GA1, Pascual VB1, Rubio SC2, Capurro MA2

La función del Curso Universitario de Asistentes Dentales (CUAD), es la formación de recursos humanos auxiliares en el área de la salud. **OBJETIVO:** establecer el nivel de conocimiento previo de los cursantes en riesgos y urgencias médicas (RUM) y determinar las modificaciones de los saberes y conocimientos que se logran durante el proceso de enseñanza – aprendizaje a lo largo de los tres módulos del CUAD. **MÉTODO:** Estudio descriptivo, correspondiente a las alumnas, cursantes del CUAD realizado por medio de una encuesta estructurada y anónima para determinar: 1) nivel de saberes del alumno al inicio de la unidad; 2) nivel de conocimientos adquiridos al fin de la unidad y 3) nivel de los conocimientos al finalizar el curso. La misma encuesta se repitió en cada uno de los módulos del curso 2012/2013 a todos los alumnos que finalizaron el CUAD. **RESULTADOS:** De los estudiantes encuestados al inicio del ciclo lectivo 2012, el 29,4 % sólo respondió correctamente 5 de las 10 preguntas, mientras que el 17,6 % lo hizo a 4, el 19,6 % a 6, el 9,8% a 7, el 3,9% a 8, el 2,9 % a 3, el 3,9% a 2 y el 0,9% a 9 de las preguntas. Cuando se relevó a los mismos alumnos al fin del ciclo lectivo 2012, se observó que el 28,2% respondió correctamente 8 de las preguntas, mientras que el 22,1 % lo hizo a 7, el 17,6 % a 6, 12,9 % a 9, el 8,2 % a 5, el 3,5% a 10, el 2,5 % a 4, el 9,8 % a 3, el 1,1 % a 1 y 1,1 a ninguna de las preguntas. La misma encuesta al inicio del ciclo 2013 reportó que el 26,7% de los alumnos respondió correctamente 9 de las 10 preguntas, mientras que el 25 % lo hizo a 8, el 18,3 % a 6, 11,7% a 7 y 10 preguntas, respectivamente, el 5 % a 5 y el 1,7% a 4 de las preguntas. Al finalizar el CUAD, los porcentajes de aciertos fueron 30,6 % a 8 preguntas; 19,4 % a 7; 16,7 % a 10; 13,9% a 9; 8,3 % a 6 y 5,6 % contestaron correctamente 4 y 5 preguntas, respectivamente. **CONCLUSIÓN:** Nuestro estudio revela un bajo nivel de conocimiento previo de los contenidos de RUM por parte de los ingresantes al CUAD y que los alumnos alcanzan un nivel adecuado de conocimiento del tema que persiste al finalizar el curso, lo que garantiza una formación adecuada en el área de conocimiento evaluada.

alecapurro@yahoo.com.ar

174

EVALUACIÓN Y SEGUIMIENTO DE LOS GRADUADOS DE LA FACULTAD DE ODONTOLOGÍA DE LA UNNE

Martínez S, Gili MA*, Vila V.

Facultad de Odontología. Universidad Nacional del Nordeste

El seguimiento de egresados como línea de investigación no sólo tiene relación con el análisis y reformulación curricular, sino que tiene además, una importante articulación con la inserción en el mercado laboral de los egresados. Estos estudios son una herramienta importante para analizar también los caminos que siguen los nuevos profesionales respecto al entorno y contexto en que se desenvuelven. **OBJETIVO:** Delinear el perfil laboral y el índice ocupacional del egresado de la Facultad de Odontología de la UNNE con el propósito de construir una base de datos como fuente de conocimiento para la institución permitiendo pensar alternativas que den repuesta a las necesidades existentes en este campo. **MÉTODOS:** Mediante la aplicación del Sistema SIU KOLLA, que utiliza dos tipos de encuestas: al graduado de menos de un año y al graduado de un año o más, los graduados accedieron a las mismas a través de la página web de la Facultad de Odontología de la UNNE (www.odn.unne.edu.ar) **RESULTADOS:** Respondieron la encuesta 219 odontólogos de un año o más de graduados. Dado que los resultados obtenidos son parciales se registraron los mismos en porcentajes: El 98% tuvo un trabajo relacionado con la formación profesional adquirida, y el 63% encontró trabajo relacionado con su profesión en el transcurso del primer año. Los encuestados consideraron que los empleadores de su área valoraron principalmente las habilidades y conocimientos adquiridos 58%, la capacidad de trabajar en equipo 34% y de resolver problemas 31%. El 67,5% de los graduados tuvo su primer trabajo profesional de manera independiente y el 32,5% en relación de dependencia. La adaptación en el trabajo fue rápida en un 99,5% de los graduados. Al 94% la formación adquirida le permitió el desarrollo de proyectos profesionales. **CONCLUSIÓN:** El conocimiento del nivel ocupacional y participación en la población económicamente activa de sus egresados permite analizar la correspondencia entre curriculum universitario y la formación de recursos humanos en condiciones apropiadas para el pleno empleo y la satisfacción personal. Si bien la Universidad no puede garantizar la inserción laboral de sus egresados puede crear las condiciones que permitan una formación profesional adecuada a los nuevos paradigmas del campo laboral. Dado que los resultados obtenidos son parciales por tratarse de un trabajo de investigación hasta fines de 2014 se proyecta delinear el perfil laboral y la obtención de un índice estadístico ocupacional al concluir el mismo.

magili@hotmail.com

175

PERCEPCIÓN SOCIAL SOBRE LA CIENCIA Y LA TECNOLOGÍA EN LAS PROVINCIAS DEL NORDESTE ARGENTINA.

Juárez R*, Martínez S, Dho M, Vaculik P, Llarens A, Cúndom J, Almirón M
Grupo de Investigación: "Ciencia, Tecnología y Sociedad".
FONUNNE

OBJETIVO: dimensionar la percepción pública de la ciencia y la tecnología en las sociedades de las provincias de Chaco, Corrientes, Misiones y Formosa. **MÉTODO:** La investigación fue descriptiva, realizándose encuestas individuales ("cara a cara") mediante cuestionario semi-cerrado. La población objeto de estudio correspondió a los mayores de 18 años residentes en las cuatro provincias de la Región NEA, zona urbana. Se realizaron 400 encuestas directas repartidas en tres ciudades, de cada una de las cuatro provincias de la región NEA, durante los años 2009 y 2010. Los datos de opinión, fueron agrupados en dos grandes bloques: valoración y actitudes, y políticas públicas de ciencia y tecnología. Para el análisis estadístico, se utilizó el Chi Cuadrado de Pearson. **RESULTADOS:** Con respecto a la pregunta que imagen tiene de la ciencia el 58% de los encuestados tiene una opinión positiva de la ciencia y el 42% opina negativamente de la ciencia. Se determinó que no existen diferencias significativas con el sexo en relación a la imagen que la sociedad tiene de la ciencia ($p=0.5481$), como tampoco con la edad ($p=0.3834$) ni con la ocupación ($p=0.5066$). El 42% de los encuestados asocia a la ciencia con grandes descubrimientos científicos y el 26% opina que la ciencia es desarrollo tecnológico. Solo el 14% opina que mejora la calidad de la vida humana. Tomando en cuenta los niveles de escolaridad la relación mostró asimetrías marcadas, no habiendo diferencias significativas ($p=0.2544$). El 77% no conoce investigaciones científicas o desarrollo tecnológico producido en las provincias del NEA. No hay diferencias entre provincias ($p=0.4866$). Hay diferencias significativas entre las respuestas de personas con diferente nivel educativo ($p=0.0003$), la identificación de investigaciones se incrementa en relación directa con el nivel educativo, siendo del 11% en los encuestados con nivel primario y del 59% en los de posgrado. **CONCLUSIÓN:** Los resultados obtenidos expresan el moderado éxito observado en la apropiación de los conocimientos científicos y tecnológicos entre los encuestados.

ropablojuarez@gmail.com

176

ZIRCONIO ASOCIADO A LA ELABORACIÓN DE IMPLANTES DENTARIOS: COMPOSICIÓN QUÍMICA POROSIDAD.

Lazo G, Lazo S, Butler T*, Basal R, Escudero E, Friso E, Alfaro G, Viscovik C, Pazos F, Amaro E, Ivanov M, Merlo D, Belloni F.
FONUNLP

En la actualidad, muchos son los investigadores que reportan que el éxito de los implantes radica en la aparición del zirconio, como nuevo material estético y biocompatible, y de excelente dureza por su composición química y tratamiento. **OBJETIVO:** analizar la composición química a través de Difracción de rayos X (EDAX), y la porosidad por el sistema Microscopía Electrónica de Barrido (SEM) del zirconio, como material de elaboración de implantes dentarios. **MÉTODOS:** Para esta etapa inicial del trabajo, se obtuvieron 10 cortes a partir de bloques de zirconio sinterizado, de aproximadamente 1cm² por 0,50 cm de espesor. Los mismos se realizaron con un disco especial para zirconio, y posterior fresado. Las muestras se analizaron por sistema EDAX, y posteriormente observadas por SEM, utilizando para ello, un microscopio electrónico de tipo SEI (Imagen de Electrones Secundarios), modelo QUANTA 200. **RESULTADOS:** Los datos registrados por EDAX fueron similares para todas las muestras; los obtenidos por SEM, arrojaron diferentes medidas de porosidad en cada una de las muestras, siendo la menor 1.17 μm y la mayor 88.23 μm . **CONCLUSIÓN:** Por lo tanto se infiere, que el zirconio posee una composición química, que le confiere cualidades estéticas y de resistencia, adecuadas para la elaboración de implantes. Mientras que su porosidad se asocia a cierto grado de rugosidad superficial, que podría favorecer el torque y la fijación de los implantes. En etapas posteriores, se continuará investigando la dureza, la resistencia a la compresión, la flexibilidad y la biocompatibilidad del zirconio, como elemento de elección para la confección de implantes.

dikybutler@yahoo.com.ar

177

EFFECTO DEL OLPADRONATO SOBRE LA PÉRDIDA ÓSEA INDUCIDA POR PERIODONTITIS EXPERIMENTAL

Goya JA*, Mandalunis PM

Cátedra de Histología y Embriología, FOUBA.

La periodontitis es una enfermedad en donde, el huésped desarrolla un proceso inflamatorio como consecuencia de la presencia de biofilm en relación al diente. Este proceso afecta el periodonto, en especial el hueso alveolar, poniendo en riesgo la vida de la pieza dentaria en boca. La terapéutica tradicional se basa en la eliminación del agente causal por medios mecánicos. Actualmente se busca ampliar el tratamiento mediante la utilización de drogas que mejoren el pronóstico y la evolución de la enfermedad; los bisfosfonatos, tales como el olpadronato (OPD), se han propuesto como alternativa por su demostrado efecto antirresortivo. **OBJETIVO** Evaluar el efecto de la aplicación local de OPD sobre la pérdida ósea establecida. **MÉTODO** Para este estudio se utilizaron 15 ratas wistar de 55 días de edad y 242±24 gr de peso, divididas en dos grupos: grupo periodontitis experimental (PE) y periodontitis experimental tratado con OPD (PE+OPD). A ambos grupos se les indujo la PE colocando una ligadura de hilo de algodón a nivel cervical del primer molar inferior izquierdo durante 5 días, cumplido ese lapso, donde ha sido demostrado previamente que la pérdida ósea ya está establecida, se les cambió la ligadura de hilo y se comenzó con la administración local de 100 µl de solución fisiológica al grupo PE y de 100µl de solución de OPD (150mM) al grupo PE+OPD, dos veces diarias durante 6 días. Los hemimaxilares contralaterales (derechos) fueron utilizados como controles. Al día 11 de experiencia se practicó eutanasia a todos los animales, se extrajeron las mandíbulas para su fijación, descalcificación y posterior procesamiento histológico. Se realizaron cortes histológicos orientados en sentido mesio-distal y se colorearon con H&E. **RESULTADOS** Sobre fotos digitalizadas de cortes mesio-distales del primer molar inferior de la rata se evaluó: el volumen óseo interradicular (VOI/TV %) (PE= 27,2±6,15 vs. PE+OPD= 25,72±4,35); y la altura del ligamento periodontal (µm) (PE= 770±240 vs. PE+OPD= 790 ± 230). **CONCLUSIÓN** Los resultados de este trabajo indican que la aplicación local de olpadronato no reduce la pérdida ósea ya establecida. UBACyT 20020120100190BA.

juanagoya@yahoo.com.ar

178

OSTEOGÉNESIS RELACIONADA A IMPLANTES DE POLIETILENO POROSO. ESTUDIO HISTOLÓGICO

Martínez Rodríguez J*1, Renou SJ1, Guglielmotti MB1,2. Cátedra de Anatomía Patológica, Facultad de Odontología UBA 1 y CONICET 2.

El Polietileno Poroso (PP) es un biomaterial cuya utilización clínica data de mediados de la década del '70. En el área maxilofacial se utiliza tanto para la reconstrucción de defectos óseos como para el aumento cosmético del esqueleto facial. En un estudio previo hemos evidenciado la osteogénesis en relación al PP en un modelo experimental en la médula ósea hematopoyética. **OBJETIVO:** Evaluar la osteogénesis de la médula ósea hematopoyética en relación al Polietileno Poroso a los 14, 30, 60 y 120 días post-implantación. **MÉTODOS** Una muestra de 5 mm de diámetro y 1 mm de espesor de PP fue analizado con MEB y EDS. Se utilizaron 40 ratas Wistar macho (150-180g); a las que bajo anestesia general IP de una solución de 8 mg de clorhidrato de ketamina y 1,28 mg de xylacina, se les implantó el PP en forma de prisma rectangular de 2mm de altura, 1 mm de ancho y 0.9 mm de espesor, en la tibia. Se siguieron las normativas NIH y del Comité de Ética de la FOUBA. Se practicó la eutanasia a los animales a los 14, 30, 60 y 120 días. Las piezas óseas fueron resecadas y fijadas en formol 10 % buffer, radiografiadas, desmineralizadas, procesadas e incluidas en parafina y coloreadas con Hematoxilina-Eosina. **RESULTADOS** MEB: Mostró los diferentes tamaños (120 a 770 µm) y formas de los poros del PP; la composición de acuerdo al estudio de EDS fue: 96.88% C y 3.12% O. En el estudio por microscopía óptica no se evidenció: respuesta inflamatoria, células gigantes multinucleadas o macrófagos. En todos los tiempos experimentales se observó tejido óseo de tipo laminar en contacto con el biomaterial. El volumen óseo aumenta en función del tiempo. **CONCLUSIÓN** El modelo experimental utilizado evidenció hueso laminar periimplante cuyo volumen aumentó en función del tiempo. Es de destacar la adaptación del tejido óseo a las anfractuosidades de los poros de diferentes tamaños. Este último aspecto es de sumo interés para la fijación del biomaterial al tejido óseo. Subsidios: CONICET PIP 11220090100117, UBACyT 20020100100657* MEDPOR®.

julianadmartinez@gmail.com

179

ESTUDIO PARA LA ESTIMACIÓN DE LA OSEOINTEGRACIÓN EN RADIOGRAFÍAS DE IMPLANTES DENTALES

1-3, Bruno ME2 *, Delgado ML3, Chicatún M3, Gigena M3, Fernández del Palacio S3, Marcantoni M3, Costa O2, Cabrini RL1-2
Div. Pat. - Dep. Radiobiología de la CNEA.LANAIS-MEF (CONICET) CNEA) 1 CátAnat Patológica - FOUBA2 Ciencias de la Salud Integrada III –UNRN

Los implantes odontológicos tienen como propósito el reemplazo de las estructuras dentarias y requieren para su permanencia en la cavidad bucal mantener un nivel de oseointegración aceptable y continua. La técnica radiográfica periapical, sumada a la valoración clínica son utilizadas por el odontólogo para evaluar el proceso antes mencionado. En SAIO 2012 presentamos los primeros resultados de la aplicación de esta metodología: la cuantificación densitométrica por análisis de imagen en radiografías de implantes dentales. **OBJETIVO:** Presentar ajustes metodológicos que surgen de la medida de implantes dentales en dos tiempos evolutivos diferentes. **METODO:** Se seleccionaron 25 casos de implantes dentales en diferentes situaciones clínicas y con seguimiento Rx por lo menos en dos tiempos diferentes. Se realizó una valoración clínica/radiográfica que se definió como implantes: estables (IE), dudosos (ID) y fracasados (IF). Las Rx se digitalizaron en condiciones similares de intensidad lumínica (1920 x 1080 pixel). Las medidas de cada caso clínico se realizaron en la periferia del implante, áreas circulares de 200000 μ 2, cada 1mm. La valoración densitométrica de las radiografías fue realizada en tonos de grises. Se analizaron los parámetros de Integral de la Densidad Radiográfica (IDR), Densidad Radiográfica por pixel (DR/pixel) e Inversa de DR/ μ (InvDR/pixel). Con este último se confeccionó un Implantograma. En base a los primeros resultados obtenidos, se desarrolló una cuña densitométrica para tener un control interno que permitirá comparar radiografías en diferentes tiempos. Al mismo tiempo se desarrolló un factor de corrección. **RESULTADOS:** Los implantogramas resultantes de la cuantificación densitométrica radiográfica, permitieron un análisis minucioso de la interfase del hueso-implante de los 25 casos de implantes en dos tiempos evolutivos diferentes. La aplicación de los ajustes metodológicos, cuña densitométrica y factor de corrección desarrollados, permitió realizar análisis comparativos del mismo implante en momentos evolutivos diferentes. **CONCLUSIONES:** Los casos estudiados mostraron valores densitométricos diferentes, habiendo correlación con la situación clínica/radiográfica planteada. Subsidios: UBACYT 20020100100812. marcosebruno@gmail.com

180

BIOACTIVIDAD DE NANOPARTÍCULAS DE TiO₂: MARCADORES BIOQUÍMICOS EN SUERO Y ORINA

Bruno ME*1,2, Meroño T4, Brites F3,4, Paparella M2, Cabrini R2,5, Tasat DR1
Olmedo DG2,3 ECyT, UNSAM1; Cát. Anatomía Patológica, FOUBA2; CONICET3;
Lab. de Lípidos y Lipoproteínas, FFyB, UBA4; CNEA5.

Una fuente potencial de contaminación con micro y nanopartículas (1-100nm) como consecuencia de procesos de corrosión es a partir de superficies de implantes de titanio. En trabajos anteriores, hemos demostrado experimentalmente que nanopartículas de dióxido de titanio (TiO₂-NP) se depositan en los túbulos contorneados del riñón y en hígado. Asimismo, en relación a este órgano observamos cambios morfológicos compatibles con focos de necrosis. Estos órganos están expuestos al efecto sistémico de contaminación de partículas y podrían estar funcionalmente comprometidos. **OBJETIVO:** Estudiar marcadores bioquímicos en suero y orina para evaluar la capacidad funcional de hígado y riñón luego de la exposición a TiO₂-NP. **MÉTODO:** Ratas Wistar fueron inyectadas i.p. con partículas de TiO₂ de 10 y 5nm (1,6 g/100g de peso corporal) o con solución salina (controles). Se tomaron muestras de sangre (vena de la cola) y orina (jaulas metabólicas) a los 3 y 6 meses pos-inyección. Se determinaron fosfatasa alcalina (FAL), aspartatoaminotransferasa (ASAT), urea, albúmina, creatinina, microalbuminuria y creatininuria. **RESULTADOS:** A los 6 meses pos-inyección, se observó un incremento significativo en las actividades de FAL y ASAT en los animales expuestos a TiO₂-NP respecto de los controles (ej ASAT: Co: 197 \pm 7 vs. TiO₂-NP5: 304 \pm 60 U/l, p<0,05). El aumento en los niveles de esta transaminasa estaría asociado con alteraciones morfológicas observadas en el hígado. Los niveles de urea, albúmina y creatinina no revelaron diferencias significativas en los grupos analizados. El análisis de las muestras de orina mostró un incremento del índice microalbuminuria/creatininuria en los animales expuestos a TiO₂-NP respecto de los controles en ambos tiempos experimentales (ej Co3: 0,98 \pm 0,43 vs. TiO₂-NP5: 12,65 \pm 3,27 mg albúmina/g creatinina, p<0,05). **CONCLUSIÓN:** Los resultados obtenidos muestran que estos marcadores bioquímicos podrían utilizarse como indicadores de la capacidad funcional de los órganos expuestos a TiO₂-NP. Los valores de microalbuminuria/creatininuria podrían utilizarse como indicadores

181

EVALUACIÓN DEL ESTADO PERIODONTAL DE PACIENTES CON PROBLEMAS ERUPTIVOS DEL TERCER MOLAR

Balsamo MF*, Puia S, Robles M, Toranzo S, Brusca MI, Lucentini M.
FOUBA. UAI

Las vías de propagación de la infección odontogénica pueden ser por continuidad hacia los espacios bucales o propagación a distancia por vías como la hematógena, con sus formas de bacteriemia, septicemia, embolización séptica y la endocarditis bacteriana. De allí la importancia de los microorganismos presentes. **OBJETIVO:** Evaluar la prevalencia de pericoronaritis según el estado periodontal del paciente. Relacionar la posición del molar con la portación de *Candida spp.* **MÉTODOS:** Se realizó un estudio clínico, observacional, longitudinal prospectivo. Se les realizó la historia clínica sistémica convencional. Se incluyeron terceros molares (n = 90) en posiciones: mesioangular (n=15), distoangular (n=15), linguoangular (n=15), vestibuloangular (n=15), horizontales (n=15) y verticales (n=15). Estudio radiográfico de técnica panorámica analógica y estudio radiográfico con técnica de cilindro largo con películas 3 x 4 (sensibilidad F) con uso de posicionador como complemento del diagnóstico periodontal. Se tomaron índices de placa, gingival, profundidad de sondaje, pérdida de inserción. Se tomaron muestras subgingivales que se colocaron en tubos con medio de Stuart y en TAB. Simultáneamente se realizaron extendidos de cada sitio en estudio para colorear con la técnica de Gram y de Giemsa. Se realizaron pruebas microbiológicas convencionales. Se realizó análisis estadístico de los datos (Chi cuadrado) con un error alfa de 0.05 (IC 95%) y un poder de 80%. **RESULTADOS** la diferencia fue estadísticamente significativa (p = 0,03) entre los pacientes con pericoronaritis que presentaron periodontitis leve y aquellos con otra patología periodontal (gingivitis, periodontitis moderada y grave). Los pacientes que presentaron pericoronaritis y periodontitis leve, eran portadores de *Prevotella intermedia* y *Porphyromona gingivalis* asociadas a *Candida spp.*, en el 45 % de ellos se observó más de una especie de *Candida* en cada sitio periodontal. La pericoronaritis se presentó con mayor prevalencia en la posición mesioangular (p= 0,03) seguida de la distoangular. **CONCLUSIONES** la presencia de patógenos periodontales favorece la aparición de pericoronaritis. Las posiciones de retención de los terceros molares favorecen la retención de los microorganismos.

mfbalsamo@gmail.com

182

ESTUDIO PRELIMINAR DE LOS AGRANDAMIENTOS GINGIVALES EN TRANSPLANTADOS RENALES INDUCIDOS POR TACROLIMUS.

Rossi J, Ferrel E, Viotti P, Taborda N, Grandinetti JA, Ortego T, Schiavelli R, Pompei J, Brusca MI UAI

Tacrolimus es un eficaz agente inmunosupresor alternativo para los pacientes trasplantados renales. **OBJETIVO:** Observar la presencia de agrandamiento gingival en pacientes trasplantados renales medicados con Tacrolimus, en distintos estadios de enfermedad periodontal. **MÉTODOS:** se estudiaron pacientes (n=20) del Servicio de Nefrología del Hospital General de Agudos Dr. Cosme Argerich de la Ciudad Autónoma de Buenos Aires. Criterios de inclusión: Pacientes de ambos sexos de 18 a 65 años que reciben Tacrolimus Mycofenolato sódico, Deltisona B y Omeprazol. Criterios de exclusión: pacientes fuera del rango etario, y/o con otras enfermedades sistémicas concomitantes, y/o con medicación adicional, y/o edéntulos maxilar superior e inferior. Se realizó una ficha sistémica con antecedentes médico- odontológicos e información acerca del trasplante. Para diagnosticar la enfermedad periodontal, se registró índice de placa, gingival, profundidad al sondaje, pérdida de inserción y agrandamientos gingivales. Estos últimos se clasificaron en edematosos y fibrosos y a su vez en leves (cubren hasta un cuarto de la corona clínica del diente) moderados (cubren hasta la mitad de la corona clínica) graves (cubren más de la mitad de la corona clínica). Para el análisis de los datos se utilizó un modelo lineal generalizado (procedimiento GENLIN de SPSS versión 20). **RESULTADOS** el 92% de los analizados recibieron trasplante de donante cadavérico, el resto de un familiar compatible. El promedio de años de trasplantado fue 4. El 90% concurren los últimos 6 meses a los odontólogos, derivados por su médico. El 45 % presentó salud periodontal, el 20% gingivitis, 30% periodontitis leve, y el 10% periodontitis moderada o grave. La diferencia de aquellos que no presentaron agrandamientos gingivales respecto a los que si, fue estadísticamente significativa, independientemente del estadio de enfermedad periodontal. En el grupo que si presentó, el 40% fue agrandamiento gingival fibroso leve. **CONCLUSIONES:** Bajo las condiciones de este estudio, podemos concluir que en los pacientes que reciben Tacrolimus solo se observan agrandamientos gingivales leves y fibrosos.

eduardoferrel@hotmail.com

183

EVALUACIÓN DE LA PREVALENCIA DE ENFERMEDAD PERIODONTAL EN PACIENTES OBESOS

Garritano M*, Schnell M, Carballo B, Tornelli F, Grandinetti JA, Tornelli FA, Brusca MI. UAI

OBJETIVOS Evaluar la relación existente entre la obesidad y la enfermedad periodontal. Tomando en cuenta la epidemia de obesidad y la alta incidencia de periodontopatías (más del 70% en la población adulta), y considerándola base inflamatoria y el vínculo que comparten dichas patologías en cuanto a la afluencia de inmunocitoquinas, se evaluó la relación entre el porcentaje de pacientes que presentaron al momento de la evaluación periodontal alteraciones a nivel gingival, su circunferencia de cintura y grado de obesidad para determinar con ello el patrón vincular. **METODO** Se realiza un estudio descriptivo transversal, y observacional en forma conjunta entre el Hospital Parmenio T. Piñero y el servicio de Clínica Integral y Cirugía de Adultos y Gerontes III de la facultad de Odontología de la Universidad Abierta Interamericana. Criterios de Inclusión: Población (n:56) de ambos sexos, con un rango etario de 18 a 60, que concurren al hospital y que son obesos (dada por body mass index (BMI) elevado) Criterios de Exclusión: Grupo etario fuera del rango 18-60. Pacientes con Diabetes Mellitus de cualquier origen. Colagenopatías. Procesos infecciosos recientes (menor a 3 meses) Patología neoplásica en curso o remisión (menor a 6 meses) Inmunocompromiso. Corticoterapia. Antiagregación y Anticoagulación. Se realiza una Historia Clínica médica en la cual se vierten por un lado los datos acerca de su peso, medición de la circunferencia de cintura, tipo de dieta habitual y recomendada. Por otro lado una historia clínica odontológica con los datos periodontales de profundidad de sondaje, pérdida de inserción, hemorragia, movilidad, índices de placa y gingival, así como el índice CPOD. **RESULTADOS** El 32% presentó periodontitis grave, el 39% moderada, el 19% leve y el 10% gingivitis. El 63% presentaba entre 2 y 5 obturaciones. El 25% presentaba prótesis parcial, el 14% prótesis fija. **CONCLUSIÓN:** los pacientes obesos presentan alta prevalencia de enfermedad periodontal. Esto podría potenciarse porque en ambas patologías intervienen los mismos mediadores químicos.

martingarritano@hotmail.com

184

ANESTESIA PARA IMPLANTES EN SECTOR POSTERIOR DE MANDÍBULA: ESTUDIO RETROSPECTIVO

García Blanco M*, Gualtieri AF, Puia SA.

Cátedras de Cirugía y Traumatología Bucocomaxilofacial I Y II, FOUBA

OBJETIVO: Proporcionar información sobre qué tipo de anestésicos utilizan los cirujanos argentinos para las cirugías implantológicas del sector posterior de mandíbula, y qué tipo de experiencias poseen los mismos asociando la misma al dolor y a los casos de parestesias del nervio dentario inferior. **MÉTODOS:** Se realizaron dos tipos de encuestas anónimas a docentes de la Cátedra de Cirugía I y II de la FOUBA en Junio de 2013. En la primera (n:24) se hicieron preguntas acerca de la anestesia (truncular o infiltrativa) que utilizaban para la colocación de implantes en el sector postero-inferior de la cavidad oral. En la segunda se buscaba información sobre los casos de parestesias mencionados (n:8). Para analizar los datos se utilizaron las pruebas del cociente de máxima verosimilitud (Chi-cuadrado MV-G2), exacta de Irwin-Fisher bilateral, diferencia de proporciones y de Wilcoxon para muestras independientes. En todos los casos se fijó un nivel de significación de 0,05. Se utilizó el programa Infostat versión 2013. **RESULTADOS:** El porcentaje de docentes que utilizan anestesia infiltrativa (61%) superó al porcentaje de los que utilizan truncular (35%) o que les resulta indistinto (4%). Sin embargo, esta diferencia no resultó significativa (prueba para diferencia de proporciones: $p=0,16$). Cuando se les preguntó a los docentes si consideraban que bajo anestesia infiltrativa el paciente podía avisarle si estaba por lesionar el nervio dentario inferior, de 21 respuestas válidas, 14 fueron positivas (67%) y 7 negativas (33%), esta diferencia fue significativa ($p<0,05$). En ocho casos de parestesias confirmados, se les preguntó a los docentes si el paciente había reportado dolor: se obtuvieron siete respuestas negativas (87,5%) y una positiva (12,5%). Esta diferencia de porcentajes fue significativa ($p<0,05$). **CONCLUSIONES:** Los resultados de este estudio preliminar indican que los docentes encuestados creen que mediante la anestesia infiltrativa los pacientes pueden avisarles si están por lesionar el nervio dentario inferior, sin embargo los resultados de parestesias de ésta encuesta, sugieren lo contrario. Un trabajo futuro, con un mayor número muestral o un estudio clínico controlado y aleatorizado, sería necesario para confirmar estas aproximaciones.

matiasgarcia blanco@yahoo.com.ar

185

EVALUACIÓN DE LA ENFERMEDAD PERIODONTAL DE PACIENTES CON CELIAQUÍA DIAGNOSTICADA EN LA ADULTEZ

Noier M*, Brusca L, Civitate S, Gutierrez T, Buchanan J, Grandinetti JA, Brusca MI
UAI

La enfermedad celiaca (EC) es un proceso autoinmune que se caracteriza por una enteropatía del intestino delgado. La malabsorción de nutrientes es una consecuencia de la lesión intestinal y cuando se prolonga en el tiempo puede provocar malnutrición, debido a una intolerancia permanente al gluten de la dieta presente en cereales como el trigo, avena, cebada y centeno. **OBJETIVO:** Determinar la aparición de enfermedades periodontales (EP) en la población celiaca diagnosticada en la adultez. **MÉTODOS:** Se realizaron 250 encuestas a celíacos de ambos sexos mayores de 18 años diagnosticados en la adultez acerca de la frecuencia de consumo de vitamina C y calcio. Se realizó un odontograma completo e índices periodontales y se tomó muestra microbiológica para evaluar la presencia de microorganismos compatibles con enfermedad periodontal. Se analizaron con métodos microbiológicos convencionales. **RESULTADOS:** Los pacientes encuestados promedian los 50 +/- 5 años de edad. Se concluyó que de la población que presenta PGP el 24% concurre semestralmente al odontólogo aun cuando el 60,3% presenta sangrado de encías, y la aparición de EP. En cuanto a la correlación entre el consumo de calcio y la aparición de PGP, el 80,25% de la población presenta correlación positiva entre las ingestas deficientes de este nutriente. El 60% de la población encuestada menciona no concurrir a periodoncista y solo el 10% cuenta con asesoría nutricional. El índice de placa y gingival así como la profundidad al sondaje se encuentran aumentados. Las especies prevalentes fueron el 35 % presenta *Candida albicans*, 45% *Prevotella intermedia*, 27 % *P. gingivalis* y 35% más de una especie *Candida*, *Candida albicans* mas *Candida parapsilosis*, compatibles con periodontitis moderada/grave. **CONCLUSIONES:** La enfermedad celiaca es un indicador de riesgo para la aparición de EP, y el aumento de patógenos periodontales. Las personas celíacas, deberían realizar consultas con nutrición de manera mensual y deberían concurrir al mantenimiento periodontal cada tres meses.

mariaisabelbrusca@gmail.com

186

EVALUACIÓN DE LOS PRINCIPALES TEMORES DE ALUMNOS FRENTE A LA ATENCIÓN ODONTOLÓGICA

Fajardo R*, Casal M, Garzón M, Tadeo M, Mele MC, Aguilar P, Brusca MI,
Grandinetti JA
UAI

El miedo y la ansiedad dentales es un problema común que muchos alumnos de odontología deben enfrentar. **OBJETIVO:** Reconocer los procedimientos clínicos que originan temor y ansiedad en los alumnos de la carrera de odontología frente la atención a pacientes. **MÉTODOS:** Estudio descriptivo basado en una encuesta que se realizó a 105 alumnos de la Universidad Abierta Interamericana (UAI) que realizan atención clínica en la fundación Ciencia y Salud en la Ciudad de Buenos Aires en las materias clínicas: Clínica Integral y Cirugía de Adultos y Gerontes I, II Y III.. Criterios de inclusión: Se incluyeron todos los alumnos de la carrera de odontología de la (UAI) que realizan prácticas con pacientes. Criterios de exclusión: alumnos de 1er y 2do año. **RESULTADOS:** El 34% de los alumnos citó tener temor a la aplicación de la anestesia, mientras que el 25% a la exodoncia, el 20% citó temor a la anestesia y a la exodoncia conjuntamente. El 11% a los tratamientos pulpares, el 5% a las operatorias y estéticas, el 3% a la descompensación de los pacientes que puedan padecer en la clínica y el 1% al dolor que puedan llegar a padecer los mismos. Se registró que el 30% de los alumnos afronta la situación con una revalorización positiva, el 56% con resolución del problema, el 10% con evitación cognitiva, el 3% con aceptación y el 1% con resignación. **CONCLUSIÓN:** El mayor problema que se presentó ante la atención odontológica tiene que ver con prácticas invasivas que requieran el manejo de instrumental corto punzante por primera vez ante un paciente. Si existe una fluida comunicación y una contención por parte de los docentes de la clínica de adultos, los alumnos puedan tener mayor seguridad al momento de enfrentar cualquiera de estas situaciones.

roo.fajardo@hotmail.com

187

COMPARACIÓN DE DOS MODELOS DE ESTRES PRENATAL SOBRE EL CRECIMIENTO MANDIBULAR DE RATA

Fontanetti PA*, Flesia G+, Mandalunis PM#, Vermouth NT*
Cátedras de Introducción a la Química y Física Biológicas* y de Diagnóstico por Imágenes+, FOUNC y Cátedra de Histología y Embriología, FOUBA#

En estudios previos demostramos que la exposición materna a luz constante durante la gestación disminuye la resorción ósea en canastilla del germen del primer molar mandibular, el grado de erupción y altera la osificación endocondral en crías de rata de 3 y 15 días de edad (Fontanetti y col., AOB 2013). **OBJETIVO** Establecer el efecto de dos modelos de ambiente crónico prenatal adverso, estrés variado y luz constante, sobre el grado de crecimiento mandibular en crías adultas de ratas. **MÉTODO:** Se conformaron tres grupos de ratas preñadas. Uno mantenido en luz constante (LL) desde el día 10 al 20 de preñez, otro sometido a estrés crónico variado (ECV, modificado de Katz y col., 1981) durante el mismo período gestacional y un grupo Control (C). Las crías de cada grupo (n=12) se pesaron y sacrificaron a los 60 días de edad y sus mandíbulas fueron escindidas y radiografiadas. La radiación de 75 Kv y 14 mA, fue aplicada a una distancia foco-objeto de 10 cm con tiempo de exposición de 0.4 seg. Sobre radiografías escaneadas se midió el crecimiento mandibular (Eratalay, 1981). Los parámetros indicadores fueron: largo, base, altura y área mandibular. Los datos se analizaron mediante ANOVA y test de Bonferroni. **RESULTADOS:** El peso corporal fue significativamente menor en crías nacidas de madres sometidas a LL respecto al control. No se observaron diferencias en el peso ni el crecimiento mandibular entre los grupos ECV y Control. Sin embargo las crías del grupo LL mostraron una disminución significativa respecto al Control en los parámetros morfométricos evaluados en mandíbula: largo(cm) (LL: $2,30 \pm 0,02$ vs C: $2,41 \pm 0,02$; $p < 0,01$), base(cm) (LL: $2,22 \pm 0,01$ vs C: $2,34 \pm 0,025$; $p < 0,01$), altura(cm) (LL: $1,25 \pm 0,02$ vs C: $1,34 \pm 0,01$; $p < 0,01$) y área mandibular(cm²) (LL: $1,12 \pm 0,02$ vs C: $1,22 \pm 0,01$; $p < 0,01$). **CONCLUSIÓN** A los 60 días de edad, el estrés prenatal inducido por LL redujo significativamente el peso corporal y el grado de crecimiento mandibular mientras que no hubo cambios por efecto del ECV respecto al control. Estos resultados muestran que la luz constante prenatal posee un efecto estresante más potente que el estrés variado y sugieren que sus consecuencias se manifiestan también en la edad adulta, confirmando resultados previos de nuestro laboratorio. UBACyT 20020120100190BA

pablofontanetti@gmail.com

188

CONCENTRACION DE PGE2 EN SALIVA DE NIÑOS CON LESIONES BUCALES ASOCIADAS A HISTIOCITOSIS

Benchuya C*, Gualtieri A, Fernández de Preliasco V
Cátedra Odontología Integral Niños. FOUBA

OBJETIVO Determinar las concentraciones de PGE2 de las salivas de pacientes pediátricos con diagnóstico de Histiocitosis de Célula de Langerhans con y sin manifestaciones bucales. **METODO:** Se utilizó el Enzyme Immune Assay Kit para determinar los valores de la concentración de PGE2 en la saliva de 30 pacientes con HCL. Se seleccionaron 15 pacientes con lesiones bucales (G1), 15 sin lesiones bucales (G2) y se relacionó con un grupo control (G3) de 15 pacientes pediátricos que no presentaron antecedentes médicos ni lesiones bucales. Los niños del grupo experimental (G1 y G2) fueron derivados del Hospital Garrahan a la Cátedra de Odontología Integral Niños de la Facultad de Odontología de la UBA. Para comparar la concentración de PGE2 entre los tres grupos, se utilizó la prueba de Kruskal-Wallis, seguida por comparaciones de a pares. Se fijó un nivel de significación del 5% (alfa = 0,05). **RESULTADOS:** La concentración de PGE2 en saliva mostró diferencias significativas entre los grupos comparados (H = 32,22; gl = 2; $p < 0,05$). Específicamente, la concentración de PGE2 en los pacientes con Histiocitosis con manifestaciones (mediana = 11,50 ng/ml; mínimo = 6,00 ng/ml, máximo = 15,00 ng/ml; n = 15) fue significativamente mayor que en los pacientes con Histiocitosis sin manifestaciones (mediana = 1,60 ng/ml; mínimo = 0,31 ng/ml; máximo = 3,29 ng/ml; n = 15) ($p < 0,05$), y que en los niños sanos (mediana = 0,75 ng/ml; mínimo = 0,40 ng/ml; máximo = 3,25 ng/ml) ($p < 0,05$). No hubo diferencias significativas entre los pacientes con Histiocitosis, sin manifestaciones, y los sanos ($p > 0,05$). **CONCLUSIÓN** El aumento de la concentración de PGE2 en saliva, estaría relacionado con la presencia de lesiones bucales en los pacientes pediátricos con histiocitosis.

189

ESTUDIO DE MICRONÚCLEOS EN PACIENTES FUMADORES CRÓNICOS

Nalli G, Verdú S*, Lanfranchi H, Cabrini R.
Cátedra de Clínica Estomatológica FOUBA

OBJETIVO: evaluar la presencia de micronúcleos en células epiteliales de la mucosa de bordes linguales, para determinar el daño genotóxico entre un grupo de fumadores crónicos. **MÉTODOS:** se estudiaron 30 muestras de mucosa del borde de la lengua de pacientes fumadores crónicos que concurrieron a la Cátedra de Clínica Estomatológica de la F.O. UBA, seleccionados al azar y previo consentimiento informado. Los criterios de inclusión fueron, pacientes fumadores crónicos de más de 10 cigarrillos por día, de ambos sexos, en edades comprendidas entre 30 y 70 años sanos sin alteración en la mucosa lingual, sin medicación y que no bebieran alcohol. Las tomas citológicas fueron realizadas con brush y coloreadas con Giemsa para las observaciones nucleares y fijadas con alcohol 96%. La observación microscópica se realizó con un microscopio óptico con un objetivo de 40 x siguiendo meandros recorriendo así todo el extendido citológico. Los pacientes se dividieron en dos grupos según la cantidad de cigarrillos fumados en su vida en <200000 y el otro > 200000 para comparar la cantidad de micronúcleos observados. Los datos obtenidos fueron analizados estadísticamente por medio de chi cuadrado con corrección de Yates estableciendo el nivel de significancia de $p < 0,05$. **RESULTADOS:** Se tomaron muestras a 30 pacientes fumadores crónicos, edad media 46, 11 de género femenino y 19 masculinos, se los dividió en dos grupos de acuerdo a la cantidad de cigarrillos fumados: Grupo 1 fumadores <200000 cigarrillos consumidos durante toda su vida, se compuso de 17 muestras y grupo 2 fumadores >200000 cigarrillos consumidos durante toda su vida, se compuso de 13 muestras. Encontramos la presencia de micronúcleos (MN) en todas las muestras de pacientes fumadores. Se realizó la prueba estadística de chi cuadrado con corrección de Yates. Se ha encontrado una diferencia significativa $p < 0,05$ entre la cantidad de micronúcleos en ambas muestras. **CONCLUSIÓN:** En este estudio, se podría inferir, que el tabaco produciría alteraciones nucleares evidenciables con microscopía óptica, a través de la citología exfoliativa en mucosas sin patología clínica observable en donde los micronúcleos actuarían como estimadores de alto riesgo carcinogénico.

gnalliverdu@hotmail.com

190

APLICACIONES DE LA CITOLOGIA EXFOLIATIVA COMO DIAGNOSTICO DE LA CAVIDAD BUCAL

Almiron, MS, Montenegro M, Gilli MA
Facultad de Odontología Universidad Nacional del Nordeste UNNE

OBJETIVO: Analizar por medio de la citología exfoliativa alteraciones morfológicas de las células epiteliales en lesiones de la cavidad bucal. **METODO:** Se seleccionaron 50 pacientes. A cada paciente se le confeccionó una Historia Clínica y protocolo. Se le realizaron citologías exfoliativas por el método de raspado utilizándose para dicha toma dos tipos de instrumentos la espátula de madera y el cepillo (cytobrush) y se tomaron cuatro muestras por paciente. El material obtenido fue inmediatamente fijado y coloreados con la técnica de Papanicolaou. Se analizaron las alteraciones de las células de acuerdo a la clasificación de la OMS y la de Bethesda. **RESULTADOS:** Hasta la fecha se tomaron las muestras en 26 pacientes. El 50% correspondió a lesiones blancas; el 20% a lesiones ulcerativas, 15% correspondió a gingivitis y periodontitis el 10% lesiones ampollares y el 5% a lesiones reactivas. Al comparar los dos instrumentos se observa que con el cytobrush se obtiene mayor cantidad de células y de estratos más profundos. Se ve en lesiones blancas un predominio de células superficiales eosinófilas picnóticas y predominio de células anucleadas. En lesiones erosivas o ulcerativas se observaron predominio de células superficiales e intermedias profundas picnóticas y en ambas lesiones presencia de microorganismos, células lisadas e hifas compatibles con candida. **CONCLUSION:** El mayor porcentaje de lesiones observadas fueron las lesiones leucoplasiformes y se observaron tanto células superficiales como intermedias y presencia de microorganismos, células inflamatorias, células lisadas e hifas.

masial999@yahoo.com.ar

191

ALTERACIONES DE LA REPARACION POSEXODONCIA EN CONDICIONES DE HIPOSIALIA EXPERIMENTAL EN RATAS

Mohn C* 1,4, Steimetz T 2, Najenson AC 3, Fernandez-Solari J 1,4, Elverdin J 1
Guglielmotti B 2,4. Cátedras de Fisiología 1 y Anatomía Patológica 2 FOUBA,
Cátedra de Fisiopatología FFyB UBA 3, CONICET 4

En trabajos previos hemos demostrado (Mohn y col 2011) que en condiciones de hiposialia por submandibulectomía (SMx) en ratas, en la reparación tisular post-exodoncia se exagera la respuesta inflamatoria en las primeras horas, aumentando los niveles de TNF α , óxido nítrico, el número de polimorfonucleares. **OBJETIVO:** Evaluar histológica e histomorfométricamente y por biología molecular la reparación post-exodoncia a los 3 días con SMx. **MÉTODOS:** Se utilizaron 20 ratas Wistar de 21 días, distribuidas en 2 grupos: G SMx y G Sham. El día 7 post SMx se realizó bajo anestesia i.m. la exodoncia bilateral del primer molar inferior (Guglielmotti *et al.* 1985). Se practicó la eutanasia a los 3 días post-exodoncia, siguiendo las normas del Comité de Ética FOUBA. Las mandíbulas fueron resecadas, una hemimandíbula fue procesada para su inclusión en parafina y se realizaron cortes a nivel del alvéolo mesial, se colorearon con H-E, Picrosirius Red y Tricrómico de Masson. Al alvéolo contralateral se le extrajo el tejido blando con un punch de 2 mm \varnothing y la muestra se procesó para determinar COX-II (Western Blott). **RESULTADOS** Se observó en el G SMx mayor porcentaje de coágulo en relación al G Sham ($45,53 \pm 7$ y $23,88 \pm 7$ $p < 0.05$) evidenciándose en el G Sham mayor porcentaje de tejido de granulación ($68,11 \pm 8$ y $37,56 \pm 7$ $p < 0.05$). A nivel de la cortical alveolar periodontal, el porcentaje de superficies osteoblásticas en el G SMx fue menor al observado en el G Sham ($5,36 \pm 2$ y $14 \pm 1,3$ $p < 0.01$); el porcentaje de superficies quiescentes fue mayor en el G SMx con respecto al G Sham ($57,1 \pm 3,1$ y $39,25 \pm 4,7$ $p < 0.01$); el porcentaje de superficies erosivas fue mayor en el G Sham con respecto al G SMx ($49,14 \pm 3,7$ y $32,8 \pm 2,1$ $p < 0.01$). El recuento de osteoclastos fue mayor en el G Sham con respecto al G SMx ($7,5 \pm 2$ y $2 \pm 0,5$ $p < 0.05$). Se observó un incremento de 2,4 veces la expresión de COX-II en el G SMx con respecto al G Sham. **CONCLUSIÓN:** Estos hallazgos evidencian en el tiempo estudiado que la reparación post-exodoncia en condiciones de hiposialia experimental está alterada. Esta respuesta en el grupo SMx podría modificar en las etapas ulteriores el proceso reparativo, especialmente la osteogénesis. CONICET PIP 11220090100117, UBACYT 20020100100657, 20020100100686.

claumohn@yahoo.com

192

MARCADORES DE PERIODONTITIS SON ATENUADOS POR UN CANNABINOIDE SINTÉTICO TIPO 2 EN RATAS

Ossola CA*, Surkin PN, Ortega G, Elverdin JC, Fernández Solari JJ
Cátedra de Fisiología, FOUBA

En trabajos anteriores hemos comprobado el efecto preventivo producido por un agonista sintético de receptores cannabinoides CB1 sobre el daño periodontal. También hemos demostrado que un agonista de receptores CB2, el HU 308, atenúa ciertos parámetros inflamatorios en las glándulas submaxilar y sublingual. Nuestro **OBJETIVO** fue estudiar el efecto generado por el tratamiento con HU 308 en ratas sometidas a periodontitis experimental. **MÉTODOS** Se emplearon ratas Wistar macho de 300 g, en 4 grupos (n=6): 1) control; 2) inyectados con 20 μ L de solución fisiológica (vehículo del LPS) en la encía vestibular y lingual/palatina del primer molar y en el espacio interdental entre el primer y segundo molar de ambos maxilares, tres veces por semana, durante 6 semanas (en días 1, 3 y 5); 3) inyectados con 20 μ L de lipopolisacárido de *Escherichia coli* (LPS) (1mg/ml) en los sitios descritos para el grupo 2; y 4) inyectados con LPS y topicados diariamente con HU 308 (500ng/ml) en los sitios de inyección. Luego del sacrificio de las ratas, se midió la pérdida ósea alveolar calculando la distancia entre el límite amelocementario y la cresta ósea en las raíces del primer molar y se evaluó el contenido de factor de necrosis tumoral (TNF α), por ELISA, y la actividad de la enzima óxido nítrico sintasa inducible (iNOS), por radioconversión, en la encía que rodea al primer molar. Test estadístico: ANOVA de 2 vías. **RESULTADOS** los animales inyectados con LPS y tratados con HU 308 mostraron menor pérdida ósea alveolar que los no tratados ($p < 0,05$). En las encías, el grupo con periodontitis inducida con LPS ($185,7 \pm 51,2$ pg TNF α / mg prot) tuvo mayores niveles de TNF α que los tratados con solución fisiológica ($57,6 \pm 39,4$ pg TNF α / mg prot). Sin embargo, este incremento fue atenuado en el grupo tratado con HU 308 ($95,9 \pm 39$ pg TNF α / mg prot) ($p < 0,05$). La actividad de iNOS también fue mayor con LPS y el incremento se atenuó con HU 308. **CONCLUSIÓN** sobre un modelo de periodontitis inducida por aplicación de LPS, el tratamiento con un agonista de receptores CB2 atenúa el daño y la inflamación en los tejidos de inserción dentarios. Por otro lado, la disminución de parámetros inflamatorios que produce HU 308 en las glándulas salivales puede tener una acción agregada sobre la enfermedad periodontal.

caossola@hotmail.com

193

VIRUS DEL HERPES SIMPLE (HSV2) EN MUCOSA BUCAL

Micinquevich S*, Dorati P, Mayocchi K, Gómez M
Patología y Clínica Estomatológica FOLP

La carcinogénesis es un proceso secuencial en el que concurren diferentes cuestiones (tabaco, alcohol, traumatismos repetidos, infecciones virales, presencia de lesiones precursoras, entre otras). Todas estas interrelacionadas conducen a la proliferación celular descontrolada. Es cada vez más conocida la asociación virus/cáncer. Datos epidemiológicos y experimentales identifican virus relacionados con diferentes tumores humanos. Ellos, al infectar la célula huésped transfieren a la misma sus genes incrementando la proliferación celular. La replicación repetida de células con información ADN incorrecta es el inicio de la formación de un tumor maligno. La influencia del virus VHS-2 en lesiones potencialmente malignas y malignas es discutida. La evidencia epidemiológica sugiere que el cáncer de cervix está ligado a virus que se transmiten por vía sexual (VPH y VHS-2). **OBJETIVO** Explorar con técnica molecular la presencia de VHS-2 en lesiones precursoras de mucosa bucal. **MÉTODOS** Se estudiaron 15 lesiones potencialmente malignas con diagnóstico histopatológico de leucoplasia, provenientes de material parafinado del archivo de Patología Quirúrgica de la FOLP. Se aplicó la Técnica de Reacción en cadena de la polimerasa (PCR) con dos pares de cebadores (My09/11-Gp05/06). Para la determinación de tipo específico se utilizó la variante LIS-SSCP. La lectura de los amplicones se efectuó por corrida electroforética en geles de poliacrilamida al 6 %. **RESULTADOS** El 33,33 % de las muestras resultaron positivas para VHS. La distribución tipo específica fue: VHS-1: 3 casos (60 %) y VHS-2: 2 casos (40%). **CONCLUSION**: Estos datos son preliminares y corresponden a valores de frecuencia relativa y no totalmente significativos; pero permitirían pensar en un rol probable del VHS-2 en mucosa bucal. Se podría considerar que se cuenta con evidencia científica, al menos, en cáncer de cervix. Por otro lado, no se descartaría la coexistencia de infección VPH (datos epidemiológicos/experimentales) y VHS-2, potenciando este último el efecto del primero. Este tema es controversial y por ende requiere mayores estudios. Histotecnólogo: Del Viso S.

susmic2003@yahoo.com.ar

194

PATOLOGIAS BUCALES. DETECCION DEL VIRUS DEL PAPILOMA HUMANO MEDIANTE TECNICA MOLECULAR

Micinquevich S*, Mayocchi K, Dorati P, Gómez M
Patología y Clínica Estomatológica - FOLP

Diferentes patologías bucales han sido asociadas con el Virus del Papiloma Humano (VPH). Entre ellas, las más estudiadas son las lesiones precursoras y malignas de la mucosa bucal. Sin embargo, otras lesiones de estirpe odontogénica se han relacionado al VPH. **OBJETIVO** Identificar y genotipificar los distintos tipos virales mediante la utilización de técnica molecular. **MÉTODO**. Se trabajó con material de archivo del Laboratorio de la FOLP, con los siguientes diagnósticos histopatológicos : a) Leucoplasias (n=15) ; b)Carcinomas a células escamosas (n= 21) ; c)Ameloblastomas (n=8) ; d)Queratoquistes (n = 4) ; e)Epulis congénito del recién nacido (n=1) y f)Nódulo de Bohn (n = 1). Los dos últimos casos con diagnóstico clínico. Se aplicó la Técnica de Reacción en cadena de la polimerasa (PCR) para la detección del genoma viral y la variante LIS-SSCP (Low Strenght Conformation Single) para la determinación de tipos. Se tuvieron en cuenta controles. **RESULTADOS**: a)Leucoplasias: 9 casos positivos para VPH (60%), con la siguiente distribución por tipos: VPH6: 1 caso (11,11%); VPH18: 2 casos (22,22%); VPH16: 4 casos (44,44%); VPH31: 1 caso (11,11%) y VPH45: 1 caso (11,11%); b)Carcinomas a células escamosas: 13 casos positivos (61,9%), con la siguiente distribución: VPH6: 2 casos (15,38%); VPH11: 4 casos (30,77%); VPH16: 6 casos (46,15%); VPHs16/18: 1 caso (7,69%); c)Ameloblastomas: 8 casos positivos (100%) (Técnica repetida), con la siguiente distribución: VPH6: 3 casos (37,5%) ; VPH16: 3 casos (37,5%); VPH11: 1 caso (12,5%) y VPH18: 1 caso (12,5% ; d)Queratoquistes : 0 casos positivos (0%) ; e)Epulis congénito del recién nacido : 1 caso VPH16 positivo y f)Nódulo de Bohn: 1 caso VPH6 positivo. **CONCLUSION** Este rastreo, basado en porcentajes de frecuencia relativa, permitió detectar en la serie de patologías bucales estudiadas los VPHs 16 (de alto riesgo) y 6 (de bajo riesgo) como prevalentes y como poco habituales los tipos 31 y 45, más circunscriptos al área genital. La evidencia científica acumula hallazgos que asocian cada vez más al VPH con patologías bucales, sin descartar su presencia como pasajero. Este estudio básico aportaría datos para incluir la sospecha de infección VPH al momento del diagnóstico. Histotecnólogo: Del Viso S.

susmic2003@yahoo.com.ar

195

CONCORDANCIA INTEROBSERVADORES EN RADIOGRAFÍAS SERIADAS DIGITALES DE PACIENTES CON ENFERMEDAD PERIODONTAL.

Jorrat M*, Romero S, Brito G, Medina JA, Rodríguez Aparicio MC
Cátedra de Rayos. PFO. FOUNT.

OBJETIVO: Conocer la concordancia inter observadores en la visualización de Rx Seriadadas Digitales de pacientes con Enfermedad Periodontal, mediante la observación de signos radiográficos. **MÉTODO:** 3 examinadores docentes en Radiología evaluaron 66 Rx Seriadadas Digitales de pacientes con E.P en las que se observaron las siguientes variables: edad, sexo, y otros signos radiográficos de la enfermedad. La misma fue clasificada según severidad de la lesión en categorías: leve, moderada y severa. Altura ósea con pérdida de inserción ≥ 2 mm y pérdida ósea vertical u horizontal. Otros signos visibles: trauma oclusal, patologías, implante y lesión de furcación. Se emplearon las pruebas estadísticas de T pareados, ANOVA, Kappa. **RESULTADOS:** Se analizaron 66 Rx Seriadadas Digitales. En el grupo de pacientes, el 67% pertenece al sexo femenino y 33 % masculino, con una media de edad 46 años. Del total de Imágenes estudiadas: en el 41 % la forma era severa, 31% moderada, 21% leve y un 5% no había enfermedad. En el 86% de las forma leves había ensanchamiento periodontal, mientras que en la forma severa sólo un 2% de casos. Estudiando la altura ósea: el 81% (n=63) con pérdida ósea, por debajo de los 2 mm; la pérdida ósea vertical se halló en el 73% de los casos y el 92% tenía pérdida horizontal. El 32% presentaba trauma oclusal, un 25% tenía patología periodontal, un 11% lesión de furcación. En un 17 % el terreno con E.P era portador de Implantes. También se evaluó la técnica radiográfica siendo adecuada en el 86%. Relacionando las variables altura ósea con E.P (n=63) hay asociación significativa (Test exacto de Fisher) $p=0,004$. Enfermedad Periodontal- Pérdida ósea Vertical (Test de Fisher, $p=0,56$). Enfermedad Periodontal- Pérdida ósea Horizontal (Test de Fisher, $p=0,13$) (Asociación no significativa) $p>0.05$. Al analizar la concordancia entre examinadores la misma es baja, parcial entre 2 de los Observadores con las tres variables. **CONCLUSIÓN:** La evaluación de la Imagen Radiográfica está sujeta a una amplia variabilidad, al ser baja, la concordancia inter observadores, podría deberse a la falta de entrenamiento visual para el reconocimiento de numerosos signos radiográficos.

suromero99@hotmail.com

196

CORROSIÓN DE JOYERÍA METÁLICA ASOCIADA A "PIERCINGS" BUCALES. ESTUDIO PILOTO.

Ferrari L*1, Sebelli P1, Domingo M§2, Steimetz T2, Aguas S3, Olmedo DG2,4
Cátedras de Odontología Integral Niños1, Anatomía Patológica2 y
Patología y Clínica Bucodental II3, FOUBA.CONICET4

La joyería metálica asociada a "piercings" bucales es una práctica frecuente en adolescentes. Los metales en contacto con los fluidos orgánicos pueden desencadenar procesos de corrosión. La citología exfoliativa y la caracterización de la joyería mediante microscopía electrónica de barrido (MEB) y análisis elemental por dispersión de rayos X (EDS) son métodos de utilidad para la evaluación de procesos de corrosión (SAIO 2012). **OBJETIVO** Evaluar en adolescentes la corrosión de joyerías metálicas utilizadas en "piercings" bucales y las implicancias tisulares relacionadas a su uso. **MÉTODO.** Se incluyeron 15 pacientes adolescentes de edad promedio 13 ± 2 años, 56% sexo femenino, que presentaban joyería metálica ubicada en labio y/o lengua. Se excluyeron del estudio pacientes con tratamiento ortodóncico y con prótesis y restauraciones metálicas. Los pacientes firmaron consentimiento informado. Se evaluaron las características clínicas de la mucosa. Se realizó citología exfoliativa de la zona periférica a la joyería. Los extendidos citológicos fueron coloreados con Papanicolaou. Se evaluó la superficie de joyería sin uso y de aquellas donadas por los pacientes (13), mediante MEB y EDS. **RESULTADOS** El rango de tiempo entre la colocación de la joyería y la obtención de la citología fue de 5 a 48 meses. En 3 casos la joyería se localizó en lengua y 12 en labio. Cuatro pacientes presentaron signos de metalosis en piel y otros 4, lesiones blancas en mucosa. Asimismo se observaron lesiones hiperplásicas, erosivas, edematosas, entre otras, asociadas a la joyería. Los extendidos citológicos revelaron partículas en células epiteliales y macrófagos. El EDS de la joyería mostró cromo, hierro y níquel (acero quirúrgico) en su composición. Con MEB se observaron en la joyería, con y sin uso, depresiones e irregularidades. No se encontró correlación entre el tiempo de uso y células cargadas. **CONCLUSIONES:** La joyería, desde su manufacturación, debería presentar mejores condiciones de superficie. De la superficie se desprenden iones-partículas metálicas al bioentorno. Las lesiones en la mucosa podrían originarse por hipersensibilidad a algunos de los metales de la aleación, galvanismo y/o traumatismos. Subsidiarios: PICT 2008-1116 ANPCyT, UBACyT 1190BA. §Beca Vocaciones Científicas (CIN).

lferrariod@yahoo.com.ar

197

NUTRIENTES Y ALIMENTOS ASOCIADOS A CÁNCER BUCAL

Secchi D*, Flores M, Brunotto M, Lanfranchi H
Patología Clínica, Anatomía Patológica, Radiología. UNC

Diversos carcinomas humanos de células escamosas se han identificado asociados a factores de riesgo como hábito de fumar, consumo de bebidas calientes, de carnes rojas, pobre salud oral, bajo consumo de frutas y verduras, entre otros. **OBJETIVO** evaluar la asociación entre la presencia de carcinomas bucales de células escamosas y el consumo de nutrientes y alimentos durante un mínimo de 5 años. **MÉTODOS**, estudio caso/control 2:1 de pacientes adultos, ambos géneros, edades entre 24-80 años, residentes en Prov. de Córdoba y que concurren a la Cátedra de Clínica Estomatológica "A" de la Facultad de Odontología de la UNC. Los datos filiatorios y de tipo de ingesta alimentaria nutricional se recolectaron en ficha clínica-médico-odonto-estomatológica y por cuestionario de frecuencia de consumo alimentario validado por Aballay et al., 2009. Los valores medios de consumos de nutrientes y carnes rojas se evaluaron mediante prueba de la Mediana, fijando un p-valor < 0.05 para significación estadística. **RESULTADOS**, la población de casos estuvo constituida por 11 (55%) varones, con edad media (mediana) de 53 años y 9 (45%) mujeres con edad media (mediana) de 66 años. El sitio más frecuente de detección de cáncer fue el borde de lengua. Se observaron variaciones significativas entre casos y controles de los valores medios (mediana) en el consumo de nutrientes, en el género femenino, como las fibras ($p=0,0414$) y las grasas ($p=0,0414$). En tanto no se observaron variaciones significativas entre el consumo medio de carnes rojas y el cáncer bucal ($p>0,05$), cuyo valor medio en los casos fue de 215,65 g/día en varones y 193,19 g/día en mujeres. **CONCLUSION**, en el género femenino el consumo en g/d de grasas y fibras fue significativamente mayor en los casos que en los controles. Estudios caso-control en poblaciones europeas han asociado el consumo de estos nutrientes con cánceres de cabeza y cuello.

secchidanteg@hotmail.com

198

INCIDENCIA DE RETENCIÓN DE CANINOS SUPERIORES Y DE ANOMALÍAS ASOCIADAS

Wuscovi LF, Rodríguez Navarro ME*, Aragón HN, Jorrat M, Medina J, Brito GN
Cátedra de Radiología de la Facultad de Odontología de la UNT

La incidencia en la retención de los caninos superiores varía del 1 al 3 % según diferentes autores en diferentes poblaciones. Estos caninos causan reabsorción de elementos vecinos y quistes dentígeros. **OBJETIVO**: Estimar la incidencia de retención de caninos superiores y determinar la presencia de otras anomalías de forma y número en una población estudiantil de la Facultad de Odontología de la Universidad Nacional de Tucumán. **MÉTODO**: Se estudiaron 156 pacientes de un rango de edad de 18 a 24 años. Estos pacientes son alumnos que asisten y cursan tercer año, en la Cátedra de Radiología, que aceptan previo consentimiento informado, la toma de una radiografía intraoral en zona de canino superior con objetivo de diagnosticar posibles anomalías de forma, número o posición. La mayoría de estas patologías solo son detectadas por hallazgos radiográficos y su diagnóstico temprano permitiría evitar o reducir consecuencias o secuelas. Se realizó el examen clínico y radiográfico utilizando técnica radiográfica sistematizada (Wuscovi et al 2009) y bisectal del lado derecho e izquierdo (este estudio corresponde a una actividad curricular pre clínica de la cátedra para la adquisición de destreza motriz). Se utilizó equipo radiográfico intraoral de 70kV y 8mA. El tiempo de exposición fue 0,4 segundo con todas las normas de radioprotección Ley 17757. En los estudios se observaron clínica y radiográficamente: a) presencia de caninos retenidos. b) presencia de supernumerarios c) presencia de microdoncias de incisivos laterales. d) presencia de agenesias de dientes laterales. Los estudios fueron digitalizados y los datos obtenidos fueron expresados como porcentaje. **RESULTADOS**: Se encontró que: a) la incidencia de los caninos superiores retenidos fue del 4,68 %, de supernumerarios fue del 1,56 %, de microdoncias fue del 1,56% y la de agenesias de Incisivos laterales superiores fue del 3,12%. **CONCLUSIONES**: a partir de este estudio de sondeo, observamos que el porcentaje de caninos superiores retenidos, es mayor con respecto a estudios realizados por otros investigadores en diferentes poblaciones, por lo que consideramos que sería conveniente aumentar el tamaño de la muestra para determinar la real importancia en nuestro medio de esta patología y otras asociadas, con consecuencias desfavorables.

marielitarn@gmail.com

199

EL *Helicobacter pylori* EN PLACA Y SALIVA. SU RELACIÓN CON LA INFECCIÓN GÁSTRICA

Adler I*, Muiño A, Aguas S, Harada L, Díaz M, Lence A, Labbrozzi M, Denninghoff V
Cátedra de Clínica Estomatológica FOUBA– CEMIC

El *Helicobacter pylori* (*Hp*) ha sido encontrado en la cavidad bucal y a nivel gastroesofágico. **OBJETIVO** realizar un meta-análisis con el fin de establecer la asociación del *Hp* en placa y saliva y su relación con la infección gástrica. **MÉTODO:** trabajos que investigaron la presencia del *Hp* en saliva y placa, considerando a la patología gástrica. Estas investigaciones fueron identificadas a través de MEDLINE y EMBASE hasta junio de 2013. Se excluyeron aquellos que no consideraron la patología gástrica, los que no reportaron claramente sus datos o sus diseños no eran válidos. Toda esta información se registró en una base de datos que se confeccionó utilizando el Data Entry del paquete estadístico SPSS 15.0, fijándose rango de valores admisibles para las variables dependientes (placa-saliva/ patologías gástrica) y las variables independientes (*Hp*. si/no). Se realizó OR-IC (0.95). **RESULTADOS:** Se seleccionaron 48 trabajos. Tres de ellos estudiaron únicamente la existencia de la bacteria en la saliva de pacientes con dispepsia, gastritis y úlcera gástrica con resultados positivos (Roman-Roman et al.) (Wang et al.) (Li C et al.). Reportaron la infección bacteriana en la placa y la saliva 15 investigaciones, de los cuales 2 mostraron resultados negativos, tanto en placa como en saliva al tratar de cultivar la bacteria (Luman et al) (De souza et al.) Indagaron exclusivamente en placa 28 ensayos clínicos. La técnica de diagnóstico más empleada fue la PCR y junto con la serología, el Clotest y el Southern-blotting fueron las más sensibles. El cultivo fue la metodología empleada para aislar la bacteria en 18 trabajos, con resultados negativos en 5 de ellos, 9 mostraron una positividad entre el 1 y el 10%, y 4 de ellos revelaron resultados mayores al 10%. Quince trabajos emplearon 2 o más técnicas de diagnóstico. La prevalencia fue superior al 40% con un OR de 4 (IC 2.01-6.90) **CONCLUSIÓN** Nuestros resultados avalan nuestro objetivo en relación a la asociación de la infección bacteriana en la placa dental y la patología gástrica, lo cual nos hace estimar que la placa dental es el primer reservorio extragástrico del *Hp*.

liadler@intramed.net

200

EVALUAR RADIOGRÁFICAMENTE LAS MANDÍBULAS Y TIBIAS DE RATONES NOD Y COMPARAR CON NOD SIN SÍNDROME DE SJÖGREN

Busamia, B^{*1}; Gobbi, C^{2,3}; Rivero, V⁴; Mariani, M¹; Fontana, S¹; Diomedi, M⁵;
Albiero, E³; Yorio, M³

1-Cátedra de Fisiología FOUNC; 2- Cátedra de Medicina II, Hospital Córdoba. UNC; 3- Unidad de Reumatología, Cátedra de Medicina I Hospital Córdoba. UNC; 4- Facultad de Ciencias Químicas. UNC; 5- Servicio de Radiología, Sanatorio Allende, Córdoba.

INTRODUCCIÓN: Los ratones no obesos diabéticos (NOD), un modelo de diabetes experimental, presentan concomitantemente alteraciones en las glándulas submandibulares y lacrimales. Histopatológicamente se desarrolla una afección equivalente al Síndrome de Sjögren (SS) humano. Hasta este momento no se han encontrado datos en la bibliografía sobre afecciones óseas en SS. **OBJETIVO** Comparar los cambios radiográficos en mandíbulas y tibias en ratones con SS (NOD-SS) en relación a controles NOD sin SS (NOD). **MATERIAL Y MÉTODO:** Se utilizaron ratones hembras NOD con SS y controles NOD mantenidos en condiciones de laboratorio específicas libre de patógenos en el bioterio de la Facultad de Ciencias Químicas de la U.N.C. A los 4 meses de edad (peso 80 ± 10 g) los animales fueron sacrificados y se extrajeron ambas tibias y mandíbula. Se tomaron radiografías con un Equipo Digital Directo Mammomat Inspiración Siemens^R. Se midieron 4 zonas (trabecular y cortical en epífisis y diáfisis) correspondientes a las tibias; en tanto que en los maxilares se analizaron dos zonas (trabecular y cortical) en el tabique interradicular del primer molar. Se realizó un estudio comparativo de cada zona por diferencia de radioopacidad con un programa de análisis de imágenes Radiant DICOM. Los datos obtenidos fueron analizados estadísticamente mediante ANOVA. **RESULTADOS:** Se observaron disminuciones significativas en los valores en epífisis cortical (p < 0,002), diáfisis cortical (p < 0,000) y trabecular (p < 0,001), mientras que en epífisis trabecular de tibia y en ambas zonas mandibulares no se encontraron diferencias significativas. **CONCLUSIÓN:** Estos resultados sugieren que ratones NOD SS presentarían afecciones óseas en tibia y no en mandíbula. Financiamiento: SeCyT, UNC. Córdoba.

beabusamia@hotmail.com

201

CAPACIDAD DE FORMACIÓN DE ACETALDEHÍDO EN SALIVA EN RELACIÓN A LA CONSERVACIÓN DE LA MUESTRA

Belardinelli P*, Bisogno F, Oksdath G, Baruzzi A, López de Blanc S.
Cátedra de Estomatología B, Facultad de Odontología y Departamento de Fisiología y Química orgánica, Facultad de Ciencias Químicas UNC.

El estudio de la capacidad productora de acetaldehído por la saliva, es de interés desde el punto de vista del cáncer en general y especialmente del cáncer bucal. El acetaldehído, primer metabolito de oxidación del etanol, es mutagénico tal como se ha demostrado en la literatura. Se produce en el epitelio por acción de la alcohol deshidrogenasa, pero los niveles más altos derivan de la oxidación microbiana del etanol por la microflora oral. El estudio de la saliva nos permite obtener información sobre la exposición de las mucosas al acetaldehído. **OBJETIVO** Evaluar el tiempo y temperatura de conservación de la saliva para determinar la capacidad de formación de acetaldehído por el método de Head space. **MÉTODO** se utilizaron 4 muestras de saliva tomadas en ayunas, las que fueron divididas en 5 alícuotas: una alícuota fue procesada en forma inmediata, el resto se conservó a -18°C y a -70°C para ser procesadas a los 15 y 30 días. La saliva fue descongelada y colocada a 37°C . Una muestra de 400 μL fue colocada en un vial a la que se le agregó 50 μL de solución de buffer fosfato de potasio 100mM, pH 7,4 conteniendo etanol en concentración final 22mM; los viales se cerraron inmediatamente y fueron incubados durante 90 minutos; luego la reacción fue detenida mediante el agregado de 50 μL de ácido perclórico y un estándar interno de 1-pentanol a través del septum. Se utilizó una fibra SPME Carboxen/PDMS 75 μm y un *holder* (sostenedor) manual para aplicar la técnica de *Head space* y su posterior inyección. En el análisis estadístico se aplicó el test de Wilcoxon para muestras apareadas. **RESULTADOS** No se observaron diferencias significativas entre el valor inmediato y las muestras conservadas durante 15 días en ambas temperaturas. A los 30 días ya se observó variación en las muestras conservadas a -18°C . **CONCLUSIÓN** con los presentes resultados se considera que es factible conservar hasta 15 días las muestras a -18°C y hasta 30 días a -70°C , sin alterar la capacidad de la saliva para generar acetaldehído.

pabelardinelli@yahoo.com.ar

202

ADMINISTRACIÓN SECUCIAL DE ALENDRONATO Y RANELATO DE ESTRONCIO EN RATAS OVARIECTOMIZADAS

Díaz DH*, Oyhanart SR, Mandalunis PM, Escudero ND
Cátedra de Histología y Embriología. FOUBA

Los bisfosfonatos (BFs) son drogas utilizadas hace décadas para el tratamiento de la osteoporosis. Debido a la reciente asociación entre el uso de BFs, la aparición de osteonecrosis de los maxilares y la instalación de un hueso adinámico, el protocolo de utilización de BFs ha cambiado: ya no se los utiliza por períodos prolongados sino que se los administra y luego se alterna con otras drogas como el ranelato de estroncio (RSr), que posee otro mecanismo de acción. Por ello, el **OBJETIVO** del presente trabajo fue evaluar el efecto de un BF y el tratamiento posterior con RSr sobre el tejido óseo interradicular en animales ovariectomizados. **MÉTODO:** Se utilizaron 24 ratas Wistar hembra de 2 meses de edad divididas en 6 grupos. En el tiempo 0 todas fueron ovariectomizadas. El día 30 se comenzó con la administración de alendronato (ALN) en una dosis de 0.3 mg/kg/semana via ip o vehículo durante 2 meses y luego se lo reemplazó por la administración de RSr en el agua de bebida (4 gr/L) o agua corriente durante 4 meses. Dos grupos recibieron ALN o vehículo (ALN y VEH) y fueron sacrificados previo a la administración de RSr a los 3 meses de experiencia; los otros 4 grupos fueron sacrificados a los 7 meses de experiencia (ALN+RSr, VEH+RSr, ALN+AGUA, VEH+AGUA). Se extrajeron las mandíbulas y se procesaron para obtener 2 cortes por cada animal, orientados en sentido mesio distal a nivel del 1° molar. Uno de los cortes fue coloreado con HE para la determinar el volumen óseo interradicular (BV/TV, %) y el otro fue utilizado para la detección histoquímica de TRAP para medir el número de osteoclastos (Oc/mm). Los datos fueron analizados mediante el test de Anova de una vía y el test de Bonferroni. **RESULTADOS** más relevantes: BV/TV (%): ALN+RSr 60,3 \pm 4,9; VEH+RSr 35,2 \pm 5,2; ALN+AGUA 55,1 \pm 8,3; VEH+AGUA 30,3 \pm 4,1; $p < 0.001$ (ALN+RSr vs VEH+RSr y VEH+AGUA; ALN+AGUA vs VEH+AGUA). Oc/mm: ALN+RSr 0,8 \pm 0,3, VEH+RSr 1,0 \pm 0,2, ALN+AGUA 1,1 \pm 0,3, VEH+AGUA 0,6 \pm 0,2; $p > 0.05$. **CONCLUSIÓN:** Los resultados demuestran un efecto aditivo entre ambas drogas y que el tratamiento con RSr luego de haber utilizado BFs, es efectivo y una alternativa para evitar el uso prolongado de BFs. UBACyT 20020120100190BA.

diego.diaz@obsba.org.ar

203

BIOESTIMULACIÓN DE LA REPARACIÓN DEL HUESO ALVEOLAR DE RATA POST EXTRACCIÓN CON RADIACIONES LASER DE BAJA POTENCIA (RLBP)

Plavnik LM, Rubio S, Gait MT, Fontana S*, Malberti A. 1
Cátedras de Histología A, Periodoncia B y Ortodoncia B. FOUNC

Las RLBP han demostrado tener efecto bioestimulante sobre muchos tipos celulares. En la cicatrización ósea, los primeros eventos son cruciales para la calidad ósea. **OBJETIVO** nos propusimos evaluar morfológicamente e histomorfométricamente la respuesta del hueso alveolar post extracción aplicando RLBP. **MÉTODO** Ratas Wistar machos (n=16) fueron anestesiados y se les realizó la extracción de ambos primeros molares inferiores. Los alvéolos del lado izquierdo fueron irradiados con láser de He-Ne, con 4 J/cm², durante 1,30 minuto; los contralaterales no se irradiaron. Los animales se sacrificaron a los 7 días post extracción. Los hemimaxilares fueron disecados, fijados, desmineralizados y procesados para su inclusión en parafina y coloración. Se realizaron cortes vestibulo-lingual a la altura del primer molar, se observaron microscópicamente y se analizaron histomorfométricamente el área osteocítica, porcentaje de hueso trabecular, y cantidad de osteocitos y osteoblastos/mm² con el programa Image Pro Plus 4.1. **RESULTADOS** Se observó en el alveolo experimental en contraste con el control, un gran incremento del número de osteoblastos, con inicio de producción de osteoide, y de la angiogénesis, y amplias cavidades osteocíticas. Histomorfométricamente observamos que la diferencia de cantidad de osteoblastos por mm lineal (670 en el grupo experimental contra 420 en el grupo control) resultaron estadísticamente significativas (p<0.05). **CONCLUSIÓN** estos resultados confirman que las RLBP producen un efecto bioestimulante temprano en la reparación post extracción del hueso alveolar de rata.

Proyecto subsidiado SECyT UNC. 162/12.

marioplav@yahoo.com

204

RESPUESTA DEL HUESO ALVEOLAR POSEXTRACCIÓN FRENTE AL HIDRÓXIDO DE CALCIO Ca (OH)₂- ESTUDIO PRELIMINAR

Gait MT, Fontana S, Rubio S, Plavnik LM, Malberti A*.
Cátedras de Histología A, Periodoncia B, Ortodoncia B FOUNC

En SAIO 2009 informamos que el Ca (HO)₂ colocado en tibia de ratas acelera y promueve la regeneración ósea. Sin embargo está perfectamente establecido que hay diferencias reaccionales entre el hueso largo y el alveolar. Por ello nos propusimos como **OBJETIVO** evaluar la respuesta del hueso alveolar post extracción frente al Ca (OH)₂. **MÉTODO** se utilizaron ratas Wistar machos (n=15). Los animales fueron anestesiados y se les realizó la extracción de ambos primeros molares inferiores. En los alvéolos izquierdos se colocó Ca (OH)₂ purísimo y un trozo de esponja reabsorbible recubriendo el relleno; los del lado derecho se utilizaron como controles sólo con esponja. Los animales fueron sacrificados a los 7, 15 y 30 días post extracciones. Ambos hemimaxilares se disecaron, fijaron, desmineralizaron y procesaron para su posterior inclusión en parafina. Se obtuvieron cortes seriados, se colorearon con H/E y se observaron microscópicamente. **RESULTADOS** Estructuralmente, a los 7 días en la zona en contacto con el Ca (OH)₂ se observó hialinización de la matriz ósea con pérdida de osteocitos viables y/o de las cavidades osteocíticas, además se visualizó incorporación de restos del material en esa matriz. El tejido conectivo circundante presentó infiltrado inflamatorio. A los 15 días en el lecho perimplantario se observó infiltrado inflamatorio, núcleos de tejido condroide rodeados por una sustancia hialina acidófila y el tejido óseo presentaba espacios medulares con osteoblastos secretores. A los 30 días el tejido condroide estaba rodeado de osteones y líneas incrementales bien marcadas, con neoformación capilar en los conductos de Havers. **CONCLUSIONES** a diferencia de lo observado en la tibia, en este modelo el Ca (OH)₂ indujo procesos inflamatorios a tiempos tempranos; a tiempos más largos se produce el proceso de reparación del hueso alveolar. Proyecto subsidiado por SECyT, UNC. Res 162/12.

inesmalberti@gmail.com

205

RELACIÓN ENTRE BIOTIPO Y ANOMALÍA DE PACIENTES ORTODÓNCICOS DE LA FOUBA

Folco AA, Pérez A*, Piñero R, Hecht P, Mateu ME.
Cátedra de Ortodoncia. FOUBA

El biotipo facial determina el tipo de crecimiento en sentido vertical de los pacientes. Las maloclusiones dentarias en sentido ántero-posterior se clasifican en anomalías clase I, II, y III y puede considerarse la clase molar o canina, que pueden coincidir entre sí o no. **OBJETIVO:** Determinar la prevalencia de biotipo y anomalía dentaria de la población que conforma los pacientes que asisten al servicio de la Cátedra de Ortodoncia de la UBA y establecer si existe alguna relación entre biotipo y anomalía. **MÉTODOS:** Se relevaron los datos provenientes de las historias clínicas de 234 pacientes que obtuvieron el alta en su tratamiento ortodóncico en la Cátedra de Ortodoncia de la FOUBA, durante el año 2011. La población se clasificó según el biotipo y las clases molar y canina. El biotipo se determinó según el valor de VERT tomado del Cefalograma de Rickets. Las clases molar y canina se determinaron a través de la observación de las fotografías intraorales iniciales de cada paciente. **RESULTADOS:** De un total de 234 pacientes, 47% presentaron clase I, 34% clase II y 19% clase III molar con diferencia estadísticamente significativa entre los grupos. En cuanto al biotipo, 45% presentaron biotipo dólicofacial, 35% braqui y 20% meso, existiendo diferencia estadísticamente significativa en la comparaciones de porcentajes (distribución binomial). Al relacionar clase molar, canina y biotipo, según el test de Spearman, no hay asociación significativa al nivel $p=0.05$ entre las tres variables. Al aplicar regresión no paramétrica entre clase molar y valor de VERT no hay correlación significativa ($p=0.12$) y entre clase canina y VERT, no hay correlación significativa (0,18) **CONCLUSIONES:** El biotipo dólico facial es el de mayor prevalencia, seguido de braquifacial, y en menor proporción mesofacial. En cuanto a la clase molar, es más frecuente la clase I, luego la II y finalmente la clase III. No existe correlación entre biotipo y clase molar y clase canina.

adrianacp@gmail.com

206

DETERMINACIÓN DE LA EDAD ÓSEA APLICANDO EL MÉTODO DE CALDAS Y COL

Avellaneda RV, Alderete V, Aragón H, Wuscovi L*, Gordillo ME.
Cátedras de Odontopediatría y Radiología- FOUNT

Los estudios sobre la validez de métodos radiológicos predictores de edad ósea en niños de una geografía o cultura cercana a la nuestra son reducidos. Muchas veces se usan como estándares de referencia o no cuestionan su validez. **OBJETIVO** Analizar la exactitud del método Caldas y col, en la determinación de la edad ósea a través de mediciones de vértebras cervicales en telerradiografías de perfil y edad dental en radiografías panorámicas en una población de niños y niñas de San Miguel de Tucumán. **MÉTODO:** Se seleccionaron al azar 58 niños (concurrentes a servicios radiográficos como estudios previos al tratamiento ortodóncico) de los cuales fueron 27 varones y 31 mujeres con un rango de edad entre 5 y 12 años. Se les tomó radiografía panorámica y cefalometría lateral. Las mediciones se realizaron con un software Sidexis XG (Siemens Germany), calibradas a escala real. La edad cronológica fue obtenida entre la fecha de nacimiento y la del estudio. La edad dental se determinó en radiografías panorámicas. La predicción de la edad ósea a partir de vértebras cervicales se realizó siguiendo las fórmulas propuestas según Caldas y col. El análisis de datos de edad cronológica, edad dental y edad ósea obtenida en imágenes radiográficas de vértebras fue realizado con el test T Pareado. **RESULTADOS:** Niñas: no se encontró diferencias significativas entre la edad dental y la edad cronológica ($p>0,05$), cuya discrepancia fue de $0,23\pm 0,11$. Se encontró diferencias significativas entre la edad cronológica y la edad ósea ($p<0,05$), siendo la diferencia de $-0,99\pm 0,39$. Niños: no se encontró diferencias significativas entre la edad dental y la edad cronológica ($p>0,05$), cuya discrepancia fue de $0,096\pm 0,14$. Se encontró diferencias significativas entre la edad cronológica y la edad ósea ($p<0,001$), siendo la diferencia de $2,19\pm 0,51$. **CONCLUSIÓN:** Las diferencias entre la edad cronológica y la edad ósea obtenidas aplicando el método de medición de vértebras cervicales no otorgaría exactitud para determinar la edad cronológica a través de la edad ósea según sexo. Esta discrepancia fue aún mayor en varones. Se deberían hacer ajustes para poder aplicarlo en niños de nuestra población.

rosavel2001@yahoo.com.ar

207

PROYECTO: EVALUACIÓN IN VITRO DEL SELLADO MARGINAL DE CEMENTOS RESINOSOS DE AUTOGRABADO

Chávez Lozada J*, Urquía Morales C.
Cátedra de Operatoria I "B". U.N.C. Argentina

Una de las propiedades deseables de los medios cementantes, es otorgar un adecuado sellado marginal, para evitar la microfiltración. **OBJETIVO:** evaluar el sellado de cementos resinosos de autograbado, en base al grado de filtración marginal en incrustaciones cerámicas (inlay). **MÉTODO:** Se utilizarán 25 premolares superiores extraídos por razones ortodóncicas, donde se realizarán preparaciones cavitarias oclusales con paredes ligeramente divergentes y profundidad que sobrepase ligeramente el límite amelo-dentario, con forma troncocónica norma ISO 012 (Komet, Germany) a súper alta velocidad. Las muestras serán distribuidas aleatoriamente en 5 grupos, según el tipo de cemento: GRUPO 1: Bis Cem (Bisco), GRUPO 2: Empress 2, Ivoclar-Vivadent), GRUPO 3: Relyx ARC (3M/ESPE), GRUPO 4: Empress 2, Ivoclar-Vivadent), GRUPO 5: Relyx ARC (3M/ESPE). Las muestras se conservarán en agua destilada a 37°C, durante 7 días. Luego, serán sumergidas en una solución colorante de fucsina básica al 0.5% durante 24 hs, a 37°C, enjuagadas y posteriormente desgastadas en sentido longitudinal V-P sobre discos rotatorios de carburo de Si de granulometría decreciente, hasta un plano medial, para ser observadas con lupa estereoscópica a 40x de aumento. El grado de filtración marginal será determinado teniendo en cuenta la penetración longitudinal del colorante en la interfase diente- restauración, con una escala de 0 a 4. Los datos obtenidos serán analizados mediante la prueba no paramétrica de Kruskal-Wallis, con una significancia del 5% (p=0,05). La originalidad radica en la evaluación de un nuevo material de cementado, autoadhesivo. **FUNDAMENTACIÓN:** Las restauraciones rígidas deben ser fijadas a las estructuras dentarias, por medio de agentes cementantes, para evitar su desprendimiento y mantener un adecuado sellado marginal.

PROYECTO

juliochavezlozada@yahoo.com.ar

208

PROYECTO: COMPARACIÓN DE LAS TÉCNICAS ANESTÉSICAS TRONCULAR E INFILTRATIVA EN COLOCACIÓN DE IMPLANTES

García Blanco M*, Puia SA
Cátedras De Cirugía y Traumatología Bucocomaxilofacial I Y II, FOUBA

OBJETIVO: Proporcionar evidencia científica que brinde comprensión de la relación entre el dolor y las maniobras quirúrgico implantológicas en la cercanía al nervio dentario inferior, comparando las técnicas anestésicas troncular e infiltrativa. **MÉTODO:** Se realizará una investigación clínica experimental, prospectiva, aleatorizada y a doble ciego. Se incluirán los pacientes que concurren a las Cátedras de Cirugía I y II de la FOUBA para cirugías implantológicas en el sector posterior de la mandíbula. Se evaluarán experiencias pasadas de dolor, cercanía al conducto dentario inferior, confort durante la cirugía implantológica, dolor durante el fresado o la colocación del implante, y particularidades anatómicas de cada individuo. El análisis estadístico se realizará mediante la prueba U de Mann-Whitney, y para variables cuantitativas se utilizará la prueba de Student agrupado. **ORIGINALIDAD:** Si bien se han publicado estudios sobre lesiones nerviosas en el sector posterior de la mandíbula, pocas veces se ha publicado sobre la técnica anestésica, y los resultados de la técnica anestésica, y que preconizan una de las técnicas, o estudios no comparativos, prospectivos, que comparativos, prospectivos, y si la técnica anestésica y la percepción dolorosa, generan o no un beneficio, para evitar la lesión del nervio dentario inferior en implantología. **FUNDAMENTACIÓN:** Se espera llegar a los resultados que indiquen qué técnica anestésica es la más adecuada para la colocación de implantes en el sector posterior de la mandíbula, haciendo hincapié en la percepción dolorosa, en la prevención de la lesión del nervio dentario inferior, y analizando riesgo-beneficio de ambas técnicas. Consideramos que esta investigación sería un gran aporte de evidencia científica sobre este tema sujeto a controversia y que podría contribuir en forma significativa a la toma de decisiones terapéuticas de las cirugías implantológicas del sector posterior de la mandíbula.

PROYECTO

matiasgarcia blanco@yahoo.com.ar

209

PROYECTO TÉCNICA DE MICROSCOPIA ÓPTICA PARA IDENTIFICAR EL SEGUNDO CONDUCTO MESIOBUCAL

Oneto JM ^{*1,2}; Giménez del Arco ML¹; García Puente C²; Tamini, LE y Abate PF²
¹Carrera de Especialización en Endodoncia. Universidad Maimónides
²Cátedra Clínica Integral Adultos. FOUBA

OBJETIVO El gran porcentaje de fracasos observado en la raíz mesio-bucal de los molares superiores hizo que los endodoncistas observaran con mayor atención la anatomía de esa raíz, la cual reveló la presencia de un nuevo conducto que, al no tratarse, conlleva a un fracaso de todo el sistema. Por ello, nuestro objetivo es identificar el segundo conducto mesio-bucal (MB2) del primer molar superior evaluando, comparativamente, la detección de MB2 mediante microscopio óptico clínica. **MÉTODO:** Se seleccionarán 50 pacientes adscritos a la Carrera de Endodoncia de la Facultad de Odontología de la Universidad Maimónides para el tratamiento endodóntico en los primeros molares superiores. El protocolo de acceso y localización del conducto, será realizado por el primer molar superior. En los casos en que las piezas dentarias se procederá a la apertura de la cámara pulpar se utilizará una broca N° 4 (Komet, Alemania); se realizará aislamiento absoluto con un sellador de Hipoclorito de Na al 5,25% (HNa -Tedequim, Argentina); se removerá el techo cameral y se irrigará la cámara pulpar con HNa. Se rectificará el acceso coronario con fresa ENDO Z (Maillefer, Suiza). La entrada del conducto MB2 se buscará entre los orificios mesio-bucal y palatino, debajo de la cresta marginal. Se empleará como coadyuvante Azul de Metileno en solución acuosa estéril al 1%, para identificar el orificio de entrada al conducto MB2 en el piso cameral. Se utilizará una lima K N° 10 (Maillefer, Suiza) precurvada para cateterizar la dirección del conducto. Este protocolo se realizará a ojo desnudo y con Microscopio óptico (MO) (Newton, Argentina) a 4x, 10x,12x,16x y 25x. La **ORIGINALIDAD** de este proyecto se basa en la importancia de incorporar el MO en la práctica clínica de la Endodoncia para la localización certera del MB2. En base a lo expresado, la **JUSTIFICACIÓN** del trabajo se fundamenta en la disminución del porcentaje de fracasos como consecuencia de haberse abordado el conducto MB2, otorgándole mayor predictibilidad a los tratamientos endodónticos en los primeros molares superiores cuando se utiliza magnificación mediante el empleo de MO.

jimeoneto@hotmail.com

210

PROYECTO: DIAGNÓSTICO DE EDUCACIÓN MEDIANTE PRUEBAS EN SALIVA

Rhys K*, Bonnin C, Ceballos A, Gargantini P, Molina G
Escuela de Odontología, Facultad de Medicina. Universidad Católica de Córdoba

INTRODUCCIÓN: La saliva es uno de los fluidos corporales de importancia, su estudio compete directamente a la Ciencia Odontológica. La profundización en la relación entre la salud odontostomatognática como parte holística de la salud integral ha llevado a la bioquímica, inmunología y microbiología a utilizarla como medio de diagnóstico. Actualmente podría ser un recurso para guiar la actividad docente y mostrar en forma objetiva los niveles de estrés de los estudiantes, optimizando los procesos de enseñanza-aprendizaje. **OBJETIVOS:** 1- Realizar un análisis estratégico de la realidad y el horizonte de finalidades a través del conocimiento de los niveles de estrés de los alumnos en diferentes etapas del año lectivo 2- Monitorear y evaluar el proyecto como una forma de gestionar calidad y efectividad en la enseñanza. **MÉTODO:** Se seleccionarán 50 alumnos de la Carrera de Odontología, Facultad de Medicina de la Universidad Católica de Córdoba para cada semestre (3 registros anuales). Años 2.013 a 2.015 inclusive se les realizará un examen de ensayo esterilizados que manipularán ellos mismos, retirará la muestra de saliva y se analizará los dosajes de cortisol y adrenalina mediante el método de inmunoensayo. Los alumnos completarán un cuestionario de estrés y se obtendrán los resultados obtenidos y una serie de estadísticas. **ORIGINALIDAD:** No se encontraron trabajos de esta índole realizados en Facultades de Odontología de las Universidades de Córdoba. Ni trabajos que obedezcan a estos objetivos y fundamentos en otras entidades.

FUNDAMENTACIÓN: Utilizando a la saliva como medio diagnóstico objetivo y fehaciente se pretende cotejar los niveles de estrés al comienzo de cada año lectivo, durante espacios periódicos del dictado anual y al final del mismo, ponderando si el paradigma elegido para el proceso enseñanza aprendizaje aplicado durante el trayecto pedagógico es el más efectivo y eficiente para la educación de calidad que se pretende brindar. Se destaca que los altos índices de estrés lejos de mejorar la construcción del conocimiento actúan en su deterioro.

rhyskaren@gmail.com

211

PROYECTO INTEGRIDAD DE UN CEMENTO UTILIZANDO DISTINTAS TÉCNICAS DE FIJACIÓN DE POSTES

Thompson L*, Tamini EliceGUI LE y Abate PF
Cát. Odontología Integral Adultos. FOUBA

El **OBJETIVO** del estudio es determinar el efecto del modo de incorporación de un cemento de base polimérica (C) al interior de una preparación radicular (R) que alojará a un poste orgánico reforzado con fibras (P), considerando tres variables: porcentaje de burbujas en la interfaz P-R, desplazamiento de P en sentidoápico-coronal y espesor de película de C. **MÉTODO:** estudio experimental controlado aleatorizado. Se utilizarán 90 premolares hu... los, divididos a su vez en dos subgrupos cada uno. Cada die... n los postes (Exacto Nro. 2 – Angelus, Brasil), utilizando tres...) – 3M ESPE, USA) al interior de las preparaciones (grupos... entarias pertenecientes a los subgrupos A1, B1, C1 para p... n sentidoápico-coronal. Las piezas dentarias perteneciente... nsversalmente por secciones pre-establecidas a fin de pode... f az P-R y espesor de película de C mediante la utilización de una tapa estereoscópica. Posteriormente, estas secciones serán sometidas a un ensayo mecánico de desalojo de P de la preparación. Los datos obtenidos se someterán a análisis estadístico (Variación con medidas repetidas para el factor intra-espécimen y prueba de Kruskal-Wallis). La **ORIGINALIDAD** de este trabajo se basa en la escasa información existente acerca de la comparación de diferentes técnicas de inserción de un cemento de base polimérica para la fijación de postes. Tanto la desadaptación de un poste a la pared de una preparación radicular, como una interfaz cementante con mayor cantidad de imperfecciones en su estructura, alteran el comportamiento biomecánico del sistema poste-estructura dentaria utilizado para anclar una corona. La **JUSTIFICACIÓN** de este trabajo se basa en definir la técnica más adecuada de inserción de un cemento de base polimérica para la fijación de postes que le otorgue al procedimiento una mayor predictibilidad clínica. lorenathompson@hotmail.com

PROYECTO

212

PROYECTO RESISTENCIA MECÁNICA Y ANÁLISIS DE FRACTURA DE PORCELANA SOBREINYECTADA SOBRE ESTRUCTURAS DE CIRCONIO

Capusotto A*, Tamini EliceGUI LE y Abate PF
Cát. Odontología Integral Adultos. Facultad de Odontología. UBA

El **OBJETIVO** de este estudio es determinar si tres estructuras de ZrO₂ obtenidas por similares métodos de confección y tratadas de diversa manera, al sobreinyectarles (SI) una cerámica de recubrimiento (CR), presentan la misma resistencia mecánica y el mismo tipo de falla. Las variables contempladas en la primera fase es la presencia de poros. Las variables consideradas en la segunda fase son: el tratamiento de superficie, la presencia de burbujas, el tipo de falla y la fuerza compresiva máxima soportada. **MÉTODO:** Se realizará la preparación dentaria de un premolar superior que será duplicado 45 veces con matrices de silicona. Previamente se tomarán 3 impresiones con silicona. Dos de ellas se cortarán longitudinalmente en sentido medial y coronal para ser utilizadas en la comprobación de los espesores del tallado. La tercera se utilizará para duplicar la anatomía de la pieza dentaria, previa al tallado. Esta réplica se utilizará mediante un relevamiento digital, conjuntamente con la preparación dentaria, para realizar el diseño de un casquete asistido por computadora. Se obtendrán 45 casquetes que serán distribuidos a 3 laboratorios. Cada uno confeccionará 15 casquetes (5 con SI y 10 con CR). Se obtendrán 3 grupos (ZZ, CM y C). Los diferentes casquetes serán sometidos a un ensayo de tensión y se obtendrá la fuerza de fractura y el tipo de falla. Se realizará el análisis de la Superficie Específica y se obtendrá el área superficial y el volumen de los poros. Posteriormente se realizará el análisis estadístico (ANOVA) de los datos obtenidos (n, z y a). Se realizará el análisis de la resina compuesta, serán sometidos a un ensayo de tensión y se obtendrá el tipo de fractura y la presencia de poros en el trayecto de la misma. Los datos obtenidos se analizarán estadísticamente (ANOVA). Hasta el día de la fecha no se dispone de literatura que compare 3 estructuras de ZrO₂ diferentes SI con CR y establezca cuál es el tratamiento de superficie para mejorar la adhesión entre ambas estructuras cerámicas. Los resultados de esta investigación le darán al clínico y al técnico dental, las herramientas para poder seleccionar diferentes alternativas terapéuticas en la utilización de coronas libres de metal. anibalcapusotto@gmail.com

PROYECTO

213

PROYECTO: ESTUDIO COMPARATIVO DE CLASIFICACIÓN DE FORMAS DENTARIAS EN RELACIÓN AL BIOTIPO PERIODONTAL

Senn LF *, Lazos JP, Rhis K, David OP

Departamento de biología Oral, Facultad de Odontología, UNC

INTRODUCCIÓN Las características morfológicas del periodonto están asociadas a la forma y tamaño de los dientes, los cuales representan una expresión del biotipo periodontal. El incisivo central superior (ICS) se usa como referente para definir las formas dentarias. En éste diente las diferencias entre los biotipos son más claras y sus características específicas más fácilmente identificables en relación a otros dientes. A fin de clasificar las variantes anatómicas (Triangulares, Ovoidales y Cuadrangulares) (Weissgold & col (triangulares, robustos). **OBJETIVOS** el objetivo es clasificar las formas del ICS. **METODO:** Se seleccionaron pacientes mayores de 18 años. Con arcadas completas, sin restauraciones ni caries en incisivos superiores. Sin excesivo desgaste incisal y/o erupción pasiva alterada serán excluidos de la muestra. Las medidas de longitud se obtendrán en forma directa con calibre y con un procesador de imágenes a partir de fotos. Se aplicarán los criterios de clasificación enunciados a) Cualitativo (según su aspecto); b) *Método de Olsson y col (CW/CL)*; c) *Método de Weissgold (CS/CL)*; d) *Metodo de Senn & col (md/MD)*. La validación de grupos morfológicos se realizará mediante métodos de clasificación (clusters) multivariados. **ORIGINALIDAD** No se registran trabajos de estas características en la bibliografía siendo esencial la correcta identificación de las formas dentarias como parte del biotipo periodontal. **FUNDAMENTACIÓN** Los biotipos periodontales fueron vinculados a los resultados de la terapia periodontal e implantaría. La correcta identificación de las formas dentarias como parte del biotipo periodontal es esencial para los futuros estudios asociados a este concepto, para lo cual no existe consenso sobre cuál es más apropiada.

PROYECTO

En A: Cualitativo o tradicional (según su aspecto), B: de anchos y cortos), C: de estrangulados, intermedios y otros métodos de clasificación de pacientes de ambos sexos y de contacto y bien alineados. por stripping ortodóncico, con

La muestra. Las medidas de longitud se obtendrán en forma directa con calibre y con un procesador de imágenes a partir de fotos. Se aplicarán los criterios de clasificación enunciados a) Cualitativo (según su aspecto); b) *Método de Olsson y col (CW/CL)*; c) *Método de Weissgold (CS/CL)*; d) *Metodo de Senn & col (md/MD)*. La validación de grupos morfológicos se realizará mediante métodos de clasificación (clusters) multivariados. **ORIGINALIDAD** No se registran trabajos de estas características en la bibliografía siendo esencial la correcta identificación de las formas dentarias como parte del biotipo periodontal. **FUNDAMENTACIÓN** Los biotipos periodontales fueron vinculados a los resultados de la terapia periodontal e implantaría. La correcta identificación de las formas dentarias como parte del biotipo periodontal es esencial para los futuros estudios asociados a este concepto, para lo cual no existe consenso sobre cuál es más apropiada.

luisfelipesenn@hotmail.com

214

PROYECTO: RESOLUCIÓN QUIRÚRGICA EN NIÑOS CON ANESTESIA LOCAL SIN SEDACIÓN COMO MUSICOTERAPIA COMO PROFILAXIS QUIRÚRGICA

Manterola ER*

Facultad De Odontología. Universidad De Buenos Aires

INTRODUCCIÓN La atención odontológica despierta en numerosos pacientes, especialmente en los niños, miedo y ansiedad que pueden originar conductas de rechazo a la misma o dificultar el trabajo del profesional. Las intervenciones quirúrgicas, en particular, ocasionan aumento del estrés en el paciente, su familia y el profesional. La mayor dificultad en el ejercicio de la Odontopediatría es el manejo de la conducta del niño. **OBJETIVO:** Demostrar que la profilaxis quirúrgica con Musicoterapia puede ser útil para los niños que deban afrontar un proceso quirúrgico. **MÉTODO:** Se realiza un ensayo clínico controlado a prueba de ciego. Los pacientes en forma aleatoria y alternada, se incluyen en Grupo 1 o Control sin Musicoterapia y Grupo 2 o Experimental con Musicoterapia. El proceso quirúrgico se desarrolla en cuatro consultas: dos pre quirúrgicas, una intra quirúrgica y una post quirúrgica. Los pacientes del grupo experimental participan de tres sesiones de Musicoterapia pre quirúrgica. **RESULTADOS:** Se registran: 1. Parámetros fisiológicos, parámetros subjetivos, por medio de escalas de medición. a) "Fear Avoidance Test" (Fogel). b) Miedo "Dental Subscale" (DS). c) "Modified Yale Perioperative Anxiety Scale" (MYPAS). d) "Anxiety in Children" (AC). e) "Anxiety in Parents" (AP). f) "Corah Dental Anxiety Index" (CDAI). g) "Anxiety in Children" (AC). h) "Anxiety in Parents" (AP). **ORIGINALIDAD** La profilaxis quirúrgica en niños es realizada por numerosos profesionales con anestesia general o local con o sin sedación. Se considera que el uso de la anestesia y la realización de una cirugía requieren de la preparación previa del niño, para ofrecerle un espacio y una oportunidad para adaptarse a la nueva situación. Este trabajo propone realizar las cirugías de los dientes retenidos con anestesia local sin sedación con Musicoterapia como profilaxis quirúrgica; basado en los objetivos de la "Musicoterapia en la Medicina" y la Psicoprofilaxis.

PROYECTO

Se registran: 1. Parámetros fisiológicos, parámetros subjetivos, por medio de escalas de medición. a) "Fear Avoidance Test" (Fogel). b) Miedo "Dental Subscale" (DS). c) "Modified Yale Perioperative Anxiety Scale" (MYPAS). d) "Anxiety in Children" (AC). e) "Anxiety in Parents" (AP). f) "Corah Dental Anxiety Index" (CDAI). g) "Anxiety in Children" (AC). h) "Anxiety in Parents" (AP).

La profilaxis quirúrgica en niños es realizada por numerosos profesionales con anestesia general o local con o sin sedación. Se considera que el uso de la anestesia y la realización de una cirugía requieren de la preparación previa del niño, para ofrecerle un espacio y una oportunidad para adaptarse a la nueva situación. Este trabajo propone realizar las cirugías de los dientes retenidos con anestesia local sin sedación con Musicoterapia como profilaxis quirúrgica; basado en los objetivos de la "Musicoterapia en la Medicina" y la Psicoprofilaxis.

odima.manterola@gmail.com

215

PROYECTO:EFECTOS ALVÉOLO DENTARIOS EN TRATAMIENTOS CON PLACAS ALINEADORAS. ESTUDIO TOMOGRÁFICO (CBCT)

Mateu ME*, Folco AA.

Cátedra de Ortodoncia de la Facultad de Odontología de la UBA

El tratamiento de alineación dentaria, consiste en el uso de placas alineadoras hechas a medida mediante un sistema computarizado. Se utilizan durante tres semanas, 22 horas diarias. Luego se descartan y reemplazan por un nuevo juego con un nuevo movimiento programado, sucesivamente durante 18 meses.

Poco se conoce de su acción a nivel alvéolo-dentario. **OBJETIVO** Comparar los estudios cefalométricos, tomografías computadas Cone Beam (CBCT) y modelos pre y post tratamiento de pacientes tratados con placas Keep Smiling. **MÉTODO.** Se incluirán 10 pacientes adultos de ambos sexos de la Cátedra de Ortodoncia de la FOUBA, con

consentirán su participación en con placas Keep Smiling. Definición

corticales óseas por vestibular de transversal y los torques e in variaciones en las mediciones

tratamiento. Tratamiento: Se de paciente. A partir de impresiones de silicona se creará la representación

modelos y se editarán las imágenes. Sde usará stripping, volcamiento dentario o expansión para obtener espacio y aplicando attachment en los casos necesarios. Registro de análisis y resultados: Los datos se registrarán en planillas de cálculos y serán tratados estadísticamente (Prueba T test para datos apareados y ANOVA).

ORIGINALIDAD Y FUNDAMENTACIÓN.La utilización de placas alineadoras es relativamente nueva y existen en la bibliografía pocos estudios clínicos a cerca de su aplicación. Ningún trabajo ha realizado estudios tomográficos para evaluar los cambios producidos en las corticales alveolares y no existen estudios que evalúen el funcionamiento de las placas Keep smiling. Asesores: Hecht P, Carbajal E. Equipo: Riguero G, Minutolo M del C, Benítez Roge M, Iglesias M, Lumi M, Calabrese D, Solla M, Pelizardi C, Herrera del Corral M A.



s dentarias. Los pacientes ando y recibirán tratamiento tomografías la altura de las

s de la alveolar en sentido ores cefalométricos y las cefalogramas pre y post

al diagnóstico de cada digital tridimensional de los

registro de análisis y resultados: Los datos se registrarán en planillas de cálculos y serán tratados estadísticamente (Prueba T test para datos apareados y ANOVA).

ORIGINALIDAD Y FUNDAMENTACIÓN.La utilización de placas alineadoras es relativamente nueva y existen en la bibliografía pocos estudios clínicos a cerca de su aplicación. Ningún trabajo ha realizado estudios tomográficos para evaluar los cambios producidos en las corticales alveolares y no existen estudios que evalúen el funcionamiento de las placas Keep smiling. Asesores: Hecht P, Carbajal E. Equipo: Riguero G, Minutolo M del C, Benítez Roge M, Iglesias M, Lumi M, Calabrese D, Solla M, Pelizardi C, Herrera del Corral M A.

maeuma2006@yahoo.com.ar

216

PROYECTO LA HIGIENE PROTÉTICA Y EL TABAQUISMO EN PRÓTESIS REMOVIBLES

Bramamonte E*, Peralta C, Álvarez P, Montañez D, Livolsi E, De la Vega D, Vera M

Facultad de Odontología

OBJETIVOS:Determinar la relación de higiene protética y tabaco. Identificar la influencia del tabaco con la higiene y con el grado de placa bacteriana presente. Establecer la presencia de placa bacteriana en las prótesis de fumadores. **METODO.** Estudio del tipo observacional, comenzará prospectivo y continuará descriptivo. El universo y muestra aleatoria de 50 sujetos, estará constituido por adultos desdentados totales de 50 a 80 años asistentes a la cátedra de Prostodoncia II B. La información se registrará en un formulario con las variables a estudiar. El

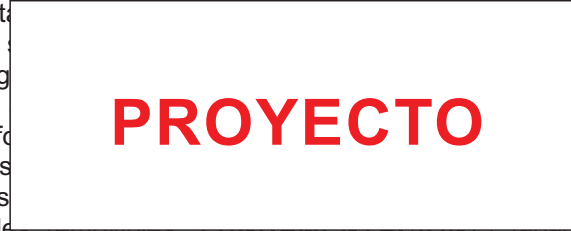
formarán 4 grupos: fumadores fumadores sin instrucción de hig serán retiradas, se lavaran con doble tono. Las mismas serán fo cada sujeto previamente lavadas bien se habla del tabaquismo, s

relación en las prótesis dentales removibles. **FUNDAMENTACIÓN.**El tabaco se encuentra más que comprobado, afecta la salud general de los organismos y de los dientes, provoca mayor adhesión de placa bacteriana. Observar si las medidas recomendadas son suficientes para romper la adhesión de la placa bacteriana o se deberá pensar en otras estrategias para mantener la salud bucal-protética.

Se

Se

Se



de, moderado, intenso). Se instrucción de higiene, no ento las prótesis dentales is se procederá a colocar grafía y serán devueltas a 1, 28. **ORIGINALIDAD:**Si

adidos, poco se sabe de la

Se encuentra más que comprobado, afecta la salud general de los organismos y de los dientes, provoca mayor adhesión de placa bacteriana. Observar si las medidas recomendadas son suficientes para romper la adhesión de la placa bacteriana o se deberá pensar en otras estrategias para mantener la salud bucal-protética.

monyalb@hotmail.com

217

PROYECTO: PREVALENCIA DE LESIONES DE TEJIDOS BLANDOS BUCALES EN UNA MUESTRA POBLACIONAL EN CABA

Rizzo V*, Giacco C, Lanfranchi H, Adler I, Aguas S, Stolbizer F.
S. de Guardia y Orientación de Pacientes, Cátedra de Clínica Estomatológica.
FOUBA.

Los tejidos blandos de la cavidad Oral son asiento de lesiones entre las que se encuentran las infecciosas, autoinmunes, tumorales y seudotumorales. Si bien estas lesiones constituyen un grupo ampliamente estudiado, se carece de datos ciertos que indiquen su prevalencia e incidencia en la población de la ciudad Autónoma de Buenos Aires. **OBJETIVO** Determinar la incidencia de las distintas lesiones que afectan los tejidos blandos de la cavidad oral en la población de la ciudad Autónoma de Buenos Aires, a fin de poder adoptar conductas preventivas adecuadas. Diseño de Estudio: descriptivo, prospectivo, de prevalencia. **MÉTODO:** Se realizó un estudio de prevalencia en el Servicio de Urgencias Odontológicas y Orientación de Pacientes de la Facultad de Odontología de la Universidad de Buenos Aires. Se llevaron a cabo por dos operadores calibrados y entre los meses de mayo y junio de 2010. Se seleccionaron 100 pacientes con lesiones de tejidos blandos. Los pacientes fueron evaluados clínicamente y se les realizó una historia clínica a fin de determinar el diagnóstico. Todos los datos fueron ingresados en una base de datos que se confeccionará utilizando el Data Entry del programa SPSS. Se analizarán las variables dependientes (patologías bucales) y las variables independientes (sexo, edad, hábitos etc.) para el procesamiento de la información. Para el análisis de los datos descriptivos, las variables continuas serán analizadas, con su media, mediana, modo, rango, el error estándar e intervalo de confianza. Las variables categóricas serán representadas en porcentajes o frecuencias relativas. Se efectuará el índice de concordancia o acuerdo observado, el kappa de Cohen. **ORIGINALIDAD:** Lesiones infecciosas, autoinmunes, seudotumorales y tumorales pueden comprometer los tejidos blandos de la cavidad oral. Si bien estas lesiones son bien conocidas, y existen reportes internacionales de incidencias en distintas poblaciones, no se cuenta hasta la actualidad con informes que establezcan la prevalencia e incidencia en una población de la ciudad Autónoma de Buenos Aires. El conocimiento preciso de la incidencia de las distintas patologías en una población determinada es de gran importancia para poder adoptar conductas preventivas efectivas para esa población específica.

PROYECTO

hosh07@hotmail.com

218

PROYECTO ATENCIÓN DEL COMPONENTE BUCAL EN NIÑOS DE UNA ZONA RURAL

Grilli S*; Di Nasso P.; Zabala R.; Martín L.
Facultad de Odontología Universidad Nacional de Cuyo

OBJETIVOS: Determinar las condiciones de salud-enfermedad bucal en niños en edad escolar en una zona rural y en condiciones de riesgo y vulnerabilidad, relacionar el estado de salud-enfermedad con el sistema de atención existente en la zona de influencia de esta comunidad, con el nivel de instrucción, con la educación en cuidados de la salud y determinar la oportunidad de acceso a la atención y salud. **METODO:** estudio epidemiológico transversal descriptivo de casos con un trabajo de intervención comunitaria. La variable dependiente fue la detección de la posibilidad de acceder a la atención de salud, componente bucal y determinar qué tipo de prestaciones recibieron. En este estudio fueron: sexo, edad, frecuencia de cepillado, y en las encuestas el 90% de los padres encuestados contestaron que el niño había sido atendido en el hospital o centro de salud para la extracción del elemento dental. Si el tratamiento recibido había sido la extracción del elemento dental, mientras que el 100% sabe que se debe cepillar tres veces al día por la información de la TV. Presencia de biofilm de placa: Índice de O'Leary: promedio en 140 casos =57,4%; Índice de hemorragia simplificado: Hs en vestibular de la pieza 41 grado 1 =124 casos; grado 0 =16 casos. Historia pasada y actual de caries: Registro de índice de Caries CDOD + ceod, CPOD (p=2,035); ceod (p= 3,28); C +c (p=3,85 +- 2,32); P+ei (p=0,72 +- 0,71); O+o (p=0,07 +- 0,24). NIVEL DE SEVERIDAD EN PREVALENCIA DE CARIES = 4,64 ALTO RIESGO DE PREVALENCIA DE CARIES Índice Significativo de Caries: 7 Índice Necesidad de tratamiento de caries de Bordoni: INTC=05 Caries amelodentinaria en 3 cuadrantes de la cavidad bucal. **CONCLUSIÓN** es indispensable comenzar acciones de promoción de la salud, educación para la salud, limitación del daño, acciones de intervención que mantenidas en el tiempo produzcan cambios de hábitos hacia el auto cuidado, poder realizar acciones conjuntas con centros de atención de salud pública para tratar de revertir la posibilidad que realice

PROYECTO

doctoragrilli@yahoo.com.ar

219

PROYECTO: ROL DE LA SALIVA COMO MARCADOR DE LA ENFERMEDAD PERIODONTAL

Baudo J; Tosti S*; Cecho A; Mazzeo D; Domínguez G; Allegretti P.
Facultad de Odontología de la UNLP

La enfermedad periodontal es una infección crónica de origen bacteriano. La IL-1 y el TNF- α son potentes estimuladores de la reabsorción ósea. El **OBJETIVO** del trabajo es la identificación de de IL-1 y TNF- α en saliva de pacientes con enfermedad periodontal, en las fases preoperatorias, postoperatoria y de mantenimiento; y correlación con la profundidad de las bolsas periodontales. Se tomó una muestra de 60 individuos, divididos en un grupo de control, sanos y otro grupo de enfermos periodontales. Se les realizó historia clínica, examen clínico y radiográfico de la enfermedad periodontal y graduación de la enfermedad. En la próxima fase del proyecto, se evaluará la efectividad del tratamiento y se controlará el índice de placa bacteriana. En el grupo control el índice de placa fue menor que en el grupo de enfermos periodontales. En el grupo control el 30% (9) moderado y severo en el 70% (21). Registro de movilidad dentaria grado 1 en el 24% (7) y grado 2 en el 76% (23). Los exámenes clínico y radiográfico constituyen los métodos tradicionales de diagnóstico de la enfermedad periodontal y evaluación de la efectividad del tratamiento. Sin embargo no arrojan respuestas exactas acerca de la verdadera destrucción de los tejidos, actividad de la enfermedad, respuesta al tratamiento y susceptibilidad de sufrir una recidiva. Para que los diagnósticos de saliva se conviertan en un elemento de rutina, se deben identificar biomarcadores salivares específicos de la enfermedad y desarrollar las tecnologías que detecten los biomarcadores de interés.

sobetis@yahoo.com.ar

220

PROYECTO IDENTIFICACIÓN Y CARACTERIZACIÓN DE FACTORES QUE INFLUYEN EN EL COMPONENTE BUCAL DE LA SALUD DE LOS POBLADORES DEL IBERÁ

Ojeda MC*; Maldonado Seniquel MF; Mendoza NL
Facultad de Odontología UNNE

El presente trabajo encuadra un diagnóstico epidemiológico del estado de salud – enfermedad de una región con características topográficas y geográficas particulares. Implica un estudio complejo, expresado en las dimensiones de análisis de las variables estudiadas. El **OBJETIVO** es caracterizar y registrar el perfil epidemiológico del componente bucal de la salud y necesidades de intervención en los habitantes naturales de la zona geográfica de Esteros y Lagunas del Iberá, Provincia de Corrientes. Para su comprensión se aplicará el **MÉTODO** de investigación cualitativa y cuantitativa, considerando la complejidad y participación de los actores involucrados en la salud propiamente dicha, - por su accesibilidad y disponibilidad-.c) Los socio-económicos y culturales se analizarán en relación con los procesos con una visión integral y sistémica, considerando los factores de riesgo y los recursos disponibles, así como también los factores de protección y promoción de la salud. Estos últimos favorecerán la interpretación de las situaciones observadas. Se realizarán jornadas de trabajo en las comunidades del humedal, previa gestión con referentes comunitarios para la invitación a las convocatorias. Como resultados parciales a la fecha, se realizaron 23 jornadas de trabajo de campo, 800 formularios protocolizados por la OMS y 180 encuestas a las familias e informantes claves. El análisis de las variables estudiadas, indican patologías odontológicas para las cuales existen métodos de prevención científicamente validados por su eficacia y efectividad. Para concluir, se exhorta a ejecutar actividades que tengan un perfil preventivo destinado especialmente a los niños, madres y tutores.

macrisgomez2000@yahoo.com.ar

221

PROYECTO: PROTOCOLO: ATENCIÓN ODONTOLÓGICA INTERDISCIPLINARIA EN PACIENTES CON CARDIOPATÍAS CONGENITAS DEL ADULTO

Winter G1, Monod S1, Morós CG2, Lama MA1, Lewin PG1, Alonso A1, Medina F1, Iglesias I1, Rubio MC1-2, Nicolosi LN1-2.
Cátedra de Patología y Clínica Bucodental y CLAPAR II1. FOUBA.
División Cardiología Hospital Español de Buenos Aires2

El 85% de los nacidos con cardiopatías congénitas alcanzan la adultez.. Como resultado del progreso de la terapéutica se estima que en corto plazo habrá más adultos que niños con cardiopatía congénita del adulto (CCA). Esta creciente población representa un desafío para la atención odontológica por su complejidad sistémica y su riesgo infectológico, generando la necesidad de un abordaje interdisciplinario (ID). **OBJETIVO:** estimar el estado de salud bucal de P con CCA. Establecer un protocolo de atención odontológica ID para el abordaje preventivo. **MÉTODO:** Estudio prospectivo, experimental, longitudinal, integrado por odontólogos con un psicólogo y un asistente social. Previa a su aplicación se evaluará el tipo y severidad de la CCA. Para su complejidad se dividirán en síndromes y se darán recomendaciones médicas. La atención odontológica se realizará en un consultorio equipado con carro de emergencia, monitor multiparamétrico y oxígeno, bajo control hemodinámico a cargo del médico. Se determinarán: presión arterial, oximetría de pulso y electrocardiograma. Estos parámetros se registrarán previo la atención odontológica, después de la infiltración anestésica y al finalizar el tratamiento. Protocolo de atención odontológica: odontograma, medición de índices gingival, periodontal y CPOD, realización cuando sea necesario de tratamiento odontológico intensivo en una sola sesión consistente en tratamiento quirúrgico, periodontal y de operatoria dental para alcanzar el alta básica odontológica basado en el tratamiento Full Mouth Disinfection y enseñanza de higiene y cepillado bucal. **CONCLUSIONES:** la atención odontológica de P con CCA mediante un equipo ID, permitirá conocer el estado de salud bucal y realizar un tratamiento eficaz y seguro en P con alta demanda de atención no resuelta por su complejidad, que necesitan como parte de su tratamiento cardiovascular mantener la salud bucal.

PROYECTO

gusiwini@hotmail.com

222

PROYECTO EVALUACIÓN DE UNA ESTRATEGIA EDUCATIVA SOBRE RECURSOS HUMANOS PREPROFESIONALES

Cohen SA*, Szapowalo L, Orellana Perez C, Tacca F, Domasso G, Bordoni N.
Cátedra de Odon Preventiva y Comunitaria - FOUBA
Instituto de Investigaciones en Salud Pública - Universidad de Buenos Aires

A diferencia de las revoluciones agrícola e industrial, la concepción valorativa se ha desplazado de la propiedad de bienes a la apropiación del conocimiento como elemento central, mientras la educación se transformó en una herramienta para aprender destrezas del pensamiento en lugar de habilidades manuales. El crecimiento de esta sociedad depende de la producción de nuevos conocimientos, su traducción a través de la educación, su divulgación gracias a las tecnologías de la información y la comunicación y su empleo mediano (Castells, 2003, Morin 1999, García, 2006). La formación de recursos humanos en el campo de la salud está influenciada por un marco teórico-práctico que incluye (a) el desarrollo de un capital humano sostenible, (b) el desarrollo de un capital social y (c) el empoderamiento (Ball et al 2000). **OBJETIVO:** evaluar los recursos humanos preprofesionales y el impacto de sus intervenciones en el campo de la salud pública. **MÉTODO:** - Estudiantes de grado incorporados voluntariamente en un curso tendiente al desarrollo de competencias en técnicas de comunicación interpersonal y de doble vía. 2.- Escolares de nivel primario asistentes a las escuelas públicas de la CABA destinatarios finales del proyecto. **MÉTODO:** La actividad educativa sobre los estudiantes universitarios se desarrollará aplicando la técnica del constructivismo situado en la comunidad para lograr aprendizaje significativo (Vygotsky, 1985; Perea Quesada, 2009), desarrollando tres áreas de práctica: el acceso a la información, la inclusión y participación de los destinatarios escolares y el rendimiento de cuentas. El componente evaluativo del proyecto incluirá: (a) monitoreo de proceso a través de la adherencia al programa de capacitación, (b) evaluación de productos mediante la técnica de resolución de problemas (Ball et al 2001, Díaz, 2007) y del impacto a través de la significación estadística de los cambios registrados en los indicadores clínicos de los escolares cubiertos en la actividad de campo y de la percepción del impacto del proceso educativo sobre los estudiantes universitarios. (Cea et al, 2004).

PROYECTO

drcohenod@gmail.com

223

PROYECTO EFECTIVIDAD DE DOS BARNICES DE FLUORURO SOBRE LA ESTABILIZACIÓN DE LESIONES DE CARIES INCIPIENTES

Pacheco R*, Cornejo C, Salvioni E, Salgado P, Toral M, Klemonsks G, Squassi A. Cátedra de Odontología Preventiva y Comunitaria, UBA

OBJETIVO: establecer la efectividad de dos barnices de fluoruro destinados a estabilizar lesiones de caries incipientes en piezas permanentes jóvenes. **METODO:** el estudio corresponde a un ensayo comunitario. Selección de población objetivo: Se considerará población elegible a escolares con edades entre 5 y 7 años que presenten como mínimo 1 molar permanente con lesión de caries incipiente. Criterios de exclusión: escolares que presenten enfermedades sistémicas o tratamientos asociados a alteraciones de la secreción salival. Selección de las unidades experimentales: Se incluirán 170 unidades experimentales en el grupo de referencia y 170 unidades en el grupo experimental, totalizando 340 unidades experimentales en el estudio.

los responsables legales de los menores la firma del consentimiento informado modificado para la utilización de la información con los fines de la investigación para el estudio del proceso de caries en las superficies estudiadas. (2005) Diseño del estudio: 1) Diagnóstico basal (a cargo del investigador principal) estableciendo un punto de corte para el diagnóstico de caries. 2) Aplicación de un protocolo para el control de la infección carogénica. 3) Asignación de los participantes a 2 grupos (A= Barniz de FNa 5% con TCP-fosfatotricálcico -Clinpro®-; B= Barniz FNa 5% -Duraphat®). Se utilizará una técnica de apareamiento según la necesidad de tratamiento de caries. 4) Aplicación de los barnices acorde a los protocolos establecidos 5) Control de la estabilización de las lesiones al año y a los 2 años. Procesamiento estadístico. Para la comparación de grupos se utilizará el Test de chi cuadrado, test de Fisher y comparación de proporciones para muestras independientes. Originalidad: no existen antecedentes de estudios epidemiológicos sobre efectividad de barnices conteniendo FNa al 5% con TCP (fosfato tricálcico) para estabilización de lesiones. **FUNDAMENTACIÓN** El proyecto aborda problemática referida al componente bucal de la salud en poblaciones vulnerables considerada prioritaria para el diseño de políticas de salud.

romi_pache@hotmail.com

PROYECTO

224

PROYECTO ESTUDIO DE CARACTERIZACIÓN DEL CÁNCER BUCAL EN LA PROVINCIA DE RÍO NEGRO

Vaney JL*1, Delgado ML1, Chicatún M1, Perg Y1, Gigena M1, Paniagua S1, Vicentino M1, Preliasco M1, Fernandez del Palacio S1, Missana L1, Marcantoni M1, Cabrini RL1, Brandizzi D1.1-Ciencias de la Salud Integradas II.Medicina Bucal, Carrera de Odontología UNRN 2- Div. Patología del, Dep. Radiobiología CNEA. LANAIS MEF (CONICET CNEA)

OBJETIVOS: Estudiar los factores de riesgo a los que están expuestos los pacientes con cáncer de la cavidad bucal en la provincia de Río Negro y las características propias de la enfermedad, realizando el seguimiento clínico-terapéutico de los enfermos. **MÉTODO:** Se incluirán pacientes con diagnóstico clínico e histopatológico de cáncer bucal, atendidos en el ámbito de salud pública de la provincia de Río Negro y en el Hospital Odontológico de la Universidad Nacional de Río Negro, donde se desarrollan las actividades clínicas correspondientes a la Carrera de Odontología. Se evaluarán aspectos clínicos asociados con la enfermedad y se documentarán los datos.

Y FUNDAMENTACIÓN: Datos de los nuevos cánceres de cavidad bucal en la Argentina muestran un aumento en las mujeres de 7.1 (relación hombre/mujer) en 1950 a 1,24:1 en la actualidad. En tanto, la sobrevida en la Argentina coincide con los valores más bajos comunicados en la literatura (34% a los 5 años del diagnóstico inicial). No existen trabajos que aporten recolección, tabulación y análisis de datos sobre cáncer bucal en el "sur de nuestro país". Posiblemente exista en Río Negro características propias en los pacientes con cáncer bucal referidos a riesgo socioeconómico, estilo de vida y acceso geográfico y económico a los servicios de salud. Está demostrado que el diagnóstico precoz del cáncer o la detección de lesiones precancerosas es el punto de inflexión para mejorar esta realidad. Este proyecto de investigación se enmarca dentro de la Carrera de Odontología UNRN y la articulación docente asistencial, entre UNRN y Ministerio de Salud Pública de la Provincia de Río y Negro. No hay estudios que registren el problema planteado.

PROYECTO

danielbrandizzi@gmail.com

225

PROYECTO: NIVELES DE CARIES Y NECESIDAD DE TRATAMIENTO PERIODONTAL EN RELACIÓN AL PH SALIVAL EN PACIENTES CON SÍNDROME DE DOWN

Vila, VG*; Martínez, SE; Barrios, CE; Encina Tutuy, AJ
Facultad de Odontología. UNNE. Departamento Clínicas Integradas.
Cátedra Práctica Clínica Preventiva I

El Síndrome de Dow es considerado como una de la anomalías congénitas mas comunes asociadas al retardo mental caracterizándose por cabeza braquiocefálica, maxilar superior pequeño, macroglosia, caries y enfermedad periodontal. El estudio descriptivo, transversal y clínico se realiza con el **OBJETIVO** de determinar el nivel de caries y necesidad de tratamiento gingival en relación al pH salival en una muestra correspondiente 20 pacientes entre 13 y 20 años con Síndrome de Down, que concurren al Instituto IPEEC y 20 pacientes normales de control, de la misma edad y genero, que concurren para su atención a la Cátedra Practica Clínica Prev de los cuales, 48,1 % de sexo En salud gingival se obtuvo un con Salud. El promedio del desayuno 4.7. El 76% de la pacientes normales el 44% c condición bucal el 46% presento valores de 4.5 en indice de caries, considerándose elevados según la OMS (4.5 a 6.5). En el 64% de los pacientes mostraron valores de Índice gingival mayor a 1 y el de placa un 46% valores mayores al 20%, ambos no compatibles con salud. El pH varió entre 5 y 7, siendo el intervalo de referencia normal 6,5. El 34% presento pH 7 mientras que el 64% entre 5 y 6.No se han evaluado los indicadores en su totalidad. Los resultados del estudio están orientados a mejorar el estado de salud bucal y general de los individuos sanos y con Síndrome de Down. Satisfacer las necesidades preventivas en los diferentes niveles de la sociedad, y como beneficio para otros pacientes que carecen de destreza para manipular el cepillo dental.

PROYECTO

litavila@yahoo.com.ar

226

ESTUDIO IN VIVO: EFECTOS DEL CONSUMO DE HORMONAS ANTICONCEPTIVAS SOBRE EL MOVIMIENTO ORTODÓNICO. RESULTADOS PRELIMINARES.

Escribano F*, Piacenza A, Rocamundi M, Peralta G, Bass Pluer A., Plavnik L
Cátedras de Endodoncia, Ortodoncia B, Anatomía Patológica A,
Histología A, FOUNC. Fundación CREO

Durante el tratamiento ortodónico en el hueso se generan procesos de remodelación en respuesta a un estímulo mecánico, estos procesos son controlados localmente. El movimiento dental ortodónico puede ser manipulado farmacológicamente, de forma local o sistémica, por medicamentos, incluyendo las hormonas femeninas. **OBJETIVO:** Evaluar el efecto de medicación anticonceptiva en el movimiento ortodónico en ratas. **METODO:** Se utilizarán 20 ratas Wistar hembras, que serán divididos en 2 grupos: Control (sin medicación), y Experimental administró 3 días antes de la movimientos ortodónicos, utilizando titanio de 60 g de fuerza sosteniendo el diente de formación izquierdo sin ninguna fuerza. aparato y del sacrificio (30 días). Se realizaron mediciones sobre los modelos con calibre digital y se realizó análisis estadístico de Wilconox para pruebas apareadas. **RESULTADOS:** Se inició este estudio experimental con 9 ratas controles y 4 experimentales y los resultados parciales no resultaron estadísticamente significativos. **CONCLUSION:** De acuerdo al estudio macroscópico y con un número de casos reducido los resultados preliminares obtenidos demuestran que el tratamiento con hormona estradiol-progesterona no influiría en la cantidad de movimiento ortodónico en las ratas, con el modelo experimental expuesto. Se completará la cantidad de animales propuestos y se realizará el estudio histomorfométrico de las piezas obtenidas a fin de obtener resultados definitivos.

PROYECTO

florescribano@hotmail.com

227

PROYECTO: CAPACIDAD PREDICTIVA DE INDICADORES PERIODONTALES SOBRE EL FRACASO TERAPEUTICO EN PACIENTES HIV+

D'Eramo L*, Gliosca L, Soken L, Bozza F, Abusamra L, Molgatini S, Squassi A.
Cátedras de Odon Preventiva y Comunitaria, Microbiología, CLAPAR- FOUBA.
Servicio de Infectología Hospital General de Agudos Juan A. Fernández

Estudios previos han observado variabilidad en la prevalencia de las co-infecciones bucales, incluyendo enfermedades periodontales, en individuos VIH+. El potencial de los microorganismos periodontopáticos para inducir reactivación del virus en pacientes bajo tratamiento antirretroviral está siendo estudiado.

OBJETIVO Determinar la capacidad predictiva de variables clínicas y microbiológicas de estado periodontal sobre el fracaso terapéutico en pacientes VIH+. **MÉTODO** La población estará constituida por pacientes VIH+ bajo tratamiento antirretroviral. Los criterios de inclusión consistirán en: individuos de 21 a 60 años, con diagnóstico de infección

en individuos con menos de 6 meses de diagnóstico, no asociados con infección por VIH, se realizará un examen basal que incluya: historia de higiene bucal, patrón de utilización de hilo dental, modificaciones de protocolos de higiene bucal, historia de internación y de enfermedades oportunistas, determinación de carga viral y recuento de CD4; c) examen clínico odontológico, incluyendo presencia de biofilm, profundidad al sondaje, nivel de inserción clínica y sangrado al sondaje en 8 sitios por pieza dentaria; d) recolección de biofilm subgingival para determinación de presencia de *P.gingivalis*, *P.intermedia*, *F.nucleatum*, *T.forsythensis*, *T.denticola*, y *A.actinomycescomitans*, mediante PCR y cultivo. Cada 12 meses se registrarán los valores correspondientes a la historia médica y cada 24 meses se repetirán las determinaciones odontológicas clínicas y microbiológicas, durante un período de 6 años. El procesamiento estadístico incluirá distribución de frecuencia y medidas de tendencia central y dispersión para diferentes indicadores. Se realizarán procedimientos de análisis multivariado tomando como variable dependiente los niveles de linfocitos CD4, carga viral y variación de esquemas terapéuticos, como indicadores de fracaso terapéutico.

PROYECTO

Los criterios de exclusión consistirán en: individuos con tratamientos farmacológicos, individuos con cuotas de 120 pacientes, se registrarán variables demográficas, prácticas de higiene bucal, duración de tiempo, tipo y frecuencia de uso, historia de episodios de sangrado bucal, historia de internación y de enfermedades oportunistas, determinación de carga viral y recuento de CD4; c) examen clínico odontológico, incluyendo presencia de biofilm, profundidad al sondaje, nivel de inserción clínica y sangrado al sondaje en 8 sitios por pieza dentaria; d) recolección de biofilm subgingival para determinación de presencia de *P.gingivalis*, *P.intermedia*, *F.nucleatum*, *T.forsythensis*, *T.denticola*, y *A.actinomycescomitans*, mediante PCR y cultivo. Cada 12 meses se registrarán los valores correspondientes a la historia médica y cada 24 meses se repetirán las determinaciones odontológicas clínicas y microbiológicas, durante un período de 6 años. El procesamiento estadístico incluirá distribución de frecuencia y medidas de tendencia central y dispersión para diferentes indicadores. Se realizarán procedimientos de análisis multivariado tomando como variable dependiente los niveles de linfocitos CD4, carga viral y variación de esquemas terapéuticos, como indicadores de fracaso terapéutico.

lucianaderamo@hotmail.com

228

INFLUENCIA DE LA INGESTA CRÓNICA Y AGUDA DE ALCOHOL SOBRE GLÁNDULAS SUBMANDIBULARES (GSM) DE RATA.

Mariani MC*, Linares J, Finkelberg A
Cátedra de Fisiología, Facultad de Odontología. UNC

La saliva es una secreción que juega un papel clave en la defensa local de la cavidad oral, la región orofaríngea y el tracto gastrointestinal superior. La ingesta de alcohol altera su capacidad protectora no sólo por su cantidad sino por su composición (Tezal et al 2001; Pitiphat et al 2003). En trabajos anteriores se demostró que la ingesta crónica y aguda de alcohol, alteraban algunos parámetros estructurales de la GSM. (SAIO 2012)

OBJETIVO: analizar si el consumo crónico y agudo de alcohol afecta la concentración de glucógeno de la GSM. **MÉTODOS:** Se plantearon tres esquemas del alcoholismo en ratas Wistar machos de aproximadamente 120 gr. 1) Crónico 5% de etanol incorporado en el agua de bebida. 2) Crónico 20 % de etanol en el agua de bebida y 3) Ingesta aguda mediante sonda gástrica en una concentración de 3 gr de etanol /Kg. Se determinó la concentración de glucógeno en la GSM en los diferentes grupos experimentales por método colorimétrico inmediatamente después del sacrificio (T0) y luego de 60 minutos de incubación en un medio libre de glucosa (T60). **RESULTADOS:** los valores encontrados no tuvieron diferencias estadísticamente significativas entre los grupos comparados. **CONCLUSIÓN:** la ingesta de alcohol tanto crónica como aguda no afectaría el metabolismo del glucógeno de las GSM.

catalina.mariani@gmail.com

ÍNDICE DE AUTORES

A

ABATE PF33-35-209-211-212
ABUSAMRA L50-227
ADLER I 199-217
AFRONTTI SE 14-15
AGASI R 159
AGUAS S 1-196-199-217
AGÜERO ROMERO A 125
AGUILAR J 4344-48
AGUILAR P55-58-160-171-186
AGUIRRE MV153
ALBARRACÍNS 168
ALBERA JC29
ALBERA JP 2949
ALBIERO E 200
ALDERETE V206
ALFARO G176
ALFONSÍN A84 -87
ALIPPI R 122 -123-124-125
ALLEGRETTI P219
ALMIRÓN MS 153-175-190
ALONSO A 221
ALVAREDO G61
ÁLVAREZ E 129
ALVAREZ P 216
ALVAREZ GIMENEZ JM 72
AMARO E 176
AMER M 152-154
AMIGHINI MC 83
ANAISE C107

ANTUÑA MV 46-47
ARAGÓN HN3-198-206
ARGENTIERI A 20-25-57-69
ARIAS SC15
ARIASGAGO O 166
ARREBOLA G86
ARREGGER AL 120
ASSA SALOMON M 72
ASTORT F 127
ASUETA M 31
AVELLANEDA RV 163-206
AZCONA MS 89

B

BÁEZV 63
BALCARCEL N 132
BALSAMO MF 181
BARBIERI VAN HAASTER M 132
BARBOSA M 114
BAREMBAUM S 94
BARRIOS CE 108225
BARUZZI A201
BASAL R 176
BASILAKI J 62
BASOVICH P 161
BASS PLUER A 38-226
BAUDO J219
BAVA E 86
BELARDINELLI P 13-201
BELLONI F 176



BENCHUYA C 188
BENÍTEZ ROGÉ S116-117
BERMEJO D41
BERNAT MI 67109-112
BERTOLINO M104
BIONDI AM 7980-95-96-101-106-144
BISOGNO F201
BOCCIO I 4647
BOJANICH MA134
BONNIN C 32210
BORDA E75
BORDONI N24-53-57-60-222
BORJAS MI 14
BOYER PM 125127
BOZAL CB 73
BOZZAF 50-51-52-227
BOZZINI C 122123-124-125-127-135 -
136-154
BOZZINI CE 122123-124
BRACAMONTE E216
BRAÍN L 142
BRANDIZZI D 179224
BRASCA N32-170
BREGAINS L 167
BRITES F 180
BRITO GN 3-195-198
BRUNO ME 179180
BRUNO IG 6
BRUNOTTO M 85146-197
BRUSCA L 161-162-185
BRUSCA MI 3755-58-113-160-161-162 ---171-
181-182-183-185-186
BUCHANAN J185
BULDO MA139

BUSAMIAB 200
BUSCH L 56-128
BUSLEIMÁN FJ 145146-149
BUTLER T 165176
BUTTANI N15

C

CABALLERO A 148
CABRERA DF 14
CABRINI RL 2179-180-189-224
CACCIAMANOJ 170
CACHIA A 103
CALABRESE D 116117
CALATAYUD L 15
CAMBRÍA RONDA S 1415
CANTERO MR130
CANTIELLO HF 130
CAPUANO C 1924-26-92-93-98-99
CAPURRO MA22-173
CAPUSOTTO A 212
CARAMES R 89
CARBAJAL E 910-11
CARBAJALES D 162
CARBALLO B 183
CARDOSO L120
CARDOSO LP 150
CARIDE OA 138
CARNINO FERRECCIO ML 146
CARVALHO AA150
CARVALHO JG 88
CASAL M 160-186
CASAS G 1
CASTILLO B 167
CASTILLO G 94167



CASTILLO MC 167
CASTRO K 38
CASTRO M 20
CATTANEO M 165
CEBALLOS A 210
CECHO A 169-219
CENTENO VA 133134
CHAMPIN GM 123-124-125-127
CHÁVEZ LOZADA J 32-34-207
CHIAPPE V 4066
CHIARENZA AP 125154
CHICATÚN M179-224
CIVITATE S 58185
COHEN S 222
COLLANTE DE BENITEZ C 115
CONILL J 164
CONTI MI 122135-136
CONTRERAS L 120
COOK L 104
CORIA SH 172
CORINGRATO M 21
CORNEJO C 1823-223
COROMINOLA PL 65137 -139
CORRARELO A 159
CORREIA MS 150
CORTESES 79-80-95-96-101-106-144
COSCARELLI N 168
COSTA AJ 88
COSTA OR 131-179
COSTA RL 105
COSTA S 33
CRISCUOLO MI 13
CROHARÉ L 147-148
CRUZ M 7-8-107

CUFFINI C 13
CULACCIATI C 23
CÚNDOM J 175

D

D'ADAMO C 104
D'ERAMO L 24-50-51-52-60-70-227
DAGUM H 44
DAVID O 213
DÁVILA H 158
DE BIASIO MB 111
DE CESARE A 9398
DE COUTO PITA A 22118
DE LA CAL C 77-78-121
DE LA VEGA D 216
DE LEONARDI G 145
DE LUCCA RC 12
DE SANTIS M 93
DE SCHANT ME 66
DEGAETANO S 165
DEIRDRE B 159
DEJEANCB 40-66
DELGADO A 3256
DELGADO ML 179-224
DENNINGHOFF V 199
DHO M 175
DI CROCE D 76 -77-78-121
DI DIEGO M 39
DI NASSO P 218
DI NATALE S 35
DÍAZ A 103
DIAZ C 92
DÍAZ DH 202
DIAZ M 199



DIOMEDIM 200
DOLONGUEVICH ER 15
DOMASSO G222
DOMINGO M 196
DOMÍNGUEZ G 219
DOMINGUEZ SA 67109
DORATI P 193-194
DUARTE MOTA F 22
DULONG I 46-47

E

ELVERDIN JC 65120-126-154-191-192
ENCINA TUTUY A 225
ESCRIBANO F 226
ESCUDERO E 176
ESCUDERO ND 74202
ESTIKLE A 79

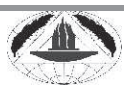
F

FAJARDO R 55-186
FALCON D 105
FARAH C 79
FARAH Ma 170
FARAH Mi 170
FARKAS CANNTONET JP 22
FEDELLI L 52-68-70
FERNANDEZ AL 15
FERNANDEZ CA 39-42
FERNÁNDEZCN 14-15
FERNANDEZ CR 1926- 93-98
FERNÁNDEZ DE PRELIASCO V 188
FERNANDEZ DEL PALACIO S 179-224
FERNÁNDEZ GUDIÑO S 106
FERNANDEZMONJES J 64

FERNÁNDEZ SOLARI JJ 65-126-136-191-192
FERRANTE A 104
FERRARI BA 3659
FERRARI L 102-196
FERRARINI S93-98
FERREL E 182
FESER G 46-47
FIGUEROA SCHIBBER E 40
FINGUERF 44
FINLANDINO G 159
FLESIA AG 5
FLESIA JG 5- 187
FLORES M 197
FOLCO A 116 – 117 -205 - 215
FONTANA S 200-203-204
FONTANETTI PA 5- 133-134 - 187
FORCONI E 15
FORT A 16
FRACAPANI M 164
FRANCIA C 145-149
FRANCIOSI F 45
FRIDMAN D 9596
FRIEDMAN SM25-127-129-131-156-157
FRISO E 176
FUKS J 16
FUNOSAS ER 46– 47
FUSTER ROSELLÓ LP 45

G

GAGLIARDI R 165
GAIT MT 203-204
GALLARÁ RV 133134
GAMBA CA 25 63 -131-156



GANDOLFO MS 14
GARCIA A 105
GARCIA BLANCO M 184- 208
GARCIA LABANDAL L 58-160 171
GARCÍA M 86
GARCIA MOLINARI A 169
GARCIA MS 83
GARCÍA PUENTE C 66- 209
GARCÍA SM 97
GARCÍA F M 104
GARGANTINI P 210
GARRITANO M 183
GARROFÉ A 31-37-144
GARZON M 171-186
GIACCO C 1217
GIANNUNZIO GA 6
GIAQUINTA MA 164
GIGENA C 28
GIGENA MI 179-224
GIL RODRIGUEZ P 28
GILI MA 153-174-190
GIMÉNEZ G 165
GIMENEZ M 145-149
GIMENEZ DEL ARCO M209
GIRARDI I 32-170
GIRARDI M 32
GLIOSCAL 23-50-51-52-70-112-113-227
GOBBI C 200
GOMEZ GUTIERREZ N 18
GOMEZ M 193-194
GONZÁLEZ DA 132
GONZÁLEZ MI 68
GONZÁLEZ N7-8-107
GONZÁLEZ PM 129

GORDILLO ME 206
GOYA JA 155-177
GRANDINETTI J 3755-58-160-161-162-
171-182-183-185-186
GRANILLO BA 71
GRENÓN MS 41
GRIFO B 152
GRILLI S 218
GRUPPI A 41
GUALTIERI AF 138151-184-188
GUBERT MJ 156
GUGLIELMOTTI MB 48-137-178-191
GUITELMAN I 96
GULINO M 46-47
GUTIERREZ N 100
GUTIERREZ T 185
GUTVAY AV 146

H

HARADA L 199
HECHT JP9-10-33-62-116-205
HERNANDO L 142
HERRERA DEL CORRAL MA 116
HERRERA G 159
HERRERA MA 117
HERRERO HD 15
HILLEN NE 72

I

IANTOSCA A 165
IGLESIAS I 221
IGLESIAS ME 59-116
IGLESIAS V 25
IGLESIAS G 44



INTERLANDI V 133134
IRAZUZTA ML 167
IRIGOYEN S168
ITOIZ ME4
IVANOV M 176

J

JORGE S 161
JORRAT M 3-195-198
JOTKO C 165
JUÁREZ R 108-175
JULIÁN S 28

K

KANESHIRO A 33
KAPLAN AE 3031-36-39
KARABEN V 9091
KESZLER A 24
KLEMONSKIS G 17 -18- 21- 23-24 -100-
223
KOHLI A 158
KOKUBU S 35
KRAEMER M 148
KUMMER M C 3871

L

LABANDEIRA A 48
LABARTA AB 63-138 -151
LABBROZZI M 199
LAMA MA & 173 - 221
LAMAS S 68
LAMBOGLIA P 105
LANFRANCHI H 1- 33 - 189 - 197 - 217

LATYN K 115-153
LAZO G 176
LAZO S 176
LAZOS J 85- 213
LEBIÉ A 46-47
LEE CM 135-136
LEHNER E 94
LEI MA 30
LENARDUZZI AL 65137 -139
LENCE A 1- 199
LEWICKI M 157
LEWIN PG 8- 129 -221
LEZÓN CE 122-125 -127
LIMA AA 88 114
LIVOLSI E 216
LLARENS A 175
LOMBARDO M 19
LÓPEZ DE BLANC S 13- 201
LOPEZ M 81-82-104
LÓPEZ SORIA G 154
LOPREITE G 62
LOURENÇO GC 114
LUCENTINI M 181
LUMI M 116
LUNA I 58
LUTRI P 145-147-148-149

M

MACCARONE G 113
MACCHI R44
MACHADO NB 146
MACRI EV 131
MAINO A 103
MALBERTI A 203204



MALDONADO SENIQUEL MF166- 220
MALVESTITIF 49
MANDALUNISPM 43-74-131-136-155-
156-157-172-177-187-202
MANTEROLA ER 159-214
MANTO MC 69
MARASSO SPACIUK N 166
MARCANTONI M179-224
MARCHI R 92
MARCKIEVICZ J 159
MARESCA B 64
MARIANIM 200
MARTÍN M 15
MARTÍNAL 97
MARTIN L 218
MARTINEZ AB 66
MARTINEZ BAM 6
MARTINEZ C 3342
MARTINEZ CD 7
MARTINEZ D 83
MARTINEZ MC 94
MARTÍNEZ MP 122-135-136
MARTÍNEZ P 65-137-139
MARTINEZ RODRIGUEZ J 178
MARTÍNEZ S 108-174-175-225
MASOLI C 19-24-26-92-99
MASSON MOLINE G 9398
MATEOMT 69
MATEU ME 116-117-205-215
MAYOCCHI K 193-194
MAZZEO D 219
MEDICI S 50-60
MEDINA F 221
MEDINA J3-195-198
MEDINA MM 168
MELE MC 55-58-160-186-171
MELE S 165
MELO C 23
MELO CC 141
MENDES LA 150
MENDEZ CF 22-118
MENDEZ LOAYZA L 86
MENDOZA N 220
MERLO D 176
MEROÑO T 180
META IF 43
MICINQUEVICH S 193-194
MIOZZA V 56-128
MIRANDA S 94
MIRANDA ROCA P 119
MIROTTI G147-148
MISSANA L 224
MÓDENA JC 107
MOHN CE126-191
MOLGATINI S 25-50-51-52-67-68-69-70-
109-112-227
MOLINA G 142-210
MONOD S8-221
MONSERRAT N 147
MONTAÑEZ D 216
MONTENEGRO M 190
MORALES S 90
MORALES MANTEROLA M 159
MORAN G 75
MORATA M 163
MORDOH A 1
MORELATTO R 13
MORENO C 80



MORÓS CG 221
MOSCONI E 168
MUIÑO A 199
MUTARELLI A 55

N

NAFISSI CG 15
NAJENSON AC 191
NAKAZATO A 104
NALLI G 189
NAPOLI A 16
NEGRINI F 61
NELSON FILHO P 27
NENDA MM 155
NERVEGNA MT 157
NICOLOSIL N 7-8-107-129-221
NIETO A 85
NOCETIM 161
NOIER M 185
NOME C 143
NUÑEZ FL 156

O

OCHONGA G94
OJEDA MC 220
OKSDATH G 201
OLAZABAL ORIUELA M 39
OLDANI A 81-82
OLIVA C 100
OLIVEIRA BCA 141
OLIVEIRA LFG 88
OLMEDO DG 42-180-196
ONETO J 209
ONOFRE C 33

ORELLANA PÉREZ C 222
ORMAN B 75
ORTEGA G 126
ORTEGA S 110-111-192
ORTEGO T 182
ORTOLANI A 80-101-106
ORZUZA R 157
OSENDE N 9
OSSOLA CA 126-192
OYHANART SR 74202
OZOLS A 42

P

PACHECO R 23-223
PAIVA JPJ 88
PALACIOS N 67-109-112
PALCZIKOSWKI L 115
PALOMBA S 16
PANIAGUA SI 224
PANTYRER M 86
PAPARELIA ML 4-180
PAPEL G 168
PARI F 152
PASCUAL VB 173
PASCUCCI J 164
PASSARINI L 2098
PATRICIA NRODRIGUEZ
PAVAN V 86
PAZOS F 176
PAZOS X 16
PEDEMONTE Z 61
PEDREIRA P 53
PEDROSO R 163
PELIZARDI C 116-117



PELLEGRINI G 11
PELOSSI PL 39
PEÑALVA M 169
PERALTA C 216
PERALTA G 226
PEREIRA LC 88114-141-150
PEREIRA MR 88
PEREYRA L 83
PÉREZ A 205
PÉREZ BAZÁN E 163
PÉREZ MA 4
PÉREZ PL 130
PÉREZ SB 68
PERG YI 224
PERTINO MR 165
PESCE E 164
PESCIO JJ 140
PIACENZA A 226
PICCA M 36-37-59-144
PICONI C 147-148
PILONI MJ 648
PINTOS P 125-127
PIÑERO R 205
PISTERNA G 103
PISTOCHINI A 20
PIZARRO L 21
PIZATTI MA 81-82
PLAVNIK L 38-203-204-226
POLETTO L 158
POLITI MATTAR C 163
PÓLVORA B 165
POMPEI J 182
POMPEO M 8
PONCE RH 133-134-140

PRADO M 42
PRELIASCO M 224
PRIOTTO E 167
PROBEC 61
PUIA SA 181-184-208
PUNTARULO S129

Q

QUINTERO A 46-47
QUINTEROS VILLARRUEL E 75

R

RAMA A 18
RAMIREZ L 90
RAMÍREZ MJ 9
RAMOS C 129
RAU A 37
REA A 90-91
REINAS 75
RENOU SJ 48-137-178
REZZÓNICO MS 167
RHYS K 210-213
RIBOTTA DE ALBERA EM 454
RICHARD S 76
RIGALLI A 134
RÍOS A 32
RITACCO ED 63138-151
RIVAROLA J 166
RIVEROV 200
RIZZO V 217
ROBLES M 55-181
ROCAMUNDI M 226
ROCHA C 159
RODRIGUEZ APARICIO MC 195



RODRIGUEZ D 120
RODRIGUEZ IA 142143
RODRÍGUEZ NAVARRO ME 3198
RODRIGUEZ PA 65137-138-139-151
RODRÍGUEZ PN 25-69-156
RODRIGUEZ SANTOS IP 130
ROMANELLI H40
ROMERO A 62
ROMERO J 83-171
ROMERO S 195
ROSAA 113
ROSMINO MF 67109-112
ROSSI G 17-18-23-24-97-98
ROSSI J 182
ROZAS C 142-143
RUBIO JM 27
RUBIO MC 78-107-129-221
RUBIO SC 94173-203-204
RUDZINSKI JJ 107
RUEDA L 168
RUSSO G 40-66

S

SABATÉ R 64
SAKALIAN C 28
SALATAYJE 105
SALGADO P 17-18-19-20-24-25-50-84-87-
100-223
SALINAS DE 15
SALVADOR F 43
SALVIONI E 21-100-223
SÁNCHEZ GA 56-60-64-76-77-78-121-
128-152
SÁNCHEZ LM 12172

SAPORITTI F 168
SARAVIA ME 2772-143
SCATENA G 94
SCHENEIDER E 9
SCHIAVELLI R182
SCHNELL M 183
SEBELLI P 102-196
SECCHI D 197
SEMBAJ A 54
SENN L 213
SERRA CAPO T 1823
SERRANO V 165
SEZÍN M 145-147-148-149
SIERRA LG 6365-137-138-151
SILVA NR 141
SILVA RAB 27
SILVESTRE N119
SIN C 110
SOKEN L 51-52-227
SOLARI E165
SOLLA M 116-117
SOMAGLIA L 67-109-112
SORAZABAL A 17-20-24-98
SOSA G 163
SOUSA M 83
SOUZA GC 141
SOUZA JAC 114
SPADILIERO DE LUTRI M 145-146-149
SPOLETI MJ 103
SPOLETI P 103
SQUASSI A 16-17-18-19-21-22-23-24-26-
50-51-52-60-70-84-87-93-98-100-223-227
STEIMETZ T 191-196
STOLBIZER F 217



STOPPANI N 51-52
SUÁREZ ML 107
SURKIN PN 126-192
SZAPOWALO L222

T

TABARES S 54
TABORDA N 182
TACCA F 23-222
TADEO M 186
TAKARA D 76-77-78-121
TAMINI ELICEGUI E 33-35 209-211-212
TAMUCH Y 81-82
TALIA N 85
TASAT DR 127-180
TEIXEIRA LG 114
TEJERINADP 69
TERRIZZI AR135-136
THOMPSON L 35-211
TILKE G 99
TINEOS 72
TIRAO G 134
TISSONE S 168
TOLCACHIR B 94
TOMAS L 168
TOMASETTIV 8
TORAL M 21-24-100-223
TORANZO S 181
TORNELLI F 183
TORNELLI FA 183
TORRES C 162
TORRES M 99
TORTOLINI P 94
TOSCANO M 101

TOSTI S 105-169-219
TRAVERSO P 81-82-
TRINKS P 76-77-152
TROJAN-COTUMACCI AE 73
TUMILASCI G 120
TURCOT L 67-109-112

U

UBERTONE R 161
UBIOS AM 12-73
UCCARE 117
URIBE ECHEVARRÍA A 27 143
URIBE ECHEVARRÍA J 27-142-143
URQUÍAMORALES M DEL C 32- 34
-170-207
USIN MM 54
UVA D 105

V

VACAS MI 154
VACULIK P 175
VALENTINUZZI M 149
VANNEY JL 224
VASEK O 110
VAZQUEZ DJ 910-11
VENTURA F 98
VERA MM 140-170-216
VERDE ME 41
VERDÚ S 189
VERMOUTH NT 187
VICENTINO 224
VILA VG 108-174-225
VILLALBA L 2
VILOTTASM 67-109-112



VIOTTI P 182
VIRGILLITO A83
VISCOVIK C 176
VUOTO E 14-15
VUOTO J 14

W

WERNERL 1
WILLEMS C 93
WINTER G 173221
WUSCOVI LF 3-198-206
WYGACHIEWICZ D 162

Y

YORIO M 200

Z

ZABALA R 218
ZACHARCZUK G 101
ZAFFARONI M 158
ZAMUDIO M E 91
ZAPATA N 158
ZARATE AM 85167
ZENI S 11
ZIMMERMANN E 103
ZUCCO A 22



Ninguna otra supera a Colgate Total[®] 12.

LA ÚNICA CON



Yo la recomiendo.
Comproballo
Vos también



Dr. Ricardo Arlison

Colgate



LA MARCA N° 1 USADA Y RECOMENDADA POR ODONTÓLOGOS

Colgate®